ESCUELA SUPERIOR POLITÉCNICA DEL LITORAL

Facultad de Ingeniería en Mecánica y Ciencias de la Producción

"Climatización de un Edificio de Labores Administrativas mediante el Diseño de un Sistema de Agua Enfriada por Aire, con Volumen Variable tanto en el Circuito de Agua Fría como en el Suministro de Aire Acondicionado, utilizando un Sistema Automático de Control y Monitoreo"

TESIS DE GRADO

Previo a la obtención del Título de:

INGENIERO MECÁNICO

Presentada por:

David Alejandro Delgado Rodríguez

GUAYAQUIL-ECUADOR

Año: 2006

AGRADECIMIENTO

Gracias a Dios por la Vida, las Fuerzas y la Salud, mis Padres por su amor incondicional, mi hermano por su apoyo, mis amigos de toda la vida, mis compañeros de trabajo por su valiosísimo aporte técnico en la realización de mi Tesis de Grado........

Gracias...

DEDICATORIA

DIOS

A MIS PADRES

A MI HERMANO

A MIS AMIGOS

A MIS COMPAÑEROS

TRIBUNAL DE GRADUACIÓN

Ing. Luís Miranda S.

DELEGADO DEL DECANO DE LA FIMCP

PRESIDENTE

Ing. Eduardo Donoso P DRECTOR DE TESIS

Ing. Eduardo Orcés P.

VOCAL

Ing. Francisco Andrade S.

VOCAL

DECLARACIÓN EXPRESA

"La responsabilidad del contenido de esta Tesis de Grado, me corresponden exclusivamente; y el patrimonio intelectual de la misma a la ESCUELA SUPERIOR POLITÉCNICA DEL LITORAL"

(Reglamento de Graduación de la ESPOL)

David Delgado Rodríguez

RESUMEN

El presente trabajo contiene un estudio completo y específico sobre los diferentes aspectos técnicos, variables, parámetros, cálculos, criterios de selección y una serie de importantes consideraciones que intervienen en el arte de "Producir frío" creando de esta manera las condiciones de "Confort" necesarias, detallando el conjunto de procedimientos básicos dentro de los cuales se desarrolla la Ingeniería del Acondicionamiento del Aire para resolver una situación en particular.

Se desea climatizar un Edificio de cinco pisos en el cual se realizarán labores administrativas y de oficina, con un determinado número de personas que necesitan un ambiente de trabajo agradable para realizar sus funciones de la mejor manera.

Esta Tesis tiene como objetivo diseñar un Sistema de Agua Enfriada por Aire, con Volumen Variable en los Sistemas de Distribución, tanto en el agua fría como en el aire, con la finalidad de satisfacer la necesidad de Climatización del Edificio, que nos permite obtener un gasto menor de energía y nos ofrece la posibilidad de controlar los parámetros tales como presión y temperatura por medio de un Sistema Automático.

Consideraremos también la eficiencia del Sistema y que su funcionamiento no cause daño a la atmósfera (Ecológico), condición tan discutida en nuestros días.

Para su efecto calcularemos la carga térmica del Edificio y las condiciones Psicrométricas; basándose en esto describiremos el Sistema y seleccionaremos los equipos y materiales necesarios; diseñaremos los ductos y el circuito de agua fría de acuerdo a las Normas Internacionales; implementaremos el Sistema de Control, detallando su funcionamiento y sus principales componentes, los parámetros medidos, la descripción de los Sensores y su ubicación en el Sistema; y finalmente, evaluaremos la Factibilidad Económica del Proyecto y las Especificaciones Técnicas.

Al presentar los resultados habremos diseñado un Sistema de Climatización eficiente, porque ahorramos energía ya que con la utilización del Sistema de Control y Monitoreo solo se utiliza lo necesario según la demanda del momento (Volumen Variable); Ecológico, porque el refrigerante que utilizamos es el 410A y a diferencia de otros, las Organizaciones del Medio Ambiente permiten su uso sin problemas; versátil, porque la carga se la puede trasladar donde se lo necesite automáticamente a cualquier lugar del Edificio por medio del monitoreo constante de los parámetros; flexible, porque el Sistema ofrece una mejor distribución de sus elementos.

De esta manera, las condiciones de confort dentro del Edificio y la seguridad en el servicio, están garantizadas por el Sistema.

ÍNDICE GENERAL

		Pág.
RE	SUMEN	II
ÍNE	DICE GENERAL	V
AB	REVIATURAS	IX
SIN	MBOLOGÍA	XII
ÍNE	DICE DE FIGURAS	XV
ÍNE	DICE DE TABLAS	XVI
ÌNE	DICE DE PLANOS	XIX
INT	FRODUCCIÓN	1
CA	PITULO 1	
1.	DESCRIPCIÓN GENERAL DEL SISTEMA ACONDICIONA	ADOR
	DE AIRE	2
	1.1 Consideraciones Generales del Proyecto	2
	1.2 Proceso de Diseño	3
	1.3 Criterio de Selección del Sistema	5
	1.4 Componentes del Sistema	8
	1.5 Funcionamiento del Sistema	8
	1.6. Descripción del Proyecto	11

CAPITULO 2

2.	CARGA TÉRMICA	13
	2.1 Consideraciones Generales	13
	2.2 Definiciones Térmicas	14
	2.3 Criterios de Diseño	15
	2.4 Determinación de Factores	18
	2.5 Clasificación de las Cargas Térmicas	19
	2.5.1 Cargas del Espacio Externo	19
	2.5.2 Cargas del Espacio Interno	60
	2.5.3 Factor de Seguridad	74
	2.6 Balanceamiento de la Carga de Enfriamiento	74
	2.7 Criterio para seleccionar la capacidad de las Unidades	
	Manejadoras de Aire	82
	2.8 Criterio para seleccionar la capacidad de los Enfriadores de	
	Agua	83
CAF	PITULO 3	
3.	PSICROMETRÍA DEL SISTEMA	85
	3.1 Propiedades Psicrométricas del Aire	85
	3.2 Carta Psicrométrica	87
	3.3 Procesos Psicrométricos	88
	3.4 Factores de Selección del Serpentín	89

	3.5	Proced	limiento de Cálculo para el Serpentín de Enfriamiento	
		y Desh	umidificación	94
	3.6	Parám	etros para seleccionar el Serpentín de Enfriamiento	
		de las	Unidades Manejadoras de Aire	97
CAF	PITUL	_O 4		
4.	SIS	TEMA [DE AGUA DE ENFRIAMIENTO	117
	4.1	Consid	leraciones Generales del Sistema	117
	4.2	Distribu	ución del Agua de Enfriamiento	118
	4.3	Proces	o de Diseño del Sistema	119
	4.4	Proced	limiento de Selección del Diámetro de la Tubería	125
	4.5	Acceso	orios del Sistema	133
CAF	PITUL	O 5		
5.	SIS	TEMA [DE DISTRIBUCIÓN DE AIRE	134
	5.1	Consid	leraciones Generales	134
	5.2	Espaci	o disponible	135
	5.3	Criterio	os de Diseño	135
	5.4	Diseño	de Ductos	137
		5.4.1	Variables que intervienen en el Proceso de Diseño	138
		5.4.2	Dimensionamiento del Ducto	144
		5.4.3	Método de Diseño	146
		5.4.4	Construcción de los Ductos	148
		5.4.5	Accesorios	149

	5.5 Ductos Flexibles	149
	5.6 Difusores y Rejillas	150
	5.7 Resultados	151
CAF	PITULO 6	
6.	IMPLEMENTACIÓN DEL SISTEMA DE CONTROL	
	Y MONITOREO	166
	6.1 Introducción	167
	6.2 Objetivos del Sistema	168
	6.3 Descripción General del Sistema	168
	6.4 Descripción de las Variables de Control	173
	6.4.1 Entradas	173
	6.4.2 Salidas	179
	6.4.3 Señales de Retroalimentación	184
	6.5 Ubicación de cada componente en el Sistema	185
CAF	PITULO 7	
7.	FACTIBILIDAD DEL PROYECTO	200
CAF	PITULO 8	
8.	ESPECIFICACIONES TÉCNICAS	206
CAF	PITULO 9	
9.	CONCLUSIONES Y RECOMENDACIONES	217
APÉ	ÉNDICES	
BIBI	LIOGRAFÍA	

ABREVIATURAS

Ba Factor de Absorción para Bloques de Vidrio

BdV Bloque de Vidrio BF Factor de Bypass

Bi Factor de Transmisión para Bloques de Vidrio

BP Bomba del Circuito Primario
BS Bomba del Circuito Secundario

C Carga de Enfriamiento

CFM_{da} Cantidad de Aire Deshumidificado

CFM_{oa} Cantidad de Aire Externo por Ventilación

CFM_{sa} Cantidad de Aire Suministrado

C_{inst} Costos de Instalación del Sistema de Climatización

CKw/h Costo de cada Kw/h.

Clp Carga Latente de Enfriamiento por Personas

Costos de Operación del Sistema de Climatización
Csp Carga Sensible de Enfriamiento por Personas

CTon Costo de la Tonelada del Sistema CV Compuerta Reguladora de Aire

DTE Diferencia de Temperatura Equivalente

ERLH Calor Latente Efectivo
ERSH Calor Sensible Efectivo
ERTH Calor Total Efectivo

ESHF Factor de Calor Sensible Efectivo

Fa Factor de Almacenamiento

Fd Factor de Diversidad

Fs Factor de Sombra del vidrio

FSg Factor de Seguridad

Ga Ganancia por Radiación 3 horas antes a través de vidrios

Gf Ganancia de Calor por Luces Fluorescentes
Gi Ganancia de Calor por Luces Incandescentes
GI Ganancia Latente de Calor por Personas

Glb Globo - Tipo de Válvula

Gs Ganancia Sensible de Calor por Personas

GSHF Factor de Calor Sensible Total
GTH Carga Total de Enfriamiento

Gv Ganancia de Calor por Radiación a través de vidrios

HR Humedad Relativa

Marip Mariposa - Tipo de Válvula Número de Personas

Ν

Años de Operación del Sistema N_a

NAM **Network Access Module**

Días de Operación del Sistema N_d

Diferencia en Años - Recuperación Inversión Inicial Ndif

 N_h Horas de Operación del Sistema Meses de Operación del Sistema N_{m}

Diferencia entre t_{romm} y t_{sa} Otd

P1 Piso 1 Piso 2 P2 P3 Piso 3 P4 Piso 4 P5 Piso 5 Pb Planta Baja PR Punto de Rocío QI Calor Latente Qs Calor Sensible

Reg Reguladora - Tipo de Válvula

 R_{eh} Recalentamiento Rg Rango Diario

RLH Calor Latente del Espacio

Rn Número de Resistencias Térmicas

RSH Calor Sensible del Espacio

RSHF Factor de Calor Sensible del Espacio

Rt Resistencia Térmica Serpentín de Enfriamiento Serp Т Acoplamiento Tipo T

Punto de Rocío del Serpentín de Enfriamiento t_{adp}

TBH Temperatura de Bulbo Húmedo **TBS** Temperatura de Bulbo Seco

Temperatura Bulbo Seco Entrada de Aire al Serpentín $\mathsf{T}_{\mathsf{edb}}$

Tes Temperatura Equivalente de Superficie

Temperatura externa (condición de bulbo seco) T_{ex} Temperatura interna (condición de bulbo seco) T_{in}

 $\mathsf{T}_{\mathsf{Idb}}$ Temperatura Bulbo Seco Salida de Aire del Serpentín

TLH Calor Latente Total

Toneladas de Refrigeración Ton Trip Triple - Tipo de Válvula

Temperatura del Espacio Acondicionado t_{room}

Temperatura del Aire Suministrado t_{sa}

TSH Calor Sensible Total Acoplamiento Tipo Unión U **UEA** Unidad Enfriadora de Agua

Unidad Manejadora de Aire Vidrio esmerilado UMA

Ve Vidrio natural Vn

Dos Vías- Tipo de Válvula 2 V

SIMBOLOGÍA

A Área

Δt Diferencia de temperatura externa e interna. °F

Btu/hr Btu por Horas

C_c Coeficiente de Pérdida de Presión para los Codos

C_e Coeficiente de Pérdida de Presión para las Expansiones

CFM Pies Cúbicos por minuto

Cp Calor Específico del agua, 1 BTU / °F Lb
Cpa Calor específico del aire seco, 0.24 Btu/Lb °F
Cpw Calor específico del vapor de agua, 0.45 Btu/Lb °F

C_r Coeficiente de Pérdida de Presión para las Reducciones

D Diámetro de la Tubería o el Ducto

ΔP Pérdida por Fricción

DPBS Control - Diferencia de Presión Circuito Secundario DPDM Control - Diferencia de Presión Ducto de Mando

EABP Control - Encendido/Apagado Arrancador Bomba Circuito

Primario

EABS Control - Encendido/Apagado Variador Bomba Circuito

Secundario

EAM Control - Encendido/Apagado Variador UMA

EBP Control - Estado Circuito Primario

EC Control - Estado Compuerta Reguladora de Aire

EF Control - Estado del Filtro de UMA
EV Control - Estado del Ventilador de UMA

EVFBS Control - Estado Variador Bomba Circuito Secundario

EVFM Control - Estado Variador de UMA EVM Control - Estado Válvula de Dos Vías

f Fricción

FPM Pies por Minutos FPS Pies por Segundos

ft Pies

ft² Pies cuadrados Gb Giga bites

GPM Galones por Minuto

Grn/Lb Granos de Humedad por Libras de Aire Seco

H Cabezal de Fricción Hf Máximo Cabezal Hp Caballos de Potencia

in Pulgadas

in.H₂O Pulgadas de Agua

Kg Kilogramos

Kg/m³ Kilogramos por Metro Cúbico

Kg/mm² Kilogramos por Milímetros Cuadrados

Kw Kilovatios

Kw-hr Kilovatios Hora

Kw-hr / Ton Kilovatios Hora por Tonelada de Refrigeración Longitud de la Tubería, Ducto o Difusor

Lb/ft² Libras por pie cuadrado Lb/ft³ Libras por pie cúbico

Lequiv Longitud Equivalente de la Tubería o del Ducto

m Metros Lineales
M Flujo másico
mA Miliamperios
Mb Mega bites

MC Control - Acción Proporcional sobre Motor de Compuerta

Reguladora de Aire

mm Milímetros mph millas por horas

MV Control - Acción Proporcional sobre Motor de Válvula de Dos

Vías

^o F Grados Fahrenheit de Temperatura
 ^o K Grados Kelvin de Temperatura
 psig Presión Manométrica en Lb/in²
 PT Pérdida de Presión Total por Fricción
 Q Capacidad de Enfriamiento de UMA

R Radiación Solar Total

Ra Razón de Aspecto de un Ducto

RPM Revoluciones por Minuto

SP Presión Estática

T₁ Temperatura de entrada del agua en °F
 T₂ Temperatura de salida del agua en °F
 TA Control - Temperatura Ambiente

TDM Control - Temperatura del Ducto de Mando U Coeficiente de Transmisión de Calor

V Volumen Específico del agua, 0,01603 ft³/Lb

Vdc Voltaje de Corriente Directa

VFBS Control - Acción Proporcional sobre Variador de Bomba Circuito

Secundario

VFM Control - Acción Proporcional sobre Variador de UMA

VP Velocidad de Presión

W Peso

W/m.ºK Watts por Metro-Grados Kelvin Wt Razón de Humedad, 0.01 Grn/Lb

ρ Densidad del aire estándar, 0.075 Lb/ft3

ÍNDICE DE FIGURAS

		Pág.
Figura 1.1	Componentes del Sistema de Agua Enfriada por Aire	9
Figura 1.2	Componentes del Ciclo de Refrigeración por	
J	Compresión de Vapor	
Figura 2.1	Radiación Solar sobre un Vidrio Ordinario	
Figura 2.2	Radiación Solar sobre un Vidrio Especial 52%	
_		23
Figura 2.3	Componentes de Paredes Externas Expuestas al Sol -	
_	Sur Este y Oeste	43
Figura 2.4	Componentes de Pared Externa a la Sombra - Norte	43
Figura 2.5	Componentes de Paredes Recubiertas con Porcelanato	
_	- Sur y Oeste Pb	49
Figura 2.6	Componentes de Pared Interna – Este Pb	49
Figura 2.7	Componentes de la Base de la Azotea	53
Figura 2.8	Componentes de la Losa de un Piso	56
Figura 3.1	Representación de t _{adp} , BF y las Rectas RSHF, GSHF,	
	ESHF sobre Carta Psicrométrica	91
Figura 3.2	Diagrama Psicrométrico Pb UMA 1	100
Figura 3.3	Diagrama Psicrométrico P1 UMA 2 y 3	102
Figura 3.4	Diagrama Psicrométrico P2 UMA 4 y 5	104
Figura 3.5	Diagrama Psicrométrico P3 UMA 6 y 7	
Figura 3.6	Diagrama Psicrométrico P4 Oficinas UMA 8	108
Figura 3.7	Diagrama Psicrométrico P4 Auditorio UMA 9	110
Figura 3.8	Diagrama Psicrométrico P4 Aulas UMA 10	
Figura 3.9	Diagrama Psicrométrico P4 Comedor UMA 11	
Figura 3.10	Diagrama Psicrométrico P5 UMA 12 y 13	116
Figura 4.1	Componentes del Circuito Primario	127
Figura 4.2	Componentes del Circuito Secundario	130

ÍNDICE DE TABLAS

		Pág.
Tabla 1	Descripción Funcional del Edificio	
Tabla 2	Cálculo de Área Total de Vidrios Esmerilados	
Tabla 3	Cálculo de Área Total de Vidrios Naturales	27
Tabla 4	Cálculo de Carga de Enfriamiento por Radiación a través	
	de los Vidrios Esmerilados	29
Tabla 5	Cálculo de Carga de Enfriamiento por Radiación a través	
	de los Vidrios Naturales	
Tabla 6	Cálculo de Área Total de Bloques de Vidrio	32
Tabla 7	Cálculo de Carga de Enfriamiento por Radiación a través	
	de los Bloques de Vidrio	32
Tabla 8	Cálculo de Carga de Enfriamiento por Conducción a	
	través de los Vidrios	34
Tabla 9	Cálculo del Area Total de las Paredes Externas de un Piso	42
Tabla 10	Cálculo de Resistencia Térmica Total para las Paredes	
	Externas al Sol – Sur, Este y Oeste	44
Tabla 11	Cálculo de Resistencia Térmica Total para la Pared	
	Externa Sombreada – Norte	44
Tabla 12	Cálculo de Carga de Enfriamiento por Conducción a	
	través de las Paredes Externas del Edificio	
Tabla 13	Área de las Paredes de Pb	47
Tabla 14	Cálculo de Resistencia Térmica Total para la Pared	
	Recubierta con Porcelanato – Sur, Oeste	50
Tabla 15	Cálculo de Resistencia Térmica Total para la Pared	
	Interior – Este	50
Tabla 16	Cálculo de la Carga de Enfriamiento por Conducción a	
	través de las Paredes Recubiertas con Porcelanato -	
	Sur , Este y la Pared Sombreada Norte Pb	51
Tabla 17	Cálculo de Resistencia Térmica Total para la Base de la	
	Azotea	53
Tabla 18	Cálculo de Carga de Enfriamiento por Conducción a	
	través de la Azotea	54
Tabla 19	Cálculo de Resistencia Térmica Total para la Losa de los	
	Pisos	56
Tabla 20	Cálculo de Carga de Enfriamiento por Conducción a	
	través de la Losa de los Pisos	57
Tabla 21	Cálculo de Carga de Enfriamiento por Ventilación en el	
	Edificio	61

Tabla 22	Cálculo Multiplicativo entre Ganancias, Número de	
	Personas y Factor de Diversidad, por Piso	66
Tabla 23	Cálculo de Carga de Enfriamiento por Personas	
	en el Edificio	68
Tabla 24	Cálculo de Ganancia de Calor por Luces Fluorescentes	
	en el Edificio	72
Tabla 25	Cálculo de Carga de Enfriamiento por Luces	
	Fluorescentes en el Edificio	73
Tabla 26	Balance Térmico Pb	
Tabla 27	Balance Térmico P1	77
Tabla 28	Balance Térmico P2	78
Tabla 29	Balance Térmico P3	79
Tabla 30	Balance Térmico P4	
Tabla 31	Balance Térmico P5	81
Tabla 32	Capacidad de UMAS	
Tabla 33	Capacidad de los Enfriadores de Agua	
Tabla 34	Parámetros del Serpentín Pb UMA 1	99
Tabla 35	Parámetros del Serpentín P1 UMA 2 y 3	
Tabla 36	Parámetros del Serpentín P2 UMA 4 y 5	103
Tabla 37	Parámetros del Serpentín P3 UMA 6 y 7	105
Tabla 38	Parámetros del Serpentín P4 Oficinas UMA 8	107
Tabla 39	Parámetros del Serpentín P4 Auditorio UMA 9	109
Tabla 40	Parámetros del Serpentín P4 Aulas UMA 10	111
Tabla 41	Parámetros del Serpentín P4 Corredor UMA 11	113
Tabla 42	Parámetros del Serpentín P5 UMA 12 y 13	115
Tabla 43	Flujo de Agua para UMAS y Enfriadores	121
Tabla 44	Análisis del Circuito Primario – Dimensionamiento –	
	Máximo Cabezal – Potencia Requerida	128
Tabla 45	Análisis del Circuito Secundario – Dimensionamiento –	
	Máximo Cabezal – Potencia Requerida	131
Tabla 46	Dimensionamiento de las Tuberías de Descarga de	
	UMAS	
Tabla 47	Cálculo de Potencia UMA 1	
Tabla 48	Cálculo de Potencia UMA 2	154
Tabla 49	Cálculo de Potencia UMA 3	
Tabla 50	Cálculo de Potencia UMA 4	
Tabla 51	Cálculo de Potencia UMA 5	
Tabla 52	Cálculo de Potencia UMA 6	
Tabla 53	Cálculo de Potencia UMA 7	
Tabla 54	Cálculo de Potencia UMA 8	
Tabla 55	Cálculo de Potencia UMA 9	
Tabla 56	Cálculo de Potencia UMA 10	
Tabla 57	Cálculo de Potencia UMA 11	
Tabla 58	Cálculo de Potencia UMA 12	164

Tabla 59	Cálculo de Potencia UMA 13	165
Tabla 60	Cantidad de Componentes del Sistema de Control y	
	Monitoreo	188
Tabla 61	Cantidad de Compuertas Reguladoras Pb	188
Tabla 62	Cantidad de Compuertas Reguladoras P1	189
Tabla 63	Cantidad de Compuertas Reguladoras P2	190
Tabla 64	Cantidad de Compuertas Reguladoras P3	191
Tabla 65	Cantidad de Compuertas Reguladoras P4	192
Tabla 66	Cantidad de Compuertas Reguladoras P5	193
Tabla 67	Cantidad de Controladores Pb	196
Tabla 68	Cantidad de Controladores P1	196
Tabla 69	Cantidad de Controladores P2	197
Tabla 70	Cantidad de Controladores P3	197
Tabla 71	Cantidad de Controladores P4	198
Tabla 72	Cantidad de Controladores P5	198
Tabla 73	Cantidad de Controladores Terraza	199
Tabla 74	Análisis de Factibilidad	205

ÍNDICE DE PLANOS

Plano 1	Pb
Plano 2	P1
Plano 3	P2
Plano 4	P3
Plano 5	P4
Plano 6	P5
Plano 7	Terraza
Plano 8	Fachadas
Plano 9	Detalle de Fachadas Planta Baja
Plano 10	Diagrama Esquemático Sistema de Distribución de Agua Fría
Plano 11	Diagrama Esquemático del Sistema de Distribución de Aire Pb
Plano 12	Diagrama Esquemático del Sistema de Distribución de Aire P1
Plano 13	Diagrama Esquemático del Sistema de Distribución de Aire P2
Plano 14	Diagrama Esquemático del Sistema de Distribución de Aire P3
Plano 15	Diagrama Esquemático del Sistema de Distribución de Aire P4
Plano 16	Diagrama Esquemático del Sistema de Distribución de Aire P5

INTRODUCCIÓN

En la mayoría de los lugares de trabajo, oficinas, negocios, salas de reuniones, locales comerciales y de comida, etc., ofrecer un ambiente confortable no es un lujo, es una necesidad y debe de ser visto como una inversión inicial indispensable para que las personas se sientan cómodas y relajadas, deseosas de brindar su mejor esfuerzo, o simplemente listas para firmar ese contrato tan esperado.

Por eso, la Climatización de un Espacio es un aspecto muy importante que los Empresarios, Gerentes e Ingenieros deben considerar en el momento de planificar un Proyecto; producir las condiciones térmicas agradables no es un proceso implementado al azar, se requiere realizar un estudio técnico, sistemático, basado en el análisis de variables que se relacionan entre si afectando directamente el calor almacenado en el Espacio, y parámetros físicos muchas veces difíciles de medir, pero con un criterio adecuado, posibles de estimar.

En el presente trabajo mostraremos la metodología y los procedimientos básicos para diseñar un Sistema que satisfaga los requerimientos de climatización de un Edificio y que sea conveniente desde un punto de vista energético y económico.

CAPÍTULO 1

1.DESCRIPCIÓN GENERAL DEL SISTEMA ACONDICIONADOR DE AIRE

Para utilizar las herramientas de Ingeniería que nos permiten brindar "confort" necesitamos identificar detalladamente el problema; es decir, conocer las características del lugar que necesitamos climatizar, no solo físicas y geométricas sino también funcionales. En este Capítulo describiremos las características del Edificio y el Sistema que nos permite proporcionar las condiciones térmicas necesarias para su climatización.

1.1 Consideraciones Generales del Proyecto.

La funcionalidad del edificio nos proporciona información sobre el tipo de actividad que se realiza en los diferentes departamentos, y para nuestro caso en particular, se realizarán actividades administrativas de oficina para las cuales se requiere un ambiente fresco y agradable en el desarrollo óptimo de las mismas.

El Edificio tiene cinco pisos con diferentes departamentos donde se realizan las operaciones previstas por la Organización. En la Tabla 1 describimos el tipo de actividad que se realiza en cada uno de ellos.

TABLA 1

DESCRIPCIÓN FUNCIONAL DEL EDIFICIO

РВ	Ingreso del Personal y Recepción
P1	Departamento de Crédito, Cobranzas y Archivo General
P2	Departamento de Compras
P3	Departamento de Sistemas, Contraloría y Servicios Generales
P4	Departamento de Recursos Humanos, Auditorio, Aulas y Comedor
P5	Presidencia

En los Planos, del 1 al 8 , adjuntamos los dibujos arquitectónicos del Edificio que nos proporcionan una completa información de la distribución de los departamentos en cada piso, con la finalidad de realizar los cálculos de Ingeniería y las mediciones pertinentes .

1.2 Proceso de Diseño

Al definir los objetivos de nuestro trabajo y el alcance del proyecto, debemos establecer el procedimiento técnico que debemos seguir para encontrar una solución económica y eficiente al problema de la climatización del Edificio.

Conociendo las características geométricas, físicas y funcionales calculamos primeramente la Carga Térmica, que es un valor que nos permite tener una idea aproximada de cuanto calor necesitamos "vencer" para climatizar el Edificio y seleccionar adecuadamente la capacidad de los equipos requeridos.

Como el enfriamiento del aire es un Proceso de Transferencia de Calor, es necesario evaluar las condiciones del aire para determinar las características de las superficies de los serpentines de enfriamiento donde se produce dicha transferencia. Para su efecto realizamos los respectivos Cálculos Psicrométricos.

El agua de enfriamiento se encarga de extraer el calor del aire, por lo tanto hemos diseñado el Sistema de Distribución del Agua que alimentará a las Unidades Manejadoras de Aire de acuerdo a las condiciones de volumen requeridas.

El aire acondicionado debe ser suministrado al ambiente con las condiciones de velocidad y volumen necesarias para garantizar un nivel de ruido aceptable y una variación de temperatura dentro de los rangos permisibles; el Sistema de Distribución del Aire es diseñado basándose en estos requerimientos.

Para un funcionamiento dirigido hacia el ahorro de la energía y tomando en consideración el continuo avance de la Tecnología, utilizamos un Sistema de Control y Monitoreo con la finalidad de mantener las condiciones térmicas y las variables del Sistema Mecánico dentro de los parámetros de diseño.

Todos los procedimientos mencionados son explicados desarrollados en los capítulos del presente trabajo con la finalidad de justificar los argumentos técnicos que hemos utilizado para seleccionar finalmente Climatización y el Sistema de Componentes.

1.3 Criterio de Selección del Sistema

En el campo de la Ingeniería existe una variedad de Sistemas de Acondicionamiento de Aire para edificios; podríamos mencionar Expansión Directa, Agua Enfriada por Aire, Agua Enfriada por Agua, Sistema de Absorción, etc; la elección de uno u otro depende de algunos factores que se relacionan entre sí, como por ejemplo, el factor económico, la eficiencia, el tiempo de instalación y el espacio físico disponible.

En el Proceso de Diseño para un proyecto en particular podrían ser muchas las consideraciones para seleccionar el Sistema que cumpla con los requerimientos; nosotros hemos seleccionado un Sistema de Agua Enfriada por Aire para el Acondicionamiento del Edificio de acuerdo a los siguientes criterios:

- Agua enfriada por Aire en relación con otros sistemas es que el mayor consumo energético está en la casa de máquinas, es decir en la Unidad Enfriadora (90-95 %) en comparación, como por ejemplo, en el Sistema de Expansión Directa donde el consumo energético está distribuido en todo el edificio. Esta condición en particular es muy importante sobre todo cuando existe un solo dueño como en nuestro caso, porque él asume el gasto del consumo sin discusiones debido a que ha dividido cada piso de acuerdo a sus necesidades organizacionales; por lo tanto, por consumo energético y desde un punto de vista administrativo, el Sistema de Agua enfriada por Aire es conveniente.
- Compatibilidad con el Sistema de Control y Monitoreo.- En la actualidad, implementar un Sistema Automático no es un lujo o una opción, es una necesidad de que los sistemas mecánicos, eléctricos, informáticos, etc., tengan la capacidad de comunicarnos su estado de funcionamiento y si los

parámetros involucrados en el proceso se encuentran en los valores previamente establecidos en el diseño. Por esta razón, el Sistema de Climatización que seleccionemos debe ofrecernos cierta adaptabilidad para el Sistema Automático, y esta es una de las características que proporciona el Sistema de Agua enfriada por Aire, una distribución ordenada de sus elementos en comparación con los otros sistemas.

• Costos.- Quizás el criterio más importante para seleccionar un sistema es el económico; de los estudios que hemos realizado, el Sistema que proponemos tiene un costo de inversión alto, debido principalmente a la instalación de los equipos y sus componentes; sin embargo , el costo de operación es menor por el ahorro que se produce en el consumo de la energía eléctrica, razón por la cual , la inversión se recupera en menor tiempo en comparación con los otros sistemas , como por ejemplo , Expansión Directa.

En conclusión, seleccionar un Sistema de Agua enfriada por Aire para las necesidades térmicas del Edificio es la mejor alternativa, decisión que hemos tomado sobre la base de los criterios presentados.

1.4 Componentes del Sistema

El Sistema de Agua enfriada por Aire que hemos seleccionado tiene los siguientes componentes básicos:

- Unidad Enfriadora de Agua
- Bomba del Circuito Primario
- Bomba del Circuito Secundario
- Unidad Manejadora de Aire
- Sistema de Distribución de Aire

En la Figura 1.1 mostramos un esquema ilustrativo de cada uno de los Componentes del Sistema.

1.5 Funcionamiento del Sistema

Los componentes que hemos descrito son los que en conjunto producen el confort necesario para climatizar el Edificio; el resultado es un ambiente de trabajo cómodo y agradable.

Todo el Sistema está interconectado por tuberías de hierro; la Bomba del Circuito Secundario se encarga de suministrar el agua de enfriamiento a la UMA y retornarla hacia la UEA; la Bomba del Circuito Primario se encarga de hacer circular una cantidad de agua fría constante porque uno de los principios de funcionamiento del Enfriador es trabajar con estas condiciones de flujo.

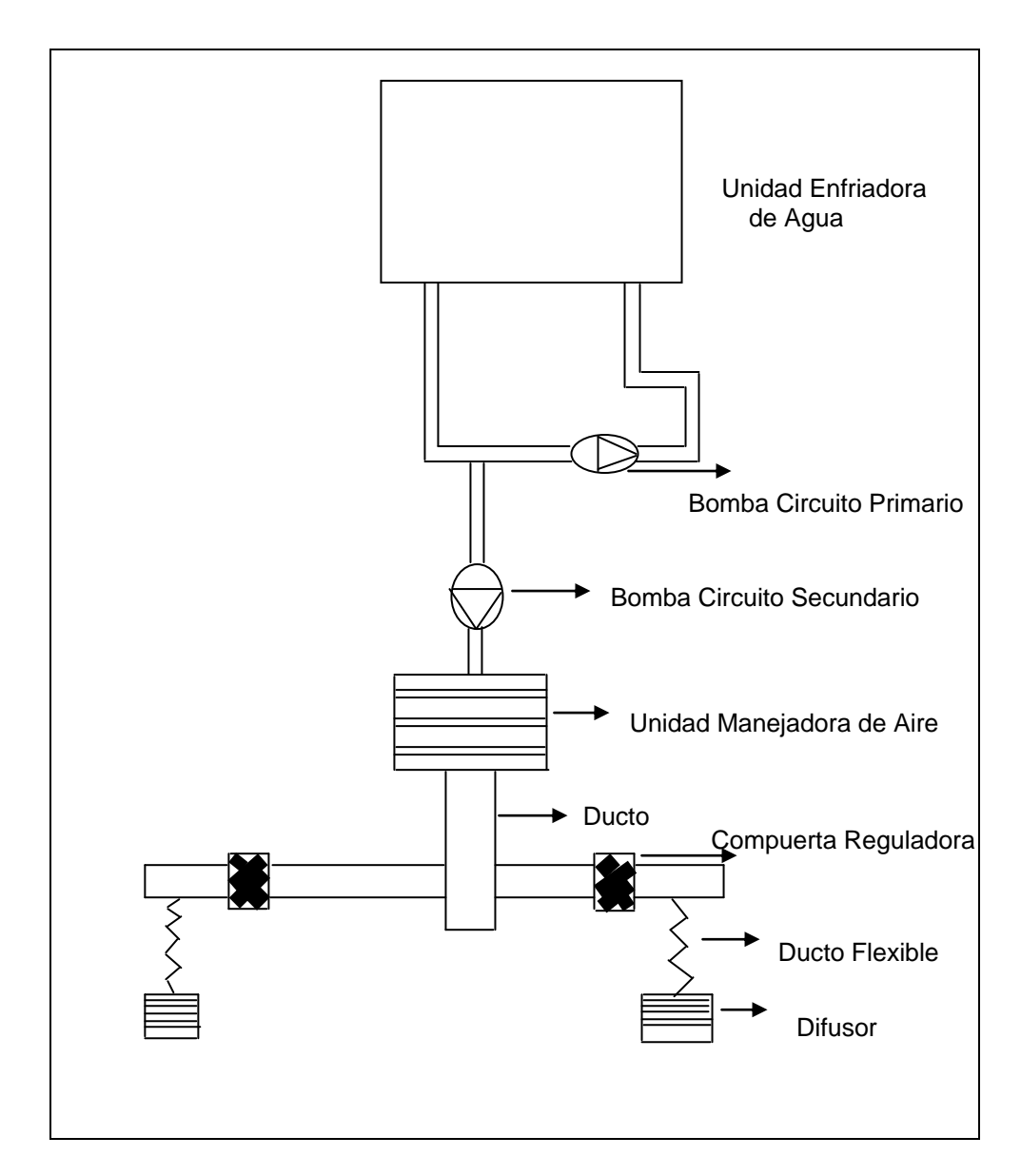


Figura 1.1 Componentes del Sistema de Agua Enfriada por Aire

El ventilador de la UMA hace pasar el aire caliente a través del serpentín por donde circula el agua fría; por un Proceso de Transferencia, el calor fluye de un cuerpo a otro siempre que exista una diferencia de temperatura y es transferido hacia el cuerpo de

menor temperatura; de esta manera el calor es extraído del aire y transferido al agua fría; como consecuencia, el aire es enfriado y suministrado al ambiente por medio del Sistema de Distribución. Las condiciones y propiedades a las cuales el aire ingresa y sale del serpentín deben ser determinadas por medio de un análisis psicrométrico.

El calor del agua que retorna de la UMA es rechazado en el Enfriador. La UEA opera mediante el Ciclo de Refrigeración a base de la compresión de un vapor, y lo que específicamente realiza es extraer el calor de un espacio (agua) y rechazarlo a otro espacio seleccionado (aire). Para ello cuenta con cuatro componentes básicos y un fluido conocido como refrigerante que circula entre ellos.

En el Intercambiador se absorbe el calor del agua por lo cual baja la temperatura de la misma. Al desarrollar este proceso, el fluido que circula (refrigerante) se evapora y fluye hacia el Compresor donde se le eleva la presión y la temperatura , para luego rechazar en el Condensador el calor absorbido a un medio seleccionado , en nuestro caso aire por medio de ventiladores.

Al rechazar el calor el refrigerante se condensa y pasa a través de la Válvula de Expansión donde se le baja la presión y la temperatura para ingresar nuevamente al Intercambiador y repetir el ciclo.

En la Figura 1.2 mostramos un esquema ilustrativo de los Componentes del Ciclo de Refrigeración por compresión de vapor.

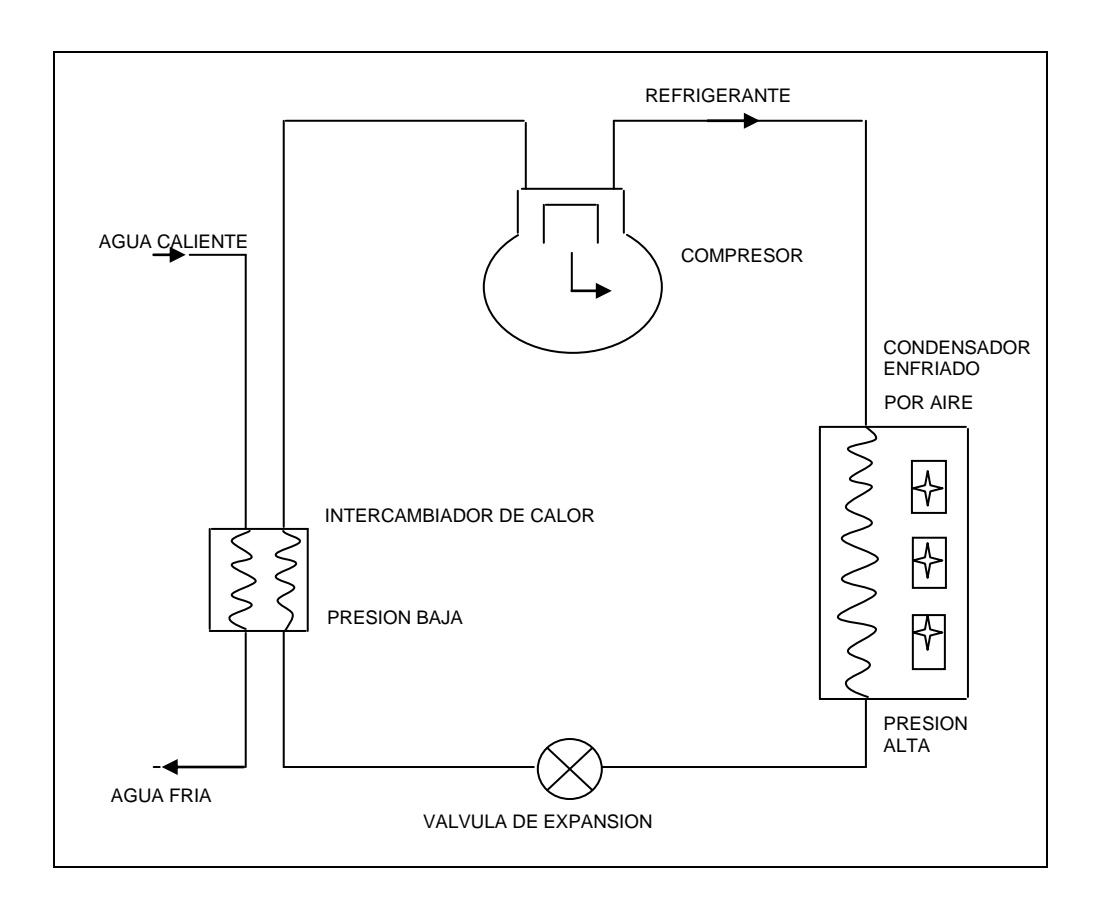


Figura 1.2 Componentes del Ciclo de Refrigeración por Compresión de Vapor

1.6 Descripción del Proyecto.

De acuerdo a los estudios que hemos realizado y a los procedimientos, cálculos y resultados que presentamos en nuestro trabajo, el Sistema de Climatización del Edificio está constituido por

dos Unidades de Enfriamiento de 135 Ton. cada una con Condensadores enfriados por aire, 13 Unidades Manejadoras de aire para climatizar las diferentes áreas de cada piso, 3 Bombas en el Circuito Primario (2 en funcionamiento y 1 de reserva), 2 Bombas en el Circuito Secundario (1 en funcionamiento y la otra de reserva), una red de tubería de hierro negro que interconectará todo el Sistema, un lote de ductos aislados para la distribución del aire acondicionado y una serie de accesorios para el normal funcionamiento de las partes.

El Sistema de Control y Monitoreo del Edificio está orientado a manejar y verificar, en forma automática, el estado de funcionamiento de los equipos que conforman el Sistema de Climatización con el fin de mantener los parámetros de confort preestablecidos.

CAPÍTULO 2

2. CARGA TÉRMICA

A través de años de trabajo, diversas compañías y organizaciones han evaluado múltiples factores requeridos para determinar la Carga de Enfriamiento. Cuando se utilizan estos factores para el cálculo de cargas en espacios y edificios, lo importante es aplicar un buen criterio para desarrollar algún procedimiento definido. En este Capítulo presentamos los cálculos de Carga Térmica que nos permiten seleccionar la capacidad requerida para los equipos climatizadores del Edificio.

2.1 Consideraciones Generales

Las variables que afectan el cálculo de Carga Térmica son numerosas, frecuentemente difíciles de definir en forma precisa, y no siempre están en cada momento mutuamente relacionadas. Muchas variables de Carga de Enfriamiento cambian extensamente en magnitud durante un período de 24 horas; los cambios pueden producirse en momentos diferentes unos de otros, por ello deben analizarse individualmente.

La variación en los coeficientes de transmisión de calor de los materiales, el grado de actividad de las personas, el tipo y número de ventanas, la forma de construcción, orientación y la manera como el Edificio opera son algunas de las variables que imposibilitan un cálculo numéricamente preciso.

Mientras que los procedimientos sean usados en forma razonable por el diseñador, el cálculo es aceptado como correcto, pero todavía es solamente una estimación buena de la real Carga de Enfriamiento.

2.2 Definiciones Térmicas

Para realizar el cálculo térmico es necesario definir ciertos conceptos básicos que nos permiten entender el comportamiento de las variables involucradas en el proceso. Producir las condiciones de confort significa extraer el calor que el espacio ha ganado durante la jornada de trabajo, mediante el funcionamiento de un equipo acondicionador seleccionado apropiadamente.

Ganancia de Calor

La Ganancia de Calor es la razón a la cual el calor entra o es generado en el espacio en un momento determinado. Se clasifica por el modo en el cual entra al espacio y se expresa en Btu/hr.

Carga Térmica

También llamada Carga de Enfriamiento, es la razón a la cual el calor tiene que ser removido de un espacio para mantener determinadas condiciones de temperatura y humedad que dan lugar al confort humano; se expresa en Btu/hr.

Calor Sensible y Latente

Cuando aplicamos calor a una sustancia y esta responde aumentando su temperatura, estamos aplicando Calor Sensible; cuando aplicamos calor a una sustancia y esta no aumenta su temperatura pero si cambia de estado, estamos aplicando Calor Latente.

2.3 Criterios de Diseño

Los Criterios de Diseño son argumentos técnicos importantes que los Ingenieros utilizan como información inicial para realizar el cálculo térmico; se basan en la experiencia y la investigación científica y consisten en establecer adecuadamente las condiciones interiores y

16

exteriores así como también el momento del día para el cual la Carga

Térmica es máxima.

Condiciones Exteriores

Las Condiciones Exteriores de diseño se definen como la

temperatura exterior de bulbo seco y de bulbo

respectivamente, del ambiente donde se requiere calcular la Carga

de Enfriamiento. Lógicamente, estos valores dependen de los

factores metereológicos y climáticos que se manifiestan sobre la

región geográfica donde se encuentra nuestro objeto de cálculo. En

el Apéndice A.1 se encuentran recopilados los datos sobre las

variaciones de la temperatura exterior en Guayaquil.

Para el diseño del Sistema de Climatización del Edificio, tomaremos

como condiciones exteriores los siguientes valores:

TBS: 92 ° F

TBH: 80 ° F

Condiciones Interiores

Las Condiciones Interiores de diseño se definen como la temperatura

de bulbo seco y la humedad relativa que deseamos mantener dentro

del espacio para producir un clima confortable. En el Apéndice A.2

17

se muestra información sobre las condiciones interiores de diseño

recomendadas para diferentes tipos de aplicación.

Para el diseño del Sistema de Climatización del Edificio, tomaremos

como condiciones interiores los siguientes valores:

TBS: 75 ° F

HR: 50 %

Hora de Diseño

La Hora de Diseño se define como el instante de máxima Ganancia

de Calor para el cual calculamos la Carga de Enfriamiento.

Este momento no es detectable fácilmente, no es posible definirlo a

priori, ya que los componentes principales de la Carga de

Enfriamiento no se dan al mismo tiempo. La carga máxima de

temperatura exterior se toma como las 3:00 p.m., la máxima

ganancia solar a través de vidrios llega a cualquier hora desde las

7:00 a.m. hasta las 5:00 p.m., dependiendo de la orientación

geográfica de la ventana; las ganancias de calor internas pueden

llegar a su pico en cualquier momento.

Para determinar el instante de máxima carga se recomienda realizar

la sumatoria individual de las diferentes cargas para cada hora de

acuerdo al tiempo de operación del Edificio; es decir, por ejemplo,

sumar todas las ganancias de calor que se generan a las 09:00 a.m., 12:00 p.m., 3:00 p.m.; este procedimiento sencillo nos permite encontrar la hora de diseño y balancear correctamente la Carga de Enfriamiento.

2.4 Determinación de Factores

Para calcular la Carga de Enfriamiento de un espacio, se requiere información detallada de la edificación que deseamos climatizar.

Generalmente, los siguientes factores influyen en nuestros cálculos:

Orientación del Edificio.- Localización del espacio que vamos a acondicionar con respecto al sol y los efectos del viento; superficies reflexivas, sombra debido a estructuras adyacentes.

Uso del Espacio y Dimensiones.- Tipo de Actividad que ejercen las personas si el espacio es una Oficina, hospital, hotel, tienda especial, cuarto de máquinas, industria, laboratorio, salón de reuniones, etc; dimensiones físicas de las paredes, pisos, losas; largo, ancho y altura.

Materiales de Construcción.- Materiales y espesores de paredes exteriores e interiores, azotea, pisos, techos internos y su posición relativa en la estructura; columnas y vigas.

Ventanas y Puertas.- Dimensiones y localización, marco de madera o metal, tipo de vidrio, tipo de dispositivo de sombra, frecuencia de uso, bloques de vidrio, tragaluz, etc.

Rutina de Operación.- Información sobre una rutina de iluminación, personas, equipo interno, aplicaciones y procesos que contribuyan a incrementar la Carga Térmica.

2.5 Clasificación de las Cargas Térmicas

Para poder evaluar los efectos térmicos sobre el espacio y para definir el proceso de selección y dimensionamiento del Sistema de Climatización, es necesario clasificar las cargas de acuerdo a como se generan, interna o externamente.

2.5.1 Cargas del Espacio Externo

Son las ganancias de calor que se producen por factores físicos que ocurren fuera del espacio que deseamos acondicionar. El calor solar que fluye a través de las superficies transparentes, paredes externas, azotea y el aire que fluye hacia el espacio por ventilación forzada, son las cargas que afectan primordialmente el comportamiento térmico del espacio y deben ser evaluadas para la más crítica de las condiciones, es decir, para la hora de diseño.

Ganancia de Calor a través de Vidrios Ordinarios

Un vidrio ordinario se lo define como un cristal de simple espesor y simple o doble refuerzo.

La ganancia de calor solar a través de un vidrio ordinario depende de su localización sobre la superficie de la tierra (latitud), tiempo del día, tiempo del año, y la orientación de la ventana.

La componente de la radiación directa es considerada una ganancia de calor para el espacio solamente cuando la ventana está directamente afectada por los rayos del sol, mientras que la componente de la radiación difusa es considerada ganancia de calor cuando la ventana no es afectada por los rayos del sol.

Un vidrio ordinario absorbe una pequeña porción del calor solar (5 a 6%) y refleja o transmite el resto. La cantidad reflejada o transmitida depende del ángulo de incidencia.

La Figura 2.1 nos muestra el calor reflejado, absorbido y transmitido a través de un vidrio ordinario para un ángulo de incidencia de 30°. La ganancia de calor solar total en el

espacio consiste en el calor transmitido más un 40% del calor que es absorbido en el vidrio.

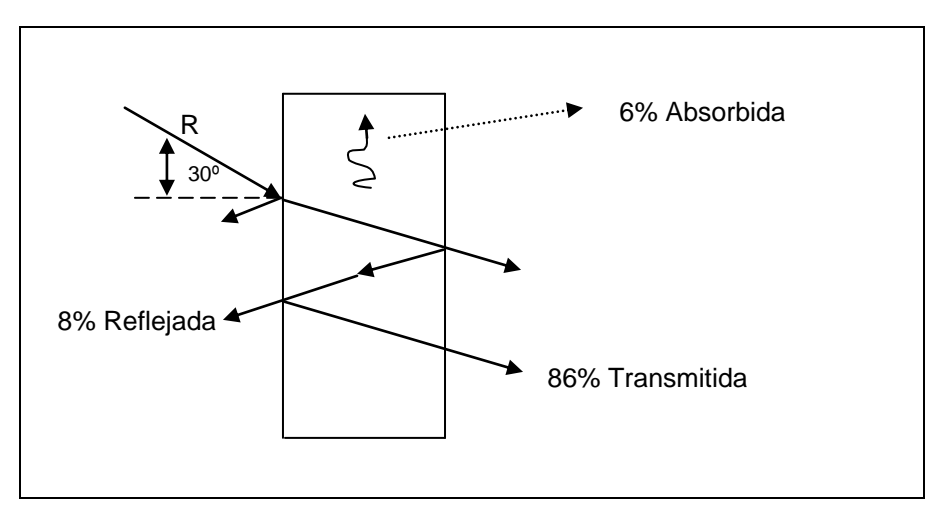


Figura 2.1 Radiación Solar sobre un Vidrio Ordinario

El Apéndice A.3, nos muestra las Ganancias de Calor solar para 0 º latitud sur, los meses del año y horas del día a través de un vidrio ordinario. Estos valores incluyen la radiación directa y difusa así como la porción de calor absorbido por el vidrio; no incluye la transmisión de calor a través del vidrio debido a la diferencia de temperaturas entre el aire interno y externo, respectivamente.

Las Ganancias de Calor presentadas en el Apéndice A.3 se basan en las siguientes condiciones:

22

Area de vidrio igual al 85% en relación al área del

marco de la ventana.

Aire sin neblina

Nivel del mar

• PR: 67 °F, TBS: 95 °F, TBH: 75 °F.

Corrección de la Ganancia de Calor

Para condiciones diferentes a las mencionadas, como en el

caso de nuestro proyecto, se deben utilizar los respectivos

factores de corrección de la Ganancia de Calor de acuerdo a

las recomendaciones técnicas.

En el Apéndice A.4 se muestra la Ganancia de Calor a través

de un vidrio ordinario corregida para nuestros requerimientos.

Básicamente, hemos añadido un 7% de ganancia a los meses

de Diciembre y Enero; como los marcos de las ventanas del

Edificio son metálicos, hemos multiplicado cada valor por 1.17;

adicionalmente, a cada valor le hemos restado un 7% de la

ganancia debido a que nuestras condiciones exteriores

difieren.

Todo Tipo de Vidrio

Existe una variedad de vidrios capaces de absorber más calor solar porque pueden tener un mayor espesor o han sido tratados térmicamente para este propósito; estos vidrios especiales reducen el calor solar transmitido hacia el espacio porque incrementan la cantidad de calor solar absorbido como se muestra en la Figura 2.2 para el caso de un vidrio especial 52% absorbente.

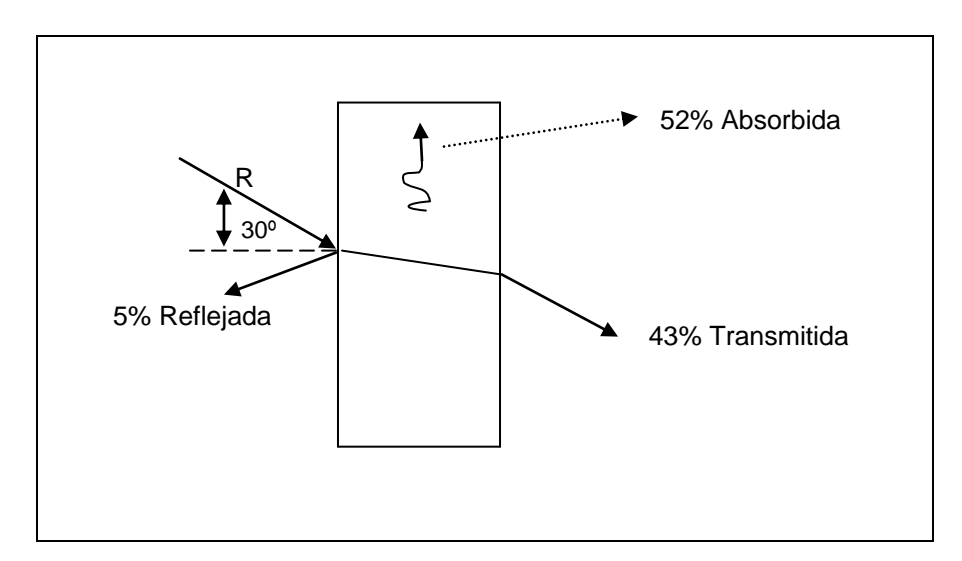


Figura 2.2 Radiación Solar sobre un Vidrio Especial 52% Absorbente

<u>Dispositivos de Sombra</u>

La efectividad de un dispositivo de sombra depende de su capacidad de reducir al mínimo la cantidad de calor solar transmitido en el espacio acondicionado. Todo dispositivo refleja y absorbe una gran parte de la ganancia de calor, dejando una pequeña porción para ser transmitida, siendo los dispositivos externos mucho más eficientes que los internos porque todo el calor solar reflejado es mantenido fuera del espacio y el calor absorbido es disipado hacia el aire externo.

Para relacionar las características físicas de los vidrios especiales con los vidrios ordinarios, en el Apéndice A.5, se muestran los Factores de Sombra para la Ganancia de Calor solar a través de diferentes tipos de vidrio considerando los dispositivos de sombra, externos e internos respectivamente.

Almacenamiento de Calor en la Estructura del Edificio

Una larga porción de la ganancia instantánea de calor es radiante, razón por la cual no se convierte en una carga instantánea para el equipo porque debe incidir primeramente sobre una superficie sólida y ser absorbida por esta superficie (paredes, azotea, vidrios) . El calor absorbido produce un aumento de la temperatura de la superficie del material y del aire adyacente a la superficie. Esta diferencia de temperatura causa que el calor fluya hacia el interior del material por conducción y desde la superficie al aire por convección. El calor transferido por conducción se almacena y el transferido

por convección se convierte en una Carga Instantánea de Enfriamiento.

Las construcciones pesadas almacenan más calor que las livianas, siendo esta una consideración importante cuando se calcula la carga.

Otro aspecto que afecta significativamente el calor almacenado es el período de operación del equipo acondicionador de aire. Si el equipo es apagado después de 12 horas de operación, una parte del calor almacenado permanece en la construcción. Este calor debe ser removido y aparecerá como una carga adicional cuando el equipo sea prendido el día siguiente.

Períodos más cortos de operación incrementan la carga adicional porque más calor almacenado no es removido de la construcción debido a que el equipo está apagado.

En el Apéndice A.6 se muestran los Factores de Almacenamiento para la Ganancia de Calor Solar a través de los vidrios. Estos valores han sido desarrollados para 12 horas de operación, horas del día, orientación y peso de la estructura.

Cálculo de la Carga de Enfriamiento por Radiación a través de los vidrios del Edificio

Para calcular la Carga de Enfriamiento que contrarreste la Radiación Solar transferida a través de los vidrios, utilizamos la Ecuación 2.1 :

$$C = Gv \times A \times Fs \times Fa$$
 (2.1)

donde

Gv = Máxima Ganancia de Calor Solar, Btu / hr ft²,

Apéndice A.4.

 $A = Area del vidrio, ft^2$

Fs = Factor de Sombra del vidrio, Apéndice A.5.

Fa = Factor de Almacenamiento, Apéndice A.6.

Revisando detalladamente los planos arquitectónicos del Edificio, para nuestro proyecto en particular, podemos notar que las ventanas exteriores para las cuatro orientaciones, están conformadas por dos tipos de vidrio: Natural y Esmerilado. Además, la cantidad de vidrios para cada uno de los pisos según el diseño, es la misma excepto Pb; por lo tanto, bastará hacer el análisis de carga para un solo piso. De los planos arquitectónicos, obtenemos las dimensiones de las ventanas y procedemos primeramente a calcular el área total

de las mismas para cada una de las orientaciones. Las Tablas 2 y 3 muestran los resultados del cálculo.

TABLA 2
CÁLCULO DEL ÁREA TOTAL DE VIDRIOS ESMERILADOS

Orientación	Cantidad	Alto (ft)	Ancho (ft)	Area (ft²)	Area Total (ft²)
Norte					
Sur	26	4,92	1,64	8,07	209,79
Este	14	4,92	1,64	8,07	112,96
Oeste	6	4,92	1,64	8,07	48,41

TABLA 3
CÁLCULO DEL ÁREA TOTAL DE VIDRIOS NATURALES

Orientación	Cantidad	Alto (ft)	Ancho (ft)	Área (ft²)	Área Total (ft²)
Norte	9	5,90	4,92	29,05	261,43
					261,43
Sur	3	4,92	5,64	27,76	83,27
	22	4,92	5,67	27,92	614,20
	1	4,92	3,02	14,85	14,85
	1	4,92	6,07	29,85	29,85
					742,17
Este	13	4,92	5,67	27,92	362,93
	1	4,92	2,36	11,62	11,62
	1	4,92	2,30	11,30	11,30
					385,85
Oeste	5	4,92	5,67	27,92	139,59
	2	4,92	2,36	11,62	23,24
					162,83

Finalmente la Carga de Enfriamiento es calculada de acuerdo a la Ecuación 2.1. Las Tablas 4 y 5 muestran los resultados del cálculo de Carga de Enfriamiento para la Radiación Solar a través de los Vidrios Esmerilados y Naturales, utilizando una Hoja Electrónica de Excel. Cada valor de ganancia es multiplicado por el área de la ventana de acuerdo a su orientación, por Fs de acuerdo al tipo de vidrio y por Fa considerando un peso promedio de 30 Lb/ft² de área por piso.

La Máxima Carga de Enfriamiento debido a la Radiación Solar a través de los Vidrios Esmerilados es de **24.245 Btu/hr** y ocurre en Diciembre 22 a las 9:00 A.M.

La Máxima Carga de Enfriamiento debido a la Radiación Solar a través de los Vidrios Naturales es de **88.889 Btu/hr** y ocurre en Diciembre 22 a las 9:00 A.M.

Bloques de Vidrio

Los Bloques de Vidrio se diferencian de los vidrios ordinarios (delgados) porque tienen una mayor capacidad de absorber la radiación solar de tal manera que el calor se transfiere en un tiempo posterior, aproximadamente en 3 horas. Esto es causado por la notable capacidad de almacenamiento térmico

TABLA 4

CÁLCULO DE CARGA DE ENFRIAMIENTO POR RADIACIÓN

A TRAVÉS DE LOS VIDRIOS ESMERILADOS

Fs:	0,74				A.M.						P.N	Л.		
Día	Orient.	6	7	8	9	10	11	12	1	2	3	4	5	6
	Norte	0	0	0	0	0	0	0	0	0	0	0	0	0
Dic 22	Sur	0	8174	11806	13441	14168	14531	14894	14531	14168	13441	11806	8174	0
	Este	0	8395	11789	10695	5912	1808	342	260	219	178	118	53	0
	Oeste	0	86	115	109	100	82	76	397	1715	3791	5053	4133	0
		0	16655	23711	<u>24245</u>	20180	16421	15313	15187	16102	17410	16977	12359	0
	Norto	_		0	0			0		0	0	0	0	_
Nov-21	Norte Sur	0	0 6721	0 9808	11080	0 11806	0 11988	12170	0 11988	0 11806	0 11080	0 9808	0 6721	0
Ene-21	Este	0	8757	12190	11012	6103	1808	342	260	219	178	118	53	0
LIIC ZI	Oeste	0	86	115	109	100	82	76	397	1771	3904	5224	4311	0
	Ocsic	0	15563	22114	22200	18009	13878	12588	12645	13796	15161	15151	11084	0
		_	10000			10000	10010	12000	12010	10100	10101	10101	11001	
		_												_
0-: 00	Norte	0	0	0	0	0	0	0	0	0	0	0	0	0
Oct-23 Feb-20	Sur Este	0	2886 8726	4753 12217	5262 10958	5602	5772	5772 320	5772 243	5602	5262	4753 121	2886 49	0
Feb-20	Oeste	0	80	118	10936	6120 93	1808 77	71	396	205 1775	166 3884	5236	4295	0
	Oesie	0	11 691	17088	16322	11815	7656	6163	6411	7582	9313	10110	7231	0
		U	11031	17000	10322	11013	7030	0103	0411	7302	3313	10110	7231	_
	Norte	0	0	0	0	0	0	0	0	0	0	0	0	0
Mar-22	Sur	0	1019	2037	2207	2377	2377	2377	2377	2377	2207	2037	1019	0
Sep-22	Este	0	9064	12517	11180	6357	1847	320	243	205	166	121	49	0
	Oeste	0	80	118	102	93	77	71	405	1844	3963	5364	4462	0
		0	10162	14672	13488	8827	4301	2768	3025	4426	6336	7522	5530	0
	Norte	0	0	0	0	0	0	0	0	0	0	0	0	0
Abr-20	Sur	0	1019	2037	2207	2377	2377	2377	2377	2377	2207	2037	1019	0
Ago-24	Este	0	8726	12217	10958	6120	1808	320	243	205	166	121	49	0
/ igo Z i	Oeste	0	80	118	102	93	77	71	396	1775	3884	5236	4295	0
	00010	0	9824	14372	13266	8589	4261	2768	3016	4357	6258	7394	5363	0
	Norte	0	0	0	0	0	0	0	0	0	0	0	0	0
May- 21	Sur	0	1019	1867	2207	2377	2377	2377	2377	2377	2207	1867	1019	0
Jul-23	Este	0	8184	11393	10291	5704	1690	320	243	205	166	111	49	0
	Oeste	0	80	108	102	93	77	71	371	1655	3648	4883	4029	0
		0	9283	13368	12600	8173	4143	2768	2990	4236	6021	6860	5097	0
	Norte	0	0	0	0	0	0	0	0	0	0	0	0	0
Jun-21	Sur	0	1019	1867	2207	2377	2377	2377	2377	2377	2207	1867	1019	0
	Este	0	7846	11018	9995	5525	1690	320	243	205	166	111	49	0
	Oeste	0	80	108	102	93	77	71	371	1603	3543	4722	3863	0
		0	8945	12993	12304	7995	4143	2768	2990	4184	5916	6700	4930	0

TABLA 5

CÁLCULO DE CARGA DE ENFRIAMIENTO POR RADIACIÓN A

TRAVÉS DE LOS VIDRIOS NATURALES

Fs:	0,65				A.M.				1	P	P.M.			
Día	Orient.	6	7	8	9	10	11	12	1	2	3	4	5	6
	Norte	0	8947	12923	14712	15508	15905	16303	15905	15508	14712	12923	8947	0
Dic 22	Sur	0	25399	36687	41767	44025	45154	46282	45154	44025	41767	36687	25399	0
	Este	0	25189	35371	32088	17738	5426	1027	781	657	534	355	158	0
	Oeste	0	253	341	322	295	243	225	1171	5067	11201	14927	12210	0
		0	59787	85322	<u>88889</u>	77566	66727	63838	63011	65257	68214	64892	46714	0
Nov-	Norte	0	7356	10736	12128	12923	13122	13321	13122	12923	12128	10736	7356	0
21 Ene-	Sur	0	20884	30479	34430	36687	37252	37816	37252	36687	34430	30479	20884	0
21	Este	0	26275	36574	33038	18311	5426	1027	781	657	534	355	158	0
	Oeste	0 0	253	341	322	295	243	225	1171	5231	11532	15434	12736	0
		U	54767	78130	79918	68216	56042	52389	52326	55498	58624	57004	41134	0
Oct-	Norte	0	3159	5203	5760	6132	6318	6318	6318	6132	5760	5203	3159	0
23 Feb-	Sur	0	8967	14770	16352	17407	17935	17935	17935	17407	16352	14770	8967	0
20	Este	0	26179	36655	32876	18361	5425	960	729	614	499	362	148	0
	Oeste	0	236	347	301	275	227	211	1171	5245	11476	15469	12690	0
		0	38541	56975	55290	42175	29904	25423	26153	29398	34087	35803	24964	0
Mar-	Norte	0	1115	2230	2416	2601	2601	2601	2601	2601	2416	2230	1115	0
22 Sep-	Sur	0	3165	6330	6857	7385	7385	7385	7385	7385	6857	6330	3165	0
22	Este	0	27194	37555	33543	19074	5542	960	729	614	499	362	148	0
	Oeste	0	236	347	301	275	227	211	1197	5449	11709	15848	13182	0
		0	31710	46462	43116	29335	15756	11157	11912	16049	21481	24770	17610	0
Abr-	Norte	0	1115	2230	2416	2601	2601	2601	2601	2601	2416	2230	1115	0
20 Ago-	Sur	0	3165	6330	6857	7385	7385	7385	7385	7385	6857	6330	3165	0
24	Este	0	26179	36655	32876	18361	5425	960	729	614	499	362	148	0
	Oeste	0	236	347	301	275	227	211	1171	5245	11476	15469	12690	0
		0	30695	45562	42450	28622	15638	11157	11887	15846	21248	24390	17118	0
	Norte	0	1115	2044	2416	2601	2601	2601	2601	2601	2416	2044	1115	0
May- 21	Sur	0	3165	5802	6857	7385	7385	7385	7385	7385	6857	5802	3165	0
Jul-23	Este	0	24556	34182	30877	17113	5071	960	729	614	499	332	148	0
	Oeste	0	236	318	301	275	227	211	1095	4888	10778	14425	11903	0
		0	29072	42346	40451	27374	15284	11157	11811	15489	20550	22603	16331	0
Jun-	Norte	0	1115	2044	2416	2601	2601	2601	2601	2601	2416	2044	1115	0
21	Sur	0	3165	5802	6857	7385	7385	7385	7385	7385	6857	5802	3165	0
	Este	0	23541	33057	29988	16578	5071	960	729	614	499	332	148	0
	Oeste	0	236	318	301	275	227	211	1095	4736	10468	13950	11411	0
		0	28057	41222	39562	26840	15284	11157	11811	15336	20240	22128	15839	0

del bloque de vidrio.

Para calcular la Carga de Enfriamiento por Radiación a través de un Bloque de Vidrio utilizamos la Ecuación 2.2 :

$$C = A [(Bi \times Gv) + (Ba \times Ga)]$$
 (2.2)

donde:

A =Área del Bloque, ft^2 .

Bi = Factor de Transmisión, Apéndice A.7.

Ba = Factor de Absorción, Apéndice A.7.

Gv = Máxima Ganancia de Calor Solar, Btu / hr ft², Apéndice A.4.

Ga = Máxima Ganancia de Calor Solar 3 horas antes,

Btu / hr ft², Apéndice A.4.

Revisando los detalles arquitectónicos, Plano 1 y 9, podemos observar que en Pb se encuentran 2 Bloques de Vidrio que generan carga directamente en el lobby, en la orientación Sur.

Los Bloques en el Este generan carga hacia el estacionamiento, pero esta carga no forma parte de nuestro análisis.

De los planos, medimos las dimensiones de los Bloques de Vidrio y la Tabla 6 muestra el resultado del cálculo de área total.

TABLA 6
CÁLCULO DE ÁREA TOTAL DE BLOQUES DE VIDRIO

Orientación	Cantidad	Alto (ft)	Ancho (ft)	Área (ft2)	Área Total (ft2)
Sur	2	11,81	13,78	162,67	325,33

Utilizando la Ecuación 2.2 , calculamos la Carga de Enfriamiento por Radiación Solar a través de Bloques de Vidrio, escogiendo los factores adecuadamente según la orientación y la latitud, del Apéndice A.7. ; diseñamos una Hoja Electrónica de Excel con las fórmulas respectivas y los resultados los mostramos en la Tabla 7.

TABLA 7
CÁLCULO DE CARGA DE ENFRIAMIENTO POR
RADIACIÓN A TRAVES DE LOS BLOQUES DE VIDRIO

Orient.				Area =	325.3 ft ²	Bi= 0).3 Ba=	0.24				
Sur	7	8	9	10	11	12	1	2	3	4	5	6
Dec22	3953	5710	6500	10365	12102	12981	13117	13098	12903	11956	10043	5778
Nov- Ene	527	966	5358	8598	10014	10648	10873	10863	10589	9897	8325	4763
Oct- Feb	0	0	2545	3950	4834	5053	5199	5190	5026	4780	3804	2262
Mar- Sep	3250	4743	1067	1587	2025	2098	2171	2171	2089	2007	1514	949
Abr- Ago	527	966	1067	1587	2025	2098	2171	2171	2089	2007	1514	949
May- Jul	0	0	1067	1587	1952	2098	2171	2171	2089	1925	1514	949
Jun	1396	2299	1067	1587	1952	2098	2171	2171	2089	1925	1514	949

La Máxima Carga de Enfriamiento debido a la Radiación Solar a través de los Bloques de Vidrio es de **13.117 Btu/hr** y ocurre en Diciembre 22 a las 1:00 P.M.

Cálculo de la Carga de Enfriamiento por Conducción a través de los Vidrios del Edificio

El calor se transfiere por conducción a través del vidrio debido a la diferencia de temperatura exterior e interior respectivamente. La Carga Térmica necesaria dependerá del área total, tipo de vidrio y de la cantidad de calor almacenado en su superficie.

La Carga de Enfriamiento se calcula utilizando la Ecuación 2.3:

$$C = A \times U \times Fa$$
 (2.3)

donde:

 $A = Area, ft^2$.

U = Coeficiente de Transmisión de Calor del vidrio,
 Btu/hr. ft².ºF.

Fa = Factor de Almacenamiento por Conducción.

El área se refiere a la suma total de los valores de cada tipo de vidrio en todas las orientaciones tanto para el Natural, Esmerilado y los Bloques; U se lo elige del Apéndice A.8 de acuerdo al tipo y espesor de vidrio; el Apéndice A.9 nos muestra los valores de Fa; la primera fila son datos obtenidos para una $T_{in} = 78$ °F y $T_{ex} = 95$ °F; se corrigen los valores para nuestras condiciones, añadiendo a cada uno de ellos la diferencia entre 78 °F y 75 °F, es decir +3.

Utilizando la Ecuación 2.3, diseñamos una Hoja Electrónica de Excel con las respectivas fórmulas y los resultados los mostramos en la Tabla 8.

TABLA 8

CÁLCULO DE CARGA DE ENFRIAMIENTO POR

CONDUCCIÓN A TRAVES DE LOS VIDRIOS

Ve		Α	.=371,1	6	U=0),81						,
		A.	M.						P.	M.		
6	7	8	9	10	11	12	1	2	3	4	5	6
301	301	902	1503	2105	3006	3608	4510	4810	5111	5111	4810	4510
Vn		A=	=1.552,	28	U=0),83						
	A.M.								P.	M.		
6	7	8	9	10	11	12	1	2	3	4	5	6
1288	1288	3865	6442	9019	12884	15461	19326	20614	21903	21903	20614	19326
BdV		Α	=325,3	3	U=0),56						
	A.M.								P.	M.		
6	7	8	9	10	11	12	1	2	3	4	5	6
182	182	547	911	1275	1822	2186	2733	2915	3097	3097	2915	2733

La Máxima Carga de Enfriamiento debido a la transmisión de calor por Conducción a través de los Vidrios Esmerilados es de **5.111 Btu/hr** y ocurre a las 4:00 P.M.

La Máxima Carga de Enfriamiento debido a la transmisión de calor por Conducción a través de los Vidrios Naturales es de **21.903 Btu/hr** y ocurre a las 4:00 P.M.

La Máxima Carga de Enfriamiento debido a la transmisión de calor por Conducción a través de los Bloques de Vidrio es de **3.097 Btu/hr** y ocurre a las 4:00 P.M.

Ganancia de Calor a través de Superficies Externas e Internas

Es importante considerar el procedimiento para determinar la Ganancia de Calor a través de las superficies externas tales como las paredes, la azotea y la losa de una edificación o a través de las paredes interiores del espacio que deseamos climatizar; la Carga de Enfriamiento debe ser calculada para las máximas condiciones de flujo de calor.

El calor fluye de un punto a otro siempre que exista una diferencia de temperatura entre los dos puntos. La dirección del flujo siempre es hacia el punto de menor temperatura. La

razón a la cual el calor es transferido varia con la resistencia al flujo entre dos puntos del material.

El flujo es causado por el calor solar absorbido por la superficie exterior y por la diferencia de temperaturas entre el aire externo e interno. Como la temperatura y el calor transferido son altamente variables durante el día, resulta difícil evaluar el estado exacto de flujo a través de la pared exterior. Sin embargo, el calor transferido puede ser estimado introduciendo el concepto de Diferencia de Temperatura Equivalente.

En términos generales, para calcular la Carga de Enfriamiento a través de una superficie externa, utilizamos la Ecuación 2.4 :

$$C = U \times A \times DTE$$
 (2.4)

donde:

U = Coeficiente de Transmisión de Calor, Btu / hr ft²
°F.

 $A = Area de la superficie, ft^2$.

DTE = Diferencia de Temperatura Equivalente, °F.

<u>Diferencia de Temperatura Equivalente</u>

La Diferencia de Temperatura Equivalente es la diferencia de temperatura que resulta del calor total que fluye a través de la estructura debido a la radiación solar variable y a la temperatura externa. Es un valor "promedio" desarrollado que debe incluirse dentro del cálculo para diferentes tipos de construcción y orientación, tiempo del día, latitud, y diferentes condiciones de diseño.

Los Apéndices A.10 y A.11 muestran los valores de DTE para Paredes Externas y Azoteas respectivamente, de acuerdo a las siguientes condiciones:

- Color de la pared : Oscuro
- T_{ex}: 95 ° F.
- T_{in}: 80 ° F.
- Rg: 20 ° F.
- Tiempo de Operación : 24 horas.
- Julio y 40 ° Latitud Norte.

Corrección de la Diferencia de Temperatura Equivalente

Para condiciones diferentes a las mencionadas, los valores de DTE deben ser corregidos con el objeto de obtener resultados de carga que reflejen de ser posible, aproximadamente, la realidad térmica de la estructura.

Primeramente debemos corregir los valores de DTE para nuestras condiciones exteriores e interiores de diseño T_{ex} : 92 $^{\circ}$ F, T_{in} : 75 $^{\circ}$ F y Rg : 18 $^{\circ}$ F, utilizando los valores de corrección del Apéndice A.12.; a cada valor de DTE se la añade 3.

Este cálculo supone condiciones dadas en el mes de Julio; no obstante, de los cálculos de carga para los vidrios podemos definir que el mes para el cual la carga debe ser analizada es Diciembre.

Para corregir los valores de DTE de acuerdo al mes de diseño y a una condición diferente de 40º de latitud, utilizamos la Ecuación 2.5 :

$$\Delta t_e = \Delta t_{es} + \frac{Rs}{Rm} \Delta t_{em} - \Delta t_{es}$$
 (2.5)

donde:

 Δt_e = Diferencia de Temperatura Equivalente para el mes y tiempo del día deseado.

 Δt_{es} = Diferencia de Temperatura Equivalente de la

pared o azotea a la sombra, para el tiempo del día deseado, corregida si es necesario para las condiciones del proyecto.

- $\Delta t_{em} =$ Diferencia de Temperatura Equivalente de la pared o azotea expuesta al sol, para el tiempo del día deseado, corregida si es necesario para las condiciones del proyecto.
- $R_{\rm s}$ = Máxima Ganancia de Calor Solar en Btu/hr ft 2 a través de vidrios ordinarios, para el mes y latitud deseado.
- $R_{\rm m}$ = Máxima Ganancia de Calor Solar en Btu/hr ft² a través de vidrios ordinarios, para Julio y 40º Latitud Norte.

Los valores de Máxima Ganancia de Calor, $R_s\ y\ R_m$, son obtenidos de los Apéndices A.3 y A.13 respectivamente.

Para el análisis de carga de acuerdo a nuestra situación geográfica, Latitud Sur, intercambiamos los valores de la orientación Norte por el Sur y viceversa; los valores en las orientaciones Este y Oeste permanecen igual.

Finalmente, diseñamos una Hoja Electrónica de Excel utilizando como fórmula de cálculo la Ecuación 2.5 y seleccionando los parámetros adecuadamente; los resultados de DTE corregido para las Paredes Externas y la Azotea de acuerdo a nuestras condiciones, son presentados en los Apéndices A.14 y A.15.

El peso total por ft² es obtenido añadiendo los pesos parciales de cada componente de la pared dada.

Coeficiente de Transmisión de Calor

El Coeficiente de Transmisión U es una propiedad intrínseca de un material que representa la razón a la cual el calor es transferido a través de la estructura en Btu / hr ft² °F. El recíproco de U para cualquier pared representa la Resistencia Térmica total de esa pared al flujo de calor. El valor total de la Resistencia es la sumatoria de las resistencias de cada componente de la estructura y las resistencias de las películas de aire interno y externo respectivamente.

Los valores de las Resistencias Térmicas son obtenidos del Apéndice A.16 donde han sido calculados para los más comunes tipos de construcción y materiales.

Cálculo de la Carga de Enfriamiento por Conducción del Calor a través de las Paredes Exteriores del Edificio

Revisando los planos arquitectónicos del Edificio, observamos que el diseño, las dimensiones y la geometría de los 5 pisos es la misma; por lo tanto, bastará calcular la carga para uno de ellos; por otro lado, es importante destacar que las paredes Sur, Este y Oeste están directamente expuestas al sol mientras que la pared Norte no, porque recibe la sombra de los edificios que están a su alrededor (pared sombreada).

Para calcular el área de las paredes no hemos considerado la porción de la superficie que está en contacto con el espacio no acondicionado del piso, espacio entre el tumbado falso y la losa por donde se encuentran los ductos de suministro.

La Tabla 9 nos muestra el cálculo de área para un piso de acuerdo a cada una de las orientaciones.

Para calcular el valor de U utilizamos la Ecuación 2.6:

$$U = \frac{1}{\Re 1 + R2 + R3 + \dots Rn}$$
 (2.6)

donde:

R1,R2,R3,...Rn: Resistencias Térmicas de cada componente de la pared, °F Btu / hr ft².

TABLA 9
CÁLCULO DEL ÁREA TOTAL DE LAS PAREDES
EXTERNAS DE UN PISO

Orient.	Largo (ft)	Alto (ft)	Area (ft ²)
Norte	259,02	8.86	2.293,90
	,	,	,
Sur	194,08	3,94	763,89
Este	106,86	3,94	420,61
Oeste	47,23	3,94	185,91

La descripción de los componentes de las paredes expuestas al sol y de la pared a la sombra, la obtenemos de la información técnica-civil del proyecto, y el espesor de las mismas, de los planos arquitectónicos. Los valores individuales de las Resistencias Térmicas son seleccionados del Apéndice A.16.

Las Figuras 2.3 y 2.4 muestran los diagramas esquemáticos de los Componentes de las Paredes Exteriores expuestas al Sol y a la Sombra respectivamente y el cálculo de la Resistencia Térmica Total es presentado en las Tablas 10 y 11.

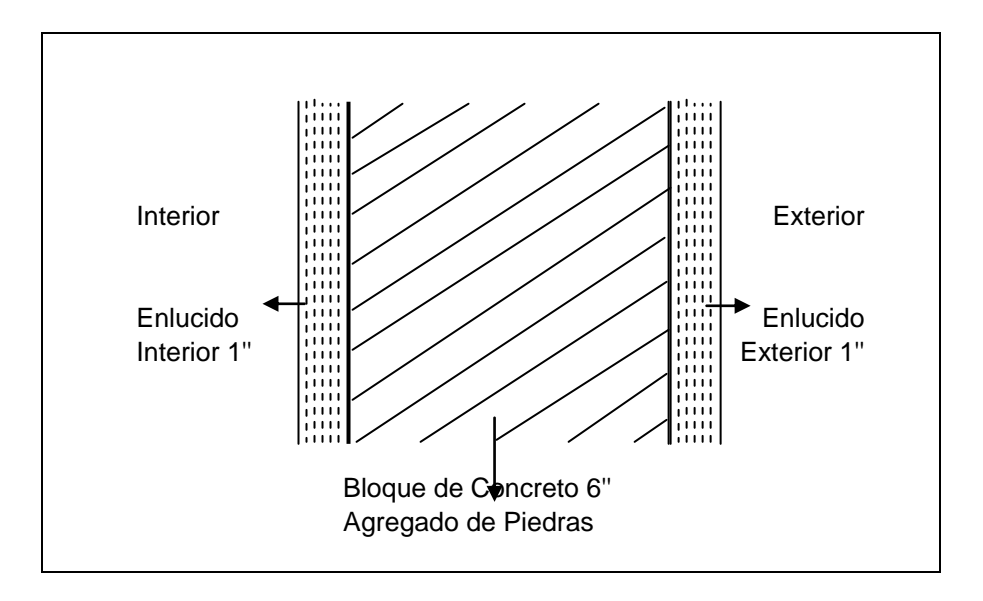


Figura 2.3 Componentes de Paredes Externas Expuestas al Sol - Sur, Este y Oeste

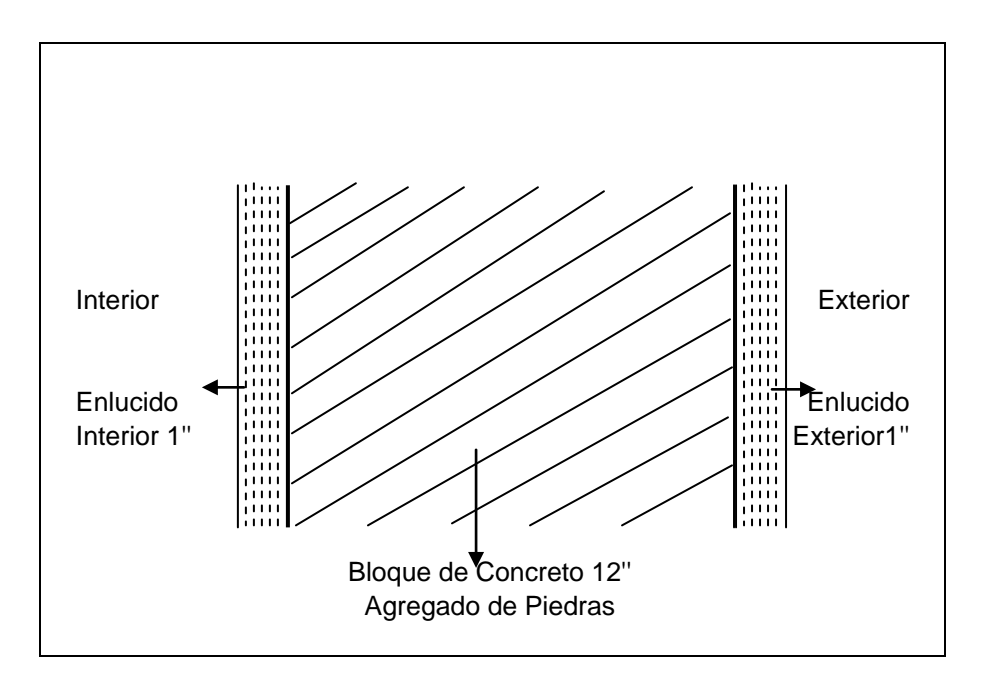


Figura 2.4 Componentes de Pared Externa a la Sombra Norte

TABLA 10

CÁLCULO DE RESISTENCIA TÉRMICA TOTAL PARA LAS

PAREDES EXTERNAS AL SOL – SUR ESTE Y OESTE

Componentes	Espesor (in)	Rt	W (Lb/ft ²)
Coeficiente fílmico Exterior 7.5mph		0,25	
Enlucido Exterior de Cemento	1,00	0,20	
Bloque de Concreto con Agregado de Piedras	6,00	0,91	32,00
Enlucido interior de Cemento	1,00	0,20	
Coeficiente fílmico Interior 1.14mph reposo		0,68	
Sumatoria Total =	8,00	2,24	32,00
	U=	0,45	

TABLA 11 CÁLCULO DE RESISTENCIA TÉRMICA TOTAL PARA LA PARED EXTERNA SOMBREADA – NORTE

Componentes Espesor Rt W (Lb/ft²)

	(in)		
Coeficiente fílmico Exterior 7.5 mph		0,25	
Enlucido exterior de Cemento	1,00	0,20	
Bloque de Concreto con Agregado de Piedras	12,00	1,28	63,00
Enlucido interior de Cemento	1,00	0,20	
Coeficiente fílmico Interior 1.14mph reposo		0,68	
Sumatoria Total =	14,00	2,61	63,00
	U=	0,38	

La Carga de Enfriamiento se calcula utilizando la Ecuación 2.4 donde los valores de DTE corregidos para las Paredes Externas son mostrados en el Apéndice A.14 y deben de ser multiplicados por el área total de acuerdo a la orientación y por el valor de U calculado previamente; diseñamos una Hoja Electrónica de Excel con su respectiva formulación y los resultados son presentados en la Tabla 12.

TABLA 12

CÁLCULO DE LA CARGA DE ENFRIAMIENTO POR

CONDUCCIÓN A TRAVES DE LAS PAREDES

EXTERNAS DEL EDIFICIO

		ı	Usol. =	0.45		U somb. = 0.38							
A.M.								P.M.					
6	7	8	9	10	11	12	1	2	3	4	5	6	

s	0	0	-341	0	341	1364	2387	3751	4433	5115	5797	5456	5115
N	0	0	-879	0	879	1758	2637	5273	7910	9668	11426	12304	13183
E	67 3	3366	553 5	6059	6583	6474	6027	4085	2778	2985	3192	3173	3153
0	74	0	-83	74	232	481	730	1359	1823	2733	3345	3708	3923
	74 8	3366	423 2	6133	8035	10076	11781	14469	16944	20501	23760	24642	25375

Hemos considerado para las paredes soleadas un peso de 20 Lb/ft² y para la pared sombreada 60 Lb/ft².

La Máxima Carga de Enfriamiento debido a la transmisión de calor por Conducción a través de las Paredes Externas del Edificio es de **25.375 Btu/hr** y ocurre a las 6:00 P.M.

Cálculo de la Carga de Enfriamiento por Conducción del Calor a través de las Paredes Exteriores e Interior de la Planta Baja del Edificio

Los planos arquitectónicos nos muestran las características geométricas que debemos considerar en el análisis de carga por conducción en Pb del edificio.

Observamos básicamente que el área de Pb está dividida en 2 zonas: el estacionamiento y las oficinas; siendo esta última la zona de nuestro interés, ya que en el estacionamiento se debería realizar un estudio de Ventilación Mecánica, y este análisis se encuentra fuera del alcance de nuestro proyecto.

Por lo tanto, todas las paredes externas que conforman la superficie limitante del estacionamiento, no forman parte de nuestros cálculos.

Sin embargo, las oficinas que deseamos climatizar limitan con el estacionamiento por una Pared Interna Este que si la consideraremos en el análisis.

Definiendo las orientaciones en Pb, se transmite el calor a través de las Paredes Externas Sur y Oeste las cuales se caracterizan por estar recubiertas de un material decorativo llamado Porcelanato como lo muestra el Plano 9; la Pared Norte que ya la hemos identificado como una pared sombreada; y la Pared Este por medio de la cual fluye el calor desde un espacio no acondicionado (el estacionamiento).

De los planos verificamos las dimensiones pertinentes y la Tabla 13 nos muestra el área de las paredes de Pb de acuerdo a la orientación.

TABLA 13 AREA DE LAS PAREDES DE PB

Orient.	Area (ft ²)				
Norte					
Sombreada	1330,44				
Sur	488,00				

Porcelanato	
Este	
Interior	1221,92
Oeste	
Porcelanato	460,89

La descripción de los Componentes de las Paredes recubiertas con Porcelanato y de la Pared Interior en Pb, la obtenemos de la información técnica-civil del proyecto, y el espesor de las mismas, de los planos arquitectónicos. Los valores individuales de las Resistencias Térmicas son seleccionados del Apéndice A.16.

Las Figuras 2.5 y 2.6 muestran los diagramas esquemáticos de los Componentes de las Paredes recubiertas con Porcelanato y la Pared Interior Este y el cálculo de la Resistencia Térmica Total es presentado en las Tablas 14 y 15.

La Carga de Enfriamiento por conducción a través de las Paredes recubiertas con Porcelanato se calcula utilizando la Ecuación 2.4 donde los valores de DTE corregidos para las Paredes Externas son mostrados en el Apéndice A.14 y deben de ser multiplicados por el área total de las orientaciones Sur y

Oeste y por el valor de U calculado en la Tabla 14; de igual forma se realiza el cálculo para la Pared Sombreada Norte de Pb utilizando el valor de U calculado en la Tabla 11; diseñamos una Hoja Electrónica de Excel con su respectiva formulación y los resultados son presentados en la Tabla 16.

La Máxima Carga de Enfriamiento debido a la transmisión de calor por Conducción a través de las Paredes recubiertas de Porcelanato y la Pared Sombreada en Pb del Edificio es de **22.055 Btu/hr** y ocurre a las 6:00 P.M.

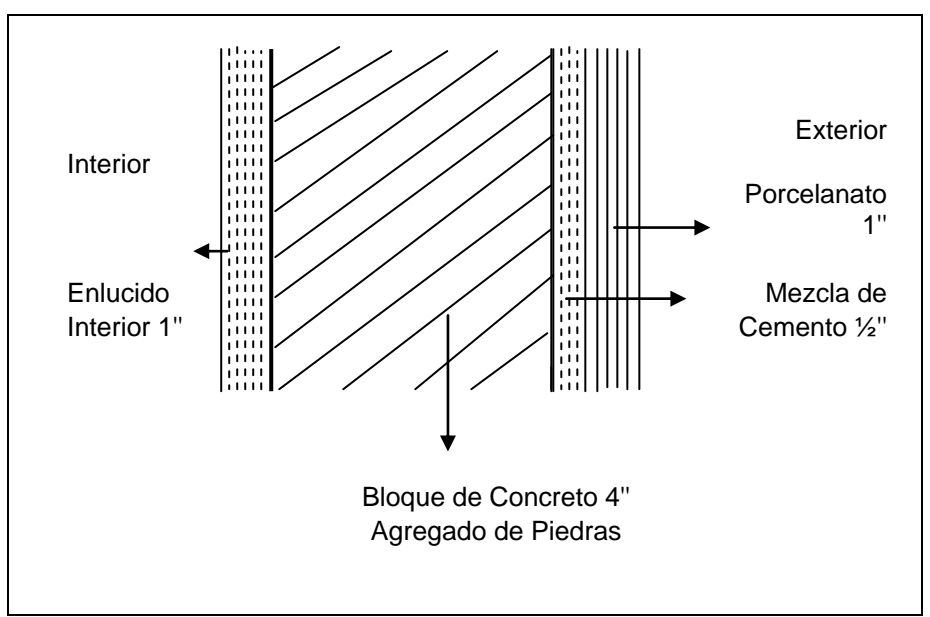


Figura 2.5 Componentes de Paredes Recubiertas con Porcelanato – Sur y Oeste PB

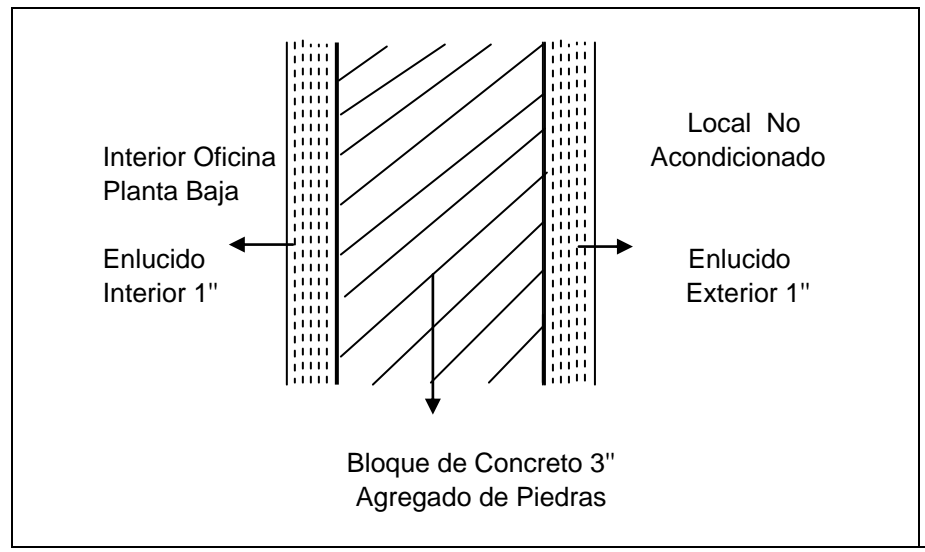


Figura 2.6 Componentes de Pared Interna – Este Pb

TABLA 14

CÁLCULO DE RESISTENCIA TÉRMICA TOTAL PARA LA

PARED RECUBIERTA PORCELANATO – SUR OESTE

	Espesor		W
Componentes	(in)	R	(Lb/ft ²)
Coeficiente filmico Exterior 7.5mph		0,25	
Porcelanato	1,00	0,08	
Mezcla de Cemento	0,50	0,10	4,80
Bloque de Concreto con Agregado de Piedras	4,00	0,71	23,00
Enlucido interior de Cemento	1,00	0,20	
Coeficiente filmico Interior 1.14mph reposo		0,68	
Sumatoria Total =	6,50	2,02	27,80
	·	·	
	U=	0,50	

TABLA 15
CÁLCULO DE RESISTENCIA TÉRMICA TOTAL PARA LA
PARED INTERIOR - ESTE

	Espesor		W
Componentes	(in)	R	(Lb/ft ²)
Coeficiente fílmico Exterior Local No Acond.		0,68	
Enlucido exterior de Cemento	1,00	0,20	
Bloque de Concreto con Agregado de Piedras	3,00	0,40	19,00
Enlucido interior de Cemento	1,00	0,20	
Coeficiente filmico Interior 1.14mph reposo		0,68	
Sumatoria Total =	5,00	2,16	19,00
	U=	0,46	·

TABLA 16

CÁLCULO DE LA CARGA DE ENFRIAMIENTO POR

CONDUCCIÓN A TRAVES DE LAS PAREDES

RECUBIERTAS CON PORCELANATO – SUR ESTE Y LA

PARED SOMBREADA NORTE PB

			Upor	cel.=	0.50			Usom.=0.38					
	A.M.					P.M.							
	6	7	8	9	10	11	12	1	2	3	4	5	6
s	0	0	-242	0	242	966	1691	2657	3141	3624	4107	3865	3624
N	0	0	-510	0	510	1019	1529	3058	4588	5607	6627	7136	7646
0	205	0	-228	205	637	1322	2006	3737	5011	7513	9196	10195	10785
	205	0	-979	205	1389	3308	5227	9453	12740	16744	19930	21197	22055

Para calcular la Carga de Enfriamiento a través de la pared interior Este debido al flujo de calor desde un espacio no acondicionado, se utiliza la **Ecuación 2.7**.

$$C = A \times U \times (T_{ex}-T_{in}-5)$$
 (2.7)

Reemplazando los valores en la Ecuación 2.7 :

$$C = 1.221,92 \times 0,46 \times (92 - 75 - 5)$$

$$C = 6.745 \text{ Btu} / \text{Hr}$$

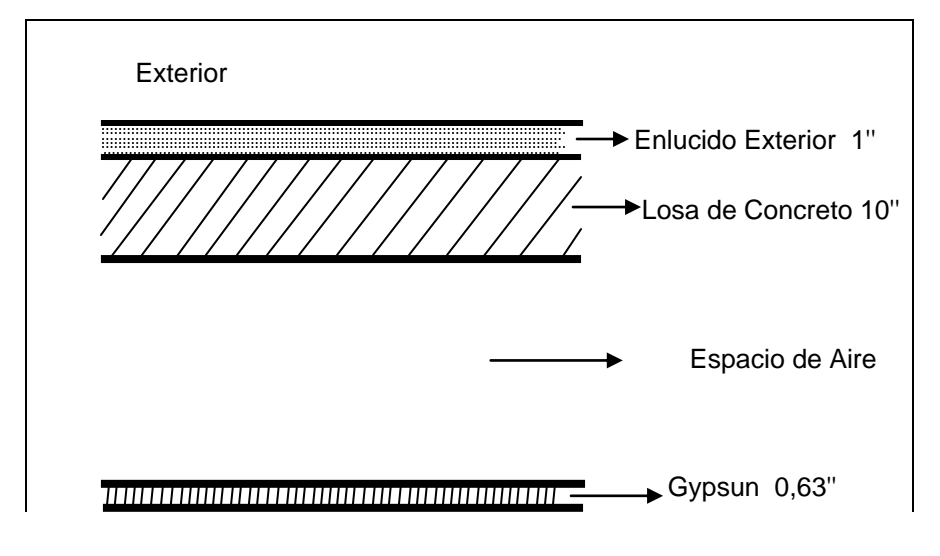
La Carga de Enfriamiento debido a la transmisión de calor por Conducción desde un espacio no acondicionado a través de la Pared Interna orientación Este es de **6.745 Btu/hr.**

Cálculo de la Carga de Enfriamiento por Conducción del Calor a través de la Azotea

El Edificio experimenta una considerable Ganancia de Calor a través de la Azotea debido a su constante exposición al sol durante el día y por supuesto, al almacenamiento de calor en su estructura; desde el punto de vista individual, es en P5 donde esta carga se manifiesta y es necesario contrarrestar sus efectos.

La descripción de los Componentes de la Azotea, la obtenemos de la información técnica-civil del proyecto, y el espesor de la misma así como sus dimensiones, de los planos arquitectónicos; los valores individuales de las Resistencias Térmicas son seleccionados del Apéndice A.16. La Figura 2.7 muestra el diagrama esquemático de los Componentes de la Base de la Azotea y el cálculo de la Resistencia Térmica Total es presentado en la Tabla 17.

La Carga de Enfriamiento por Conducción a través de la Azotea se calcula utilizando la Ecuación 2.4 donde los valores de DTE corregidos para las Azoteas Expuestas al Sol de acuerdo a su peso son mostrados en el Apéndice A.15 y deben de ser multiplicados por el área total y por el valor de U calculado en la Tabla 17.



→

Interior

Espacio Acondicionado

Figura 2.7 Componentes de la Base de la Azotea

TABLA 17
CÁLCULO DE RESISTENCIA TÉRMICA TOTAL PARA LA
BASE DE LA AZOTEA

Componentes	Espesor (in)	R	W - Lb/ft ²
Coeficiente fílmico Exterior 7.5 mph		0,25	
Enlucido exterior de cemento	1,00	0,20	
Losa de Concreto	10,00	1,19	53,00
Espacio de Aire		0,92	
Tumbado de Yeso	0,63	0,39	2,34
Coeficiente fílmico Interior 1.14mph reposo		0,92	
Sumatoria Total =	11,63	3,87	55,34
	U=	0,26	·

Diseñamos una Hoja Electrónica de Excel con su respectiva formulación, seleccionamos los valores de DTE para un peso de 60 Lb./ft² y los resultados son presentados en la Tabla 18.

TABLA 18
CÁLCULO DE LA CARGA DE ENFRIAMIENTO POR
CONDUCCIÓN A TRAVES DE LA AZOTEA

	U = 0,26 A.M.						A = 10.137,21 ft ² P.M.						
W- Lb/ft 2	6	7	8	9	10	11	12	2 1 2 3 4 5			6		
60	3048 9	2794 8	2294 5	2548 6	2802 7	3572 8	4851 0	6391 2	7677 3	8709 3	9741 4	10511 5	10773 4

La Máxima Carga de Enfriamiento debido a la transmisión de calor por Conducción a través de la Azotea es de **107.734 Btu/hr** y ocurre a las 6:00 P.M.

Cálculo de la Carga de Enfriamiento por Conducción del Calor a través de la Losa de los Pisos

Cada uno de los pisos gana calor a través de la losa debido a la diferencia de temperaturas entre el espacio acondicionado y el espacio no acondicionado que normalmente se encuentra a una temperatura inferior a la externa.

La descripción de los Componentes de la Losa de los pisos, la obtenemos de la información técnica-civil del proyecto, y el espesor de la misma así como las dimensiones de cada piso, de los planos arquitectónicos.

Los valores individuales de las Resistencias Térmicas son seleccionados del Apéndice A.16.

La Figura 2.8 muestra el diagrama esquemático de los Componentes de la Losa de un piso y el cálculo de la Resistencia Térmica Total es presentado en la Tabla 19.

La Carga de Enfriamiento por Conducción a través de la Losa se calcula utilizando la Ecuación 2.7 donde el valor de A se calcula de acuerdo a las dimensiones de cada piso excluyendo el área de las escaleras y del tragaluz; U es calculado en la Tabla 19.

Realizamos los cálculos en una Hoja Electrónica de Excel con su respectiva formulación, y los resultados son presentados en la Tabla 20.

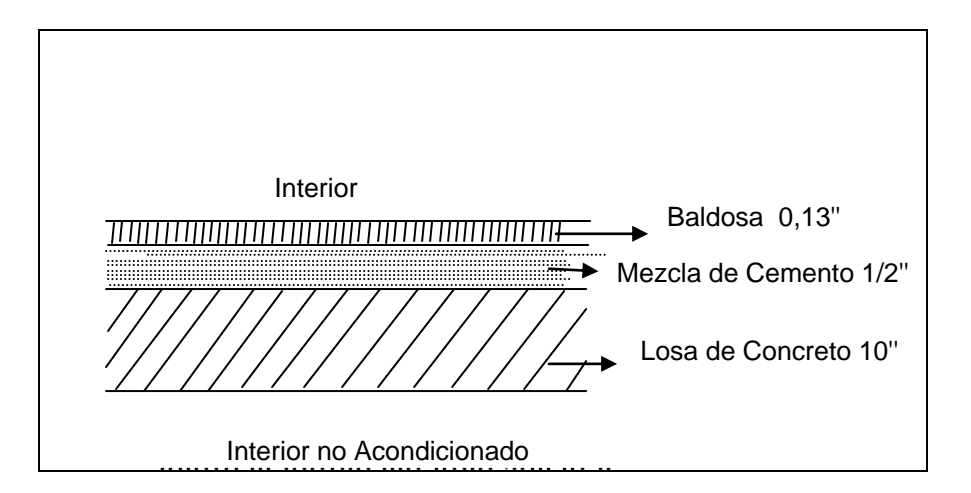


Figura 2.8 Componentes de la Losa de un Piso

TABLA 19

CÁLCULO DE RESISTENCIA TÉRMICA TOTAL PARA LA LOSA DE LOS PISOS

	Espesor		
Componentes	(in)	R	W-Lb/ft ²
Coeficiente filmico Interior 1.14mph reposo		0,61	
Baldosa	0,13	0,05	
Mezcla de Cemento	0,50	0,10	4,8
Losa de Concreto	10,00	1,19	53,00
Coeficiente filmico Interior 1.14mph reposo		0,61	
Sumatoria Total =	10,63	2,56	57,80
	U=	0,39	

TABLA 20
CÁLCULO DE LA CARGA DE ENFRIAMIENTO POR
CONDUCCIÓN A TRAVES DE LA LOSA DE LOS PISOS

U = 0,39	T _{ex} = 92°F	$T_{in} = 75^{\circ}F$
	Area (ft ²)	Btu/Hr
Pb	3.856	18.073
P1	15.214	71.317
P2	14.392	67.464
P3	14.392	67.464
P4	14.392	67.464
P5	13.384	62.738

Ganancia Exterior por Ventilación

La introducción de aire exterior para ventilación del espacio es sumamente necesaria para diluir el mal olor emitido por las personas, el humo de los cigarrillos y otros contaminantes internos del aire.

La cantidad de ventilación requerida varia principalmente con el número total de personas, la altura del tumbado interior y el número de personas fumadoras.

En el Apéndice A.17 se muestra una tabla que es utilizada para determinar las cantidades de aire mínimas y recomendadas para una correcta ventilación del espacio y para diferentes tipos de aplicaciones. Estos datos se han desarrollado sobre la base de observaciones de aire externo requerido para mantener el nivel de malos olores dentro de un rango aceptable en presencia de personas fumadoras y no fumadoras.

Carga de Enfriamiento por Ventilación

El aire exterior que suministramos por ventilación contribuye con Calor Sensible y Latente en el espacio, siendo esta carga la más importante para nuestro análisis térmico. La cantidad total de CFM depende del número de personas que se encuentran normalmente en el lugar durante el tiempo en el cual estamos estimando la carga.

El Calor Sensible por Ventilación se lo calcula mediante la Ecuación 2.8:

Qs = CFM x
$$\rho$$
 x (Cpa + Cpw x Wt) x Δ t x 60 (2.8)

donde:

CFM = Cantidad total de aire suministrado de acuerdo al número de personas.

 ρ = Densidad del aire estándar, 0.075 Lb/ft³.

Cpa = Calor específico del aire seco, 0.24 Btu/Lb °F.

Cpw = Calor específico del vapor de agua, 0.45 Btu/Lb °F

Wt = Razón de Humedad, 0.01 Grn/Lb.

 Δt = Diferencia de temperatura externa e interna. °F.

El Calor Latente por Ventilación se lo calcula mediante la Ecuación 2.9:

QI = CFM x
$$\rho$$
 x Δ E x Δ Wt x 60 (2.9)

donde:

CFM = Cantidad total de aire suministrado de acuerdo al número de personas.

 ρ = Densidad del aire estándar, 0.075 Lb/ft³.

ΔE = Energía contenida en el aire a 50% de HR y 75 °F menos la energía contenida en agua a 50 °F, 1076

 $\Delta Wt = Diferencia de la Razón de Humedad, Grn/Lb.$

Cálculo de la Carga de Enfriamiento por Ventilación en el Edificio

Aplicando las Ecuaciones 2.8 y 2.9 , calculamos la Carga Sensible y Latente por Ventilación que se necesita para producir las condiciones de confort en el Edificio; para su efecto, los valores de CFM son seleccionados del Apéndice A.17 de acuerdo al tipo de aplicación; el número de personas se determina aproximadamente de los planos arquitectónicos contando los escritorios de los diferentes departamentos más un 10% de visitantes.

Para nuestros cálculos, hemos considerado la cantidad de CFM para tres aplicaciones diferentes: hall, oficinas y sala de reuniones; adicionalmente para el P4 incluimos los CFM necesarios para las Aulas (509-510-511-514), el Auditorio

(512) y el Comedor (520), respectivamente, detalles que son mostrados en el Plano 5.

Utilizando una Hoja Electrónica de Excel con su respectiva formulación, presentamos los resultados del cálculo de Carga por Ventilación en la Tabla 21.

2.5.2 Cargas del Espacio Interno

Son las Ganancias de Calor que se generan dentro del espacio que deseamos acondicionar, básicamente debido a las personas, luces, motores eléctricos y en algunos casos, herramientas e instrumentos; el análisis térmico se define por la evaluación de las cargas para los momentos en que la ganancia pudiera ser máxima.

TABLA 21

CÁLCULO DE CARGA DE ENFRIAMIENTO POR

VENTILACIÓN EN EL EDIFICIO

	Número de	CFM Tot. por	Qs	QI	
Aplicación	Personas	Personas Personas		Btu/hr	
Pb					
Oficinas	19	285	5.330	13.794	
	<u></u>				
P1					
Halles	20	200	3.740	9.680	
Sala Reuniones	8	240	4.488	11.616	
Oficinas	149	2.235	41.795	108.174	
TOTAL	177	2.675	50.023	129.470	
P2					

Halles	24	240	4.488	11.616	
Sala Reuniones	64	1.920	35.904	92.928	
Oficinas	132	1.980	37.026	95.832	
TOTAL	220	4.140	77.418	200.376	
P3					
Halles	23	230	4.301	11.132	
Sala Reuniones	17	510	9.537	24.684	
Oficinas	156	2.340	43.758	113.256	
TOTAL	196	3.080	57.596	149.072	
P4					
Halles	13	130	2.431	6.292	
Sala Reuniones	8	240	4.488	11.616	
Oficinas	72	1.080	20.196	52.272	
TOTAL	93	1.450	27.115	70.180	
Auditorio	100	750	14.025	36.300	
Aulas	110	825	15.428	39.930	
Comedor	116	1.392	26.030	67.373	
P5					
Halles	15	150	2.805	7.260	
Sala Reuniones	20	600	11.220	29.040	
Oficinas	95	1.425	26.648	68.970	
TOTAL	130	2.175	40.673	105.270	
Sala Reuniones Oficinas	20 95	600 1.425	11.220 26.648	29.04 68.97	

Diversidad de la Carga de Enfriamiento

Las diferentes cargas que afectan el comportamiento térmico del espacio causan que las Máximas Ganancias de Calor no ocurran simultáneamente durante la hora de diseño.

Es poco probable que todas las personas estén presentes en el Edificio y que todas las luces estén encendidas a una hora determinada. Por lo tanto, la Diversidad debe de ser considerada para la selección del equipo.

En el Apéndice A.18 se muestra los valores típicos del Factor de Diversidad para las personas y las luces dependiendo del tipo de aplicación. Estos datos son usados por el diseñador de acuerdo a su experiencia.

Ganancia Interna de Calor por Personas

Las personas que ocupan el espacio que debe ser acondicionado contribuyen con cantidades importantes de Calor Sensible y Calor Latente, que aumenta la Carga total de Enfriamiento de dicho espacio.

El calor es generado dentro del cuerpo humano por oxidación, comúnmente llamado como proceso de metabolismo, que varía con cada individuo y con su nivel de actividad.

El Apéndice A.19 nos proporciona información sobre la Ganancia de Calor debido a las Personas para diferentes aplicaciones típicas.

El cálculo de la Carga Térmica debe basarse en el número promedio de personas dentro del espacio durante el período de máxima carga; para su efecto, las condiciones interiores de diseño y el grado de actividad de los ocupantes deben ser conocidos.

Carga de Enfriamiento por Personas

Para calcular la Carga de Enfriamiento que contrarreste el Calor Sensible y Latente producidos por las personas, utilizamos las Ecuaciones 2.10 y 2.11 respectivamente :

$$Csp = N \times Gs \times Fa \times Fd$$
 (2.10)

$$Clp = N \times Gl \times Fd$$
 (2.11)

donde:

N = Número de personas .

Gs = Ganancia Sensible de Calor por Personas, Btu/hr.

GI = Ganancia Latente de Calor por Personas, Btu/hr.

Fa = Factor de Almacenamiento para la Carga por Personas.

Fd = Factor de Diversidad.

Las Ganancias de Calor Sensible y Latente son seleccionadas del Apéndice A.19; el Factor de Diversidad debe ser

seleccionado de acuerdo a un buen criterio, del Apéndice A.18.

Los Factores de Almacenamiento son presentados en el Apéndice A.20 y deben ser multiplicados por Gs, porque Gl puede considerarse directamente como una Carga de Enfriamiento.

Los valores de Fa deben seleccionarse de acuerdo a las horas de operación del equipo climatizador, las horas de permanencia de las personas en el lugar y el peso de la estructura.

Cálculo de la Carga de Enfriamiento por Personas en el Edificio

Para nuestro análisis de Carga por Personas en el Edificio, debemos definir primeramente de una manera aproximada el número de personas por piso, siendo lo más importante, el grado de actividad de las mismas, con la finalidad de seleccionar una Ganancia de calor conveniente.

En términos generales, resumiremos los grados de actividad de las personas dentro de las siguientes categorías: Trabajos de Oficina, Caminata Lenta Parado (visitantes), Sentado en Reposo (Aulas y Auditorio) y Trabajo Sedentario (Comedor).

Para los cálculos hemos diseñado una Hoja Electrónica de Excel seleccionando como Fd el valor de 0.75 excepto para Pb, Auditorio, Aulas y Comedor de P4 donde Fd es 1.

La Tabla 22 muestra los resultados del calculo multiplicativo entre las Ganancias Sensibles y Latentes, el Número de Personas y Fa para cada uno de los pisos.

TABLA 22
CÁLCULO MULTIPLICATIVO ENTRE GANANCIAS, NÚMERO DE PERSONAS
Y FACTOR DE DIVERSIDAD, POR PISO

	N			N x Gs x Fd	/ N X GI x	Fd									
Ubicación		Parado	Trabaja	dor Oficina	Parado C	Camin	ando Lento	Ganancia	Ganancia						
en el	Trabajador	Caminando	Sensible	Latente	Sensib	le	Latente	Sensible	Latente						
								Total	Total						
Edificio	de Oficina	Lento	Btu/Hr	Btu/Hr	Btu/H	r	Btu/Hr	Btu/hr	Btu/hr						
Pb	4	15	9	80 820	3	3.825		4.805	4.495						
P1	157	20	28.8	49 24.139	3	3.825	3.675	32.674	27.814						
P2	196	24	36.0	15 30.135	4	.590	4.410	40.605	34.545						
P3	173	23	31.7	89 26.599	4	4.399		4.399		4.399		4.399		36.188	30.825
P4	80	13	14.7	00 12.300	2.486		2.486		2.389	17.186	14.689				
P5	115	15	21.1	31 17.681	2	2.869		24.000	20.438						
Ubicación			Sentado	en Reposo	Traba	ijo Se	dentario	Ganancia	Ganancia						
en	Sentado	Trabajo	Sensible	Latente	Sensible	I	_atente	Sensible	Latente						
		-						Total	Total						
P4	en Reposo	Sedentario	Btu/Hr	Btu/Hr	Btu/Hr	Btu/Hr Bt		Btu/hr	Btu/hr						
Aulas	110		25.300	13.200				25.300	13.200						
Auditorio	100		23.000	12.000				23.000	12.000						
Comedor		116		·	32.480		31.320	32.480	31.320						

Hemos mencionado que la Ganancia Latente puede considerarse directamente como Carga de Enfriamiento; sin embargo la Ganancia Sensible debe ser multiplicada por Fa.

Para un tiempo de operación del equipo climatizador de 12 horas, un tiempo de permanencia de las personas en el Edificio de 8 horas y un peso de la estructura de 30 Lb/ft², la Tabla 23 muestra los resultados finales de la Carga de Enfriamiento por Personas.

Es importante destacar que para el Auditorio, Aulas y Comedor en P4, hemos seleccionado un valor de Fa igual a 1 porque la carga debe de ser calculada para la condición térmica máxima.

Las Máximas Cargas Sensibles ocurren después de 8 horas de permanencia de las personas en los diferentes pisos, es decir a las 4:00 P.M.

TABLA 23 CÁLCULO DE CARGA DE ENFRIAMIENTO POR PERSONAS EN EL EDIFICIO

Ubic.	ic. # horas después que personas entran										Cpl	С			
	0	1	2	3	4	5	6	7	8	9	10	11	12	Btu/hr	Btu/hr
	Carga Sensible Btu/hr														
Pb	1.586	3.796	4.180	4.373	4.469	4.565	4.661	4.661	4.709	1.249	817	577	0	4.495	9.204
P1	10.782	25.812	28.426	29.733	30.387	31.040	31.694	31.694	32.020	8.495	5.555	3.921	0	27.814	59.834
P2	13 400	32.078	35.326	36.951	37.763	38.575	39.387	39.387	39.793	10.557	6.903	4.873	0	34.545	74.338
P3						34.378		35.102			6.152		0	30.825	
P4	5.671	13.577	14.952	15.639	15.983	16.327	16.671	16.671	16.843	4.468	2.922	2.062	0	14.689	31.532
P5	7.920	18.960	20.880	21.840	22.320	22.800	23.280	23.280	23.520	6.240	4.080	2.880	0	20.438	43.958

Ganancia Interna de Calor por Luces

Las luces generan Calor Sensible por la conversión de la Potencia Eléctrica de entrada en luz y calor. El calor es disipado por radiación hacia las superficies circundantes, por conducción hacia los materiales adyacentes y por convección hacia el aire. La porción radiante de la carga debida a las luces es parcialmente almacenada, y la porción convectiva puede ser estratificada.

Las luces incandescentes convierten aproximadamente el 10% de la potencia eléctrica de entrada en luz y el resto es generado como calor en el bulbo y disipado por radiación, conducción y convección. De hecho, alrededor de un 80% de la potencia es disipada por radiación y solamente un 10% por conducción y convección.

Las luces fluorescentes convierten alrededor del 25% de la potencia de entrada en luz y un 25% es disipado por radiación hacia las superficies circundantes; el otro 50% es disipado por conducción y convección. Adicionalmente, un 25% más de calor es generado en el lastre de la lámpara fluorescente.

Para calcular la Ganancia de Calor debido a las Luces tanto fluorescentes como incandescentes utilizamos las Ecuaciones 2.12 y 2.13 respectivamente.

$$Gi = Watts Total x 3.4$$
 (2.13)

Carga de Enfriamiento por las Luces Fluorescentes

La Carga de Enfriamiento por Luces Fluorescentes la calculamos utilizando la Ecuación 2.14 :

$$C = Gf x Fa x Fd$$
 (2.14)

donde:

Gf = Ganancia por Luces Fluorescentes, Btu/hr

Fa = Factor de Almacenamiento para Luces

Fd = Factor de Diversidad para Luces

Tanto Fd como Fa son obtenidos del Apéndice A.18 y A.20 respectivamente.

Cálculo de la Carga de Enfriamiento por las Luces Fluorescentes en el Edificio

Primeramente debemos calcular Gf para cada uno de los pisos; para su efecto necesitamos determinar la Potencia Eléctrica Total (Watts) de las luces fluorescentes.

Los planos arquitectónicos y la información técnica del Edificio no nos proporcionan detalles precisos sobre el sistema de iluminación; sin embargo podemos estimar aproximadamente la cantidad de potencia necesaria para iluminar cada piso conociendo el área de construcción y aplicando un criterio empírico de 2 watts por cada ft².

Utilizando la Ecuación 2.12 y diseñando una Hoja Electrónica de Excel, el cálculo de Gf se muestra en la Tabla 24 para cada uno de los pisos.

Finalmente seleccionamos los valores de Fa del Apéndice A.20 con las mismas consideraciones que utilizamos para las personas: un tiempo de operación del equipo climatizador de 12 horas, un tiempo en el cual las luces fluorescentes permanecerán encendidas de 8 horas y un peso de la estructura de 30 Lb/ft².

TABLA 24
CÁLCULO DE GANANCIA DE CALOR POR
LUCES FLUORESCENTES EN EL EDIFICIO

	Area de	Watts	
Ubicación	Construcción	Total	Gf
	ft ²	2 W/ft ²	Btu/hr
Pb	3.855,60	7.711,19	32.772,56
P1	16.254,01	32.508,01	138.159,05
P2	15.432,17	30.864,34	131.173,46
P3	15.432,17	30.864,34	131.173,46
P4	10.418,00	20.836,01	88.553,04
Auditorio	1.354,16	2.708,32	11.510,36
Aulas	1.902,09	3.804,17	16.167,72
Comedor	1.757,92	3.515,85	14.942,34
P5	14.423,89	28.847,79	122.603,10

De igual manera el valor de Fa y Fd para el cálculo de la Carga en el Auditorio, Aulas y Comedor de P4 es igual a 1; por lo tanto, para estos espacios, consideraremos Gf directamente como la Carga de Enfriamiento.

Para un tipo de aplicación de Oficina, seleccionamos del Apéndice A.18 un Fd igual 0.85 y los resultados del cálculo de Carga los presentamos en la Tabla 25.

Las Máximas Cargas Sensibles ocurren después de 8 horas de permanecer encendidas las Luces Fluorescentes de los diferentes pisos, es decir a las 4:00 P.M.

TABLA 25
CÁLCULO DE CARGA DE ENFRIAMIENTO POR
LUCES FLUORESCENTES EN EL EDIFICIO

Fd = 0,85				# hora	s después	que las l	uces son	encendi	das				
Ubicación	0	1	2	3	4	5	6	7	8	9	10	11	12
		Т			Car	ga Sensib	le Btu/hr	Г	T	T			
Pb	9193	22007	24235	25350	25907	26464	27021	27021	27300	7243	4736	3343	0
P1	38754	92774	102169	106866	109215	111563	113912	113912	115086	30533	19964	14092	0
P2	36794	88083	97003	101463	103693	105923	108153	108153	109267	28989	18955	13380	0
P3	36794	88083	97003	101463	103693	105923	108153	108153	109267	28989	18955	13380	0
P4	24839	59463	65485	68496	70001	71507	73012	73012	73765	19570	12796	9032	0
P5	34390	82328	90665	94834	96918	99002	101086	101086	102128	27095	17716	12506	0

2.5.3 Factor de Seguridad

Cuando realizamos el cálculo de Carga Térmica, es evidente que los criterios y procedimientos utilizados nos permiten obtener una estimación aproximada del efecto físico que intentamos medir; no obstante, es posible que existan Ganancias de Calor que no podamos cuantificar por diferentes motivos; por ejemplo, quizás el número exacto de personas, el funcionamiento de maquinaria eléctrica, la posibilidad que en un futuro se construyan edificios adyacentes, en fin, una serie de factores que no podemos evaluar con exactitud podrían convertirse en fuentes de calor y afectar considerablemente nuestros cálculos.

Por esta razón, se recomienda que en el Análisis Térmico, se incluya un Factor de Seguridad mínimo del 10% de la Carga total de Enfriamiento como una forma de considerar las cargas que eventualmente no podríamos medir.

2.6 Balanceamiento de la Carga de Enfriamiento

En los párrafos anteriores, hemos definido las cargas que afectan directamente el proceso de climatización; de hecho, se ha calculado la Carga de Enfriamiento debido a cada una de las posibles Ganancias de Calor, sean estas externas o internas.

No obstante, para dimensionar los equipos climatizadores, es necesario determinar el valor de la Carga Máxima total y en que momento se produce. Observamos de nuestros cálculos que la Máxima Carga debido a la Radiación a través de los Vidrios se produce a las 9:00 A.M.; a través de las Paredes Externas, 6:00 P.M.; a través de los Bloques de Vidrio, 1:00 P.M.; por Personas y Luces, 4:00 P.M.

Los máximos valores de carga se producen en diferentes momentos del día; por lo tanto, determinamos la Carga total de Enfriamiento para el Edificio realizando un Balanceamiento Térmico por pisos.

El Balance Térmico consiste en sumar todas las cargas calculadas en cada uno de los momentos del día, durante el tiempo de operación del equipo, es decir, 12 horas; de esta manera, determinamos la Hora de Diseño.

Las Tablas 26 a la 31 nos muestran los resultados del Balanceamiento Térmico de Pb y cada uno de los Pisos que conforman el Edificio.

TABLA 26 BALANCE TÉRMICO PB

CARGA			Α	.м.						P.M.			
Btu/hr	6	7	8	9	10	11	12	1	2	3	4	5	6
Rad. BdV	0	2052	F740	CEOO	10205	12102	12001	42447	42000	12002	11050	10012	F770
Sur	0	3953	5710	6500	10365	12102	12981	13117	13098	12903	11956	10043	5778
Trans. BdV	182	182	547	911	1275	1822	2186	2733	2915	3097	3097	2915	2733
Trans. Duv	102	102	347	311	1275	1022	2100	2100	2313	3037	3037	2313	2733
Losa	18073	18073	18073	18073	18073	18073	18073	18073	18073	18073	18073	18073	18073
Paredes Ext.													
Porcelanato													
Sur	0	0	-242	0	242	966	1691	2657	3141	3624	4107	3865	3624
Oeste	205	0	-228	205	637	1322	2006	3737	5011	7513	9196	10195	10785
	205	0	-470	205	879	2288	3697	6394	8152	11136	13303	14060	14409
Pared Inter.													
Este	6745	6745	6745	6745	6745	6745	6745	6745	6745	6745	6745	6745	6745
Paredes Ext.													
Norte	0	0	-510	0	510	1019	1529	3058	4588	5607	6627	7136	7646
			1			1		1			1		
Luces	0	0	9193	22007	24235	25350	25907	26464	27021	27021	27300	7243	4736
Personas													
Sensible	0	0	1586	3796	4180	4373	4469	4565	4661	4661	4709	1249	817
Latente	0	0	4495	4495	4495	4495	4495	4495	4495	4495	4495	4495	4495
	0	0	6081	8291	8675	8868	8964	9060	9156	9156	9204	5744	5312
Ventilación													
Sensible	5330	5330	5330	5330	5330	5330	5330	5330	5330	5330	5330	5330	5330
Latente	13794	13794	13794	13794	13794	13794	13794	13794	13794	13794	13794	13794	13794
	19124	19124	19124	19124	19124	19124	19124	19124	19124	19124	19124	19124	19124
			1			1		1			1		
Total	44329	48077	64492	81855	89881	95391	99206	104768	108871	112862	115428	91084	84555
			ı			ı		ı			ı		
FS 10%	48761	52884	70941	90041	98869	104930	109126	115245	119758	124148	126971	100192	93010

TABLA 27 BALANCE TÉRMICO P1

CARGA			A	.м.						P.M.			
Btu/hr	6	7	8	9	10	11	12	1	2	3	4	5	6
Rad. Ve													
Norte	0	0	0	0	0	0	0	0	0	0	0	0	0
Sur	0	8174	11806	13441	14168	14531	14894	14531	14168	13441	11806	8174	0
Este	0	8395	11789	10695	5912	1808	342	260	219	178	118	53	0
Oeste	0	86	115	109	100	82	76	397	1715	3791	5053	4133	0
	0	16655	23711	24245	20180	16421	15313	15187	16102	17410	16977	12359	0
Rad. Vn		ı	ı				1		ı	1	· ·		
Norte	0	8947	12923	14712	15508	15905	16303	15905	15508	14712	12923	8947	0
Sur	0	25399	36687	41767	44025	45154	46282	45154	44025	41767	36687	25399	0
Este	0	25189	35371	32088	17738	5426	1027	781	657	534	355	158	0
Oeste	0	253	341	322	295	243	225	1171	5067	11201	14927	12210	0
	0	59787	85322	88889	77566	66727	63838	63011	65257	68214	64892	46714	0
		I	I				ı		I	1			
Trans. Ve	301	301	902	1503	2105	3006	3608	4510	4810	5111	5111	4810	4510
Trans.													
Vn	1288	1288	3865	6442	9019	12884	15461	19326	20614	21903	21903	20614	19326
Losa Paredes Ext.	71317	71317	71317	71317	71317	71317	71317	71317	71317	71317	71317	71317	71317
Norte	0	0	-879	0	879	1758	2637	5273	7910	9668	11426	12304	13183
Sur	0	0	-341	0	341	1364	2387	3751	4433	5115	5797	5456	5115
Este	673	3366	5535	6059	6583	6474	6027	4085	2778	2985	3192	3173	3153
Oeste	74	0	-83	74	232	481	730	1359	1823	2733	3345	3708	3923
	748	3366	4232	6133	8035	10076	11781	14469	16944	20501	23760	24642	25375
		I	I				1		I	I			
Luces	0	0	38754	92774	102169	106866	109215	111563	113912	113912	115086	30533	19964
Personas													
Sensible	0	0	10782	25812	28426	29733	30387	31040	31694	31694	32020	8495	5555
Latente	0	0	27814	27814	27814	27814	27814	27814	27814	27814	27814	27814	27814
	0	0	38596	53626	56240	57547	58200	58854	59507	59507	59834	36309	33368
Ventilación		I	I				1		I				
Sensible	50023	50023	50023	50023	50023	50023	50023	50023	50023	50023	50023	50023	50023
Latente	129470	129470	129470	129470	129470	129470	129470	129470	129470	129470	129470	129470	129470
	179493	179493	179493	179493	179493	179493	179493	179493	179493	179493	179493	179493	179493
Total	253146	332206	446191	524421	526121	524337	528224	537729	547956	557367	558373	426791	353352
							l						
FS 10%	278460	365427	490810	576864	578733	576771	581046	591502	602751	613104	614210	469470	388687

TABLA 28 BALANCE TÉRMICO P2

CARGA			A.	М.						P.M.			
Btu/hr	6	7	8	9	10	11	12	1	2	3	4	5	6
Rad. Ve													
Norte	0	0	0	0	0	0	0	0	0	0	0	0	0
Sur	0	8174	11806	13441	14168	14531	14894	14531	14168	13441	11806	8174	0
Este	0	8395	11789	10695	5912	1808	342	260	219	178	118	53	0
Oeste	0	86	115	109	100	82	76	397	1715	3791	5053	4133	0
	0	16655	23711	24245	20180	16421	15313	15187	16102	17410	16977	12359	0
Rad. Vn													
Norte	0	8947	12923	14712	15508	15905	16303	15905	15508	14712	12923	8947	0
Sur	0	25399	36687	41767	44025	45154	46282	45154	44025	41767	36687	25399	0
Este	0	25189	35371	32088	17738	5426	1027	781	657	534	355	158	0
Oeste	0	253	341	322	295	243	225	1171	5067	11201	14927	12210	0
	0	59787	85322	88889	77566	66727	63838	63011	65257	68214	64892	46714	0
Trans. Ve	301	301	902	1503	2105	3006	3608	4510	4810	5111	5111	4810	4510
T		Г	П	1	Г	Г	Г	Г	Г	Г	Г	Г	1
Trans. Vn	1288	1288	3865	6442	9019	12884	15461	19326	20614	21903	21903	20614	19326
		ı	ı	1	ı	ı	ı	ı	ı	ı	ı	ı	ı
Losa Paredes	67464	67464	67464	67464	67464	67464	67464	67464	67464	67464	67464	67464	67464
Ext.		ı	ı	ı	ı	ı	ı	ı	ı	ı	ı	ı	
Norte	0	0	-879	0	879	1758	2637	5273	7910	9668	11426	12304	13183
Sur	0	0	-341	0	341	1364	2387	3751	4433	5115	5797	5456	5115
Este	673	3366	5535	6059	6583	6474	6027	4085	2778	2985	3192	3173	3153
Oeste	74	0	-83	74	232	481	730	1359	1823	2733	3345	3708	3923
	748	3366	4232	6133	8035	10076	11781	14469	16944	20501	23760	24642	25375
		l	l	l	l	l	l	l	l	l	l	l	1
Luces	0	0	36794	88083	97003	101463	103693	105923	108153	108153	109267	28989	18955
Personas													
Sensible	0	0	13400	32078	35326	36951	37763	38575	39387	39387	39793	10557	6903
Latente	0	0	34545	34545	34545	34545	34545	34545	34545	34545	34545	34545	34545
	0	0	47945	66623	69871	71496	72308	73120	73932	73932	74338	45102	41448
Ventilación													
Sensible	77418	77418	77418	77418	77418	77418	77418	77418	77418	77418	77418	77418	77418
Latente	200376	200376	200376	200376	200376	200376	200376	200376	200376	200376	200376	200376	200376
	277794	277794	277794	277794	277794	277794	277794	277794	277794	277794	277794	277794	277794
Total	347595	426655	548029	627177	629036	627332	631258	640804	651070	660481	661507	528490	454871
FS 10%	382354	469321	602832	689894	691940	690065	694384	704884	716177	726530	727657	581339	500358

TABLA 29 BALANCE TÉRMICO P3

CARGA			A.N	И.						P.M.			
Btu/hr	6	7	8	9	10	11	12	1	2	3	4	5	6
Rad. Ve													
Norte	0	0	0	0	0	0	0	0	0	0	0	0	0
Sur	0	8174	11806	13441	14168	14531	14894	14531	14168	13441	11806	8174	0
Este	0	8395	11789	10695	5912	1808	342	260	219	178	118	53	0
Oeste	0	86	115	109	100	82	76	397	1715	3791	5053	4133	0
	0	16655	23711	24245	20180	16421	15313	15187	16102	17410	16977	12359	0
Rad. Vn							1					1	
Norte	0	8947	12923	14712	15508	15905	16303	15905	15508	14712	12923	8947	0
Sur	0	25399	36687	41767	44025	45154	46282	45154	44025	41767	36687	25399	0
Este	0	25189	35371	32088	17738	5426	1027	781	657	534	355	158	0
Oeste	0	253	341	322	295	243	225	1171	5067	11201	14927	12210	0
	0	59787	85322	88889	77566	66727	63838	63011	65257	68214	64892	46714	0
					1	ı		ı	1	ı	1		ı
Trans. Ve	301	301	902	1503	2105	3006	3608	4510	4810	5111	5111	4810	4510
			1		ı	ı		ı	ı	ı	ı		1
Trans. Vn	1288	1288	3865	6442	9019	12884	15461	19326	20614	21903	21903	20614	19326
					1	I		I	1	I	1		I
Losa	67464	67464	67464	67464	67464	67464	67464	67464	67464	67464	67464	67464	67464
	_												
Paredes Ext.													
Norte	0	0	-879	0	879	1758	2637	5273	7910	9668	11426	12304	13183
Sur	0	0	-341	0	341	1364	2387	3751	4433	5115	5797	5456	5115
Este	673	3366	5535	6059	6583	6474	6027	4085	2778	2985	3192	3173	3153
Oeste	74	0	-83	74	232	481	730	1359	1823	2733	3345	3708	3923
	748	3366	4232	6133	8035	10076	11781	14469	16944	20501	23760	24642	25375
			00704		07000	404400	400000	405000	100150	100150	40000	00000	40055
Luces	0	0	36794	88083	97003	101463	103693	105923	108153	108153	109267	28989	18955
Personas Sensible	0	0	11942	28588	31483	32931	33654	34378	35102	35102	35464	9409	6152
Latente	0	0	30825	30825	30825	30825	30825	30825	30825	30825	30825	30825	30825
Ventiles: -	0	0	42767	59413	62308	63756	64479	65203	65927	65927	66289	40234	36977
Ventilación Sensible	57596	57596	57596	57596	57596	57596	57596	57596	57596	57596	57596	57596	57596
Latente	149072	149072	149072	149072	149072	149072	149072	149072	149072	149072	149072	149072	149072
Laterite													
	206668	206668	206668	206668	206668	206668	206668	206668	206668	206668	206668	206668	206668
Total	276469	355529	471725	548841	550347	548466	552304	561761	571939	581350	582332	452495	379274
· Otal	210403	555528	711123	UT0041	JJJJJ47	J-10400	JJZJU4	001701	011333	301330	302332	702430	313214
FS 10%	304116	391082	518898	603725	605381	603312	607534	617937	629133	639485	640565	497744	417201

TABLA 30 BALANCE TÉRMICO P4

CARGA				A.M.						P.M.			
Btu/hr	6	7	8	9	10	11	12	1	2	3	4	5	6
Rad. Ve													
Norte	0	0	0	0	0	0	0	0	0	0	0	0	0
Sur	0	8174	11806	13441	14168	14531	14894	14531	14168	13441	11806	8174	0
Este	0	8395	11789	10695	5912	1808	342	260	219	178	118	53	0
Oeste	0	86	115	109	100	82	76	397	1715	3791	5053	4133	0
	0	16655	23711	24245	20180	16421	15313	15187	16102	17410	16977	12359	0
Rad. Vn													
Norte	0	8947	12923	14712	15508	15905	16303	15905	15508	14712	12923	8947	0
Sur	0	25399	36687	41767	44025	45154	46282	45154	44025	41767	36687	25399	0
Este	0	25189	35371	32088	17738	5426	1027	781	657	534	355	158	0
Oeste	0	253	341	322	295	243	225	1171	5067	11201	14927	12210	0
	0	59787	85322	88889	77566	66727	63838	63011	65257	68214	64892	46714	0
Trans. Ve	301	301	902	1503	2105	3006	3608	4510	4810	5111	5111	4810	4510
Trans. Vn	1288	1288	3865	6442	9019	12884	15461	19326	20614	21903	21903	20614	19326
					77.7								
Losa	67464	67464	67464	67464	67464	67464	67464	67464	67464	67464	67464	67464	67464
Paredes Ext.								•			•		
Norte	0	0	-879	0	879	1758	2637	5273	7910	9668	11426	12304	13183
Sur	0	0	-341	0	341	1364	2387	3751	4433	5115	5797	5456	5115
Este	673	3366	5535	6059	6583	6474	6027	4085	2778	2985	3192	3173	3153
Oeste	74	0	-83	74	232	481	730	1359	1823	2733	3345	3708	3923
	748	3366	4232	6133	8035	10076	11781	14469	16944	20501	23760	24642	25375
Luces													
Oficinas	0	0	24839	59463	65485	68496	70001	71507	73012	73012	73765	19570	12796
Auditorio	0	0	11510	11510	11510	11510	11510	11510	11510	11510	11510	11510	11510
Aulas	0	0	16168	16168	16168	16168	16168	16168	16168	16168	16168	16168	16168
Comedor	0	0	14942	14942	14942	14942	14942	14942	14942	14942	14942	14942	14942
	0	0	67459	102083	108105	111116	112621	114127	115632	115632	116385	62190	55416
Personas								•			•		
Oficinas	0	0	20360	28266	29641	30328	30672	31016	31359	31359	31531	19157	17610
Auditorio	0	0	35000	35000	35000	35000	35000	35000	35000	35000	35000	35000	35000
Aulas	0	0	38500	38500	38500	38500	38500	38500	38500	38500	38500	38500	38500
Comedor	0	0	63800	63800	63800	63800	63800	63800	63800	63800	63800	63800	63800
	0	0	157660	165566	166941	167628	167972	168316	168659	168659	168831	156457	154910
Ventilación												-	
Oficinas	97295	97295	97295	97295	97295	97295	97295	97295	97295	97295	97295	97295	97295
Auditorio	50325	50325	50325	50325	50325	50325	50325	50325	50325	50325	50325	50325	50325
Aulas	55358	55358	55358	55358	55358	55358	55358	55358	55358	55358	55358	55358	55358
Comedor	93403	93403	93403	93403	93403	93403	93403	93403	93403	93403	93403	93403	93403

	296381	296381	296381	296381	296381	296381	296381	296381	296381	296381	296381	296381	296381
Total	366182	445242	706996	758707	755795	751705	754438	762791	771864	781275	781704	691632	623382
FS 10%	402800	489766	777696	834578	831374	826875	829882	839070	849050	859403	859875	760796	685720

TABLA 31 BALANCE TÉRMICO P5

CARGA			A	.м.						P.M.			
Btu/hr	6	7	8	9	10	11	12	1	2	3	4	5	6
Rad. Ve													
Norte	0	0	0	0	0	0	0	0	0	0	0	0	0
Sur	0	8174	11806	13441	14168	14531	14894	14531	14168	13441	11806	8174	0
Este	0	8395	11789	10695	5912	1808	342	260	219	178	118	53	0
Oeste	0	86	115	109	100	82	76	397	1715	3791	5053	4133	0
	0	16655	23711	24245	20180	16421	15313	15187	16102	17410	16977	12359	0
Rad. Vn			ı	ı			Ī	1	ı		ı		
Norte	0	8947	12923	14712	15508	15905	16303	15905	15508	14712	12923	8947	0
Sur	0	25399	36687	41767	44025	45154	46282	45154	44025	41767	36687	25399	0
Este	0	25189	35371	32088	17738	5426	1027	781	657	534	355	158	0
Oeste	0	253	341	322	295	243	225	1171	5067	11201	14927	12210	0
	0	59787	85322	88889	77566	66727	63838	63011	65257	68214	64892	46714	0
			ı	ı	1		Ī	1	ı		ı	1	
Trans. Ve	301	301	902	1503	2105	3006	3608	4510	4810	5111	5111	4810	4510
			l	l				l	l		l		
Trans. Vn	1288	1288	3865	6442	9019	12884	15461	19326	20614	21903	21903	20614	19326
Losa Paredes	62738	62738	62738	62738	62738	62738	62738	62738	62738	62738	62738	62738	62738
Ext.													
Norte	0	0	-879	0	879	1758	2637	5273	7910	9668	11426	12304	13183
Sur	0	0	-341	0	341	1364	2387	3751	4433	5115	5797	5456	5115
Este	673	3366	5535	6059	6583	6474	6027	4085	2778	2985	3192	3173	3153
Oeste	74	0	-83	74	232	481	730	1359	1823	2733	3345	3708	3923
	748	3366	4232	6133	8035	10076	11781	14469	16944	20501	23760	24642	25375
Azotea	30489	27948	22945	25486	28027	35728	48510	63912	76773	87093	97414	105115	107734
Luces	0	0	34390	82328	90665	94834	96918	99002	101086	101086	102128	27095	17716
Personas			04000	02020	50000	04004	30010	00002	101000	101000	102120	27000	17710
Sensible	0	0	7920	18960	20880	21840	22320	22800	23280	23280	23520	6240	4080
Latente	0	0	20438	20438	20438	20438	20438	20438	20438	20438	20438	20438	20438
	0	0	28358	39398	41318	42278	42758	43238	43718	43718	43958	26678	24518
Ventilación					010		12100	.5200	.0710	.5710		20010	21010
Sensible	40673	40673	40673	40673	40673	40673	40673	40673	40673	40673	40673	40673	40673
Latente	105270	105270	105270	105270	105270	105270	105270	105270	105270	105270	105270	105270	105270
	145943	145943	145943	145943	145943	145943	145943	145943	145943	145943	145943	145943	145943
<u> </u>	140343	140340	140343	140343	140340	140343	140543	140343	140343	140343	140343	140340	140343

Total	241506	318025	412405	483105	485593	490634	506865	531335	553984	573716	584823	476708	407858
FS 10%	265657	349828	453646	531415	534153	539698	557552	584468	609383	631088	643305	524378	448644

2.7 Criterio para seleccionar la Capacidad de las Unidades Manejadoras de Aire

La Capacidad de la UMA esta en función de la Carga de Enfriamiento; su selección se define de acuerdo a la cantidad de calor que necesitamos remover del espacio para garantizar las condiciones de confort; sin embargo, el área de construcción de cada uno de los pisos es considerable, por lo tanto, dividiremos la Carga de Enfriamiento total para dos unidades de climatización excepto Pb . En P4 se considera una UMA para las Oficinas Generales y tres UMAS independientes para el Auditorio, las Aulas y el Comedor. La Tabla 32 muestra la capacidad y la numeración de las UMAS que conforman el Sistema de Climatización.

TABLA 32
CAPACIDAD DE UMAS

Nº Uma	Btu/hr	Ubicación
1	126.971	Pb
2	307.105	P1
3	307.105	P1
4	363.829	P2
5	363.829	P2
6	320.282	P3
7	320.282	P3
8	372.530	P4 Oficinas
9	126.329	P4 Auditorio
10	147.443	P4 Aulas
11	213.572	P4 Comedor

12	321.653	P5
13	321.653	P5

2.8 Criterio para seleccionar la Capacidad de los Enfriadores de Agua

La Capacidad de los Enfriadores es determinada considerando el Edificio como un sólido macizo y evaluando todas las cargas externas e internas, excepto la Carga de Enfriamiento debido a la Transferencia de Calor a través de la Losa de cada piso porque estamos asumiendo que no existen divisiones internas.

De las resultados del Balanceamiento Térmico para cada piso, a la Carga total le restamos la carga debido a la Transferencia de Calor a través de la Losa; sumamos los valores parciales de carga, añadimos un Factor de Seguridad recomendado y la Capacidad de los Enfriadores es calculada y presentada en la Tabla 33.

De igual manera que para las UMAS, dividimos la carga para dos Unidades de Enfriamiento por una razón de eficiencia y seguridad.

TABLA 33 CAPACIDAD DE LOS ENFRIADORES DE AGUA

	Btu/Hr	Btu/Hr	Btu/Hr
Ubicación	Total	Losa	Enfriador
РВ	115.428		115.428
P1	558.373	71.317	487.056
P2	661.507	67.464	594.042
P3	582.332	67.464	514.867
P4	781.704	67.464	714.240
P5	584.823	62.738	522.085
			2.947.719
FSg 10%	-		3.242.491
Toneladas			<u>270</u>
UEA-1			135
UEA-2			135

CAPÍTULO 3

3. PSICROMETRÍA DEL SISTEMA

Las características geométricas de las Superficies de Enfriamiento dependen del análisis de las condiciones del aire húmedo; en este Capítulo describiremos las principales propiedades del aire y en función de las mismas definiremos el procedimiento para calcular los parámetros que nos permiten seleccionar el serpentín de las UMAS.

3.1 Propiedades Psicrométricas del Aire

Para definir las condiciones térmicas que producen confort, es necesario determinar ciertas propiedades que tienen relación con la temperatura y la cantidad de vapor de agua contenida en el aire.

Estas dos variables afectan el comportamiento de las personas y producen un ambiente de trabajo pesado y caluroso; nuestro objetivo es enfriar el aire y deshumidificarlo, haciéndolo pasar a través del

serpentín de la UMA describiendo su condición térmica por medio de las siguientes propiedades:

Temperatura del Punto de Rocío

El Punto de Rocío (PR) es la temperatura a la cual el vapor de agua en el aire está saturado; es una propiedad que depende de la masa de vapor de agua contenida en el aire.

Humedad Absoluta

A la cantidad de vapor de agua contenido en el aire se le llama humedad. La Humedad Absoluta del aire para cualquier condición dada, es la masa de vapor de agua por unidad de volumen de aire a dicha condición, como tal, esto es propiamente la expresión de la densidad del vapor y se expresa en libras por pie cúbico.

Humedad Relativa

La Humedad Relativa (HR) expresada en porcentaje, es la relación entre la presión parcial real ejercida por el vapor de agua en cualquier volumen de aire y la presión parcial que ejercería el vapor de agua si el vapor de agua contenido en el aire estuviera saturado a la temperatura del aire.

Temperatura de Bulbo Seco

La Temperatura de Bulbo Seco del aire (TBS) es la temperatura leída en un termómetro ordinario agitado al aire libre y abrigado de los rayos térmicos, es decir a la sombra. El termómetro de bulbo seco no es afectado por la humedad y solo mide la temperatura real del aire.

Temperatura de Bulbo Húmedo

La Temperatura de Bulbo Húmedo del aire (TBH) es la temperatura leída en un termómetro ordinario cuyo bulbo está envuelto con un pabilo humedecido. Es una medida de la relación entre la temperatura de bulbo seco y el contenido de humedad del aire.

3.2 Carta Psicrométrica

La Carta Psicrométrica es una gráfica que representa las Propiedades Psicrométricas del aire. Su uso permite el análisis de datos psicrométricos y procesos facilitándose la solución de muchos problemas prácticos relacionados con aire, que de otra manera requeriría de soluciones matemáticas tediosas. En el Apéndice A.21 se ilustra una Carta Psicrométrica típica. Los valores dados en la carta son para aire a presión barométrica estándar debiendo hacerse correcciones para otras elevaciones.

El esquema presentado muestra la construcción general de la Carta Psicrométrica y las relaciones entre algunas de las propiedades fundamentales del aire.

Obsérvese que las líneas verticales sobre la carta son líneas TBS constante, mientras que las líneas horizontales son líneas PR constante y relaciones de humedad. Las líneas diagonales a partir de la intersección TBS y PR son líneas TBH constante. Las líneas más inclinadas y de mayor separación representan el volumen específico. Las líneas curvas que se extienden del extremo inferior izquierdo hasta el extremo superior derecho de la carta, son líneas de HR constante.

3.3 Procesos Psicrométricos

Los Procesos Psicrométricos son definidos como los pasos necesarios para transformar las condiciones térmicas del aire, los mismos que pueden ser ilustrados, analizados y evaluados sobre una Carta Psicrométrica; como ejemplo podemos mencionar la Mezcla de dos o más Corrientes de Aire, el Calentamiento o Enfriamiento Sensible, la Deshumidificación, etc.

Entre los diferentes procesos que hemos mencionado en el párrafo anterior, estamos interesados en el Enfriamiento y Deshumidificación simultánea del aire; proceso que ocurre cuando el aire es pasado a través de una superficie de enfriamiento cuya temperatura sea menor que PR del aire de entrada.

Ciclo de Evaluación del Aire

El Ciclo de Evaluación del Aire puede representarse en la Carta Psicrométrica como se ilustra en el Apéndice A.22.

El aire en el estado (3), mezcla de aire exterior (2) y de retorno con condiciones interiores (1), ingresa al aparato acondicionador; fluye a través del serpentín, y el Proceso de Enfriamiento y Deshumidificación se lo representa por la línea (3-4). Abandona el aparato en (4) y es impulsado hacia el espacio donde absorbe calor y humedad, según la línea (4-1). Gran parte del aire impulsado retorna a la máquina para mezclarse con el aire exterior, repitiendo de esta manera el ciclo.

3.4 Factores de Selección del Serpentín

El aire al pasar a través del aparato acondicionador, abandona la humedad y el calor recibidos para mantener el confort en el espacio, dependiendo de las características técnicas del serpentín.

La selección de las características del serpentín por medio del cual llevaremos el aire a las condiciones deseadas, depende de un cierto número de factores que se relacionan entre sí y definen un procedimiento específico de cálculos.

Factor de Calor Sensible del Espacio

El Factor de Calor Sensible del Espacio (RSHF) es la razón del Calor Sensible del espacio a la suma del Calor Sensible y del Calor Latente del espacio. Esta relación se expresa en la ecuación 3.1 :

$$RSHF = \frac{RSH}{RSH + RLH}$$
 (3.1)

El estado del aire impulsado en el espacio debe ser tal que compense simultáneamente las Ganancias Sensibles y Latentes del mismo. Los puntos que representan sobre el diagrama psicrométrico el estado del aire impulsado y las condiciones interiores pueden unirse por un segmento de recta (4 -1) según la Figura 3.1.

Factor de Calor Sensible Total

El Factor de Calor Sensible Total (GSHF) es la relación entre el Calor Sensible total y el Balance Térmico de la instalación, incluyendo todas las cargas de Calor Sensible y Latente que proceden del aire exterior. Esta relación se expresa en la ecuación 3.2.

$$GSHF = \frac{TSH}{TLH + TSH}$$
 (3.2)

Podemos graficar en la Carta Psicrométrica los puntos que representan el estado del aire a la entrada y a la salida del serpentín y unirlos con un segmento de recta (3 - 4) según la Figura 3.1.

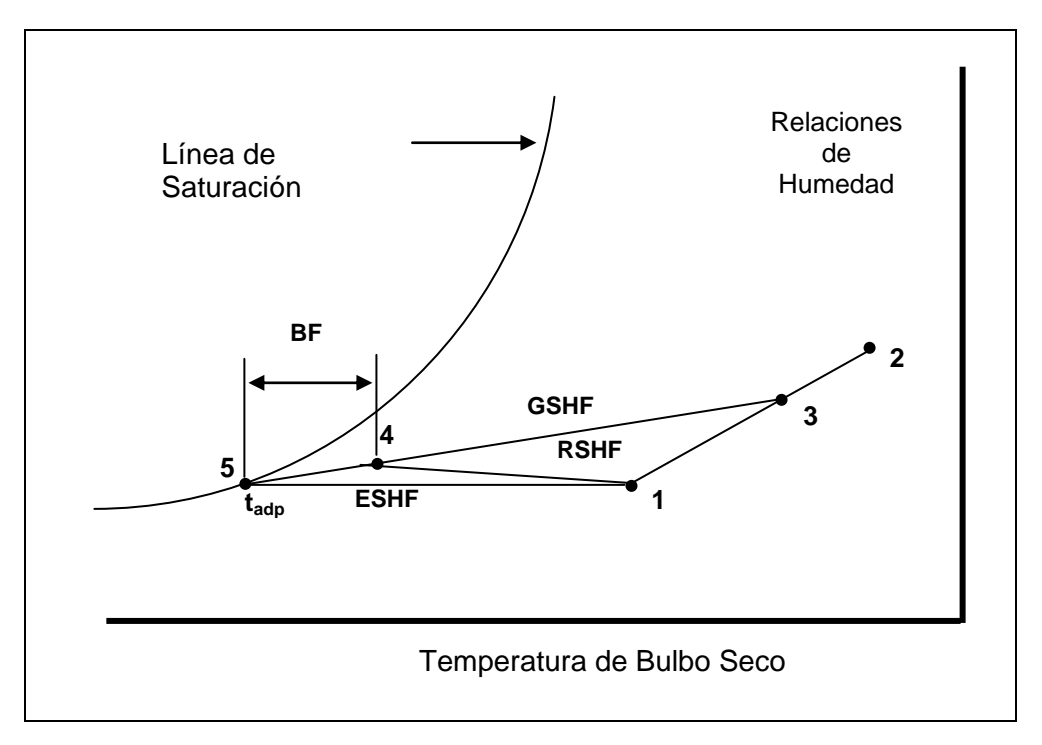


Figura 3.1 Representación t_{adp}-BF y las Rectas RSHF,GSHF,ESHF sobre la Carta Psicrométrica

Temperatura Equivalente de Superficie

La temperatura de la superficie exterior de un serpentín de enfriamiento es variable de un punto a otro. Sin embargo, podemos considerar una temperatura media, de tal manera que si fuera

constante en toda la superficie daría lugar a las mismas condiciones en la salida que la temperatura real variable. Esta temperatura se llama Temperatura Equivalente de Superficie (T_{es}) y la utilizaremos para determinar el caudal del aire.

Para aplicaciones en las que se requiere un Proceso de Enfriamiento y Deshumidificación, la Temperatura Equivalente de Superficie estará representada por la intersección de la recta GSHF con la curva de saturación (punto 5) como se muestra en la Figura 3.1 . Esta temperatura puede considerarse como el Punto de Rocío del Serpentín de Enfriamiento (t_{adp}).

Factor de Bypass

El Factor de Bypass (BF) representa el porcentaje de aire que pasa a través del serpentín sin sufrir ningún cambio. Depende de las características del serpentín y de sus condiciones de funcionamiento.

La superficie externa de intercambio (número de tubos y separación entre aletas) y la velocidad del aire influyen en el Factor de Bypass.

A una disminución de la superficie corresponde un aumento de BF; por otro lado, una disminución de la velocidad corresponde una disminución de BF debido al mayor tiempo de contacto entre el aire y la superficie de intercambio.

Existe una relación entre BF, GSHF y RSHF. Para las condiciones exteriores, interiores y caudales de aire exterior determinados, el GSHF y el RSHF son fijos. La posición de RSHF es igualmente fija, pero la de la recta GSHF varía de acuerdo con el caudal de aire y las condiciones impulsadas, como se muestra en la Figura 3.1.

Factor de Calor Sensible Efectivo

El Factor de Calor Sensible Efectivo (ESHF) se define como la relación entre las Ganancias Sensibles Efectivas del espacio y la suma de las Ganancias Sensibles y Latentes Efectivas del mismo.

Estas Ganancias Efectivas son iguales a la suma de las ganancias del espacio propiamente dicho aumentadas en las cantidades de Calor Sensible y Latente correspondientes al caudal de aire que pasa por el serpentín sin que su estado se modifique, y cuyo porcentaje viene dado por BF. La Ecuación 3.3 expresa esta relación.

$$ESHF = \frac{ERSH}{ERSH + ERLH}$$
 (3.3)

La recta ESHF puede obtenerse gráficamente de la Carta Psicrométrica uniendo t_{adp} y el punto que representa las condiciones interiores del espacio (5-1) como se muestra en la Figura 3.1.

3.5 Procedimiento de Cálculo para el Serpentín de Enfriamiento y Deshumidificación

Para seleccionar el serpentín por medio del cual definiremos en el espacio las condiciones de confort, estamos básicamente interesados en calcular las Propiedades Psicrométricas de entrada y salida del aire a través de su superficie.

El procedimiento que nos permite obtener los resultados indicados con la finalidad de enfriar y deshumidificar el aire en el espacio, lo explicaremos con detalle a continuación:

- a.- De los cálculos de la Carga de Enfriamiento por Ventilación, tomamos los datos sobre la cantidad de aire externo (CFM_{oa}) necesario para diluir "el aire pesado" debido a la concentración de las personas en el espacio.
- b.- Asumimos un BF de acuerdo a la funcionalidad del espacio que deseamos climatizar; el Apéndice A.23 nos muestra los valores típicos de BF para distintas aplicaciones.

- c.- Definimos una tabla de todas las Cargas Sensibles y
 Latentes calculadas por Radiación a través de Vidrios,
 Paredes, Azoteas, Luces, Personas, Ventilación, etc.
- d.- De la Carta Psicrométrica y definidas las Condiciones
 Interiores y Exteriores de Diseño, incluimos en la tabla
 las siguientes Propiedades del aire: TBS, TBH, HR y PR.
- e.- Calculamos RSHF utilizando la Ecuación 3.1
- f.- Calculamos ESHF utilizando la Ecuación 3.3
- g.- Con ESHF y las Condiciones Interiores de Diseño, seleccionamos t_{adp} del Apéndice A.24.
- h.- La cantidad de aire deshudificado (CFM_{da}) tratado por el serpentín se calcula utilizando la Ecuación 3.4:

$$CFM_{da} = \frac{ERSH}{1.08 \times (1 - BF)(t_{room} - t_{adp})}$$
 (3.4)

i.- La diferencia de temperatura entre el aire del espacio (t_{room}) y el suministrado (t_{sa}) se calcula utilizando la Ecuación 3.5 :

$$Otd = \frac{RSH}{1.08 \times CFM_{da}}$$
 (3.5)

j.- La temperatura del aire suministrado (t_{sa}) se calcula utilizando la Ecuación 3.6; t_{sa} es diferente a t_{room} porque se producen pérdidas en el ducto de suministro.

$$t_{sa} = t_{room} - \frac{RSH}{1.08 \times CFM_{da}}$$
 (3.6)

k.- La cantidad de aire suministrado (CFM_{sa}) se calcula utilizando la Ecuación 3.7 :

$$CFM_{sa} = \frac{RSH}{1.08 \times (t_{room} - t_{sa})} \qquad (3.7)$$

I.- Las Temperaturas de Bulbo Seco, entrada y salida del aire a través del Serpentín de Enfriamiento, T_{edb} y T_{Idb}, se calculan utilizando las Ecuaciones 3.8 y 3.9 respectivamente.

$$T_{edb} = t_{room} + \frac{CFM_{oa}}{CFM_{da}} \times (T_{ex} - t_{room})$$
 (3.8)

$$T_{ldb} = t_{adp} + \mathbf{B}F \times \mathbf{r}_{edb} - t_{adp} \tag{3.9}$$

 m.- Las demás Propiedades del aire , entrada y salida del Serpentín de Enfriamiento, se las determina de la Carta Psicrométrica. n.- Si las condiciones del espacio son tales que producen una alta Carga Latente, obtendríamos un valor de t_{adp} muy bajo; por lo tanto se procede a asumir un valor de ESHF conveniente lo que implica necesariamente aplicar un Proceso de Recalentamiento al espacio utilizando la Ecuación 3.10:

$$R_{eh} = \frac{ESHF \times ERTH - ERSH}{1 - ESHF}$$
 (3.10)

3.6 Parámetros para Seleccionar el Serpentín de Enfriamiento de las Unidades Manejadoras de Aire

Utilizando el procedimiento que hemos explicado en los párrafos anteriores, calculamos los valores numéricos de los parámetros mediante los cuales seleccionamos un Serpentín de Enfriamiento.

Las características del Serpentín y su selección están en función de BF, la Carga Total de Enfriamiento (GTH), t_{adp} , la cantidad de aire suministrado CFM_{sa} y las Condiciones Psicrométricas del aire a la entrada y salida de la Superficie de Enfriamiento.

Aplicando la metodología de cálculo para el Edificio, es importante recordar que dividiremos la carga de cada piso en dos unidades, dos serpentines con las mismas propiedades, por lo tanto, CFMoa y cada

una de las cargas serán reducidas a la mitad, excepto Pb y las Aulas, Comedor, Auditorio de P4.

Diseñando una Hoja Electrónica de Excel con la respectiva formulación, las Tablas 34 a la 42 nos muestran los resultados del cálculo de los Parámetros de Selección para los Serpentines de las UMAS de cada uno de los pisos; además las Figuras 3.2 a la 3.10 nos muestran esquemáticamente las condiciones de entrada y de salida del aire sobre la Carta Psicrométrica, para cada caso.

TABLA 34 PARÁMETROS DEL SERPENTÍN PB UMA 1

Aire Externo	
CFM _{oa}	285
Factor de Bypass	0,10
Carga Tèrmica por Ventilación	Btu/Hr
Sensible	5330
Latente	13794
Carga Solar-Vidrios	
Bloques de Vidrio	11956
Carga Solar-Paredes	11000
Paredes Porcelanato	13303
Paredes Exteriores	6627
Carga por Conducción	0021
Bloques de Vidrio	3097
Pared Interior	6745
Piso	18073
Cargas Internas	
Personas	4709
Luces	27300
Factor de Seguridad	10%
RSH	100991
Ventilaciòn*BF	533
ERSH Color Laterate	101524
Calor Latente	
Personas	4495
Factor de Seguridad	10%
RLH Ventilaciòn*BF	4945
ERLH	1379 6324
ERTH	107848
Ventilaciòn	
Sensible*(1-BF)	4797
Latente*(1-BF)	12415
GTH	
OIII	125060
CONDICIONES EXTERIORES	
CONDICIONES EXTERIORES Temperatura Bulbo Seco (°F)	92
CONDICIONES EXTERIORES Temperatura Bulbo Seco (°F) Temperatura Bulbo Hùmedo (°F)	92
CONDICIONES EXTERIORES Temperatura Bulbo Seco (°F) Temperatura Bulbo Hùmedo (°F) Humedad Relativa (%)	92 80 60
CONDICIONES EXTERIORES Temperatura Bulbo Seco (°F) Temperatura Bulbo Hùmedo (°F) Humedad Relativa (%) Temperatura Punto de Rocío (°F)	92
CONDICIONES EXTERIORES Temperatura Bulbo Seco (°F) Temperatura Bulbo Hůmedo (°F) Humedad Relativa (%) Temperatura Punto de Rocío (°F) CONDICIONES INTERIORES	92 80 60 76
CONDICIONES EXTERIORES Temperatura Bulbo Seco (°F) Temperatura Bulbo Hümedo (°F) Humedad Relativa (%) Temperatura Punto de Rocío (°F) CONDICIONES INTERIORES Temperatura Bulbo Seco (°F)	92 80 60 76
CONDICIONES EXTERIORES Temperatura Bulbo Seco (°F) Temperatura Bulbo Hùmedo (°F) Humedad Relativa (%) Temperatura Punto de Rocío (°F) CONDICIONES INTERIORES Temperatura Bulbo Seco (°F) Temperatura Bulbo Hùmedo (°F)	92 80 60 76 75 63
CONDICIONES EXTERIORES Temperatura Bulbo Seco (°F) Temperatura Bulbo Hümedo (°F) Humedad Relativa (%) Temperatura Punto de Rocío (°F) CONDICIONES INTERIORES Temperatura Bulbo Seco (°F)	92 80 60 76
CONDICIONES EXTERIORES Temperatura Bulbo Seco (°F) Temperatura Bulbo Hümedo (°F) Humedad Relativa (%) Temperatura Punto de Rocío (°F) CONDICIONES INTERIORES Temperatura Bulbo Seco (°F) Temperatura Bulbo Hümedo (°F) Humedad Relativa (%) Temperatura Punto de Rocío (°F) RSHF	92 80 60 76 75 63 50
CONDICIONES EXTERIORES Temperatura Bulbo Seco (°F) Temperatura Bulbo Hůmedo (°F) Humedad Relativa (%) Temperatura Punto de Rocío (°F) CONDICIONES INTERIORES Temperatura Bulbo Seco (°F) Temperatura Bulbo Hůmedo (°F) Humedad Relativa (%) Temperatura Punto de Rocío (°F) RSHF ESHF	92 80 60 76 75 63 50 55 0,95
CONDICIONES EXTERIORES Temperatura Bulbo Seco (°F) Temperatura Bulbo Hùmedo (°F) Humedad Relativa (%) Temperatura Punto de Rocío (°F) CONDICIONES INTERIORES Temperatura Bulbo Seco (°F) Temperatura Bulbo Hùmedo (°F) Humedad Relativa (%) Temperatura Punto de Rocío (°F) RSHF ESHF tado °F	92 80 60 76 75 63 50 55 0,95 0,94 54,3
CONDICIONES EXTERIORES Temperatura Bulbo Seco (°F) Temperatura Bulbo Hůmedo (°F) Humedad Relativa (%) Temperatura Punto de Rocío (°F) CONDICIONES INTERIORES Temperatura Bulbo Seco (°F) Temperatura Bulbo Hůmedo (°F) Humedad Relativa (%) Temperatura Punto de Rocío (°F) RSHF ESHF tadp °F CFM _{da}	92 80 60 76 75 63 50 55 0,94 54,3 5046
CONDICIONES EXTERIORES Temperatura Bulbo Seco (°F) Temperatura Bulbo Hümedo (°F) Humedad Relativa (%) Temperatura Punto de Rocio (°F) CONDICIONES INTERIORES Temperatura Bulbo Seco (°F) Temperatura Bulbo Hümedo (°F) Humedad Relativa (%) Temperatura Punto de Rocio (°F) RSHF ESHF tadp °F CFMda Otd	92 80 60 76 75 63 50 55 0,95 0,94 54,3 5046
CONDICIONES EXTERIORES Temperatura Bulbo Seco (°F) Temperatura Bulbo Hümedo (°F) Humedad Relativa (%) Temperatura Punto de Rocío (°F) CONDICIONES INTERIORES Temperatura Bulbo Seco (°F) Temperatura Bulbo Hümedo (°F) Humedad Relativa (%) Temperatura Punto de Rocío (°F) RSHF ESHF tadp °F CFMda Otd Tsa (°F)	92 80 60 76 75 63 50 55 0,95 0,94 54,3 5046 18,53 56,47
CONDICIONES EXTERIORES Temperatura Bulbo Seco (°F) Temperatura Bulbo Hümedo (°F) Humedad Relativa (%) Temperatura Punto de Rocío (°F) CONDICIONES INTERIORES Temperatura Bulbo Seco (°F) Temperatura Bulbo Hümedo (°F) Humedad Relativa (%) Temperatura Punto de Rocío (°F) RSHF ESHF t _{adp} °F CFM _{da} Otd Otd T _{sa} (°F) CFM _{sa}	92 80 60 76 75 63 50 55 0,95 0,94 54,3 5046 18,53 56,47 5046
CONDICIONES EXTERIORES Temperatura Bulbo Seco (°F) Temperatura Bulbo Hůmedo (°F) Humedad Relativa (%) Temperatura Punto de Rocío (°F) CONDICIONES INTERIORES Temperatura Bulbo Seco (°F) Temperatura Bulbo Hůmedo (°F) Humedad Relativa (%) Temperatura Punto de Rocío (°F) RSHF ESHF \$\mathbf{t}_{adp} \mathbf{o}F\$ CFMda Otd Tss (°F) CFMsa Teth \mathbf{o}F	92 80 60 76 75 63 50 55 0,95 0,94 54,3 5046 18,53 56,47 5046 75,96
CONDICIONES EXTERIORES Temperatura Bulbo Seco (°F) Temperatura Bulbo Hůmedo (°F) Humedad Relativa (%) Temperatura Punto de Rocío (°F) CONDICIONES INTERIORES Temperatura Bulbo Seco (°F) Temperatura Bulbo Hůmedo (°F) Humedad Relativa (%) Temperatura Punto de Rocío (°F) RSHF ESHF tadp °F CFMda Otd Tsa (°F) CFMsa Tedb °F Tldb °F	92 80 60 76 75 63 50 55 0,95 0,94 54,3 5046 18,53 56,47 5046
CONDICIONES EXTERIORES Temperatura Bulbo Seco (°F) Temperatura Bulbo Hůmedo (°F) Humedad Relativa (%) Temperatura Punto de Rocío (°F) CONDICIONES INTERIORES Temperatura Bulbo Hůmedo (°F) Humedad Relativa (%) Temperatura Punto de Rocío (°F) RSHF ESHF t_adp °F CFM_da Otd T_sa (°F) CFM_sa Tedb °F Tldb °F CONDICIONES PSICROMÊTRICAS	92 80 60 76 75 63 50 55 0,95 0,94 54,3 5046 18,53 56,47 5046 75,96
CONDICIONES EXTERIORES Temperatura Bulbo Seco (°F) Temperatura Bulbo Hümedo (°F) Humedad Relativa (%) Temperatura Punto de Rocio (°F) CONDICIONES INTERIORES Temperatura Bulbo Seco (°F) Temperatura Bulbo Hümedo (°F) Humedad Relativa (%) Temperatura Punto de Rocio (°F) RSHF ESHF tadp °F CFMda Otd Tsa (°F) CFMsa Tedb °F Tidb °F CONDICIONES PSICROMÊTRICAS Entrada Serpentín	92 80 60 76 75 63 50 55 0,95 0,94 54,3 5046 18,53 56,47 5046 75,96 56,47
CONDICIONES EXTERIORES Temperatura Bulbo Seco (°F) Temperatura Bulbo Hůmedo (°F) Humedad Relativa (%) Temperatura Punto de Rocío (°F) CONDICIONES INTERIORES Temperatura Bulbo Seco (°F) Temperatura Bulbo Hůmedo (°F) Humedad Relativa (%) Temperatura Punto de Rocío (°F) RSHF ESHF tadp °F CFMda Otd Tsa (°F) CFMsa Tedb °F Tidb °F CONDICIONES PSICROMÊTRICAS Entrada Serpentín Temperatura Bulbo Hůmedo °F	92 80 60 76 75 63 50 55 0,95 0,94 54,3 5046 18,53 56,47 5046 75,96
CONDICIONES EXTERIORES Temperatura Bulbo Seco (°F) Temperatura Bulbo Hümedo (°F) Humedad Relativa (%) Temperatura Punto de Rocio (°F) CONDICIONES INTERIORES Temperatura Bulbo Seco (°F) Temperatura Bulbo Hümedo (°F) Humedad Relativa (%) Temperatura Punto de Rocio (°F) RSHF ESHF tadp °F CFMda Otd Tsa (°F) CFMsa Tedb °F Tidb °F CONDICIONES PSICROMÊTRICAS Entrada Serpentín	92 80 60 76 75 63 50 55 0,95 0,94 54,3 5046 18,53 56,47 5046 75,96 56,47
CONDICIONES EXTERIORES Temperatura Bulbo Seco (°F) Temperatura Bulbo Hůmedo (°F) Humedad Relativa (%) Temperatura Punto de Rocío (°F) CONDICIONES INTERIORES Temperatura Bulbo Seco (°F) Temperatura Bulbo Hůmedo (°F) Humedad Relativa (%) Temperatura Punto de Rocío (°F) RSHF ESHF tadp °F CFMda Otd Tsa (°F) CFMsa Tedb °F Tidb °F CONDICIONES PSICROMÊTRICAS Entrada Serpentín Temperatura Punto de Rocío °F Humedad Relativa % Salida Serpentín	92 80 60 76 75 63 50 55 0,95 0,94 54,3 5046 18,53 56,47 5046 75,96 56,47
CONDICIONES EXTERIORES Temperatura Bulbo Seco (°F) Temperatura Bulbo Hůmedo (°F) Humedad Relativa (%) Temperatura Punto de Rocío (°F) CONDICIONES INTERIORES Temperatura Bulbo Seco (°F) Temperatura Bulbo Hůmedo (°F) Humedad Relativa (%) Temperatura Punto de Rocío (°F) RSHF ESHF tadp °F CFMda Otd Tsa (°F) CCFMsa Tedb °F Tldb °F CONDICIONES PSICROMÊTRICAS Entrada Serpentín Temperatura Bulbo Hůmedo °F Humedad Relativa % Salida Serpentín Temperatura Bulbo Hůmedo °F Temperatura Punto de Rocío °F Humedad Relativa % Salida Serpentín Temperatura Bulbo Hůmedo °F	92 80 60 76 75 63 50 55 0,95 0,94 54,3 5046 18,53 56,47 5046 75,96 56,47
CONDICIONES EXTERIORES Temperatura Bulbo Seco (°F) Temperatura Bulbo Hůmedo (°F) Humedad Relativa (%) Temperatura Punto de Rocío (°F) CONDICIONES INTERIORES Temperatura Bulbo Seco (°F) Temperatura Bulbo Hůmedo (°F) Humedad Relativa (%) Temperatura Punto de Rocío (°F) RSHF ESHF tadp °F CFMda Otd Tsaa (°F) CFMsa Tedb °F Tidb °F CONDICIONES PSICROMÊTRICAS Entrada Serpentín Temperatura Punto de Rocío °F Humedad Relativa % Salida Serpentín	92 80 60 76 75 63 50 55 0,95 0,94 54,3 5046 18,53 56,47 5046 7 5,96 5 6,47

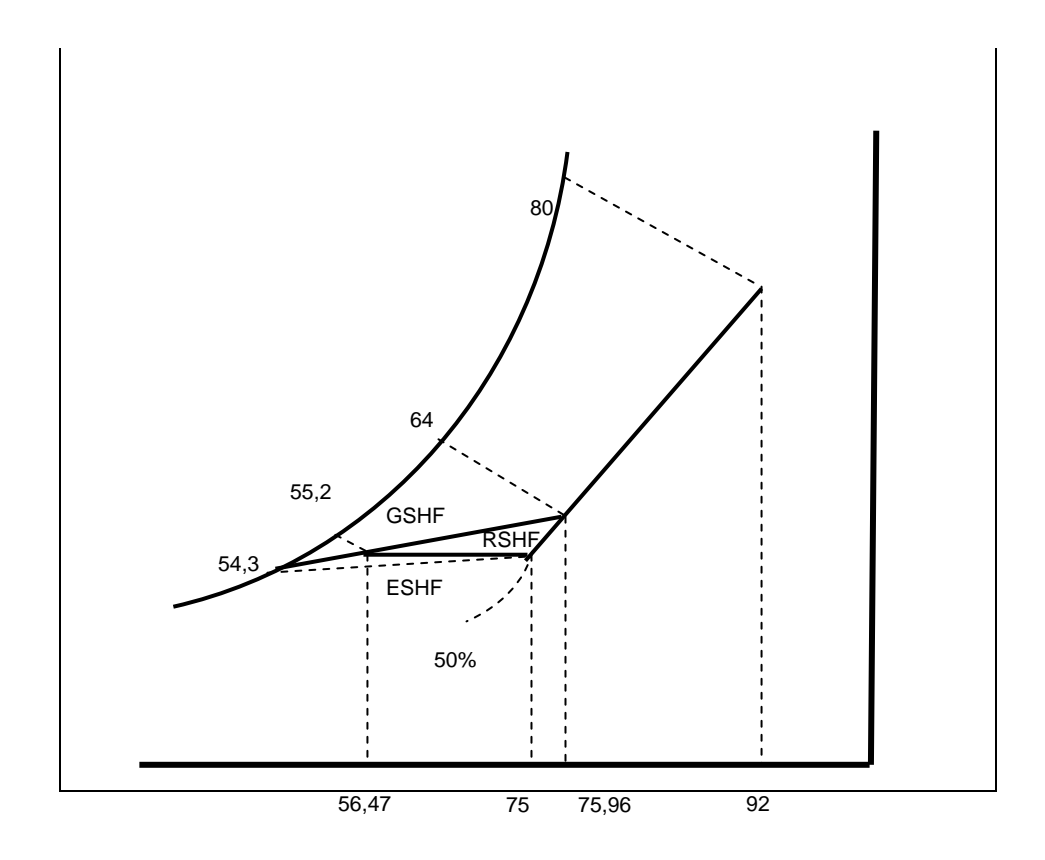


Figura 3.2 Diagrama Psicrométrico Pb UMA 1

TABLA 35 PARÁMETROS DEL SERPENTÍN P1 UMA 2 y 3

Aire Externo	
CFM _{oa}	1338
Factor de Bypass	0,10
Carga Tèrmica por Ventilación Sensible	Btu/Hr 25012
Latente	64735
Carga Solar-Vidrios	0.1100
Vidrio Natural	32446
Vidrio Esmerilado	8489
Carga Solar-Paredes Paredes Exteriores	11880
Carga por Conducción	11000
Vidrio Natural	10952
Vidrio Esmerilado	2556
Piso	35659
Cargas Internas	
Personas	16010
Luces	57543
Factor de Seguridad	10%
RSH Ventilesiàn*BE	193086
Ventilaciòn*BF ERSH	2501 195587
Calor Latente	193301
Personas	13907
Factor de Seguridad	10%
RLH	15298
Ventilaciòn*BF	6474
ERLH	21771
ERTH	217359
Ventilación Sensible*(1-BF)	22510
Latente*(1-BF)	58262
GTH	298130,5
CONDICIONES EXTERIORES	,
Temperatura Bulbo Seco (°F)	92
Temperatura Bulbo Hùmedo (°F)	80
Humedad Relativa (%)	60
Temperatura Punto de Rocío (ºF) Temperatura Bulbo Seco (ºF)	76 75
Temperatura Bulbo Hùmedo (°F)	63
Humedad Relativa (%)	50
Temperatura Punto de Rocío (°F)	55
RSHF	0,93
ESHF	0,90
t _{adp} °F	53,5
CFM_da	9359
Otd	19,10
T _{sa} (°F)	55,90
CFM _{sa}	9359
T _{edb} °F	77,43
T _{Idb} °F	55,89
CONDICIONES PSICROMÊTRICAS	
Entrada Serpentín	GE E
Temperatura Bulbo Hùmedo ºF	65,5
Temperatura Punto de Rocio ⁰F	58,5
Humedad Relativa %	54
Salida Serpentín	
Temperatura Bulbo Hùmedo °F	55
Temperatura Punto de Rocio ºF	54
Humedad Relativa %	92

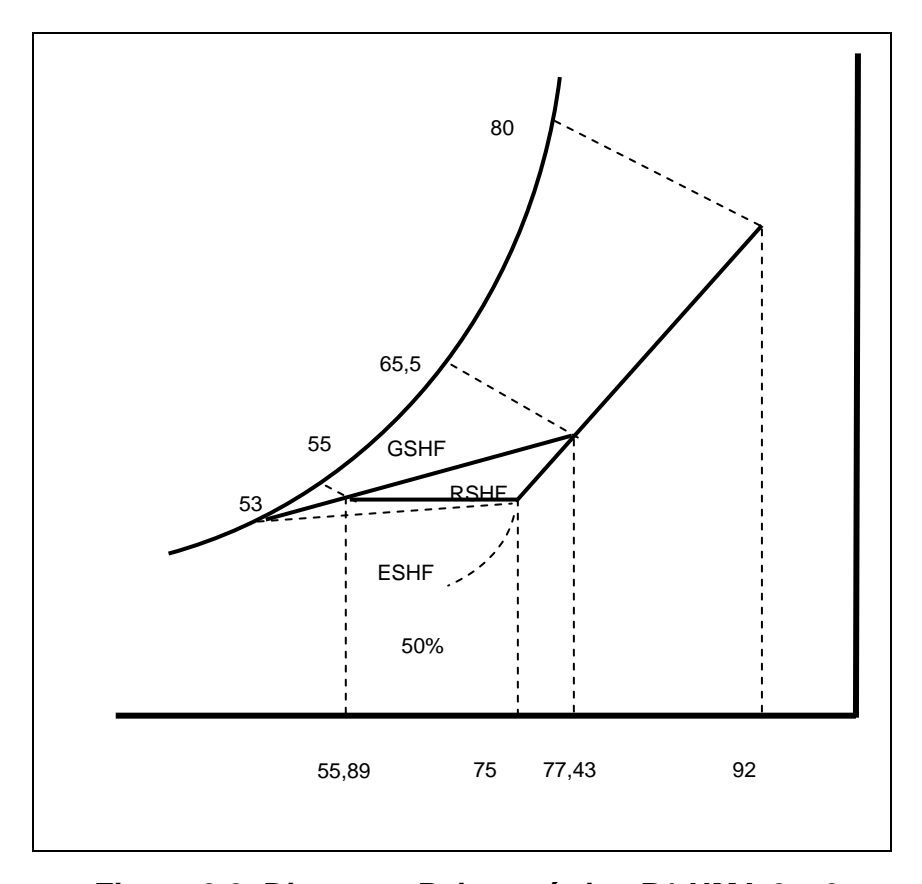


Figura 3.3 Diagrama Psicrométrico P1 UMA 2 y 3

TABLA 36 PARÁMETROS DEL SERPENTÍN P2 UMA 4 y 5

Aire Externo	
CFM _{oa}	2070
Factor de Bypass	0,10
Carga Tèrmica por Ventilación	Btu/Hr
Sensible Latente	38709 100188
Carga Solar-Vidrios	100100
Vidrio Natural	32446
Vidrio Esmerilado	8489
Carga Solar-Paredes	
Paredes Exteriores	11880
Carga por Conducción	10050
Vidrio Natural Vidrio Esmerilado	10952 2556
Piso	33732
Cargas Internas	33732
Personas	19897
Luces	54634
Factor de Seguridad	10%
RSH	192042
Ventilaciòn*BF ERSH	3871
Calor Latente	195913
Personas	17273
Factor de Seguridad	10%
RLH	19000
Ventilaciòn*BF	10019
ERLH	29019
ERTH	224931
Ventilación	0.4000
Sensible*(1-BF)	34838
Latente*(1-BF)	90169 349939
CONDICIONES EXTERIORES	343333
Temperatura Bulbo Seco (°F)	92
Temperatura Bulbo Hùmedo (°F)	80
Humedad Relativa (%)	60
Temperatura Punto de Rocio (ºF)	76
CONDICIONES INTERIORES	
Temperatura Bulbo Seco (°F)	75
Temperatura Bulbo Hùmedo (°F) Humedad Relativa (%)	63 50
Temperatura Punto de Rocio (°F)	55
RSHF	0,91
ESHF	0,87
t _{adp} °F	52,75
CFM _{da}	9059
Otd	19,63
$T_{sa}\left(^{p}F\right)$ CFM_{sa}	55,37 9059
T 0F	78,88
T _{edb} °F T _{ldb} °F	55,36
CONDICIONES PSICROMÊTRICAS	,
Entrada Serpentín	
Temperatura Bulbo Hùmedo ⁰F	67,3
Temperatura Punto de Rocio ⁰F	61,5
Humedad Relativa %	55
Salida Serpentín Temperatura Bulbo Hùmedo °F	EAF
Temperatura Buibo Humedo % Temperatura Punto de Rocio %	54,5 53,8
Humedad Relativa %	93
Transcad Notative 70	30

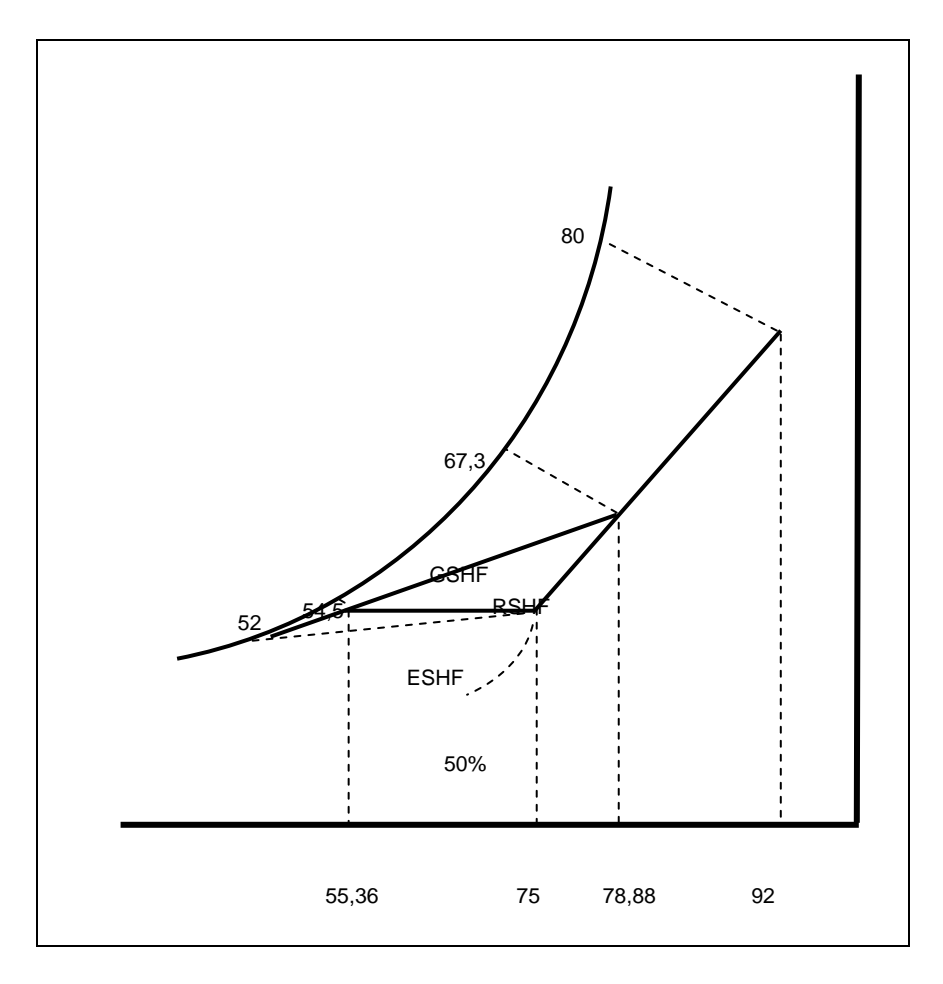


Figura 3.4 Diagrama Psicrométrico P2 UMA 4 y 5

TABLA 37 PARÁMETROS DEL SERPENTÍN P3 UMA 6 y 7

Aire Externo	
CFM _{oa}	1540
Factor de Bypass	0,10
Carga Tèrmica por Ventilación	Btu/Hr
Sensible Latente	28798 74536
Carga Solar-Vidrios	74000
Vidrio Natural	32446
Vidrio Esmerilado	8489
Carga Solar-Paredes	
Paredes Exteriores	11880
Carga por Conducción	
Vidrio Natural	10952
Vidrio Esmerilado	2556
Piso	33732
Cargas Internas	
Personas	17732
Luces	54634 10%
Factor de Seguridad RSH	189661
Ventilaciòn*BF	2880
ERSH	192541
Calor Latente	
Personas	15413
Factor de Seguridad	10%
RLH	16954
Ventilaciòn*BF	7454
ERLH	24407
ERTH Ventilación	216948
Sensible*(1-BF)	25918
Latente*(1-BF)	67082
GTH	309949
CONDICIONES EXTERIORES	000040
Temperatura Bulbo Seco (°F)	92
Temperatura Bulbo Hùmedo (°F)	80
Humedad Relativa (%)	60
Temperatura Punto de Rocìo (°F)	76
CONDICIONES INTERIORES	
Temperatura Bulbo Seco (°F)	75
Temperatura Bulbo Hùmedo (°F)	63
Humedad Relativa (%)	50
Temperatura Punto de Rocio (°F) RSHF	55
ESHF	0,92 0,89
t _{adp} °F	53,25
CFM _{da}	9107
Otd	19,28
T _{sa} (°F)	55,72
CFM _{sa}	9107
T _{edb} oF	77,87
T _{Idb} °F	55,71
CONDICIONES PSICROMÊTRICAS	
Entrada Serpentín Temperatura Bulbo Hùmedo ⁰F	66,3
Temperatura Punto de Rocio ºF	60
Humedad Relativa %	54
Salida Serpentín	<u> </u>
Temperatura Bulbo Hùmedo °F	54,8
Temperatura Punto de Rocio ⁰F	54,2
Humedad Relativa %	94

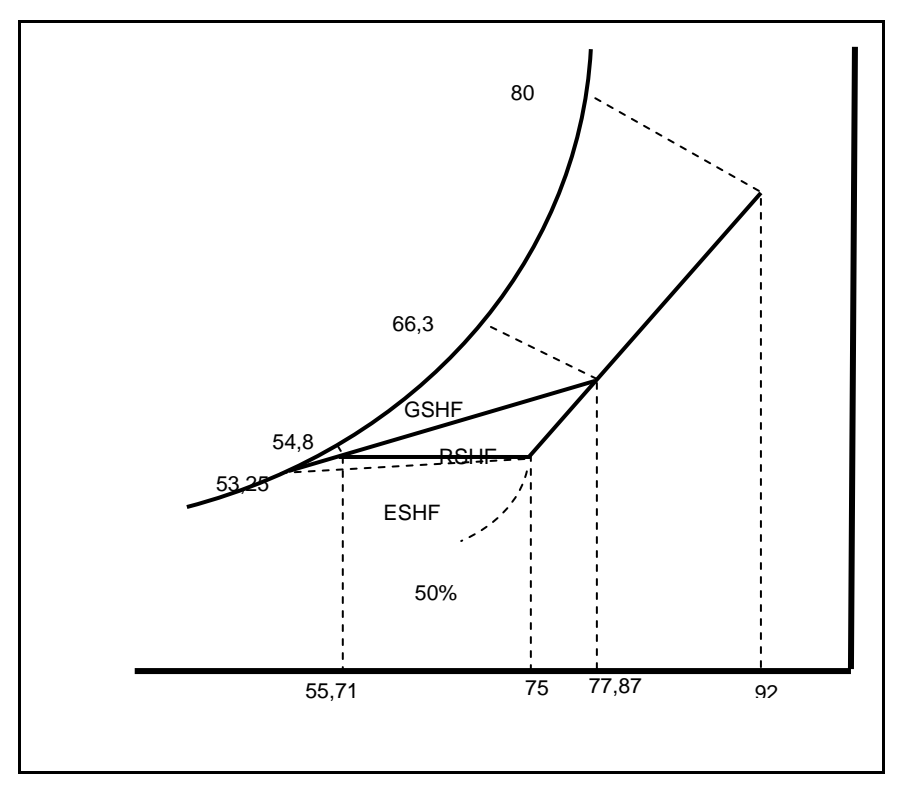


Figura 3.5 Diagrama Psicrométrico P3 UMA 6 y 7

TABLA 38 PARÁMETROS DEL SERPENTÍN P4 OFICINAS UMA 8

Aire Externo	
CFM _{oa}	1450
Factor de Bypass	0,10
Carga Tèrmica por Ventilación	Btu/Hr
Sensible Latente	27115 70180
Carga Solar-Vidrios	70180
Vidrio Natural	44127
Vidrio Esmerilado	11544
Carga Solar-Paredes	
Paredes Exteriores	16157
Carga por Conducción	
Vidrio Natural	14894
Vidrio Esmerilado	3475
Piso Cargas Internas	45876
Personas	16843
Luces	73765
Factor de Seguridad	10%
RSH	249349
Ventilaciòn*BF	2712
ERSH	252060
Calor Latente	44000
Personas Factor de Seguridad	14689 10%
RLH	16158
Ventilaciòn*BF	7018
ERLH	23176
ERTH	275236
Ventilaciòn	
Sensible*(1-BF)	24404
Latente*(1-BF) GTH	63162
	362802
CONDICIONES EXTERIORES	92
Temperatura Bulbo Seco (°F) Temperatura Bulbo Hùmedo (°F)	80
Humedad Relativa (%)	60
Temperatura Punto de Rocio (°F)	76
CONDICIONES INTERIORES	
Temperatura Bulbo Seco (°F)	75
Temperatura Bulbo Hùmedo (°F)	63
Humedad Relativa (%)	50
Temperatura Punto de Rocìo (⁰F) RSHF	55 0,94
ESHF	0,94
t _{adp} °F	54
CFM _{da}	12349
Otd	18,70
$T_{sa}(^{0}F)$	56,30
CFM _{sa}	12349
T _{edb} °F T _{ldb} °F	77,00 56,30
CONDICIONES PSICROMÊTRICAS	30,30
Entrada Serpentín	
Temperatura Bulbo Hùmedo ⁰F	65
Temperatura Punto de Rocio ⁰F	58,2
Humedad Relativa %	53
Salida Serpentín	
Temperatura Bulbo Hùmedo ºF	55,1
Temperatura Punto de Rocìo °F Humedad Relativa %	54,1 92
Humbuau Nelativa 70	92

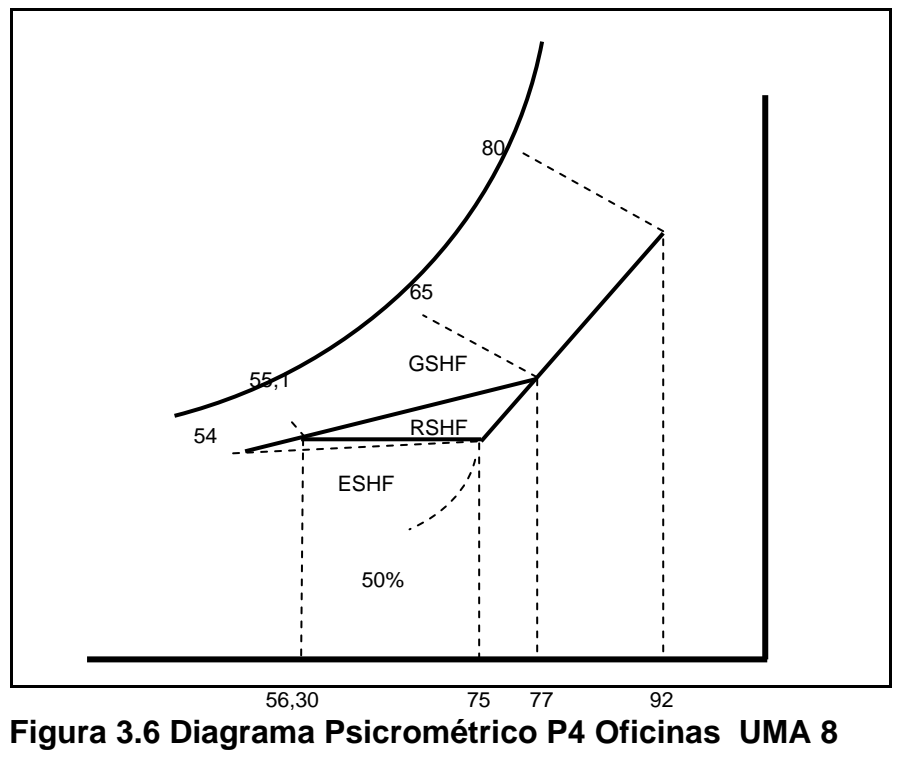


TABLA 39 PARÁMETROS DEL SERPENTÍN P4 AUDITORIO UMA 9

FR. Tentro de Bypass Carga Tèrmica por Ventilación Btul/Hr	Aire Externo	
Carga Tèrmica por Ventilación Btu/Hr		
Sensible 14025		
Latente		
Vidrio Natural		
Vidrio Esmerilado		30300
Carga Solar-Paredes 2138		5840
Paredes Exteriores	Vidrio Esmerilado	1528
Carga por Conducción 1971		
Vidrio Natural		2138
Victio Esmerilado Piso Piso Piso Piso Personas 23000 11510 Piso Personas 23000 11510 Piso Pi		1071
Piso		
Personas		
Luces	Cargas Internas	
Factor de Seguridad 10% RSH 57772 10% RSH 57772 10% RSH 59174 1000 10% RSH 59174 1000 10% RSH 1000 10% RSH 1000 10% RSH 1000 10% RLH 1000 10% RLH 1000 10% RLH 10% RSH 168300 168300 168300 168300 168300 168300 168300 168300 168300 168300 168300 168300 168300 168300		
SSH		
Ventilación*BF		
Calor Latente Personas 12000 Factor de Seguridad 10% RLH 13200 Ventilación*BF 3630 ERLH 76004 Sensible*(1-BF) 12623 Latente*(1-BF) 32670 GTH CONDICIONES EXTERIORES Temperatura Bulbo Seco (9F) 92 Temperatura Bulbo Hůmedo (9F) 80 Humedad Relativa (%) 60 Temperatura Bulbo Seco (9F) 76 Temperatura Bulbo Hůmedo (9F) 63 Humedad Relativa (%) 50 Temperatura Bulbo Hůmedo (9F) 63 Humedad Relativa (%) 50 Temperatura Punto de Rocio (9F) 55 RSHF 0,81 ESHIF 0,78 42d5 0td Ord 21,97 7 ₅₀ 50 T ₅₀ 50 CFM _{sa} 2435 Otd 21,97 7 ₅₀ 53,02 CONDICIONES PSICROMĒTRICAS		
Personas	ERSH	59174
Factor de Seguridad 10% RLH 13200		
RLH		
Ventilación*BF 3630 ERLH 16830 ERTH 76004 Ventilación Sensible*(1-BF) 12623 Latente*(1-BF) 32670 GTH 121297 CONDICIONES EXTERIORES Temperatura Bulbo Seco (°F) 92 Temperatura Bulbo Húmedo (°F) 80 Humedad Relativa (%) 60 Temperatura Bulbo Seco (°F) 75 Temperatura Bulbo Húmedo (°F) 63 Humedad Relativa (%) 50 Temperatura Punto de Rocio (°F) 55 RSHF 0,78 Latenta (°F) 50 CPM _{3a} 2435 COND COND 53,03 CPM _{3a} 2435 Temperatura Bulbo Húmedo °F 53,02 CONDICIONES PSICROMÉTRICAS Entrada serpentín Temperatura Bulbo Húmedo °F 63 Humedad Relativa % 56		

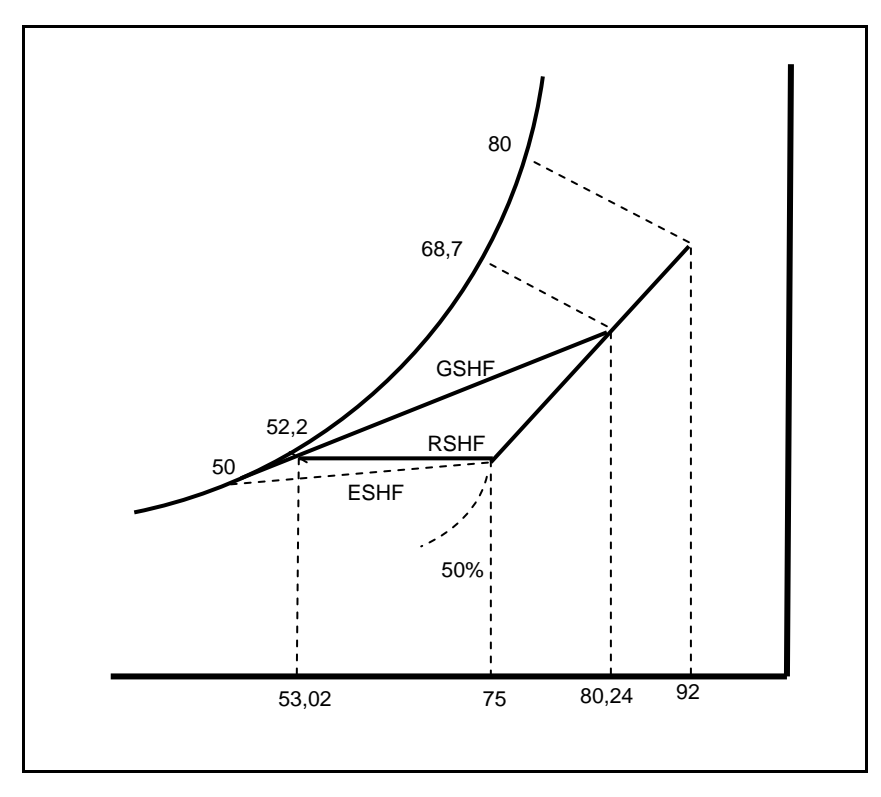


Figura 3.7 Diagrama Psicrométrico P4 Auditorio UMA 9

TABLA 40 PARÁMETROS DEL SERPENTÍN P4 AULAS UMA 10

Aire Externo	
CFM _{oa}	825
Factor de Bypass	0,10
Carga Tèrmica por Ventilación	Btu/Hr
Sensible	15428
Latente	39930
Carga Solar-Vidrios Vidrio Natural	7707
Vidrio Natural Vidrio Esmerilado	7787 2037
Carga Solar-Paredes	2031
Paredes Exteriores	2851
Carga por Conducción	2001
Vidrio Natural	2628
Vidrio Esmerilado	613
Piso	8096
Cargas Internas	
Personas	25300
Luces	16168
Factor de Seguridad	10%
RSH Ventilaciòn*BF	72029 1543
ERSH	73572
Calor Latente	13312
Personas	13200
Factor de Seguridad	10%
RLH	14520
Ventilaciòn*BF	3993
ERLH	18513
ERTH	92085
Ventilación	
Sensible*(1-BF)	13885
Latente*(1-BF)	35937
GTH CONDICIONES EXTERIORES	141907
CONDICIONES EXTERIORES	00
Temperatura Bulbo Seco (°F) Temperatura Bulbo Hùmedo (°F)	92 80
Humedad Relativa (%)	60
Temperatura Punto de Rocio (°F)	76
CONDICIONES INTERIORES	10
Temperatura Bulbo Seco (°F)	75
Temperatura Bulbo Hùmedo (°F)	63
Humedad Relativa (%)	50
Temperatura Punto de Rocio (ºF)	55
RSHF	0,83
ESHF	0,80
t _{adp} °F	50,66
CFM _{da}	3110
Otd T _{sa} (°F)	21,45 53,55
CFM _{sa}	3110
T _{edb} °F	79,51
T _{ldb} °F	53,55
CONDICIONES PSICROMÊTRICAS	13,00
Entrada serpentín	
Temperatura Bulbo Hùmedo ºF	67,6
Temperatura Punto de Rocio ºF	62
Humedad Relativa %	55
Salida Serpentín	
Temperatura Bulbo Hùmedo °F	52,5
Temperatura Punto de Rocio ºF	52
Humedad Relativa %	94

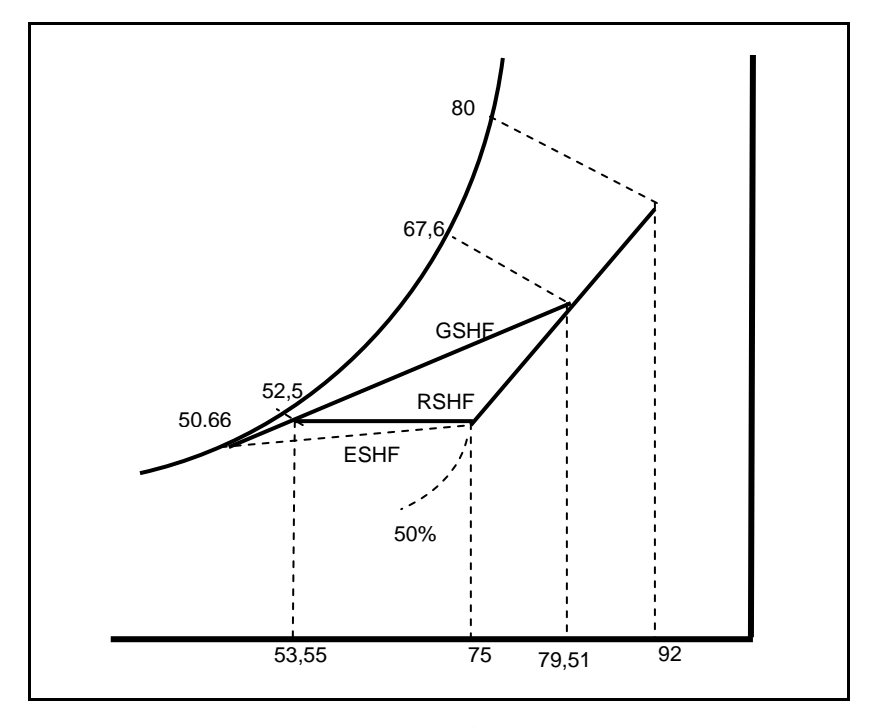


Figura 3.8 Diagrama Psicrométrico P4 Aulas UMA 10

TABLA 41 PARÁMETROS DEL SERPENTÍN P4 COMEDOR UMA 11

CONILDON ONA 11	
Aire Externo	
CFM _{oa}	1392
Factor de Bypass	0,05
Carga Tèrmica por Ventilación	Btu/Hr
Sensible	26030
Latente	67373
Carga Solar-Vidrios	7400
Vidrio Natural	7138
Vidrio Esmerilado	1867
Carga Solar-Paredes	2614
Paredes Exteriores	2614
Carga por Conducción	0.400
Vidrio Natural Vidrio Esmerilado	2409
Piso	562 7421
	7421
Cargas Internas	22400
Personas	32480 14942
Luces Factor de Seguridad	10%
Factor de Seguridad RSH	
Ventilaciòn*BF	76377
ERSH	1302 77679
	11019
Calor Latente	24200
Personas Factor de Seguridad	31320 10%
RLH	34452
Ventilaciòn*BF	3369
ERLH	37821
ERTH	115499
Ventilación	113499
	24720
Sensible*(1-BF)	24729
Latente*(1-BF)	64004
	204232
CONDICIONES EXTERIORES	
Temperatura Bulbo Seco (°F)	92
Temperatura Bulbo Hùmedo (°F)	80
Humedad Relativa (%)	60
Temperatura Punto de Rocio (°F) CONDICIONES INTERIORES	76
	75
Temperatura Bulbo Seco (°F)	75
Temperatura Bulbo Hùmedo (°F)	63
Humedad Relativa (%)	50
Temperatura Punto de Rocio (°F)	55
RSHF	0,69
ESHF	0,67
t _{adp} °F	41,33
ESHF Seleccionado	0,74
t _{adp} ºF Recalentamiento	20065
	29965
CFM _{da}	3886
Otd	18,20
T _{sa} (°F)	56,80
CFM _{sa}	3886 81,09
T _{edb} °F	
T _{idb} °F	49,65
CONDICIONES PSICROMÊTRICAS Entrada Serpentin	
Entrada Serpentin Temperatura Bulbo Hùmedo °F	60 F
	69,5
Temperatura Punto de Rocìo ⁰F Humedad Relativa %	63,9
	56
Salida Serpentìn Temperatura Bulbo Hùmedo °F	40.4
	49,4
Temperatura Punto de Rocio ºF	49
Humedad Relativa %	98
Salida Suministro	50.0
Temperatura Bulbo Hùmedo °F	52,2
Temperatura Punto de Rocio ⁰F	49
Humedad Relativa %	75

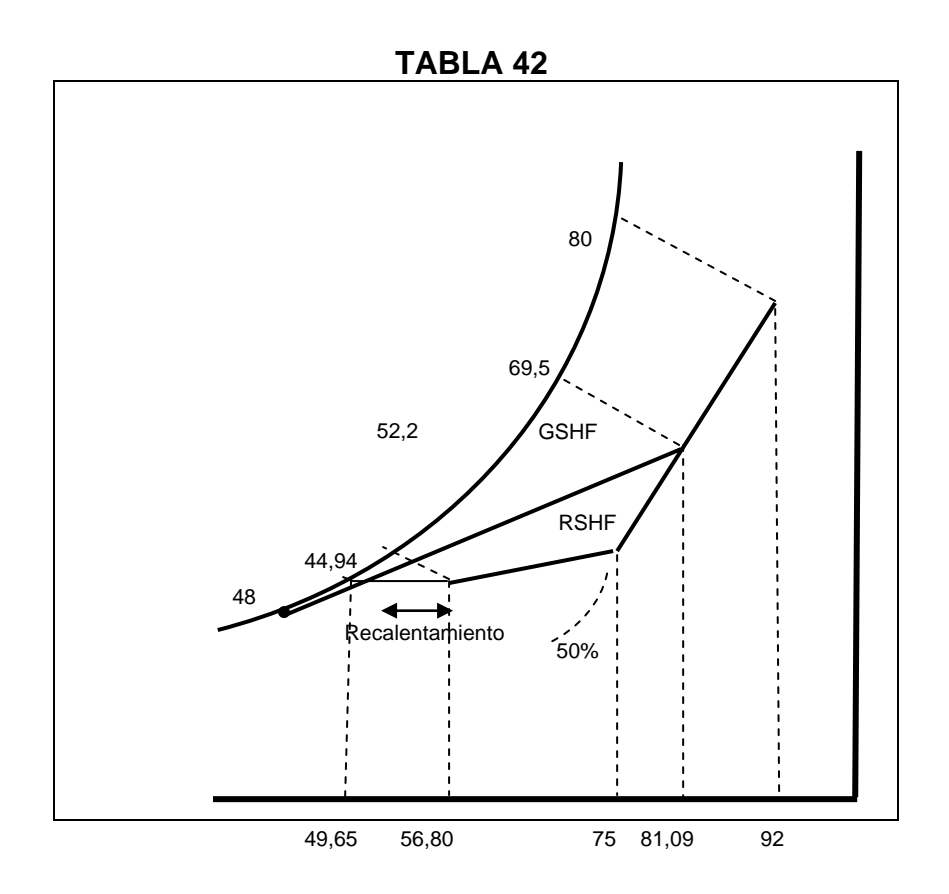


Figura 3.9 Diagrama Psicrométrico P4 Comedor UMA 11

PARÁMETROS DEL SERPENTÍN P5 UMA 12 y 13

Aire Externo	
CFM _{oa}	1088
Factor de Bypass	0,10
Carga Tèrmica por Ventilación	Btu/Hr
Sensible	20337
Latente Corre Solor Vidrice	52635
Carga Solar-Vidrios Vidrio Natural	32446
Vidrio Esmerilado	8489
Carga Solar-Paredes y Azotea	0.100
Paredes Exteriores	11880
Azotea	48707
Carga por Conducción	
Vidrio Natural	10952
Vidrio Esmerilado	2556
Piso Carres Internas	31369
Cargas Internas Personas	11760
Luces	51064
Factor de Seguridad	10%
RSH	230144
Ventilaciòn*BF	2034
ERSH	232177
Calor Latente	
Personas	10219
Factor de Seguridad	10%
RLH Ventilaciòn*BF	11241 5264
ERLH	16504
ERTH	248682
Ventilación	240002
Sensible*(1-BF)	18303
Latente*(1-BF)	47372
GTH	314356
CONDICIONES EXTERIORES	
Temperatura Bulbo Seco (°F)	92
Temperatura Bulbo Hùmedo (°F)	80 60
Humedad Relativa (%) Temperatura Punto de Rocìo (°F)	76
CONDICIONES INTERIORES	70
Temperatura Bulbo Seco (°F)	75
Temperatura Bulbo Hùmedo (°F)	63
Humedad Relativa (%)	50
Temperatura Punto de Rocio (ºF)	55
RSHF	0,95
ESHF	0,93
t _{adp} °F	54,15 11456
CFM _{da}	18.60
T _{sa} (°F)	56,40
CFM _{sa}	11456
T _{edb} oF	76,61
T _{Idb} °F	56,40
CONDICIONES PSICROMÊTRICAS	
Entrada Serpentin	
Temperatura Bulbo Hùmedo °F	64,3
Temperatura Punto de Rocio ºF	57,5
Humedad Relativa %	52
Salida Serpentin Temperatura Bulbo Hùmedo °F	55,1
Temperatura Punto de Rocio °F	54,5
Humedad Relativa %	92
	. 32

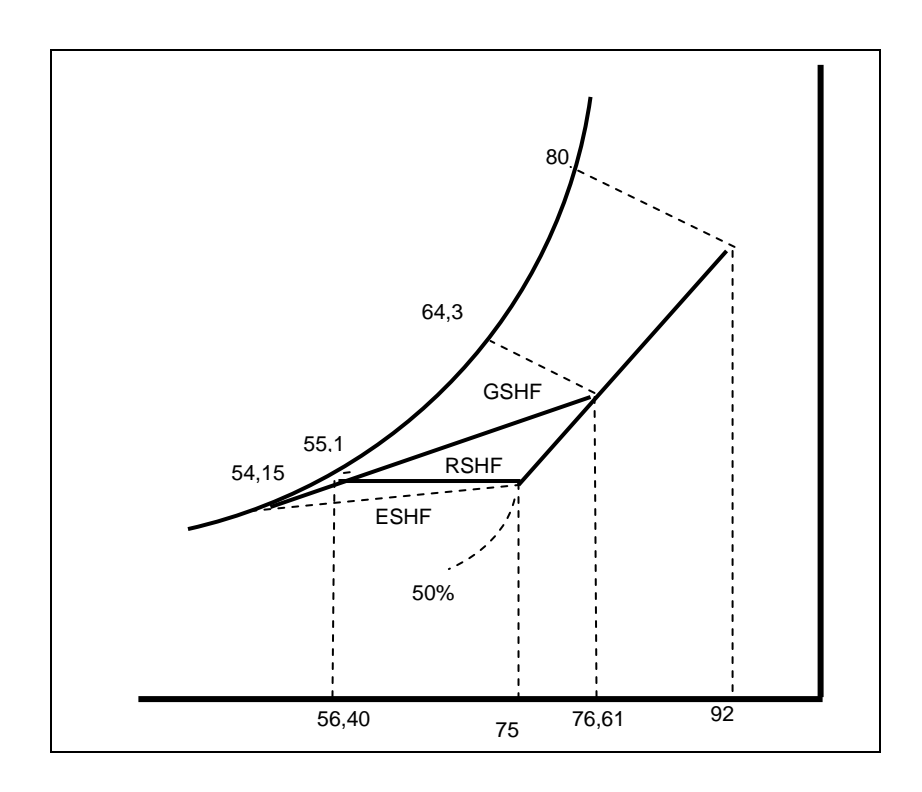


Figura 3.10 Diagrama Psicrométrico P5 UMA 12 y 13

CAPÍTULO 4

4. SISTEMA DE AGUA DE ENFRIAMIENTO

Para climatizar cada uno de los espacios es necesario quitar el calor del aire y añadirlo a un medio que esté a una temperatura inferior; en el Sistema propuesto, el medio de transferencia es el agua, que debe fluir a través de los serpentines de la UMA cuyos parámetros los hemos calculado. En este Capítulo definiremos los componentes del Sistema de Distribución del Agua de Enfriamiento que nos permite realizar el proceso de transferencia de Calor de acuerdo a las condiciones del Diseño.

4.1 Consideraciones Generales del Sistema

El objetivo del Sistema es distribuir el agua de enfriamiento a los serpentines de las UMAS para extraer el calor del aire. El agua retorna a la UEA y el calor es disipado al exterior por medio de condensadores. Para su efecto, es necesario conectar todos los puntos del Sistema por medio de una red de tuberías técnicamente

dimensionadas que suministren un determinado flujo de agua, favoreciendo las condiciones de confort. Obviamente, se necesita calcular los parámetros que permiten seleccionar la bomba, e implementar los accesorios para el funcionamiento óptimo del Sistema.

4.2 Distribución del Agua de Enfriamiento

El Sistema de Distribución debe ser instalado de acuerdo al espacio disponible; por lo tanto, el agua de enfriamiento será distribuida desde la casa de máquinas ubicada en la terraza por medio de las tuberías de acero que alimentarán las UMAS de los respectivos pisos.

El Sistema esta formado básicamente por dos circuitos. El Circuito Primario hará circular un volumen de agua constante porque el principio de funcionamiento de la UEA no admite un cambio en el flujo. El Circuito Secundario tomará del Circuito Primario el volumen de agua que el edificio necesite y lo distribuirá por todo el Sistema .

El Sistema que implementaremos es de Recirculación porque el agua es distribuida y retorna a la casa de máquinas repitiendo el ciclo continuamente, a diferencia de los sistemas en que el agua pasa una sola vez y es descargada. La Recirculación del agua es del Tipo

Cerrado porque el Sistema no tiene contacto con la atmósfera excepto en el tanque de expansión que sería el único contacto con ella, punto que realmente es insignificante.

4.3 Proceso de Diseño del Sistema

Diseñar el Sistema de Agua de Enfriamiento significa dimensionar la tubería de tal forma que suministre la cantidad de agua requerida a una velocidad seleccionada, considerando la carga de fricción que la bomba debe ser capaz de vencer. Dicha carga dependerá de la longitud de la tubería y de la rugosidad de su pared interior.

Por lo tanto, desarrollaremos el procedimiento que nos permite relacionar las variables de diseño.

Flujo de Agua

Primero seleccionamos las temperaturas de entrada y de salida del agua según las recomendaciones de ASHRAE, 44°F y 54°F respectivamente.

La cantidad de agua de enfriamiento que se necesita para alimentar cada UMA se la calcula a partir de la Carga Térmica utilizando la Ecuación 4.1:

$$M = \frac{Q}{C_p \, \P_2 - T_1} \qquad (4.1)$$

donde:

M = Flujo másico en Lb / hr.

Q = Capacidad de Enfriamiento de la UMA, Btu / hr.

C_p = Calor Específico del agua, 1 BTU / °F Lb.

T₂ = Temperatura de Salida del agua en °F.

 T_1 = Temperatura de Entrada del agua en °F.

Para expresar el flujo másico en GPM utilizamos la Ecuación 4.2 :

$$GPM = \frac{7,48 \times M \times V}{60} \qquad (4.2)$$

donde:

M = Flujo másico en Lb / hr.

V = Volumen Específico del agua, 0.01603 ft³ / Lb.

La Tabla 43 muestra los flujos de agua en GPM para cada manejadora y los enfriadores, en función de la Carga Térmica.

Velocidad

Las velocidades recomendadas para un Sistema de Agua de Enfriamiento dependen de dos condiciones:

TABLA 43
FLUJO DE AGUA
PARA UMAS Y ENFRIADORES

Descripción	Q (Btu/hr)	M (Lb/Hr)	GPM
UEA 1	1620.000	162.000	324
UEA 2	1620.000	162.000	324
UMA 1	126.971	12.697	23
UMA 2	307.105	30.710	55
UMA 3	307.105	30.710	55
UMA 4	363.829	36.383	65
UMA 5	363.829	36.383	65
UMA 6	320.282	32.028	57
UMA 7	320.282	32.028	57
UMA 8	372.530	37.253	67
UMA 9	126.329	12.633	23
UMA 10	147.443	14.744	26
UMA 11	213.572	21.357	38
UMA 12	321.653	32.165	58
UMA 13	321.653	32.165	58

- El servicio para el cual el sistema es usado.
- Los efectos de la erosión.

En el Apéndice A.25 se muestra los rangos de velocidad recomendados (FPS) para diferentes tipos de servicios. El diseño del Sistema está limitado por la velocidad máxima permisible. Los valores de máxima velocidad están basados en niveles de sonido permitidos para el agua en movimiento.

Los efectos de la erosión deben ser considerados porque podrían causar el deterioro completo de la tubería, particularmente sobre el fondo de la superficie y en los codos. Estos efectos se manifiestan en

función del tiempo y dependen de la velocidad del agua y de los materiales suspendidos. Por esta razón, el Apéndice A.26 nos muestra las velocidades máximas (FPS) del agua para minimizar los efectos de la erosión, basados en la experiencia y en pruebas sobre equipos cuyo funcionamiento es óptimo.

Longitud de la Tubería

La longitud de cada tramo de la tubería de hierro la definimos a partir de las distancias físicas existentes entre la casa de máquinas y la posición de cada una de las UMAS. Esta información la obtenemos de los planos arquitectónicos y por supuesto, las condiciones del sitio deben ser consideradas para garantizar el recorrido más corto posible y una instalación sin problemas de espacio.

Mientras las condiciones lo permitan, se recomienda evitar los cambios de dirección continuos porque incrementan la cantidad de material y por ende los costos de inversión.

Pérdidas de Presión por Fricción

En el proceso de diseño e implementación del Sistema es indispensable considerar las pérdidas de presión por rozamiento. La pérdida de presión total está formada por las distintas pérdidas que se producen en el Sistema, tales como en la descarga de la bomba,

la tubería y los diferentes acoplamientos. La caída total de presión del Sistema debe ser menor que la presión de la línea principal.

Las pérdidas de presión deben ser evaluadas y correctamente calculadas para satisfacer los requerimientos de distribución del Edificio.

Pérdidas Mayores

Estas pérdidas se deben al rozamiento constante del agua con las paredes interiores de la tubería y se denominan "Mayores" porque son las que influyen con mayor peso sobre la carga o cabezal de la bomba; la pérdida por rozamiento en la tubería del Sistema depende de la velocidad del agua, la rugosidad de la superficie interior, la longitud y obviamente, del diámetro.

El Apéndice A.27 muestra un gráfico que es utilizado para evaluar las pérdidas por fricción para tubería de acero y sistemas de recirculación cerrados; nos indica la velocidad del fluido, el caudal, el diámetro de la tubería y las pérdidas en pies de agua por cada 100 pies de longitud equivalente de tubería.

Pérdidas Menores

Son las pérdidas que se producen por las longitudes equivalentes adicionales de tubería debidas a acoplamientos, válvulas, codos y otros elementos intercalados en el Sistema.

En los Apéndices A.28 y A.29 se muestran las pérdidas por válvulas y acoplamientos respectivamente, en longitudes equivalentes de tubería.

Cabezal de la Bomba

Los efectos de la fricción en el Sistema pueden ser evaluados introduciendo el concepto de cabezal de la bomba; se define como la Máxima Pérdida de Presión en la tubería y se calcula utilizando la Ecuación 4.3:

$$H = \frac{f \times L_{equiv}}{100} \qquad (4.3)$$

donde:

f = Fricción, ft H_20 por cada 100 ft de tubería.

L_{equiv} = Longitud Equivalente de tubería, incluyen los respectivos valores proporcionados en las tablas para los acoplamientos.

125

Para el diseño del Sistema , se requiere calcular el Cabezal Máximo

Hf debido a las pérdidas de cada tramo que conforman el recorrido

de tubería más largo.

Potencia requerida

Para calcular la Potencia requerida por la bomba (Hp) utilizamos la

Ecuación 4.4:

$$Hp = \frac{GPM \times Hf}{\eta \times 3960} \qquad (4.4)$$

donde:

GPM= Máximo Caudal del circuito.

Hf = Máximo Cabezal, ft.

 η = Eficiencia de la bomba.

4.4 Procedimiento de Selección del Diámetro de la Tubería

El Sistema de Recirculación se dimensiona para suministrar la

cantidad de agua necesaria de acuerdo a las condiciones

relacionadas con la velocidad y la fricción.

Evaluando las condiciones del sitio para determinar el recorrido de la

tubería y su longitud, con los valores de caudal y velocidad, el gráfico

mostrado en el Apéndice A.27 nos permite seleccionar el diámetro de la tubería.

Análisis del Circuito Primario

El Circuito Primario esta formado por 3 bombas, 2 en funcionamiento y 1 de reserva; está interconectado por medio de tuberías de acero y su recorrido se muestra esquemáticamente en la Figura 4.1.

Los tramos y las longitudes se han definido de acuerdo al espacio disponible .

Considerando un caudal máximo de 648 GPM, una eficiencia de la bomba del 60%, las velocidades recomendadas y diseñando una Hoja Electrónica de Excel con su respectiva formulación de acuerdo a las Ecuaciones 4.3 y 4.4, la Tabla 44 nos muestra los resultados del Proceso de Selección del Diámetro de la Tubería para cada tramo del circuito, el Máximo Cabezal y la Potencia requerida por la bomba.

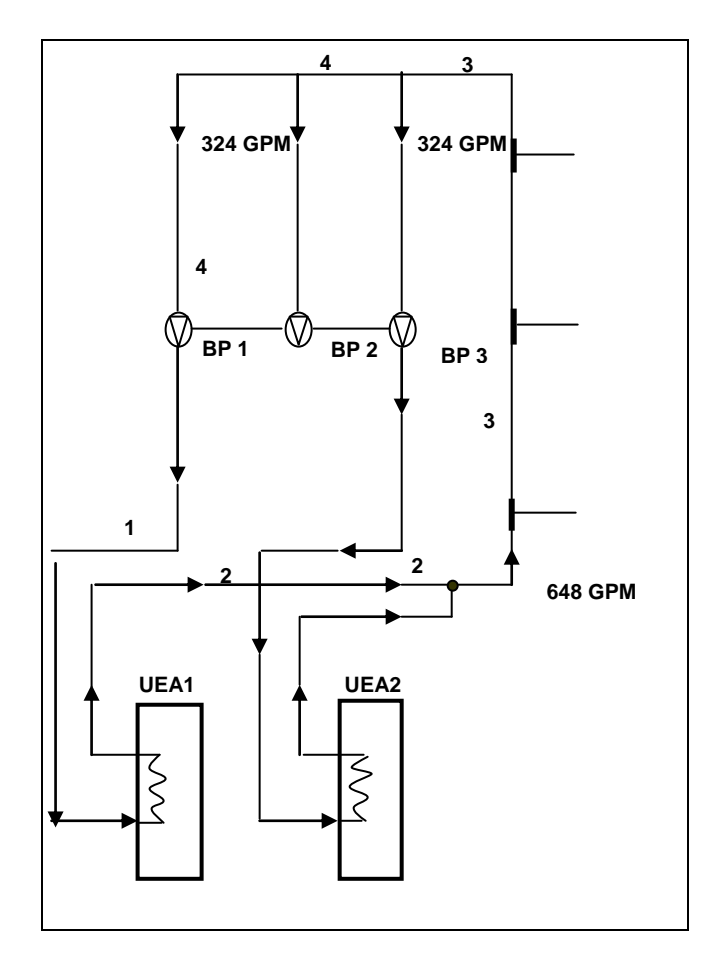


Figura 4.1 Componentes del Circuito Primario

TABLA 44
ANÁLISIS DEL CIRCUITO PRIMARIO – DIMENSIONAMIENTO
MÁXIMO CABEZAL – POTENCIA REQUERIDA

	PARA	MET	ROS		(IDAD)	LO	NGI	TU	D EQI	JIVALE	ENTE	PERDIDAS			
	DEL DISEÑO ACOPLES VALVULAS						VULAS	ACOPLES VALVULAS						f	Cabezal		
RAMO	GPM	FPS	D (in)	L (ft)	Codo	Т	U	Trip	Marip	Codo	Т	U	Trip	Marip	Total	ft H2O/100 ft	Н
1	324	6	5	34,59	4		1	1	2	16		10	150	115	488,59	2,4	11,73
S _{erp}																	10,00
2	324	7	5	32,08	3				1	16				115	195,08	3,6	7,02
3	648	7	6	19,01	2	3				20	13				98,01	2,7	1,32
4	324	7	5	13,44	1	2			1	16	10			115	164,44	3,6	5,92

Análisis del Circuito Secundario

El Circuito Secundario esta formado por 2 bombas, 1 en funcionamiento y 1 de reserva; está interconectado por medio de tuberías de acero y su recorrido se muestra esquemáticamente en la Figura 4.2.

Los tramos y las longitudes se han definido de acuerdo al espacio disponible. La distribución y la cantidad de agua se han calculado de acuerdo al Principio de Conservación de la Masa y a las necesidades térmicas de cada piso.

Considerando un caudal máximo de 648 GPM, una eficiencia de la bomba del 75%, las velocidades recomendadas y diseñando una Hoja Electrónica de Excel con su respectiva formulación, Ecuaciones 4.3 y 4.4, la Tabla 45 nos muestra los resultados del Proceso de Selección del Diámetro de la Tubería para cada tramo que conforma el recorrido más largo del circuito (A B C D E F), el Máximo Cabezal y la Potencia requerida por la bomba.

La Tabla 46 nos muestra los resultados del Proceso de Selección del Diámetro de la Tubería de Descarga para cada UMA en los respectivos pisos.

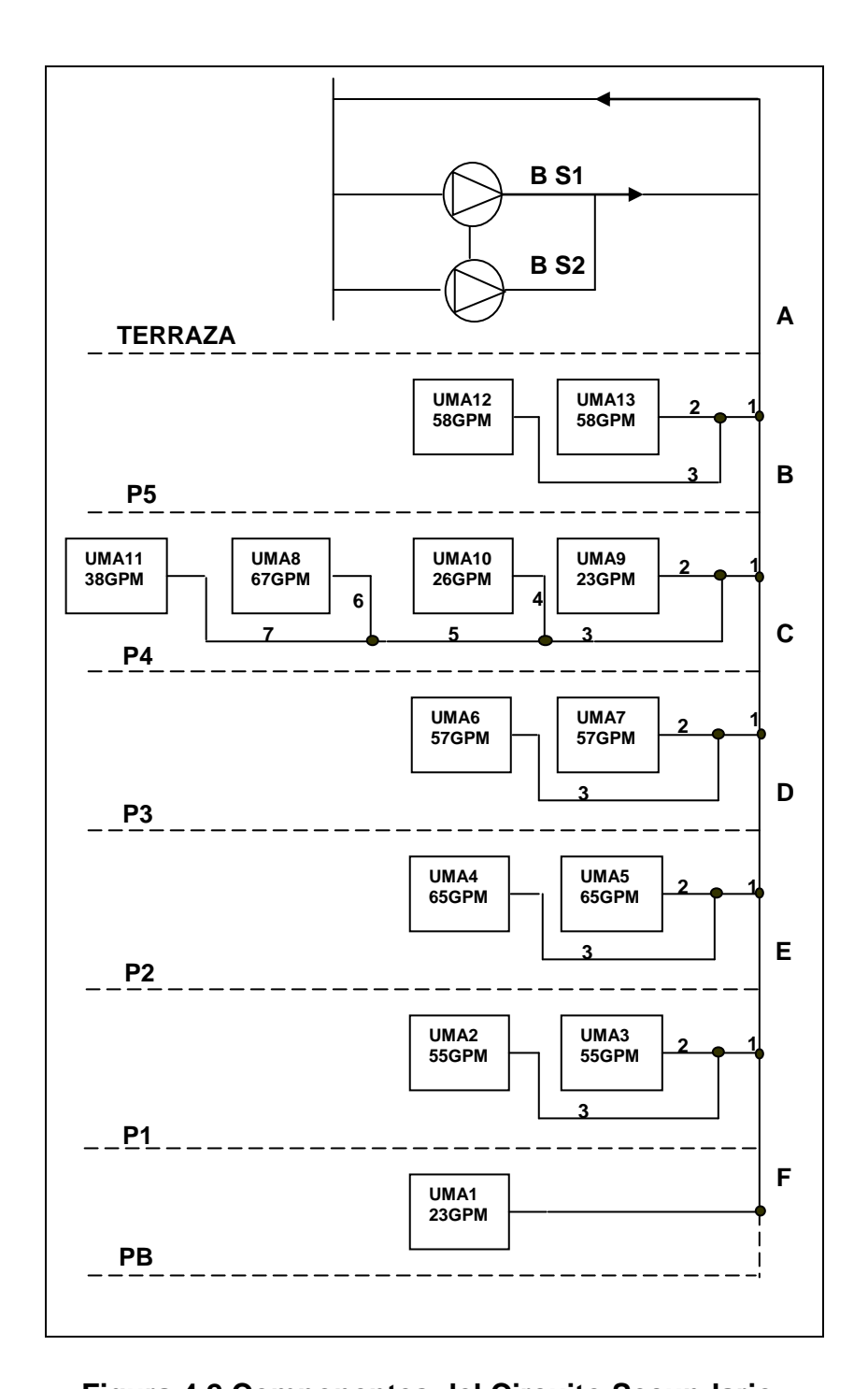


Figura 4.2 Componentes del Circuito Secundario

TABLA 45
ANÁLISIS DEL CIRCUITO SECUNDARIO - DIMENSIONAMIENTO
MÁXIMO CABEZAL - POTENCIA REQUERIDA

	PAR	AMET	ROS		CANTIDAD										L	ONGIT	UD EQU	IVALE	NTE			PERDID	AS
	DE	L DISE	ÑΟ		ACO	PLE	s	VALVULAS				ACC	PLES			VA	LVUL	AS			f	Cabezal	
TRAMO	GPM	FPS	D (in)	L (ft)	Codos	Т	U	Trip	Marip	Reg	Glb	2 V	Codos	Т	U	Trip	Marip	Reg	Glb	2 V	Total	ft H2O/100 ft	н
А	648	7	8	37,78	2	2		1	1				20	13		150	115				368,78	2,5	9,22
В	532	7	6	28,86		2								18							64,86	2,7	1,75
С	378	7	5	28,86		2								14							56,86	3,5	1,99
D	264	7	5	28,86		2								8							45,26	4,5	2,04
Е	134	7	3	34,12	2	2							8	13							75,12	6,5	4,88
F	24	7	1 1/4	315,52	18	2	10			1	1	1	3	8	2			2	38	15	467,42	17,00	79,46

Hf =	99,34
Hp =	22

TABLA 46
DIMENSIONAMIENTO DE LAS
TUBERÍAS DE DESCARGA DE UMAS

TRAMO	GPM	FPS	D (in)
	Р	1	
1	110	6	3
3	55	4	2 1/2 2 1/2
3	55	4	2 1/2
	P	2	
1	130	6	3 1/2
2	65	4	3
3	65	4	3
	P	3	
1	114	6	3
2	57	4	2 1/2
3	57	4	2 1/2
	P	4	
1	154	6	3 1/2
2	23	4	2
3	131	6	3 1/2
4	26	4	2 3 1/2 2 3 3 3 2
5	105	6	3
6	67	4	3
7	38	4	2
	P	5	
1	116	6	3
3	58	4	2 1/2
3	58	4	2 1/2

4.5 Accesorios del Sistema

Para el funcionamiento óptimo del Circuito Primario y Secundario se necesita implementar ciertos accesorios que permiten controlar los parámetros del Sistema, como una medida preventiva. El tipo de accesorio y la cantidad dependen del recorrido de la tubería y difieren dependiendo de los requerimientos técnicos.

Entre los accesorios del Sistema podemos mencionar los eliminadores de vibración, medidores de presión y temperatura, válvulas, tanque de expansión, separador de aire, etc. En el Plano 10, se muestra el diagrama esquemático del Sistema de Distribución de Agua.

CAPÍTULO 5

5. SISTEMA DE DISTRIBUCIÓN DE AIRE

Los procedimientos anteriores nos permiten obtener un aire completamente acondicionado de acuerdo a las necesidades térmicas del Edificio; un aire cuyas condiciones de temperatura y humedad brindará a las personas un clima confortable.

En este Capítulo se describe la metodología que nos permite distribuirlo a los diferentes ambientes de una forma homogénea a través de un Sistema de Ductos.

5.1 Consideraciones Generales

El objetivo del Sistema de Distribución es entregar una cantidad específica de aire a cada uno de los difusores del ejercicio acondicionado. Para su efecto, necesitaremos considerar ciertos parámetros como la velocidad, la pérdida de presión por fricción, las condiciones geométricas del sitio, el nivel del ruido entre otros; los

conceptos teóricos son aplicados de acuerdo a los criterios que nos garantizan un servicio funcional y eficiente.

5.2 Espacio Disponible

Es importante tener una idea clara sobre las características físicas del sitio que necesitamos climatizar. Se recomienda visitar el lugar para realizar una inspección; sin embargo, de los detallas arquitectónicos mostrados en los Planos del 1 al 9, podemos obtener una completa información sobre el espacio disponible en donde puede instalarse el Sistema de Distribución en cada piso; consideraciones tales como la distancia entre la losa y el techo falso, y el número de esquinas, definirán el recorrido del ducto; lógicamente, lo más simétrico posible.

Por otro lado, para construcciones pesadas, el suficiente espacio disponible facilitará la construcción de ductos más grandes y por ende, una considerable reducción de la velocidad del aire y del nivel del ruido.

5.3 Criterios de Diseño

Para diseñar el Sistema de Distribución debemos considerar tres criterios que limitan y afectan directamente el alcance de nuestros

cálculos desde un punto de vista técnico y económico: el nivel de ruido, la velocidad y la presión del aire.

<u>Ruido</u>

El Sistema de Distribución debe tener un nivel de ruido tolerable. Esto significa que su funcionamiento no afecte las actividades realizadas ni cause distracción en sitios como un estudio, salaconferencia, sala de espera, etc.

Para el Edificio de funciones administrativas, se requiere un ambiente tranquilo y con relativo silencio. El ruido debe ser prevenido antes de la instalación, porque una vez en servicio, es muy costoso corregirlo y peor aún, eliminarlo.

El nivel de ruido tiene directa relación con la velocidad del aire y con la geometría del ducto. Si queremos reducirlo, debemos utilizar velocidades bajas, que para nuestra aplicación de confort, es un criterio aceptable.

Velocidad del Aire

Un Sistema de Distribución puede ser clasificado como de baja o de alta velocidad. Para una aplicación comercial se considera baja velocidad entre 1.200 y 2.200 FPM; alta velocidad para valores sobre

2.500 FPM. Para una aplicación industrial, baja velocidad entre 2.200 y 2.500 FPM; alta velocidad entre 2.500 y 5.000 FPM.

Presión del Aire

Un Sistema de Distribución también puede clasificarse como baja presión para valores por debajo de 3 % in. H_2O ; media presión para valores entre 3 % a 6 % in. H_2O ; alta presión para valores entre 6 % a 12 % in. H_2O . Estos rangos de presión se refieren a presiones totales considerando las pérdidas a través de la máquina, el ducto, el ducto flexible y los difusores.

5.4 Diseño de Ductos

Diseñar un ducto es dimensionarlo de tal forma que entregue una cantidad determinada de aire a través de los ductos flexibles y los difusores, con una velocidad debidamente seleccionada y una pérdida de presión definida .

Para determinar las dimensiones, es necesario conocer las variables que afectan directamente el diseño y los procedimientos aceptados por las Normas Internacionales, las condiciones del sitio que nos permiten seleccionar el recorrido del ducto y los requerimientos necesarios para su construcción.

5.4.1 Variables que intervienen en el Proceso de Diseño

El Proceso de Diseño depende de ciertos parámetros que se relacionan entre si para crear las mejores condiciones de distribución. El flujo de aire (CFM) , su velocidad (FPM) , la longitud del ducto (L) y la fricción (f) son las variables que identificaremos , por medio de las cuales es posible definir el dimensionamiento del ducto.

Flujo de Aire (CFM)

La cantidad de aire que debemos distribuir en cada piso depende de la Capacidad Térmica de las UMAS, en otras palabras, se relaciona con la Carga de Enfriamiento. En el Capítulo 3, determinamos los Parámetros del Serpentín, entre ellos, CFM_{sa}, la cantidad de aire inicial que la UMA es capaz de suministrar, flujo que es distribuido a través de todos los tramos de una manera uniforme de acuerdo al Principio de la Conservación de Masa.

Velocidad del Aire (FPM)

En los párrafos anteriores hemos explicado que la selección de la velocidad para un Sistema de Distribución de aire depende principalmente del nivel de ruido; consideración que puede afectar los costos de inversión y de operación.

En el Apéndice A.30 se muestra una lista de velocidades recomendadas para el suministro y retorno del aire en Sistemas de Baja Velocidad, basadas en la experiencia. Velocidades superiores a estos valores incrementan el rozamiento entre el aire y las paredes del ducto lo que implicaría un aumento del nivel del ruido.

Longitud del Ducto

Las condiciones del sitio y su geometría nos permiten definir el recorrido del ducto principal y cada una de sus ramificaciones. Las longitudes de cada trayectoria serán tomadas de acuerdo a las distancias físicas que separan cada uno de los ambientes, valores que pueden ser medidos en los Planos del 1 al 6.

Con el flujo de aire y las distancias, podemos representar esquemáticamente mediante un diagrama unifilar las longitudes de los ductos, considerando una distribución homogénea y simétrica. Estos gráficos nos servirán de soporte para el dimensionamiento de los ductos.

Fricción

Conforme el aire circula por el ducto, experimenta una pérdida de presión debido a la fricción; esta pérdida representa un cambio de energía mecánica a energía térmica debido al rozamiento continuo del aire con las paredes del ducto, codos, acoples y transformaciones.

Conocer los efectos de la fricción es muy importante porque si la pérdida de presión esta por encima de los valores de diseño, simplemente la distribución del aire no será uniforme.

Pérdidas por Longitud

Diversas experimentaciones han demostrado que las pérdidas de presión por fricción debido al rozamiento del aire con las paredes del ducto dependen de la velocidad, las dimensiones, la longitud y la superficie rugosa interior del ducto.

Las variables mencionadas se relacionan entre si por medio de la Ecuación 5.1:

$$\Delta P = 0.03 f \left(\frac{L}{d^{1.22}}\right) \left(\frac{V}{1000}\right)^{1.82}$$
 (5.1)

donde:

 ΔP = Pérdida por Fricción, in. H₂O.

f = Rugosidad de la superficie interior del ducto.

L = Longitud del ducto, ft.

d = Diámetro del ducto, in.

V = Velocidad del aire, FPM.

Esta ecuación es usada para construir la Carta Stándar de Fricción mostrada en el Apéndice A.31 para ductos galvanizados y aire a 70 ° F. Esta carta presenta de una forma práctica las relaciones entre el caudal, la velocidad, la pérdida de fricción (in.H₂O. por 100 ft de longitud equivalente) y el diámetro del ducto.

Pérdidas por Acoplamientos, Transformaciones y Codos

La pérdida total de presión es calculada para la longitud equivalente del ducto e incluye las pérdidas a través de los acoplamientos, transformaciones, reducciones y codos; todo elemento que represente una obstrucción del flujo de aire en el ducto contribuye a dicha pérdida. Los datos del Apéndice A.32 y A.33 son usados para evaluar las pérdidas a través de determinados elementos del Sistema de Ductos en términos de un coeficiente y las velocidades de presión.

Pérdida de Presión Total

El Sistema de Ductos debe ser diseñado considerando la pérdida de presión al final de cada tramo. La potencia del motor debe ser tal que el ventilador de la UMA sea capaz de distribuir el aire hasta el último difusor del Sistema. Para su efecto debe vencer el rozamiento que se manifiesta en la pérdida de presión estática más la pérdida de presión dinámica o velocidad de presión.

Para calcular la presión estática total debemos considerar las pérdidas en el tramo que tenga la mayor longitud, adicionando las pérdidas en los codos, transformaciones, acoplamientos, ducto flexible y difusor.

La pérdida de presión estática a través de un ducto se calcula utilizando la Ecuación 5.2:

$$SP = \frac{\P \times f}{100} \quad (5.2)$$

donde:

L = Longitud total del ducto, ft.

f = Fricción,in.H₂O por 100 ft de Longitud Equivalente.

La velocidad de presión se calcula utilizando la Ecuación 5.3:

$$Vp = \left(\frac{V}{4005}\right)^2 \qquad (5.3)$$

donde:

V = Velocidad del aire a través del ducto, FPM.

La pérdida de presión estática que experimenta el aire a través de los codos, reducciones y expansiones es calculada utilizando las Ecuaciones 5.4, 5.5 y 5.6 respectivamente:

$$SP = C_c \times VP$$
 (5.4)

$$SP = C_r (VP_2 - VP_1)$$
 (5.5)

$$SP = C_e (Vp_1 - VP_2)$$
 (5.6)

donde:

 VP_1 = Velocidad de Presión a la Entrada del Acoplamiento, in H_2O .

 VP_2 = Velocidad de Presión a la Salida del Acoplamiento in H_2O .

C_c = Coeficiente de Pérdida de Presión para Codos.

 C_r = Coeficiente de Pérdida de Presión para Reducciones.

C_e = Coeficiente de Pérdida de Presión para Expansiones.

Potencia requerida

Para calcular la Potencia requerida por el motor del ventilador de la UMA (Hp) utilizamos la Ecuación 5.7:

$$Hp = \frac{CFM \times Hf}{\eta \times 6344} \qquad (5.7)$$

donde:

CFM = Flujo de aire suministrado por la UMA.

Hf = Máxima Pérdida de Presión a través del tramo $más largo , del Sistema de Ductos, in <math>H_2O$.

 η = Eficiencia del motor del ventilador de la UMA.

5.4.2 Dimensionamiento del Ducto

Con el flujo de aire suministrado por la UMA y la selección de una velocidad adecuada, el problema básico del diseño de un ducto es dimensionarlo; lógicamente las dimensiones dependerán de la geometría del ducto.

Una configuración geométrica bien proporcionada nos garantizará una Distribución eficiente del aire. Obviamente, las condiciones del sitio limitan sus dimensiones en el sentido de que si el espacio disponible es pequeño y el ducto es grande, el diseño no es correcto (el ducto no entra en ese espacio); no obstante, para Sistemas de Baja Velocidad y alta disponibilidad de espacio, el tamaño del ducto no es un problema.

Consideraciones Geométricas

El círculo es la geometría ideal para los ductos que transportan aire acondicionado porque la superficie de contacto con el aire es menor en comparación con los ductos cuadrados o rectangulares; esto significa menor rozamiento y por ende menor pérdida de presión.

De la Carta mostrada en el Apéndice A.31, con dos de estas variables, flujo, velocidad o pérdidas por fricción, determinamos el diámetro del ducto que mantiene estas condiciones.

El problema del ducto circular es que es muy difícil de implementar porque se requiere de cierta tecnología costosa para construirlo; por eso, en la práctica se prefiere trabajar con

ductos rectangulares y si las condiciones de flujo y velocidad lo permiten, con ductos cuadrados. Las Tablas de los Apéndices A.34 y A.35 son utilizadas para transformar el diámetro equivalente de un ducto circular en las dimensiones de un ducto rectangular.

Razón de Aspecto

La Razón de Aspecto de un ducto, Ra, es la relación entre el ancho y la altura; es un valor que nos indica que tan grande es el ducto; para ductos cuadrados Ra es igual a 1; para ductos rectangulares Ra es mayor que 1.

Se recomienda que Ra sea menor que 2; valores superiores inciden directamente en la eficiencia y en los costos de inversión y operación del ducto por que aumenta la cantidad de material, y no solo eso, se incrementa el peso del ducto, por lo tanto se requiere de más accesorios para la correcta sujeción del mismo.

5.4.3 Método de Diseño

Para dimensionar un ducto que maneja determinada cantidad de aire y fluye con cierta velocidad, de la Carta mostrada en el

Apéndice A.31 obtenemos el diámetro equivalente del ducto, luego de las Tablas del Apéndice A.34 y A.35 obtenemos las dimensiones equivalentes del ducto rectangular; este análisis es relativamente sencillo.

El problema es que un Sistema de Distribución consta de una serie de ductos con transformaciones, codos, ramificaciones y elementos adicionales que no permiten establecer a priori el comportamiento de las variables. Por esa razón los investigadores han desarrollado unos métodos que nos sirven para dimensionar cada tramo utilizando un procedimiento definido y ordenado.

Dependiendo si el Sistema es de alta o baja velocidad, podemos mencionar los métodos de Reducción de Velocidad, Igual Fricción, Reganancia Estática, Capacidad Balanceada, Velocidad Asumida, Presión Total de Ashrae, etc.

Desarrollaremos con mayor atención el método de Igual Fricción.

Igual Fricción

Es un método muy sencillo y se lo recomienda para Sistemas de Baja Velocidad. Consiste en seleccionar una velocidad de los datos del Apéndice A.30 y con el caudal que queremos manejar inicialmente calculamos una pérdida por fricción y un diámetro equivalente de la Carta del Apéndice A.31. Este mismo valor de fricción lo mantendremos constante a través del ducto incluyendo las reducciones de área y los diversos tramos; por lo tanto, automáticamente la velocidad del aire se reducirá en la dirección del flujo.

5.4.4 Construcción de los Ductos

El calibre de la lámina del metal usado en la construcción de los ductos, uniones longitudinales y sus refuerzos requeridos dependen de las condiciones de presión del Sistema de Distribución. Existe también una extensa variedad de juntas y costuras utilizadas en la conformación rectangular del ducto. En el Capítulo 8 de Especificaciones Técnicas se describen las recomendaciones de construcción para ductos rectangulares así como las características de los codos y de las piezas de trancisión. La figura del Apéndice A.36 ilustra las juntas y costuras más comunes usadas en Sistemas de Baja Presión.

5.4.5 Accesorios

Para un funcionamiento óptimo de los ductos, se necesita implementar unos elementos adicionales que contribuirán a la eficiencia del Sistema, una Distribución correcta del aire, y lo más importante un considerable ahorro de energía. Existe una variedad de accesorios que dependiendo de las condiciones geométricas y físicas del sitio son de mucha utilidad, pero para las consideraciones prácticas que planteamos, mencionaremos entre otros: los elementos de acople, el aislamiento, los soportes, las juntas flexibles y las compuertas reguladoras del flujo de aire.

5.5 Ductos Flexibles

Como su nombre lo indica, son elementos flexibles que utilizamos para distribuir el aire acondicionado desde el ducto hasta el difusor o rejilla. La ventaja que nos ofrecen los ductos flexibles es la versatilidad en la instalación; esto significa que si las condiciones físicas no son favorables en cuanto al espacio disponible, el ducto flexible se adapta a estas condiciones.

Además, reducimos los Costos de Instalación al prescindir de planchas galvanizadas de acero adicionales. Por medio de collarines se acoplan fácilmente a los ductos y difusores. Existe una variedad

de diámetros estándar; debemos seleccionar el diámetro del ducto flexible que cumpla con las condiciones de flujo y velocidad de aire.

Proceso de Selección

En el Apéndice A.37 se muestra la Carta de Fricción para Ductos Flexibles. Con el flujo de aire que queremos distribuir, y con una pérdida de presión por fricción entre 0.08 y de 0.15 in.H₂O por 100 ft longitud (un valor empírico recomendado), determinamos el diámetro y la velocidad del aire a través del ducto flexible.

5.6 Difusores y Rejillas

Son los elementos terminales que finalmente distribuyen el aire acondicionado al ambiente de una forma homogénea y de acuerdo a las condiciones de flujo y velocidad requeridas; para asegurar estas condiciones el dimensionamiento del elemento debe ser calculado sobre la base de un criterio técnico.

Los difusores y rejillas pueden ser instalados en el techo, en la pared o en el piso dependiendo de las condiciones del sitio. El aire que fluye a través de ellos experimenta una pérdida de presión; los Apéndices A.38 y A.39 muestran los valores correspondientes a la pérdida de presión para difusores de diferentes dimensiones.

El criterio más importante que afecta los cálculos es el nivel del ruido que esta directamente relacionado con la velocidad de salida del aire.

El Apéndice A.40 muestra datos sobre las Velocidades de Salida recomendadas que resultan de un nivel de ruido aceptable para distintas aplicaciones.

<u>Cálculos y Dimensionamiento</u>

Para dimensionar el elemento terminal utilizamos la Ecuación 5.8 :

$$L = \sqrt{\frac{CFM \times 144}{FPM}} \qquad (5.8)$$

donde:

L = Lado del difusor, in.

CFM = Caudal de aire que se esta distribuyendo.

FPM = Velocidad de salida recomendada.

5.7 Resultados

Realizando un análisis metódico de los parámetros de cálculo y de las características arquitectónicas del Edificio, procedemos a diseñar el Sistema de Distribución de Aire de acuerdo a las necesidades de confort del mismo.

El criterio para el Edificio puede ser enfocado desde un punto de vista comercial utilizando los rangos de Baja Velocidad y Presión para la correcta distribución del aire.

La cantidad de aire suministrado en cada departamento dependerá del porcentaje de área en relación al área total del piso.

Utilizaremos para el dimensionamiento de los ductos el Método de Igual Fricción y las Ecuaciones 5.2 a la 5.8 para el cálculo de cada uno de los parámetros involucrados en el proceso.

El Diseño del Sistema de Distribución de Aire es mostrado en los Planos del 11 al 16 para cada uno de los pisos y es formado, con sus respectivas dimensiones, por los ductos de mando y sus ramificaciones, acoplamientos, ductos flexibles y difusores.

El Planos de diseño incluye el ducto de toma de aire exterior y las rejillas para el retorno del aire hasta la UMA.

Implementando una Hoja Electrónica de Excel con su respectiva formulación, las Tablas 47 a la 59 muestran el Cálculo de las Pérdidas por Fricción para el tramo más largo del Sistema de Distribución y la Potencia Requerida, para cada UMA.

TABLA 47 CÁLCULO DE POTENCIA UMA 1

_									Pieza de	•									
Ductos			Parámet	ros de	Diseño)		Tr	anscisi	òn		Codo		Coefic	ciente	F	Pérdidas	por Frico	ión
TRAMO	CFM	FPM	L(ft)	B(in)	H(in)	f/100	Ra	FPM	L(ft)	f/100	B(in)	H(in)	Ra	Codo	Ехр.	VP ₁	VP ₂	SP	PT
А	5046	1600	16,40	30	16	0,14	1,88				30	16	1,88	0,22			0,1596	0,0581	0,2177
В	4318	1550	7,49	26	16	0,14	1,63	1680	2,00	0,17					0,17	0,1760	0,1498	0,0183	0,1681
С	3407	1500	10,12	24	16	0,14	1,50	1700	2,00	0,19					0,45	0,1802	0,1403	0,0359	0,1762
D	1913	1300	13,12	20	12	0,14	1,67				20	12	1,67	0,22		0,0000	0,1054	0,0415	0,1469
Е	658	1000	36,36	10	10	0,14	1,00	1210	2,00	0,23	10	10	1,00	0,22	0,28	0,0913	0,0623	0,0910	0,1534
F	454	900	5,20	10	8	0,14	1,25	1000	2,00	0,18					0,28	0,0623	0,0505	0,0142	0,0647
Ducto Flexible																			
TRAMO	CFM	FPM	L(ft)	D(in)	f/100	PT													
G	454	600	8,52	12	0,08	0,0068													

Difusor

Ubicación	CFM	FPM	B(in)	H(in)	PT
107	454	500	12	12	0,106

CFM		Hf	η	Нр
	5046	1,0398	0,50	2

TABLA 48 CÁLCULO DE POTENCIA UMA 2

Ductos			Paráme	tros de	Diseño	•			ieza d inscis			Codo		Co	eficier	nte	F	érdidas	por Frice	ción
TRAMO	CFM	FPM	L(ft)	B(in)	H(in)	f/100	Ra	FPM	L(ft)	f/100	B(in)	H(in)	Ra	Codo	Red.	Exp.	VP₁	VP ₂	SP	PT
А	9359	1600	44,28	30	30	0,09	1,00				30	30	1,00	0,22				0,1596	0,0750	0,2346
В	7801	1500	19,30	30	26	0,09	1,15	1650	2,00	0,11						0,45	0,1697	0,1403	0,0328	0,1731
С	5451	1400	2,90	30	20	0,09	1,50	1550	2,00	0,12						0,59	0,1498	0,1222	0,0213	0,1435
D	5133	1350	13,07	28	20	0,09	1,40	1480	2,00	0,11						0,17	0,1366	0,1136	0,0179	0,1315
Е	4231	1300	29,80	26	20	0,09	1,30	1530	2,00	0,11	26	20	1,30	0,22		0,28	0,1459	0,1054	0,0636	0,1689
F	3051	1200	27,50	20	20	0,09	1,00	1350	2,00	0,12						0,28	0,1136	0,0898	0,0338	0,1236
G	2040	1100	10,12	20	14	0,09	1,43	1250	2,00	0,13						0,59	0,0974	0,0754	0,0247	0,1001
Н	1756	1050	17,33	18	14	0,09	1,29	1150	2,00	0,11						0,17	0,0824	0,0687	0,0201	0,0889
1	1227	950	4,87	14	14	0,09	1,00	1080	2,00	0,11						0,17	0,0727	0,0563	0,0094	0,0656
J	982	925	9,82	14	12	0,09	1,17	950							0,07		0,0563	0,0533	0,0086	0,0620
K	736	850	6,38	14	10	0,09	1,40	925			14	10	1,40	0,22	0,07		0,0533	0,0450	0,0151	0,0601
L	491	775	7,85	12	8	0,09	1,50	850							0,07		0,0450	0,0374	0,0065	0,0440
Ducto Flexible																				
TRAMO	CFM	FPM	L(ft)	D(in)	f/100	РТ														

TRAMO	CFM	FPM	L(ft)	D(in)	f/100	PT
M	245,5	500	4,92	10	0,08	0,0039

Difusor

Ubicación	CFM	FPM	B(in)	H(in)	PT
207	245,5	500	10	10	0,075

CFM		Hf	η	Нр
	9359	1,4748	0,50	4

TABLA 49 CÁLCULO DE POTENCIA UMA 3

Ductos	S Parámetros de Diseño			ı	Pieza de Transcisiòn			Codo		Coeficiente			Pérdidas por Fricción							
TRAMO	CFM	FPM	L(ft)	B(in)	H(in)	f/100	Ra	FPM	L(ft)	f/100	B(in)	H(in)	Ra	Codo	Red.	Ехр.	VP ₁	VP ₂	SP	PT
Α	9359	1600	6,56	30	30	0,09	1,00											0,1596	0,0059	0,1655
В	5256	1350	30,75	30	20	0,09	1,50				30	20	1,50	0,22			0,0000	0,1136	0,0777	0,1913
С	3827	1290	17,91	30	16	0,09	1,88	1350	2,00	0,11						0,59	0,1136	0,1037	0,0241	0,1279
D	2707	1190	14,22	26	14	0,09	1,86	1270	2,00	0,11						0,45	0,1006	0,0883	0,0205	0,1088
Е	1136	950	41,28	18	10	0,09	1,80	1550	2,00	0,30						0,73	0,1498	0,0563	0,1114	0,1677
F	945	900	17,22	14	12	0,09	1,17				14	12	1,17	0,22			0,0000	0,0505	0,0266	0,0771
G	816	875	4,59	12	12	0,09	1,00	900							0,07		0,0505	0,0477	0,0039	0,0517
Н	676	825	5,24	12	10	0,09	1,20				12	10	1,20	0,22			0,0000	0,0424	0,0141	0,0565
I	363	725	11,80	10	8	0,09	1,25	825							0,07		0,0424	0,0328	0,0099	0,0427
Ducto Flexible																				
TRAMO	CEM	FPM	1 (ft)	D(in)	f/100	РТ														

TRAMO	CFM	FPM	L(ft)	D(in)	f/100	PT	
J	181,5	500	4,59	8	0,08	0,0037	

Difusor

Ubicación	CFM	FPM	B(in)	H(in)	PT	
241A	181,5	500	8	8	0,085	

	0			
CFM		Hf	η	Нр
	9359	1.0778	0.50	3

TABLA 50 CÁLCULO DE POTENCIA UMA 4

Ductos		Para	ámetros	de Dis	seño		Piez	za de T	ransci	siòn		Codo		Coe	eficient	te	Pérdidas por Fricción			1
TRAMO	CFM	FPM	L(ft)	B(in)	H(in)	f/100	Ra	FPM	L(ft)	f/100	B(in)	H(in)	Ra	Codo	Red.	Exp.	VP ₁	VP ₂	SP	PT
Α	9059	1600	41,65	30	30	0,10	1,00				30	30		0,22				0,1596	0,1119	0,2715
В	7674	1520	21,60	30	26	0,10	1,15	1630	2,00	0,11						0,59	0,1656	0,1440	0,0365	0,1806
С	5325	1450	1,92	30	20	0,10	1,50	1650	2,00	0,14						0,73	0,1697	0,1311	0,0329	0,1640
D	5110	1400	14,71	28	20	0,10	1,40	1600	2,00	0,13						0,22	0,1596	0,1222	0,0255	0,1477
Е	3149	1270	14,38	22	18	0,10	1,22	1350	2,00	0,12						0,45	0,1136	0,1006	0,0227	0,1232
F	2826	1250	9,13	20	18	0,10	1,11	1350	2,00	0,13	20	18	1,11	0,22		0,28	0,1136	0,0974	0,0377	0,1351
G	2541	1200	12,74	18	18	0,10	1,00	1350	2,00	0,14						0,28	0,1136	0,0898	0,0222	0,1120
Н	2187	1150	8,48	18	16	0,10	1,13	1300	2,00	0,14						0,45	0,1054	0,0824	0,0216	0,1040
1	1978	1100	9,46	16	16	0,10	1,00	1375	2,00	0,15						0,28	0,1179	0,0754	0,0243	0,0998
J	1763	1080	13,40	16	16	0,10	1,00	1400	2,00	0,18						0,45	0,1222	0,0727	0,0393	0,1120
K	1440	1050	15,04	16	14	0,10	1,14	1400	2,00	0,18						0,45	0,1222	0,0687	0,0427	0,1114
L	1074	980	16,02	16	12	0,10	1,33	1150	2,00	0,15						0,59	0,0824	0,0599	0,0323	0,0922
М	631	860	3,60	12	10	0,10	1,20				12	10	1,20	0,22			0,0000	0,0461	0,0137	0,0599
N	463	800	3,60	10	10	0,10	1,00	860							0,07		0,0461	0,0399	0,0032	0,0431
0	262	700	3,60	10	6	0,10	1,67	800							0,07		0,0399	0,0305	0,0029	0,0335
Р	94	550	4,92	6	6	0,10	1,00	700							0,07		0,0305	0,0189	0,0041	0,0230
Ducto		•		•				•	•	•		•								

Flexible

TRAMO	CFM	FPM	L(ft)	D(in)	f/100	PT
Q	94	500	5,90	6	0,13	0,0077

Difusor

Ubicación	CFM	FPM	B(in)	H(in)	PT	
313A	94	500	6	6	0,084	

. 10qu	Jiiaa			
CFM		Hf	η	Нр
	9059	1,9046	0,50	5

TABLA 51 CÁLCULO DE POTENCIA UMA 5

Ductos		Pa	rámetros	de Dise	ño		Pieza	de Trans	scisiòn	Co	do		Coefic	ciente			Pé	rdidas por	Fricción	
TRAMO	CFM	FPM	L(ft)	B(in)	H(in)	f/100	Ra	FPM	L(ft)	f/100	B(in)	H(in)	Ra	Codo	Red.	Ехр.	VP₁	VP ₂	SP	PT
А	9059	1600	8,20	30	30	0,10	1,00											0,1596	0,0082	0,1678
В	6835	1500	30,50	30	24	0,10	1,25				30	24	1,25	0,22			0,0000	0,1403	0,0922	0,2325
С	5361	1450	2,90	30	20	0,10	1,50	1500	2,00	0,11						0,59	0,1403	0,1311	0,0105	0,1416
D	4120	1350	18,97	26	18	0,10	1,44	1500	2,00	0,13						0,45	0,1403	0,1136	0,0336	0,1472
E	2497	1200	10,77	20	16	0,10	1,25	1350	2,00	0,14						0,45	0,1136	0,0898	0,0243	0,1141
F	1841	1100	11,10	18	14	0,10	1,29	1250	2,00	0,13						0,45	0,0974	0,0754	0,0236	0,0990
G	885	940	8,80	12	12	0,10	1,00	1100	2,00	0,15						0,28	0,0754	0,0551	0,0175	0,0726
Н	578	850	20,99	12	10	0,10	1,20				12	10	1,20	0,22			0,0000	0,0450	0,0309	0,0759
1	385	750	9,84	10	8	0,10	1,25	850							0,07		0,0450	0,0351	0,0091	0,0442
Ducto Flexible							,													

TRAMO	CFM	FPM	L(ft)	D(in)	f/100	PT
J	192.66	500	3.28	8	0.12	0.0039

Difusor

Ubicación	CFM	FPM	B(in)	H(in)	PT
327	192,66	500	8	8	0,085

Potencia Requerida

CFM		Hf	η	Нр
	9059	1.1839	0.50	3

TABLA 52 CÁLCULO DE POTENCIA UMA 6

									ieza de								_			
Ductos			Parame	tros de D	iseño			Tra	anscisi	òn		Codo		С	<u>oeficient</u>	e	F	erdidas p	or Fricción	<u> </u>
TRAMO	CFM	FPM	L(ft)	B(in)	H(in)	f/100	Ra	FPM	L(ft)	f/100	B(in)	H(in)	Ra	Codo	Red.	Exp.	VP ₁	VP ₂	SP	PT
Α	9107	1600	41,00	30	30	0,10	1,00				30	30	1,00	0,22				0,1596	0,1112	0,2708
В	7867	1550	23,24	30	26	0,10	1,15	1580	2,00	0,10						0,45	0,1556	0,1498	0,0279	0,1777
С	5580	1450	1,92	30	20	0,10	1,50	1600	2,00	0,13						0,73	0,1596	0,1311	0,0253	0,1564
D	5066	1400	28,16	28	20	0,10	1,40	1500	2,00	0,12	28	20	1,40	0,22		0,28	0,1403	0,1222	0,0625	0,1847
Е	2837	1250	44,56	20	18	0,10	1,11	1350	2,00	0,13	20	18	1,11	0,22		0,45	0,1136	0,0974	0,0973	0,1947
F	2190	1180	8,15	18	16	0,10	1,13	1350	2,00	0,15						0,45	0,1136	0,0868	0,0232	0,1100
G	1697	1100	15,36	16	16	0,10	1,00	1400	2,00	0,17						0,45	0,1222	0,0754	0,0398	0,1152
Н	1294	1025	13,07	14	14	0,10	1,00	1300	2,00	0,17						0,45	0,1054	0,0655	0,0344	0,0999
I	864	930	6,88	14	10	0,10	1,40				14	10	1,40	0,22			0,0000	0,0539	0,0187	0,0727
J	426	840	6,56	10	8	0,10	1,25				10	8	1,25	0,22			0,0000	0,0440	0,0162	0,0602
K	213	660	10,16	8	6	0,10	1,33	840							0,07		0,0440	0,0272	0,0090	0,0361
Ducto Flexible																				
TRAMO	CFM	FPM	L(ft)	D(in)	f/100	PT														
L	213	500	1,64	10	0,08	0,0013														
Difusor			·	·	·		3													
						1														

Ubicaciòn	CFM	FPM	B(in)	H(in)	PT
411	213	500	8	8	0,10
Potencia Requerida					

Requerida			
CFM	Hf	η	Нр
9107	1.5878	0.50	5

TABLA 53
CÁLCULO DE POTENCIA UMA 7

Ductos			Paráme	tros de D	iseño	•		Pieza	de Trans	cisiòn		Codo		Co	eficien	te		Pérdidas	por Fricci	ón
TRAMO	CFM	FPM	L(ft)	B(in)	H(in)	f/100	Ra	FPM	L(ft)	f/100	B(in)	H(in)	Ra	Codo	Red.	Ехр.	VP ₁	VP ₂	SP	PT
Α	9107	1600	11,48	30	30	0,10	1,00											0,1596	0,0115	0,1711
В	4384	1350	26,24	30	16	0,10	1,88				30	16	1,88	0,22			0,0000	0,1136	0,0762	0,1899
С	3770	1325	9,46	28	16	0,10	1,75	1470	2,00	0,12						0,28	0,1347	0,1095	0,0189	0,1284
D	3422	1300	10,77	26	16	0,10	1,63	1400	2,00	0,12						0,28	0,1222	0,1054	0,0179	0,1232
Е	2893	1250	8,48	26	14	0,10	1,86	1300	2,00	0,11						0,45	0,1054	0,0974	0,0143	0,1117
F	2066	1150	9,46	18	16	0,10	1,13	1400	2,00	0,17						0,28	0,1222	0,0824	0,0240	0,1064
G	1239	1050	8,48	16	12	0,10	1,33	1200	2,00	0,15						0,59	0,0898	0,0687	0,0239	0,0926
Н	413	725	8,20	10	8	0,10	1,25				10	8	1,25	0,22			0,0000	0,0328	0,0154	0,0482
I	206	660	9,84	8	6	0,10	1,33	725							0,07		0,0328	0,0272	0,0094	0,0366
Ducto Flexible																				
TRAMO	CFM	FPM	L(ft)	D(in)	f/100	PT														
J	206	500	4,92	10	0,08	0,0039														

Ducto Flexible						
TRAMO	CFM	FPM	L(ft)	D(in)	f/100	РТ
J	206	500	4,92	10	0,08	0,00
Difusor						
Ubicaciòn	CFM	FPM	B(in)	H(in)	PT	
447	206	500	8	8	0,085	
Potencia Requerida						
CFM	Hf	η	Нр			
9107	1,0970	0,50	3			

TABLA 54 CÁLCULO DE POTENCIA UMA 8

	1						Pieza de													
Ductos			Paráme	tros de D	iseño			-	neza de anscisi	-		Codo		Co	eficien	te		Pérdidas	por Friccio	ón
TRAMO	CFM	FPM	L(ft)	B(in)	H(in)	f/100	Ra	FPM	L(ft)	f/100	B(in)		Ra	Codo	Red.	Exp.	VP₁	VP ₂	SP	PT
A	12349	1600	44.28	40	30	0.08	1.33		_(,	.,	_(,	()				-//		0.1596	0.0354	0,1950
В	9485	1500	1.26	34	30	0.08	1.13	1700	2.00	0.11						0.45	0.1802	0.1403	0.0212	0.1614
С	7639	1400	14,71	30	28	0,08	1,07	1600	2,00	0,10						0,45	0,1596	0,1222	0,0306	0,1528
D	6726	1350	5,20	30	26	0,08	1,15	1550	2,00	0,10						0,45	0,1498	0,1136	0,0224	0,1361
E	4767	1250	26,52	28	20	0,08	1,40	1450	2,00	0,12	28	20	1,40	0,22		0,59	0,1311	0,0974	0,0649	0,1623
F	4308	1230	8,48	26	20	0,08	1,30	1360	2,00	0,11						0,28	0,1153	0,0943	0,0149	0,1092
G	3649	1200	6.84	24	20	0.08	1.20	1300	2,00	0,10						0.28	0.1054	0.0898	0.0118	0.1016
Н	3269	1175	10,12	22	20	0,08	1,10	1250	2,00	0,10						0,28	0,0974	0,0861	0,0133	0,0993
I	2469	1100	3,88	20	18	0,08	1,11	1180	2,00	0,10						0,45	0,0868	0,0754	0,0102	0,0857
J	2246	1080	10,77	18	18	0,08	1,00	1200	2,00	0,11						0,28	0,0898	0,0727	0,0156	0,0883
K	1991	1050	8,15	18	16	0,08	1,13	1250	2,00	0,12						0,45	0,0974	0,0687	0,0218	0,0906
L	1781	1000	7,82	16	16	0,08	1,00	1280	2,00	0,14						0,28	0,1021	0,0623	0,0202	0,0825
M	1565	975	7,82	16	14	0,08	1,14	1200	2,00	0,14						0,45	0,0898	0,0593	0,0228	0,0821
N	1349	950	1,59	16	14	0,08	1,14	1200	2,00	0,15						0,45	0,0898	0,0563	0,0194	0,0756
0	955	860	2,57	14	12	0,08	1,17	1050	2,00	0,13						0,45	0,0687	0,0461	0,0148	0,0609
Р	739	825	6,51	14	10	0.08	1,40	980	2,00	0,12						0,45	0,0599	0,0424	0,0155	0,0579
Q	486	750	2,24	10	10	0,08	1,00	950	2,00	0,14						0,28	0,0563	0,0351	0,0105	0,0456
R	324	675	4,26	10	8	0,08	1,25				10	8	1,25	0,22			0,0000	0,0284	0,0097	0,0381
S	162	540	4,92	8	6	0,08	1,33	675							0,07		0,0284	0,0182	0,0032	0,0214
Ducto Flexible																				
TRAMO	CFM	FPM	L(ft)	D(in)	f/100	PT														
Т	162	500	3,28	8	0,09	0,003														
Difusor				-			_1													
Ubicación	CFM	FPM	B(in)	H(in)	PT	l														

513
Potencia
Requerida
CFM 162 500 8 0,066

0,50 12349 1,9154

TABLA 55
CÁLCULO DE POTENCIA UMA 9

Ductos		T	Parámeti	ros de D	iseño	1	1		Cod	do	1	Coefic	iente	Pérdidas por Fricción			
TRAMO	CFM	FPM	L(ft)	B(in)	H(in)	f/100	Ra	FPM	B(in)	H(in)	Ra	Codo	Red.	VP ₁	VP ₂	SP	PT
Α	2435	1300	37,06	18	16	0,12	1,13		18	16	1,13	0,22			0,1054	0,0908	0,196
В	1826	1200	10,49	18	14	0,12	1,29	1300					0,07	0,1054	0,0898	0,0115	0,1013
С	1217	1080	11,80	14	12	0,12	1,17	1200					0,07	0,0898	0,0727	0,0130	0,085
D	608	925	11,48	10	10	0,12	1,00	1080					0,07	0,0727	0,0533	0,0124	0,0658
Ducto Flexible																	
TRAMO	CFM	FPM	L(ft)	D(in)	f/100	PT											
E	304	500	5,58	10	0,08	0,0045											
Difusor																	
Ubicaciòn	CFM	FPM	B(in)	H(in)	PT												
512	304	500	10	10	0,106												

Potencia	
Requerida	

CFM		Hf	η	Нр	
	2435	0.5594	0,50		1

TABLA 56
CÁLCULO DE POTENCIA UMA 10

Ductos		F	Paráme	tros de	Diseño)		Pieza de Transcisiòn			Codo			Coeficiente		Pérdidas por Fricción			
TRAMO	CFM	FPM	L(ft)	B(in)	H(in)	f/100	Ra	FPM	L(ft)	f/100	B(in)	H(in)	Ra	Codo	Ехр.	VP ₁	VP ₂	SP	PT
Α	3110	1600	29,84	20	16	0,18	1,25				20	16	1,25	0,22			0,1596	0,1239	0,2835
В	2034	1430	34,72	18	12	0,18	1,50	1500	2,00	0,20					0,45	0,1403	0,1275	0,0723	0,1997
С	1328	1300	12,41	16	10	0,18	1,60	1400	2,00	0,22					0,45	0,1222	0,1054	0,0343	0,1397
D	678	1100	26,84	10	10	0,18	1,00	1300	2,00	0,26	10	10	1,00	0,22	0,28	0,1054	0,0754	0,0785	0,1539
Ducto Flexible																			
TRAMO	CFM	FPM	L(ft)	D(in)	f/100	PT													
E	339	500	3,94	10	0,1	0,0039													
Difusor					•	·	_												

Diragoi					
Ubicaciòn	CFM	FPM	B(in)	H(in)	PT
509	339	500	10	10	0.147

Potencia Requerida

CFM		Hf	η	Нр
	3110	0,9278	0,50	1

TABLA 57
CÁLCULO DE POTENCIA UMA 11

Ductos			Paráme	tros de l	Diseño			Codo				Coefic	iente	Pérdidas por Fricción			
TRAMO	CFM	FPM	L(ft)	B(in)	H(in)	f/100	Ra	FPM	B(in)	H(in)	Ra	Codo	Red.	VP ₁	VP_2	SP	PT
А	3886	1500	22,30	20	20	0,14	1,00		20	20	1,00	0,22			0,1403	0,0929	0,2332
В	2590	1300	13,12	18	16	0,14	1,13	1500					0,07	0,1403	0,1054	0,0159	0,1213
С	1295	1180	14,76	14	12	0,14	1,17	1300					0,07	0,1054	0,0868	0,0194	0,1062
Ducto Flexible				_													
TRAMO	CFM	FPM	L(ft)	D(in)	f/100	PT											
D	647	500	7,54	14	0,07	0,0053											
Difusor		•	•	•			•										
Ubicaciòn	CFM	FPM	B(in)	H(in)	PT												

520	647	
Potencia		
Requerida		
CEM	Пŧ	

CFM		Hf	η	Нр
	3886	0,6070	0,50	1

647 500

14 14 0,141

TABLA 58 CÁLCULO DE POTENCIA UMA 12

Ductos	Parámetros de Diseño								Pieza d anscisi			Codo	_	Coeficiente		Pérdidas por Friccio			ón
TRAMO	CFM	FPM	L(ft)	B(in)	H(in)	f/100	Ra	FPM	L(ft)	f/100	B(in)	H(in)	Ra	Codo	Ехр.	VP ₁	VP ₂	SP	PT
Α	11456	1600	45,26	38	30	0,08	1,27				38	30	1,27	0,22			0,1596	0,1064	0,2660
В	9352	1450	18,97	34	30	0,08	1,13	1680	2,00	0,10					0,28	0,1760	0,1311	0,0297	0,1608
С	6424	1380	30,12	30	24	0,08	1,25	1550	2,00	0,11	30	24	1,25	0,22	0,59	0,1498	0,1187	0,0707	0,1895
D	4977	1280	18,32	30	20	0,08	1,50	1400	2,00	0,10					0,59	0,1222	0,1021	0,0285	0,1306
E	3853	1200	21,59	24	20	0,08	1,20	1380	2,00	0,11	24	20	1,20	0,22	0,28	0,1187	0,0898	0,0473	0,1371
F	2185	1080	16,67	18	18	0,08	1,00	1200	2,00	0,12	18	18	1,00	0,22	0,45	0,0898	0,0727	0,0394	0,1121
G	1556	975	18,97	18	14	0,08	1,29	1100	2,00	0,11					0,59	0,0754	0,0593	0,0269	0,0862
Н	987	875	9,79	14	12	0,08	1,17	1100	2,00	0,14					0,45	0,0754	0,0477	0,0231	0,0708
I	740	830	6,51	14	10	0,08	1,40	1070	2,00	0,15					0,45	0,0714	0,0429	0,0210	0,0639
J	370	725	6,88	10	8	0,08	1,25				10	8	1,25	0,22		0,0000	0,0328	0,0127	0,0455

Ducto Flexible

K 370 500 524 12 0.08 0.0	TRAMO	CFM	FPM	L(ft)	D(in)	f/100	PT
17 070 000 0,21 12 0,00 0,0	K	370	500	5,24	12	0,08	0,0042

Difusor

Ubicaciòn	CFM	FPM	B(in)	H(in)	PT
617	370	500	12	12	0,075

Potencia Requerida

CFM		Hf	η	Нр	
	11456	1,3418	0,50		5

TABLA 59 CÁLCULO DE POTENCIA UMA 13

Ductos		F	Parámeti	ros de	Diseño)			ieza de Inscisio		Codo			Coeficiente			Pérdidas por Fricción			
TRAMO	CFM	FPM	L(ft)	B(in)	H(in)	f/100	Ra	FPM	L(ft)	f/100	B(in)	H(in)	Ra	Codo	Red.	Ехр.	VP1	VP2	SP	PT
Α	11456	1600	11,48	38	30	0,08	1,27											0,1596	0,0092	0,1688
В	4469	1250	22,30	30	18	0,08	1,67				30	18	1,67	0,22			0,0000	0,0974	0,0607	0,1581
С	3032	1125	8,48	20	20	0,08	1,00	1420	2,00	0,14						0,28	0,1257	0,0789	0,0227	0,1016
D	1800	1000	11,76	20	14	0,08	1,43	1200	2,00	0,12									0,0280	
E	1075	900	42,26	16	12	0,08	1,33	980	2,00	0,11	16	12	1,33	0,22		0,45	0,0599	0,0505	0,0624	0,1129
F	537	770	12,46	14	8	0,08	1,75	900							0,07		0,0505	0,0370	0,0090	0,0460

Ducto Flexible

TRAMO	CFM	FPM	L(ft)	D(in)	f/100	PT
G	268	500	5,90	10	0,08	0,0047

Difusor

Ubicaciòn	CFM	FPM	B(in)	H(in)	PT
651	268	500	10	10	0.09

Potencia Requerida

CFM		Hf	η	Нр
	11456	0,7725	0,50	3

CAPÍTULO 6

6. IMPLEMENTACIÓN DEL SISTEMA DE CONTROL Y MONITOREO

El Sistema de Control y Monitoreo nos permite proporcionar un flujo de agua fría y aire acondicionado "variable" de acuerdo a los requerimientos del Edificio en determinado momento. Esta característica representa un considerable ahorro de energía.

El Sistema se encargará de recoger información técnica del espacio y procesarla, con la finalidad de tomar acciones. La información que el Sistema necesita es proporcionada por los Sensores, procesada por el Controlador, y las acciones son efectuadas por Actuadores.

En el presente Capítulo describiremos con detalle el Sistema de Control y su funcionamiento, sus componentes y la ubicación de cada uno de ellos en relación con el Controlador y los componentes del Sistema de Climatización.

6.1 Introducción

Hemos descrito la funcionalidad del Edificio en los Capítulos anteriores; es lógico pensar que en el transcurso de la jornada laboral, la cantidad de personas que se encuentran en el Edificio es variable; de hecho, las máximas condiciones de calor que experimentan se presentan a las 4:00 P.M.; la sala de sesiones por ejemplo, pasará gran parte de la jornada vacía, el comedor estaría completamente lleno a las 1:30 P.M., habrá departamentos que dependiendo del número de clientes tendrán más actividad que otros.

Con todos estos antecedentes, lo que intentamos explicar es que el calor que se genera y se almacena en el Edificio, no es constante durante el día, porque depende de muchos factores. Claro está, que nosotros diseñamos el Sistema de Climatización para la más exigente de las condiciones de calor.

Si el calor no es constante, entonces el flujo de aire acondicionado que se suministra tampoco debería serlo; existirán momentos del día en que se necesite más o menos aire acondicionado dependiendo de las condiciones térmicas. Si dichas condiciones son las de confort, entonces sería un gasto innecesario de energía seguir produciendo "frío", peor aún para un departamento que a cierta hora esta vacío o con muy pocas personas; si es así, no debería haber flujo de aire

acondicionado o deberíamos disminuirlo, porque el exceso de "frío" se transforma en un mayor consumo eléctrico del motor de la UMA y de la bomba, y por consecuencia lógica, en una inmensa pérdida de energía, y por supuesto, de dinero.

6.2 Objetivos del Sistema

El Sistema de Control y Monitoreo que vamos a utilizar tiene como objetivos los siguientes aspectos:

- Centralizar el Control y Monitoreo del Sistema de Climatización del Edificio.
- Mantener el Sistema de Climatización del Edificio dentro de los parámetros de confort requeridos.
- Optimizar el funcionamiento de los equipos con la finalidad de ahorrar energía.

6.3 Descripción General del Sistema

En términos generales, el Sistema de Control y Monitoreo del Edificio está constituido por Controladores para el procesamiento de la información; por Sensores para medir los parámetros que afectan directamente la Climatización del Edificio; por Actuadores, Arrancadores y Variadores de Frecuencia para ejecutar las acciones "ordenadas" por el Controlador; por Módulos de Expansión de

Entrada y de Salida; por una Computadora Central con su respectivo NAM; por un número de Accesorios Varios.

Controlador

Es un dispositivo que procesa la información que recibe por medio de Sensores y ejecuta las acciones de control correspondientes mediante Actuadores; normalmente poseen ocho Entradas y ocho Salidas universales y son del Tipo Modular con capacidad de proveer Monitoreo usando Control de Lazo Cerrado y Control Digital Directo. Este concepto modular contribuye a la versatilidad y facilidad total en una instalación.

<u>Módulos de Expansión</u>

Son dispositivos opcionales de Entrada/Salida que se pueden añadir a cada Controlador para aumentar los puntos de campo; cada Módulo tiene 8 entradas y 8 salidas. Usando múltiples Módulos se puede conectar hasta 48 puntos adicionales, brindando la capacidad de controlar y/o monitorear un total de 64 puntos de campo. Para cada situación de control se selecciona la cantidad adecuada de Módulos y son sencillamente instalados junto al Controlador quien los comanda porque por sí solos no tienen capacidad de procesar la información que reciben de los Sensores.

Bus de Comunicaciones

Se denomina de esta manera a la Red que conecta una serie de dispositivos que conforman un Sistema de Control en particular. Para nuestro caso definiremos un Bus Principal y un Bus Secundario.

Bus Principal

El Bus Principal es la Red que conecta a todos los Controladores para programarlos y visualizarlos a través de una computadora. Cada Controlador se le debe dar una dirección para ubicarlos dentro de la Red.

Bus Secundario

El Bus Secundario es la Red que conecta a los Módulos de Expansión con su respectivo Controlador con la finalidad de aumentar los puntos de control. Para el Bus Principal, los Módulos no existen; por lo tanto solamente se los puede direccionar para darles una ubicación desde el Controlador.

Computadora y Software de Control y Monitoreo

La Computadora de Control y Monitoreo tiene las siguientes características : Procesador Pentium IV 2 GHz , memoria RAM de 256 Mb, CD Room. El Software empleado para controlar y monitorear

el Sistema de Climatización del Edificio contiene generalmente un paquete de programas como por ejemplo Work Space Manager que permite el acceso a la programación de cada Controlador y el desarrollo de la aplicación de visualización.

NAM

Es un dispositivo de interfase (Network Access Module) que sirve para conectar la Computadora al Bus Principal. Como el lenguaje del Bus es diferente al de la Computadora, el NAM es el traductor.

Paneles de Control

Son las cajas donde se coloca cada Controlador con sus respectivos accesorios eléctricos para su normal funcionamiento. Los paneles están ubicados generalmente en la casa de máquinas.

<u>Sensores</u>

Los Sensores son los dispositivos encargados de enviar al Controlador la información acerca de las mediciones de los parámetros de interés, para mantener el Sistema de Climatización dentro de las condiciones requeridas. En el presente proyecto utilizaremos los siguientes: Sensores de Temperatura, de Diferencial de Presión y de Estado.

Actuadores

Son los dispositivos mecánicos-eléctricos que reciben una señal del Controlador con la finalidad de ejecutar una acción sobre el Sistema. En el presente proyecto utilizaremos un Actuador sobre la Compuerta Reguladora de Aire y un Actuador sobre la Válvula de Dos Vías.

Arrancadores

Son dispositivos que permiten el encendido y apagado de los motores en modo manual o automático. En modo automático reciben una señal digital (0 o 24 Vdc) del Controlador , que acciona la bobina del contactor de arranque. En modo manual se enciende el motor colocando el selector en posición de encendido.

Variadores de Frecuencia

Son dispositivos que permiten reducir o aumentar la velocidad de los motores con la finalidad de suministrar un flujo variable de aire o de agua. Su accionamiento está directamente relacionado con mediciones de diferencia de presión. Adicionalmente, el Variador es utilizado para poner en funcionamiento las UMAS y las Bombas del Circuito Secundario.

Cables de Control

Los Cables de Control transportan las señales desde los Sensores hasta el Controlador, desde el Controlador hasta los Actuadores; comunica a través del Bus Principal a todos los Controladores y a través del Bus Secundario a los Módulos de Expansión. El número de hilos depende de la aplicación específica dentro del Sistema.

6.4 Descripción de las Variables de Control

Las Variables de Control son todas aquellas señales que entran o salen del Controlador, así como también las señales de Retroalimentación. Dichas señales son las que afectan directamente el comportamiento del Sistema.

Como Variables de Control podríamos citar como ejemplo las mediciones de Temperatura, de Diferencia de Presión, Estado de los mecanismos, acciones sobre los Actuadores y las funciones Encendido/Apagado; estas variables serán interpretadas continuamente por el Controlador con el propósito de mantener las condiciones de confort.

6.4.1 Entradas

Son las señales que envían los Sensores al Controlador y están relacionadas con la información recopilada por ellos.

Para mantener las condiciones del Edificio es importante medir constantemente las variaciones de Temperatura que experimenta el aire en el Ambiente que deseamos climatizar, así como la Temperatura del Aire Acondicionado en el Ducto de Mando.

Además, es necesario conocer los cambios de Presión en la Distribución del Aire y del Agua de Enfriamiento como una medida relacionada con la cantidad de flujo suministrado.

Adicionalmente, el Sistema es capaz de determinar si los Ventiladores y los Filtros de las UMAS están en funcionamiento así como verificar la presencia de Flujo en el Circuito Primario; estas señales proporcionan información sobre el estado del dispositivo mecánico.

Temperatura

La Temperatura es una variable de entrada fundamental que nos proporcionará una idea clara de la cantidad de frío que estamos produciendo. Mucho o poco frío provocará reacciones no confortables en las personas por lo que la estimación de este parámetro es de suma importancia.

Para su efecto, una señal viajará hacia el Controlador por medio de un cable belden de 2 hilos con la información de la temperatura medida por los siguientes Sensores:

Ducto de Mando

El Sensor de Temperatura del Ducto de Mando realiza la medición del aire acondicionado lo más cerca posible de la boca de la UMA; consiste en un dispositivo con una varilla que está técnicamente acoplada hacia el cuerpo del Sensor, el aire pasa a través de un pequeño orificio; el cuerpo tiene una resistencia eléctrica que cambia su valor óhmico de acuerdo a la variación de temperatura.

El cambio en la resistencia se debe a una propiedad mecánica del material. Esta señal eléctrica es enviada al Controlador para su respectivo procesamiento y la representaremos con **TDM**.

<u>Ambiente</u>

En lugares predeterminados, y en los que de acuerdo a los Cálculos de Carga Térmica se necesite vencer el Calor generado en el espacio, se instalarán Sensores de Temperatura Ambiente para poder regular adecuadamente cualquier cambio en las condiciones de confort, y mantenerlas. El Sensor consiste simplemente en un termistor adaptado a un cuerpo metálico cuyo principio de medición es el mismo, una resistencia eléctrica que varía su valor óhmico de acuerdo a los cambios de temperatura. La relación entre la resistencia y la temperatura es inversamente proporcional. La señal es enviada hacia el Controlador y la representaremos con TA.

Diferencia de Presión

Los cambios de Presión dentro del Sistema de Climatización representan un verdadero problema; la eficiencia del Sistema podría disminuir si por alguna razón mecánica la presión no se mantiene dentro de los valores de diseño; los ductos y las tuberías por donde circulan el aire acondicionado y el agua de enfriamiento podrían verse fisicamente afectados.

Por esta razón, la variable indicada va a ser medida en el Ducto de Mando y en el Circuito Secundario para prevenir las situaciones que estamos describiendo, por medio de los siguientes Sensores:

Ducto de Mando

El Sensor de Diferencia de Presión del Ducto de Mando realiza la medición entre el aire que se dirige al ventilador dentro de la UMA y el aire suministrado en el ducto. El Sensor detecta cualquier variación mecánica y un transductor la transforma en señal eléctrica para ser enviada al Controlador; la señal la representaremos con **DPDM**.

Circuito Secundario

El Sensor se lo coloca entre la succión y descarga de la bomba del Circuito Secundario para mantener la Diferencia de Presión dentro de los valores permisibles. Es un dispositivo que se coloca entre las tuberías; un transductor mide la señal mecánica y la transforma en eléctrica para ser enviada al controlador; la señal la representaremos con **DPBS**.

Estado

El Estado es una señal de entrada digital que nos permite establecer si en el momento de arrancar un equipo, efectivamente este se ha puesto en marcha o está operando de una forma incorrecta.

Los Sensores de Estado nos permiten anticiparnos a una eventual falla mecánica con la finalidad de tomar las respectivas medidas preventivas. Para efectos de control, mediremos el Estado de las máquinas por medio de los siguientes Sensores:

Ventilador de la UMA

El Sensor del Estado del Ventilador de la UMA es un dispositivo que nos permite conocer si éste está en funcionamiento; básicamente consta de una manguera conectada a unos contactos eléctricos; un piquito sobresale de la manguera y es la parte del Sensor donde ingresa el aire, lo cual cambia los estados de los contactos indicando la presencia de flujo de aire; la señal eléctrica es enviada hacia el Controlador y la representaremos con **EV**.

Filtro de la UMA

El Sensor del Estado del Filtro de la UMA mide una Diferencia de Presión entre el aire antes y después de pasar por el mismo.

Esta diferencia de presión se manifiesta en la poca circulación del aire lo cual cambia el estado de los contactos. La señal

eléctrica enviada al Controlador es una medida que nos indica que tan sucio se encuentra el filtro; la señal la representaremos con **EF**.

Circuito Primario

El Sensor del Estado de la Bomba del Circuito Primario sirve para determinar la presencia de flujo de agua en la tubería como una medida del funcionamiento correcto de las UEA.

Cuando el agua pasa a través del piquito, el movimiento de éste debido a la presión cierra un contacto seco normalmente abierto. La señal es enviada al Controlador y la representaremos con **EBP**.

6.4.2 Salidas

Son las señales que el Controlador envía hacia los Actuadores y Variadores de Frecuencia después de haber procesado e interpretado la información recibida por los Sensores. También llamadas "acciones de control" son precisamente las "órdenes" que permiten crear las condiciones de volumen variable en el Sistema.

Dependiendo de los parámetros inicialmente medidos, el Controlador se encargará de comandar el movimiento de los Actuadores y Variadores en beneficio de las condiciones de confort por medio de las siguientes señales:

Actuador- Válvula de Dos Vías

El Actuador permite abrir o cerrar proporcionalmente la Válvula de Dos Vías en función de la Temperatura del Aire en el Ducto de Mando. El Sensor (TDM) constantemente está enviando la información, el Controlador realiza sus interpretaciones y actúa solo cuando las condiciones de confort se ven amenazadas; la señal es enviada al Actuador y este a su vez abre o cierra la Válvula de Dos Vías proporcionalmente de acuerdo a las "ordenes" que recibe; esta consideración permite el paso de mayor o menor cantidad de flujo de agua fría hacia los serpentines de la UMA, regulándose de esta manera la producción de frío. La señal la representaremos con MV.

Actuador- Compuerta de Aire

El Actuador permite abrir o cerrar proporcionalmente la Compuerta de Aire en función de la Temperatura en el Ambiente medida por el Sensor. La señal (TA) entra en el Controlador, es procesada, y una señal de control es enviada al Actuador permitiendo que la Compuerta se abra o se cierre de acuerdo a las "órdenes" recibidas; el porcentaje de movimiento dependerá de la temperatura.

Lógicamente, cuando el calor comienza a afectar a las personas, se requiere un movimiento variable de la Compuerta permitiendo el flujo de mayor o menor cantidad de aire acondicionado a través del ducto, dependiendo de las necesidades térmicas del espacio. La señal la representaremos con **MC**.

Variador de Frecuencia

En los párrafos anteriores se ha explicado la razón básica por la cual utilizamos los Variadores en el Sistema. A continuación detallaremos sus principales funciones:

Encendido/Apagado-UMAS

El Controlador tiene programado la hora de encendido y apagado de las UMAS que suministran un volumen variable de aire, esto es 8 A.M. y 8 P.M. respectivamente. Se envía una

señal de 24 v hasta el Variador, se trasmite la velocidad al ventilador y de esta manera el equipo comienza a trabajar. La señal es representada con **EAM**.

Encendido/Apagado-Bomba Circuito Secundario

Asimismo, el horario de encendido y apagado de las Bombas es 8 A.M. y 6 P.M. respectivamente; el Controlador envía una señal de 24 V al Variador, la velocidad es transmitida al motor de la bomba y por ende se produce la circulación del agua de enfriamiento. La señal es representada con **EABS**.

Motor-UMA

El Sensor de Diferencia de Presión del Ducto envía una señal (DPDM) al Controlador, este compara el valor con el rango permisible, procesa la información y envía una señal de control hacia el Variador de Frecuencia. La velocidad del motor del ventilador es aumentada o disminuida para variar el flujo de aire acondicionado y para estabilizar los valores de presión. La señal es representada con **VFM**.

Motor-Bomba Circuito Secundario

Cuando se produce una variación del Diferencial de Presión establecido en el Circuito Secundario, el Sensor detecta el cambio mecánico del Sistema, envía la información al Controlador, y dependiendo del procesamiento, éste "ordena" al Variador reducir o aumentar la velocidad del motor de la bomba para recuperar los niveles de presión iniciales; a su vez esta consideración permite obtener un flujo variable de agua de enfriamiento. La señal es representada con **VFBS**.

Arrancadores

La función general de los Arrancadores es encender y apagar los equipos de un Sistema. En nuestro proyecto de Climatización, los Arrancadores recibirán la siguiente señal:

Encendido/Apagado-Bomba Circuito Primario

Las Bombas del Circuito Primario son encendidas y apagadas en los horarios establecidos, 8 A.M. y 6 P.M. respectivamente; el Controlador envía la señal hacia el Arrancador, el motor de la bomba adquiere velocidad permitiendo el flujo de agua constante a través del circuito hacia la UEA. La señal es representada con **EABP**.

6.4.3 Señales de Retroalimentación

Son señales de Estado que tienen la particularidad de ser producidas por los Actuadores y Variadores con la finalidad de indicarle al Controlador su porcentaje de movimiento, entre las cuales podemos identificar las siguientes:

Estado Válvula Dos Vías

El Controlador envía la señal hacia el Actuador de la Válvula y éste le devuelve una señal en que le informa si efectivamente se abrió o se cerró proporcionalmente de acuerdo al porcentaje ordenado. La señal es representada con **EVM**.

Estado Compuerta de Aire

Igualmente, el Actuador de la Compuerta al recibir la "orden" del Controlador, le devuelve una señal mediante la cual le informa su porcentaje de movimiento; esta información le sirve al Controlador para determinar una posible falla en el motor de la Compuerta. La señal es representada con **EC**.

Estado Variador de Frecuencia

Los Variadores de Frecuencia que producen el flujo variable en los Sistemas de Distribución tanto del Are Acondicionado como del Agua de enfriamiento, envían una señal de retroalimentación hacia el Controlador para informarle el

porcentaje de aumento o disminución del motor, como una medida preventiva. Las señales son representadas con **EVFM** y **EVFBS** respectivamente.

6.5 Ubicación de cada componente en el Sistema

En los párrafos anteriores hemos descrito los componentes del Sistema de una forma individual mencionando sus características y sus funciones principales dentro del Control de cada una de las Variables; hemos definido cada una de las señales como de Entrada o de Salida y la relación mecánica existente entre los Equipos de Climatización, los Sensores, el Controlador y los Actuadores.

Para que el Sistema de Control quede definido es necesario tomar cada componente y ubicarlo en el Sistema de una forma ordenada, de acuerdo a los requerimientos de Climatización del Edificio y en función de las condiciones de diseño.

Variables de Control – Sistema de Distribución de Aire

Los parámetros que deseamos controlar de cada UMA son la Temperatura del Aire y la Diferencia de Presión en el Ducto de Mando, con la finalidad de ejercer control sobre la Válvula de Dos Vías y el Variador de Frecuencia; el Estado del Ventilador y el Filtro serán verificados adicionalmente como una medida preventiva y de mantenimiento.

Se monitoreará constantemente la Temperatura Ambiente de ciertos espacios específicos de cada piso con la finalidad de ejercer control en la distribución del aire por medio de las Compuertas Reguladoras. Los Actuadores informarán permanentemente su estado o situación de movimiento al Controlador.

<u>Variables de Control – Bomba Circuito Primario</u>

El parámetro que deseamos monitorear en el Circuito Primario es el Estado del Flujo de las Bombas, con la finalidad de prevenir cualquier tipo de falla en los Enfriadores y mantener un flujo constante; adicionalmente, el Controlador comanda las órdenes Encendido/Apagado mediante los Arrancadores.

Variables de Control – Bomba Circuito Secundario

La Diferencia de Presión de las bombas es el parámetro que vamos a medir para mantener las condiciones termomecánicas del Sistema y ejercer control sobre el Variador de Frecuencia, el cual recibe las órdenes Encendido/Apagado enviadas por el Controlador e informa su condición de movimiento.

Todos los parámetros mencionados y las acciones pertinentes son representadas como Señales o Variables de Control, y son mostradas de una forma general en el Apéndice C.1 para cada una de las situaciones descritas.

Cantidad de Sensores, Actuadores, Variadores y Arrancadores

El número de componentes que el Sistema necesita para operar depende simplemente de la cantidad de unidades mecánicas que deseamos monitorear. La Tabla 60 nos muestra las cantidades de Sensores, Actuadores (Válvula de Dos Vias), Variadores y Arrancadores que en conjunto definen el Control y Monitoreo del Sistema de Climatización propuesto para el Edificio.

Las Tablas 61 a la 66 nos muestran la cantidad de Compuertas Reguladoras y por ende, la cantidad de Sensores de Temperatura Ambiente para cada uno de los Pisos que conforman el Edificio; la capacidad de cada Compuerta es calculada en función de las necesidades térmicas del espacio y su ubicación en el Sistema, así como la ubicación de los Sensores de Temperatura Ambiente, son mostradas en los Planos 11 al 16. En el Apéndice B, presentamos una recopilación técnica de información relacionada con los diferentes tipos de Sensores, Controladores y Variadores de Frecuencia utilizados en nuestro Proyecto.

TABLA 60 CANTIDAD DE COMPONENTES DEL SISTEMA DE CONTROL Y MONITOREO

Descripción y Ubicación de los Componentes	Número de Componente por Unidad Mecánica	Número de Unidades Mecánicas del Sistema	Total de Componentes
Sistema de Distribución de Aire - Umas			
Sensor Temperatura Ducto Mando	1	13	13
Sensor Diferencia de Presión Ducto Mando	1	13	13
Sensor Estado Ventilador	1	13	13
Sensor Estado del Filtro	1	13	13
Válvula Dos Vías	1	13	13
Variador de Frecuencia	1	13	13
Circuito Primario - Bombas			
Sensor Estado Flujo	1	3	3
Arrancador	1	3	3
Circuito Secundario - Bombas			,
Sensor Diferencia de Presión	1	2	2
Variador de Frecuencia	1	2	2

TABLA 61
CANTIDAD DE
COMPUERTAS REGULADORAS Pb

Compuerta	CFM
CV 0.1	478
CV 0.2	250
CV 0.3	911
CV 0.4	1255
CV 0.5	1255
CV 0.6	204
CV 0.7	454
CV 0.8	101
CV 0.9	141

TABLA 62 CANTIDAD DE COMPUERTAS REGULADORAS P1

Compuerta	CFM
CV 1.1	1558
CV 1.2	712
CV 1.3	662
CV 1.4	976
CV 1.5	318
CV 1.6	902
CV 1.7	1180
CV 1.8	1011
CV 1.9	284
CV 1.10	529
CV 1.11	1228
CV 1.12	1401
CV 1.13	1249
CV 1.14	360
CV 1.15	574
CV 1.16	331
CV 1.17	188
CV 1.18	1429
CV 1.19	1120
CV 1.20	1571
CV 1.21	945
CV 1.22	191

TABLA 63 CANTIDAD DE COMPUERTAS REGULADORAS P2

Compuerta	CFM
CV 2.1	1385
CV 2.2	714
CV 2.3	637
CV 2.4	191
CV 2.5	346
CV 2.6	461
CV 2.7	215
CV 2.8	1160
CV 2.9	801
CV 2.10	323
CV 2.11	285
CV 2.12	354
CV 2.13	209
CV 2.14	215
CV 2.15	323
CV 2.16	366
CV 2.17	630
CV 2.18	443
CV 2.19	1474
CV 2.20	1241
CV 2.21	1623
CV 2.22	656
CV 2.23	956
CV 2.24	578
CV 2.25	307
CV 2.26	245
CV 2.27	221
CV 2.28	215
CV 2.29	209
CV 2.30	209
CV 2.31	339
CV 2.32	395
CV 2.33	395

TABLA 64 CANTIDAD DE COMPUERTAS REGULADORAS P3

Compuerta	CFM
CV 3.1	1240
CV 3.2	806
CV 3.3	628
CV 3.4	853
CV 3.5	514
CV 3.6	2229
CV 3.7	647
CV 3.8	493
CV 3.9	403
CV 3.10	865
CV 3.11	427
CV 3.12	1237
CV 3.13	1057
CV 3.14	404
CV 3.15	844
CV 3.16	1182
CV 3.17	614
CV 3.18	348
CV 3.19	529
CV 3.20	827
CV 3.21	827
CV 3.22	827
CV 3.23	413

TABLA 65
CANTIDAD DE
COMPUERTAS REGULADORAS P4

Compuerta	CFM
CV 4.1	2435
CV 4.2	3886
CV 4.3	1076
CV 4.4	706
CV 4.5	650
CV 4.6	678
CV 4.7	1103
CV 4.8	843
CV 4.9	530
CV 4.10	388
CV 4.11	907
CV 4.12	939
CV 4.13	319
CV 4.14	594
CV 4.15	673
CV 4.16	1286
CV 4.17	459
CV 4.18	659
CV 4.19	380
CV 4.20	800
CV 4.21	223
CV 4.22	255
CV 4.23	210
CV 4.24	216
CV 4.25	216
CV 4.26	240
CV 4.27	154
CV 4.28	216
CV 4.29	253
CV 4.30	486

TABLA 66 CANTIDAD DE COMPUERTAS REGULADORAS P5

Compuerta	CFM
CV 5.1	2104
CV 5.2	924
CV 5.3	1117
CV 5.4	523
CV 5.5	364
CV 5.6	1447
CV 5.7	1124
CV 5.8	1668
CV 5.9	629
CV 5.10	569
CV 5.11	247
CV 5.12	740
CV 5.13	1437
CV 5.14	1232
CV 5.15	725
CV 5.16	1075
CV 5.17	737
CV 5.18	1206
CV 5.19	1591
CV 5.20	932
CV 5.21	1233
CV 5.22	1288

Cantidad de Controladores

El procedimiento más importante al diseñar el Sistema de Control es el de seleccionar el número de Controladores necesarios para conectar por medio del Bus Principal todas las Variables con la finalidad de ser interpretadas por el Controlador y visualizadas en la Computadora; cada Controlador tiene una capacidad de conexión de 8 entradas y 8 salidas, pero se puede ampliar la conexión si conectamos por medio del Bus Secundario, hasta 3 Módulos de Expansión por Controlador.

Si cada Módulo tiene una capacidad de conexión de 8 entradas y 8 salidas independientemente, significa que 1 Controlador con 3 Módulos de Expansión nos proporciona una capacidad máxima de conexión de 32 entradas y 32 salidas respectivamente.

Para determinar el número de Controladores seguimos el siguiente procedimiento:

- a) Suma de las Señales de Entrada.
- b) Suma de las Señales de Salida.
- c) El resultado mayor de las sumas anteriores se divide para 8 y se lo redondea.
- d) El valor final redondeado se lo divide para 3 y el número entero resultante se lo toma como la cantidad de

Controladores; el resto, es la cantidad de Módulos de Expansión.

Las Tablas 67 a la 73 nos muestran los resultados del Cálculo para determinar el Número de Controladores necesarios para cada definir el Sistema de Control propuesto para el Edificio.

Interconexión del Sistema de Control

Toda la información medida, procesada y ejecutada se la puede visualizar en la Computadora utilizando un Software, debido a que los Controladores están conectados entre si por medio del Bus Principal y a su vez los Módulos de Expansión con el Controlador por medio del Bus Secundario.

En el Apéndice C.2 mostramos un diagrama esquemático del Sistema de Control y Monitoreo interconectado a través de los Buses y su ubicación en cada uno de los pisos que conforman el Edificio; los Controladores están representados con la letra C y los Módulos con la letra M, ambos numerados y direccionados para establecer un orden dentro del Sistema.

TABLA 67
CANTIDAD DE CONTROLADORES Pb

Variable	Entradas	Salidas
TA	9	
TDM	1	
DPDM	1	
EV	1	
EF	1	
MC		9
EC	9	
MV		1
EVM	1	
EAM		1
VFM		1
EVFM	1	
Total=	24	12
Total/8=	3	
#Controladores=	1	
# Módulos=	2	

TABLA 68
CANTIDAD DE CONTROLADORES P1

Variable	Entradas	Salidas
TA	22	
TDM	2	
DPDM	2	
EV	2	
EF	2	
MC		22
EC	22	
MV		2
EVM	2	
EAM		2
VFM		2
EVFM	2	
Total=	56	28
Total/8=	7	
#Controladores=	2	
# Módulos=	5	

TABLA 69
CANTIDAD DE CONTROLADORES P2

Variable	Entradas	Salidas
TA	33	
TDM	2	
DPDM	2	
EV	2	
EF	2	
MC		33
EC	33	
MV		2
EVM	2	
EAM		2
VFM		2
EVFM	2	
Total=	78	39
Total/8=	10	
#Controladores=	3	·
# Módulos=	7	·

TABLA 70
CANTIDAD DE CONTROLADORES P3

Variable	Entradas	Salidas	
TA	23		
TDM	2		
DPDM	2		
EV	2		
EF	2		
MC		23	
EC	23		

MV		2
EVM	2	
EAM		2
VFM		2
EVFM	2	
Total=	58	29
Total/8=	8	
#Controladores=	2	
# Módulos=	6	

TABLA 71
CANTIDAD DE CONTROLADORES P4

Variable	Entradas	Salidas
TA	30	
TDM	4	
DPDM	4	
EV	4	
EF	4	
MC		30
EC	30	
MV		4
EVM	4	
EAM		4
VFM		4
EVFM	4	
Total=	84	42
Total/8=	11	_
#Controladores=	3	
# Módulos=	8	

TABLA 72
CANTIDAD DE CONTROLADORES P5

Variable	Entradas	Salidas
TA	22	
TDM	2	
DPDM	2	
EV	2	
EF	2	
MC		22
EC	22	
MV		2

EVM	2	
EAM		2
VFM		2
EVFM	2	
Total=	56	28
Total/8=	7	
#Controladores=	2	
# Módulos=	5	

TABLA 73
CANTIDAD DE CONTROLADORES
TERRAZA

Variable	Entradas	Salidas
EBP	3	
EABP		3
DPBS	2	
EABS		2
VFBS		2
EVFBS	2	
Total=	7	7
Total/8=	1	
#Controladores=	1	
# Modulos=	0	

En el Apéndice C, del 3 al 16, mostramos esquemáticamente los Diagramas de Conexión de cada Controlador y sus respectivos Módulos, representando las Señales de Entrada y de Salida con la descripción que las caracteriza; los espacios de conexión se han numerado y se relacionan gráficamente con las señales por medio de una flecha; los espacios que no están interconectados con el Sistema son representados por medio de la palabra "libre".

CAPÍTULO 7

7. FACTIBILIDAD DEL PROYECTO

En los problemas que se presentan en el campo de la Ingeniería, no solo es suficiente encontrar una respuesta, es necesario justificarla sobre argumentos que nos permitan concluir que dicha solución es la más idónea.

Para su efecto, el Proyecto que estamos describiendo debe ser analizado desde el punto de vista de la factibilidad del mismo; es decir, que tan posible es aplicar el Sistema propuesto en términos de tiempo, eficiencia y dinero.

Generalmente, el Análisis de Factibilidad se reduce al estudio de los Costos de Instalación y Operación del Sistema en comparación con otros.

Características de un Sistema de Climatización

Para seleccionar un Sistema debemos considerar que, entre otros factores, el consumo de energía de los Equipos Climatizadores representa un 55% de toda la energía consumida por la estructura; por lo tanto, el Sistema Acondicionador de Aire debe cumplir las siguientes características:

- Bajo costo de inversión.
- Confiable en una operación de 24 horas continuas.
- De bajo costo de operación y mantenimiento.
- Flexible y de fácil manejo.
- Eficiente desde el punto de vista energético.

Características principales del Sistema de Agua Enfriada por Aire

El Sistema que hemos elegido para climatizar el Edificio nos proporciona en términos generales las siguientes ventajas:

- Vida útil de 20 años aproximadamente.
- Sistema tipo Industrial
- Instalación eléctrica de fuerza centralizada en la sala de máquinas.
- Rendimiento 1.0 Kw Hr por Ton.
- Mantenimiento centralizado en su mayor parte en la sala de máquinas.

 Carga no es puntual, se la puede trasladar donde se necesite mayor producción de frío.

Otro Sistema de Climatización tal como Expansión Directa es frecuentemente utilizado en las instalaciones de aire acondicionado.

Dicho sistema en comparación con Agua Enfriada por Aire nos ofrece las siguientes características:

- Vida útil de 12 años aproximadamente.
- Sistema tipo Comercial.
- Instalación eléctrica de fuerza está por toda la estructura.
- Rendimiento 1.3 Kw Hr por Ton.
- Mantenimiento no está centralizado.
- Carga es puntual, no se puede trasladar.

De acuerdo a las ventajas que hemos presentado, el Sistema de Agua Enfriada por Aire es el más factible desde un punto de vista técnico.

Análisis de Costos

Para justificar la elección del Sistema de Agua Enfriada por Aire, estudiaremos los Costos de Instalación y Operación del Sistema en comparación con Expansión Directa de acuerdo a un procedimiento definido que explicamos a continuación:

- a. Calcular o definir la Carga Térmica en Ton. necesarias para climatizar la estructura.
- b. Calcular o definir el Consumo Energético del Sistema en Kw / h.
- c. Calcular o definir el costo de cada Kw /h.
- d. Para calcular el Costo de Operación del Sistema utilizamos la Ecuación 7.1:

$$C_{oper} = Ton x Kw/h x N_h x N_d X N_m x N_a x C_{Kw/h}$$
 (7.1)

donde:

Ton = Toneladas de Refrigeración que el Sistema debe suministrar.

Kw/h = Consumo energético del Sistema.

N_h = Horas de Operación del Sistema.

N_d = Días de Operación del Sistema.

N_m = Meses de Operación del Sistema.

N_a = Años de Operación del Sistema.

 $C_{Kw/h} = Costo de cada Kw/h.$

- e. Calcular o definir el Costo de Instalación de 1 Ton. para cada Sistema.
- f. Para calcular el Costo de Instalación del Sistema utilizamos la Ecuación 7.2 :

204

$$C_{inst} = C_{Ton} \times Ton$$
 (7.2)

donde:

C_{Ton} = Costo de la Tonelada del Sistema.

Ton = Toneladas de Refrigeración que el Sistema debe suministrar.

Resultados del Estudio de Factibilidad

Diseñando una Hoja Electrónica de Excel y utilizando las Ecuaciones 7.1 y 7.2, la Tabla 74 nos muestra los resultados del Análisis de Factibilidad para la implementación del Sistema de Agua Enfriada por Aire para satisfacer los requerimientos de climatización del Edificio.

La Diferencia entre los Costos de Operación de los Sistemas es nuestro ahorro en consumo de energía por implementar un Sistema de Agua Enfriada por Aire para climatizar el Edificio.

La Diferencia entre los Costos de Instalación de los Sistemas es nuestra inversión adicional por implementar un Sistema de Agua Enfriada por Aire para climatizar el Edificio.

TABLA 74 ANALISIS DE FACTIBILIDAD

	Ton= 270				
	-	Agua Enfriada	Por Aire	Expansión Direc	ta
Kw/h		1,1		1,5	
C _{Kw/h}			0,08		
N _h			10		
N _d			22		
N _m			12		
N _a			15		
C _{oper}	\$	940.896		\$ 1.283.040	
C _{Ton}	\$	1.800		\$ 1.000	
C _{inst}	\$	486.000		\$ 270.000	
Diferencia C _{oper}				\$ 342.144	
Diferencia C _{inst}				\$ 216.000	
Ndif (Años)					9

Si en **15 años** por implementar el Sistema de Agua Enfriada por Aire tendremos un ahorro de **342.144 dólares** en consumo de energía, la diferencia por instalación de **216.000 dólares** es pagada en **9 años**.

CAPÍTULO 8

8. ESPECIFICACIONES TÉCNICAS

En el presente Capítulo describiremos las Especificaciones Técnicas de los principales componentes del Sistema de Climatización con la finalidad de completar la información sobre ellos.

Unidades Enfriadoras de Agua

Se suministrarán e instalarán, dos Enfriadores de agua. Estos deberán ser ensamblados en fábrica y trabajarán con Refrigerante 410A (refrigerante no tóxico, no produce daños a la atmósfera), del tipo integral.

El Enfriador será del tipo de expansión directa con refrigerante en los tubos, estará aislado de fábrica y cubierto con una barrera de vapor contra la humedad. Será construido y ensayado de acuerdo con los códigos y

requisitos de la "ASME". Tendrá cabezas de agua desmontables para facilitar el mantenimiento. La presión de trabajo en el lado del agua será de 125 psig.

Todos los Compresores serán del tipo caracol hermético (scroll); trabajarán a 460 voltios, 3 fases, 60 ciclos.

El Condensador será enfriado por aire, del tipo de intemperie, el cual consistirá básicamente de serpentín de condensación construido en tubería de cobre con aletas de aluminio, ventiladores helicoidales para descarga vertical con su respectivo motor, diseñado para una presión de trabajo de 450 psig y bajo ruido.

Los circuitos de refrigerante constarán de líneas de succión debidamente aisladas, válvula de expansión electrónica o termostática, visores con indicadores de humedad y válvula de carga.

El conjunto de cada unidad será montado sobre bases antivibradoras que impidan el paso de ruidos y vibraciones a la estructura del Edificio.

Las Unidades a suministrar deberán tener una capacidad mínima de 270 Ton. cada una, cuando enfría 648 GPM de agua a 44°F, y el aire que pasa por el Condensador tiene una temperatura máxima de 92°F, teniendo un consumo máximo de 355 Kw. La pérdida de presión no excederá 20 pies de columna de agua al pasar por el Enfriador.

<u>Unidades Manejadoras de Aire</u>

Se suministrarán e instalarán, 13 Unidades Manejadoras de Aire con sus accesorios respectivos.

La sección del ventilador, tendrá ventiladores centrífugos del tipo de aletas múltiples inclinadas hacia delante, de doble ancho y doble entrada, balanceados estática y dinámicamente.

El motor que se suministre en conjunto con cada Unidad, será trifásico para 230 voltios y un máximo de 1750 RPM.

El serpentín de enfriamiento debe ser del tipo de tubos de cobre sin costura y aletas de aluminio, del cual habrá un mínimo de ocho y un máximo de catorce por pulgada de longitud, teniendo el número de hileras necesarias para la carga especificada; el serpentín debe ser ensayado a una presión de 300 psig.

Bombas de Agua Fría

Se suministrará para ser instaladas, 5 bombas de agua tipo monoblock estando el conjunto montado sobre una base integral de acero.

Las bombas serán centrífugas horizontales con carcaza de hierro fundido, diseñadas para una presión de trabajo de 150 psig, impulsor cerrado de

bronce, eje de acero inoxidable y sello mecánico. La operación de las bombas debe ser libre de vibraciones y ruidos.

Los motores que se suministren en conjunto con las bombas, serán trifásicos, con velocidad máxima de 1750 RPM, para operar a 460 voltios.

Las bombas se montarán sobre bases de inercia fabricadas en concreto, conformadas por marcos metálicos construidos en perfil de acero, las cuales estarán a su vez montadas sobre aisladores de vibración basándose en resortes, iguales o similares aprobados al Modelo A, fabricado por "VIBRATION MOUNTINGS AND CONTROLS, INC", que tendrán una deflexión mínima de 1".

Dentro del marco metálico, se fundirá una base de concreto con varillas de refuerzo, que en conjunto tenga un peso mínimo igual a 1¹/₂ vez el peso de la bomba.

Redes de Agua Fría

Se suministrará e instalará las redes de agua fría, de acuerdo con las dimensiones, rutas generales y detalles de los planos, utilizando tubería de acero sin costura cédula 40, con uniones roscadas ó soldadas para tuberías hasta 2" y soldadas de 2 ½" en adelante.

Las tuberías con diámetro iguales o mayores a 2 ½" se unirán mediante soldadura eléctrica que cumpla con las Norma Clase AWSE-6010 ó E-6011, para ser aplicada con soldadura de corriente continua, con una resistencia a la tracción de Kg/mm², valor impacto Charpy-V de 9.8 Kg; alargamiento en 2" de 24%, contracción de 40%, dureza 170 Brinell.

Las tuberías con diámetro igual o menor a 2" se podrán unir por roscas, o soldadura de igual tipo antes especificado, según convenga.

Las válvulas serán todas de paso directo para tuberías hasta de 2", para tuberías mayores serán bridadas. Todas las válvulas serán diseñadas para una presión de 125 psig.

Todas las tuberías después de ser probadas y en el caso de las redes de agua fría, antes de ser aisladas, serán cubiertas de una pintura anticorrosiva aprobada.

Aislamiento para Redes de Agua Fría.

Todo el Sistema de tuberías de agua fría, deberá ser aislado térmicamente, incluyendo válvulas, codos, uniones, filtros, bridas, etc.

Todo el aislamiento estará recubierto por una barrera de vapor continua, completamente impermeable al vapor de agua. La barrera de vapor no

tendrá rajaduras, grietas ni perforaciones, será instalada de tal manera que no haya parte alguna del aislamiento expuestas a la atmósfera.

Las redes de agua fría serán aisladas con aislamiento preformado en cañuelas de poliuretano expandido de una densidad de 25 Kg/m³, que lo hace resistente a la compresión, que tienen un bajo coeficiente de conductividad 0.036 W/m.ºK.

Ductos

Se deberá construir e instalar todo el Sistema de ductos de acuerdo con los planos del proyecto, para lo cual se suministrará todos los materiales necesarios, de acuerdo a las siguientes especificaciones:

Lámina.- Se empleará lámina lisa de acero galvanizado de primera calidad, de acuerdo con los calibres que se enumeran enseguida. En ningún caso se aceptará el empleo de lámina galvanizada que muestre deterioro en sus pliegues o quiebres.

- Ductos cuyo lado mayor este comprendido entre 0 y 12": Calibre No.
 26 (0.55, 0.47, 0.63)
- Ductos cuyo lado mayor este comprendido entre 13" y 30": Calibre No.
 24 (0.70, 0.60, 0.80)
- Ductos cuyo lado mayor este comprendido entre 31" y 54": Calibre No.
 22 (0.85, 0.75, 0.95)

- Ductos cuyo lado mayor este comprendido entre 55" y 84": Calibre No.
 20 (1.00, 0.90, 1.10)
- Ductos cuyo lado mayor sea a 85": Calibre No. 18 (1.31, 1.18, 1.44).

Los números entre paréntesis son las tolerancias de los calibres (normal, mínimo, máximo).

Uniones Transversales.- Las uniones transversales entre secciones se harán de la siguiente manera:

- Ductos cuyo lado mayor este comprendido entre 0 y 20". "S-Slip" de 1".
- Ductos cuyo lado mayor este comprendido entre 21" y 40". "Bar-Slip" de
 1".
- Ductos cuyo lado mayor este comprendido entre 41" y 60": unión de flange en ángulo de hierro de 1" x 1" x 1/8".
- Ductos cuyo lado mayor este comprendido entre 61" y 96": unión de flange en ángulo de hierro de 1-1/2" x 1-1/2" x 1/8".
- Ductos cuyo lado mayor 97": unión de flange en ángulo de hierro de 2" x
 2" x 1/4".
- Las uniones flange tendrán su correspondiente empaque.

Uniones Longitudinales.- Las uniones longitudinales en las esquinas de todos los ductos se harán utilizando unión tipo "Pittsburg".

Sellamiento.- La construcción de todos los ductos y sus uniones será hecha en forma tal que los escapes de aire queden reducidos a un mínimo. Además todas las uniones transversales y de accesorios serán selladas con masilla plástica; sin embargo este recurso no será utilizado para tapar escapes producidos por defectos en la construcción e instalación.

Refuerzos Transversales.- Los conductos tendrán refuerzos transversales intermedios entre las uniones, de la siguiente manera:

- Lado comprendido entre 0 y 15": sin refuerzo.
- Lado comprendido entre 16" y 25": sin refuerzo pero con la lámina quebrada en forma de diamante.
- Lado comprendido entre 26" y 43": refuerzo en ángulo de 1" x 1" x ¹/₈".
- Lado comprendido entre 43" y 96": refuerzo en ángulo de 1 $^{1}/_{2}$ " x 1 $^{1}/_{2}$ " x $^{1}/_{8}$ ".
- Lado comprendido entre 97" y 125": refuerzos en ángulo de 2" x 2" x
 ½".
- Lado mayor a 126": refuerzos en ángulo de 2" x 2" x 1/4" cada 14".

Codos.- Todos los codos deberán tener radio igual o mayor al lado del ducto; donde por dificultades de espacio no pueda obtenerse este radio mínimo, podrán instalarse codos sin radio, siempre y cuando sean provistos de deflectores dobles, de construcción igual a la especificada en los planos de detalles.

Piezas de Transición.- Las piezas de transición entre ductos de secciones diferentes, serán hechas con pendientes que no excedan 1 a 5 en cualquier cara del ducto y preferiblemente 1 a 7 donde ello sea posible.

Compuertas.- En las partes indicadas en los planos, se instalarán compuertas reguladoras de aire de fácil manejo exterior, para el correcto Balanceamiento del Sistema. Toda compuerta ajustable tendrá indicación exterior que permita determinar su posición y compuerta de acceso en inspección en el ducto. Los reguladores serán construidos de acuerdo a los detalles de los planos y en forma tal que no produzcan ruidos ni vibraciones metálicas. Los marcos deberán ser construidos con perfiles de acero galvanizado, calibre # 14 y soldados de tal manera que formen una sola estructura. Sobre los laterales se insertarán los cojinetes para los ejes de las hojas. Deberán tener sellos elastoméricos en los cantos de las hojas y en todo el perímetro del marco, para evitar fugas de aire.

Aislamiento.- Los Sistemas de Enfriamiento de aire tendrán un ducto de suministro aislado a partir de la unidad, con aislante térmico de lana de fibra de vidrio de una libra por pie cúbico de densidad y 1-1/2 de espesor, igual o similar al modelo CA-26 de Fiberglas, el cual irá recubierto a su vez con barrera de vapor debidamente aplicada y sellada en los extremos y uniones para evitar totalmente las filtraciones de la humedad.

<u>Difusores y Rejillas</u>

Los elementos terminales de distribución de aire deberán cumplir las especificaciones en los planos; todos los Difusores de Mando, serán de cuatro o tres vías construidos en aluminio, de los tamaños indicados en los planos similares al modelo **CB** de Air Guide; todas las Rejillas de Retorno, serán de tipo álabe fijo inclinados 45°, construidos en aluminio, de los tamaños indicados en los planos similares al modelo **RA--A** de Air Guide.

Ductos Flexibles

Se debe suministrar e instalar toda la ductería flexible requerida para interconectar el Sistema de ductos con los difusores de suministro, la cual será igual o similar al modelo M-KE fabricado por "THERMAFLEX", especial para presiones hasta de 2", con su correspondiente aislamiento térmico de R-4.2 1¹/₂ espesor y barrera de vapor.

El tubo interior será construido en polipropileno Calibre No. 4. Se utilizará alambre acerado tipo plano de 1 mm; el alambre será adherido con cinta de polipropileno tipo "Super Ecoflex" de 72 mm. de ancho; la barrera de vapor será construida en polipropileno Calibre No. 4.

Paneles de Control Digital Directo

Los paneles deberán ser de estado sólido, basados en microprocesadores que regularán el funcionamiento de todo el equipamiento termomecánico del Edificio, usando rutinas de control digital directo de tipo lazo cerrado y rutinas especiales para administración y ahorro de energía. Los paneles electrónicos deberán ser instalados en gabinetes metálicos con protección NEMA 1, tipo puertas abisagradas con cerradura y llave común a todos los paneles.

Los paneles serán capaces de recibir señales analógicas y digitales; las analógicas serán termistores, RTD, normalizadas dC 4-20 mA ó 2-10 V dC; las digitales serán de tipo contacto seco y podrán ser permanentes o pulsatorias.

Estación de Operación Central

El Sistema de Control y Monitoreo deberá contar con una estación de operación central compuesta por un computador tipo PC Pentium IV con una memoria RAM de 512 Mb al menos, una disketera para micro floppy de 3" 1/2, lectora de CD de 52X, un hard disk de al menos 120 Gb., un monitor color SVGA de 17", un mouse y una impresora matricial de carro ancho.

CAPÍTULO 9

9. CONCLUSIONES Y RECOMENDACIONES

En los Capítulos anteriores hemos presentado los Cálculos para definir los parámetros que regirán cada uno de los componentes que conforman el Sistema de Climatización propuesto.

Inicialmente, recopilamos los detalles arquitectónicos concernientes al Edificio por medio de los Planos y definimos un determinado número de factores tales como dimensiones, cantidades de vidrios, paredes externas e internas, azotea, losas, número de personas, luces, etc, y hemos calculado sobre la base de procedimientos, la Ganancia de Calor que cada uno de ellos produce así como la Carga de Enfriamiento necesaria para contrarrestar dichos efectos térmicos; obviamente, hemos alcanzado un conocimiento claro de ambos conceptos ya que para el desarrollo de los cálculos hemos utilizado ecuaciones que demuestran su relación y diferencia.

El Balanceamiento Térmico es un procedimiento necesario para definir la Hora de Diseño; es importante destacar la Diversidad de la Carga de Enfriamiento; a pesar de que las Máximas Ganancias ocurren a diferentes horas del día como lo demuestran los cálculos, la Máxima Carga de Enfriamiento (Sumatoria de todas las Cargas Individuales) ocurre a las 4:00 P.M.

Dividir la Carga Total del Edificio para dos Unidades de Enfriamiento es una decisión correcta porque un número menor o mayor pondría en riesgo la seguridad del Sistema o incrementaría los Costos de Instalación, respectivamente; por otro lado, estudiar individualmente el comportamiento térmico del Auditorio, las Aulas y el Comedor ha sido una consideración fundamental para nuestros resultados debido a la alta Carga Latente con que estos ambientes contribuyen a la Carga, básicamente por el número de personas.

Las características de las Superficies de Enfriamiento que hemos determinado son las necesarias para mantener las condiciones térmicas del Sistema pero no las únicas, porque los Cálculos Psicrométricos dependen obviamente de la Carga de Enfriamiento, y del Factor de Bypass que hemos seleccionado en base a las recopilaciones bibliográficas y a los criterios proporcionados por un grupo de Ingenieros con una amplia trayectoria en el campo de la Climatización.

Las dimensiones de los Sistemas de Distribución son las mínimas para suministrar bajo las Condiciones de Diseño, el agua de enfriamiento y el aire acondicionado, respectivamente; cada una de las variables involucradas en el proceso y la metodología de cálculo, han sido seleccionadas de acuerdo a las Recomendaciones Técnicas y a las Normas Internacionales; el recorrido de las tuberías y de los ductos se ha trazado lo más simétrico posible como lo muestran los Planos, con la finalidad de reducir las pérdidas por fricción y mantener el funcionamiento estable del Sistema; la potencia requerida por el motor de las UMAS y de las bombas ha sido calculada para suministrar el flujo de una forma homogénea, hasta el punto más lejano del Sistema.

La implementación del Control y Monitoreo contribuye a la eficiencia del Sistema de Climatización; el flujo variable se produce justamente por la interacción de cada componente de Control; los diferentes ambientes son climatizados con la cantidad necesaria de aire de acuerdo a la Carga Instantánea, debido al movimiento de las Compuertas Reguladoras ubicadas en cada ramificación del Sistema de Ductos como lo muestran los Planos; la producción de frío es controlada por el movimiento de la Válvula de Dos Vías que proporciona un flujo variable de agua de enfriamiento a cada UMA; el ahorro de energía se ve reflejado en los Costos de Operación porque el consumo eléctrico es menor, debido a que el Sistema de Control regula constantemente el proceso de

climatización de acuerdo a la Carga que el Edificio necesita en determinado instante.

El procedimiento para calcular la Carga Térmica del Edificio, los Parámetros del Serpentín, el Máximo Cabezal y la Potencia de las bombas y de las UMAS, ha sido revisado cuidadosamente así como las operaciones matemáticas involucradas; la utilización de una Hoja Electrónica de Excel garantiza nuestros resultados.

El uso de las Tablas y de los Gráficos del Apéndice, nos ha permitido mejorar nuestra capacidad de desición al tener que seleccionar los diferentes valores, de acuerdo a un criterio razonable.

El desarrollo de este Proyecto ha incrementado nuestros conocimientos sobre los Procesos de Climatización y ha sido una oportunidad para iniciarse con paso firme en el amplio campo que nos ofrece la Ingeniería.

Recomendamos para los futuros trabajos, climatizar el Edificio por medio de otro Sistema con la finalidad de comparar los resultados.

BIBLIOGRAFÍA

- 1. AIR GUIDE, Manual de Diseño de Difusores y Rejillas, 1982.
- 2. ASHRAE HANDBOOK FUNDAMENTALS, 1985.
- 3. CARRIER, System Design Manual, Air Distribution, Part 2, 1974.
- 4. CARRIER, System Design Manual, Load Estimating, Part 1, 1972.
- 5. CARRIER, System Design Manual, Piping Design, Part 3, 1973.
- FAIRES VIRGIL M., Termodinámica, Segunda Edición, Unión Tipográfica Editorial
 Hispano Americana, México 1973.
- INCROPERA FRANK P., Fundamentos de Transferencia de Calor, Cuarta Edición, Prentice Hall, México 1999.
- SANCHEZ GERMAN, "Diseño y Especificaciones Técnicas del Sistema de Aire Acondicionado para el Pabellón Central del Hospital Luis Vernaza" (Tesis, Facultad de Ingeniería Mecánica y Ciencias de la Producción, Escuela Superior Politécnica del Litoral, 1984).

 SONNTAG – VAN WYLEN, Introducción a la Termodinámica Clásica y Estadística, Grupo Noriega Editores, México 1994.

APÉNDICE A

APÉNDICE A.1

VARIACIONES DE LA TEMPERATURA EXTERIOR EN GUAYAQUIL

HORA	TEMPERATURAS Bulbo Seco	EXTERIORES (°F)
5 a.m.	74.0	Bulbo Húmedo
6 a.m.	74.4	71.8
7 a.m.	75.0	72.4
8 a.m.		72.7
	76.0	73.5
9 a.m.	78.0	74.8
10 a.m.	80.5	76.4
11 a.m.	84.0	77.8
12 p.m.	87.0	78.7
1 p.m.	90.0	79.4
2 p.m.	91.5	79.8
3 p.m.	92.0	80.0
4 p.m.	91.5	
5 p.m.	90.0	79.8
6 p.m.	88.3	79.4
		79.1
7 p.m.	86.3	78.5
8 p.m.	84.5	78.0
9 p.m.	83.0	77.5

Fuente: Tesis de Grado del Ing. Germán Sánchez - 1984

APÉNDICE A.2

CONDICIONES INTERIORES DE DISEÑO RECOMENDADAS

TIPO DE	DEI	UJO	COME	DCIAL
APLICACIÓN	TBS	HR	TBS	HR
	(F)	(%)	(F)	(%)
Confort General Apartamentos, Casas., Hoteles, Hospital, Escuelas, etc.	74.76	50.45	77-79	50-45
Tiendas Comerciales Pocas personas, Bancos, Barberías, Departamentos, etc.	76-78	50-45	78-80	50-45
Bajo Factor de Calor Sensible Aplicaciones (Alta Carga Latente) Auditorios, Iglesias, Bar, Restaurantes, Cocina, etc.	76-78	55-50	78-80	60.50
CONFORT EN INDUSTRIAS Asambleas, Areas de Trabajo Pesado, Cuartos de Máquina, etc.	77-80	55-45	80-85	60-50

Fuente : Fundamentos de Climatización, Carrier "Carga de Enfriamiento" Tabla 4 Pag. 20

APÉNDICE A.3

GANANCIA DE CALOR A TRAVÉS DE UN VIDRIO ORDINARIO 0° LATITUD SUR

U		$\overline{}$		-	AM									
		6	7	8	9	10	11				PM			
Dia	Orient.	0	6	11	13	14		12	1	2	3		5	6
Die	Norte	0	45	65	74	78	14	14	14	14	13	11	6	
	Sur	0	116	147	135	93	80	82	80	78	74	65	45	
Dic-22	Este	0	6	11	13	14	43	14	14	14	13	11	6	(
Dic-2-	10000	1	28	87	147	191	14	14	43	93	135	147	116	(
	Horizontal	0	20	0,	117	191	217	226	217	191	147	87	28	0
			- 6	11	13	441								
	Norte	0	37	54	61	14	14	14	14	14	13	11	6	0
Nov-21	Sur	0	121	152	139	65	66	67	66	65	61	54	37	(
	Este		6	11	13	96	43	14	14	14	13	11	6	0
Ene-21	Oeste	0	29	91	151	14	14	14	43	96	139	152	121	
	Horizontal	0	29	31	131	195	223	233	223	195	151	91	29	0
			6	12	10									
	Norte	0	6 17	28	13 31	14	14	14	14	14	13	12	6	. 0
Oct-23	Sur	0				33	34	34	34	33	31	28	17	0
	Este	0	129	163	148	103	46	14	14	14	13	12	6	0
Feb-20	Oeste	0	6	12	13	14	14	14	46	103	148	163	129	0
	Horizontal	0	31	97	150	206	234	245	234	206	150	97	31	0
				401	101									
	Norte	0	6	12	13	14	14	14	14	14	13	12	6	0
Mar-22	Sur	0	6	12	13	14	14	14	14	14	13	12	6	0
- 00	Este	0	134	167	151	107	47	14	14	14	13	12	6	0
Sep-22	Oeste	0	6	12	13	14	14	14	47	107	151	167	134	0
	Horizontal	0	32	100	163	210	240	250	240	210	163	100	32	0
103														
Abr-20	Norte	0	17	28	31	33	34	34	34	33	31	28	17	0
ADI-20	Sur	0	6	12	13	14	14	14	14	14	13	12	6	0
1 24	Este	0	129	163	148	103	46	14	14	14	13	12	6	0
Ago-24	Oeste	0	6	12	13	14	14	14	46	103	148	163	129	0
	Horizontal	0	31	97	150	206	234	245	234	206	150	97	31	0
									550	•				
May 24	Norte	0	37	54	61	65	66	67	66	65	61	54	37	0
May-21	Sur	0	6	11	13	14	14	14	14	14	13	11	6	0
Jul-23	Este	0	121	152	139	96	43	14	14	14	13	11	6	0
Jul-23	Oeste	0	6	11	13	14	14	14	43	96	139	152	121	0
	Horizontal	0	29	91	151	195	223	233	223	195	151	91	29	0
	Norte	0	45	65	74	78	80	82	80	78	74	65	45	0
Jun-21	Sur	0	6	11	13	14	14	14	14	14	13	11	6	0
7 9 H - Z	Este	0	116	147	135	93	43	14	14	14	13	11	6	0
	Oeste	0	6	11	13	14	14	14	43	93	135	147	116	0
	Horizontal	0	28	87	147	191	217	226	217	191	147	87	28	0
								-						
			Marco	metàlic	o T	N	leblina		Р	R < 67°F		Lat	titud Si	ur
Corre	cciones			marco	-		-15%		+ 7	% por 10	0°F	Dicien	nbre o E	nero
Ganan	cia Solar			1.17			Altitud		PI	R > 67°F			7%	
			* 1	5.5(5·5)			6 por 10	000 ft	-79	% por 10)°F			
						. 0,1 /								

Fuente Fundamentos de Climatización , Carrier "Carga de Enfriamiento" Tabla 15 Pág 45 TBS=95°F , TBH=75°F , PR=67°F

APÉNDICE A.4 GANANCIA DE CALOR A TRAVÉS DE UN VIDRIO ORDINARIO O° LATITUD SUR CORREGIDA PARA CONDICIONES DEL PROYECTO

			AM			S	un Ti	mo						
	Orient.	6	7	8	9	10	11	12					PM	
Dia	Norte	0	7,02	12,9	15,2	16,4	16,4	16,4	-	2	3		5	6
	Sur	0	52,7	76,1	86,6		93,6		16,4	16,4	15,2	12,9	7,02	0
Dec 22	Este	0	136	172	158	109	50,3	-		91,3	86,6	76,1	52,7	0
De	Oeste	0	7,02	12,9	15,2	16,4	16,4	- 1	16,4	16,4	15,2	12,9	7,02	0
	Desic	0	202	274	275	233	177	16,4	50,3	109	158	172	136	0
						200	177	145	177	233	275	274	202	0
	Norte	1 0	7,02	12,9	15,2	16,4	16.4	40.4	10.					
Nov-21	Sur	0	43,3	63,2	71,4	76,1	16,4	16,4	16,4	16,4	15,2	12,9	7,02	0
110		0	142	178	163	112	77,2	78,4	77,2	76,1	71,4	63,2	43,3	0
Ene-21	Este	0	7,02	12,9	15,2	-	50,3	16,4	16,4	16,4	15,2	12,9	7,02	0
Lile	Oeste	0	199	267		16,4	16,4	16,4	50,3	112	163	178	142	0
		1 0	133	201	264	221	160	128	160	221	264	267	199	0
		1 0	C EC	12.1	110	15.0								
Oct-23	Norte	0	6,56	13,1	14,2	15,3	15,3	15,3	15,3	15,3	14,2	13,1	6,56	0
001-20	Sur	0	18,6	30,6	33,9	36,1	37,2	37,2	37,2	36,1	33,9	30,6	18,6	0
Feb-20	Este	0	141	178	162	113	50,3	15,3	15,3	15,3	14,2	13,1	6,56	0
Feb-20	Oeste	0	6,56	13,1	14,2	15,3	15,3	15,3	50,3	113	162	178	141	0
		0	173	235	224	179	118	83	118	179	224	235	173	0
Mar-22	Norte	0	6,56	13,1	14,2	15,3	15,3	15,3	15,3	15,3	14,2	13,1	6,56	0
Mar-22	Sur	0	6,56	13,1	14,2	15,3	15,3	15,3	15,3	15,3	14,2	13,1	6,56	0
	Este	0	147	183	165	117	51,4	15,3	15,3	15,3	14,2	13,1	6,56	0
Sep-22	Oeste	0	6,56	13,1	14,2	15,3	15,3	15,3	51,4	117	165	183	147	0
		0	166	222	208	163	97	61	97	163	208	222	166	0
	Norte	0	18,6	30,6	33,9	36,1	37,2	37,2	37,2	36,1	33,9	30,6	18,6	0
Abr-20	Sur	0	6,56	13,1	14,2	15,3	15,3	15,3	15,3	15,3	14,2	13,1	6,56	0
	Este	0	141	178	162	113	50,3	15,3	15,3	15,3	14,2	13,1	6,56	0
Ago-24	Oeste	0	6,56	13,1	14,2	15,3	15,3		50,3	113	162	178	141	0
		0	173	235	224	179	118	83	118	179	224	235	173	0
														$\overline{}$
	Norte	0	40,5	59	66,7	71,1	72,2	73,3	72,2	71,1	66,7	59	40,5	0
May-21	Sur	0	6,56	12	14,2						14.2	12	6,56	0
	Este	0	132	166	152	105	47		15,3	15,3	14,2	12	6,56	0
Jul-23	Oeste	0	6,56	12	14,2	15,3			47	105	152	166	132	0
	Ocote	- 0	186	249	247	207	150	119	150	207	247	249	186	0
		- 0	100	243	241	201	100	110	100	20.	-11		100	
	Norte		40.21	71 4	80.0	85,3	87,5	89,7	87,5	85,3	80,9	71,1	49,2	0
	Sur	0	49,2	71,1	80,9				15,3	15,3	14,2	12	6,56	0
Jun-21	Este	0	6,56	12	14,2	15,3	47	15,3				12	6,56	0
	Oeste	0	127	161	148	102			47	102	148	161	127	0
	Desie	0	6,56	12	14,2	15,3	15,3		165	218	257	256	189	
		0	189	256	257	218	165	136	100	410	40/	200	109	0

APÉNDICE A.5 FACTORES DE SOMBRA PARA LA GANANCIA DE CALOR A TRAVÉS DE VIDRIOS

	Factor Sin	Venec Celos Verti	Veneciana Interna 45° Celosía Horizontal o Vertical con Sombra	na 45° ntal o mbra	Veneciana Celosía F	Veneciana Externa 45° Celosía Horizontal	Dispositivo de Sombra Externo con	vo de erno con	Ventana Externa con Cortina	terna con
Tipo de viario	Sombra							Jaia		
		Color	Color	Color	Color	Color	Color	Color	Color	Color
-		Claro	Mediano	Oscuro	Claro	Oscuro	Mediano	Oscuro	Claro	Mediano u
Vidrio Ordinario	1.00	.56	59.	.75	.15	:I:	.22	5	0,0	75
Plancha Regular (1/4 in.)	.94	.56	.65	.74	7	17	21	1	01	
Vidrio Absorbente de Calor							!		.1.	† † † † † † † † † † † † † † † † † † †
40 a 48% Absorbente	08.	.56	.62	.72	.12	=	-18	1.7	19	0,0
48 a 56% Absorbente	.73	.53	.59	.62	=:	.10	.16	=	2	01
56 a 70% Absorbente	.62	.51	.54	.56	01.	.10	77	101	51.	1.0
DOBLE CUADRO									?!	01.
Vidrio Ordinario	06.	.54	19:	79.	41.	.12	20	77	18	cc
Plancha Regular	.80	.52	.59	.65	.12	11.	81.	12	16	300
48 a 56% Absorbente Externo:									0.7.	7.
Vidrio Ordinario Interno	.52	.36	.39	.43	01.	.10	11.	10	10	
48 a 56% Absorbente Externo:								2	01.	C1.
Plancha Regular Interna	.50	.36	.39	.43	.10	.10		101	101	13
TRIPLE CUADRO								2	2	-1-
Vidrio Ordinario	.83	.48	.56	49.	.12	11.	18	1.2	2	20
Plancha Regular	69:	.47	.52	.57	01.	01.	15	2	27.	101
VIDRIO PINTADO									*:	1
Color Claro	.28									
Color Medio	.39								-	
Color Oscuro	.50									
VIDRIO DE COLOR								I		
Amber	.70									
Rojo Oscuro	.56									
Azul Oscuro	09:		_							
Verde Oscuro	.32									
Verde Gris	.46							anguari addition the		
t		1		1		_		-		

Fuente : Fundamentos de Climatización, Carrier "Carga de Enfriamiento" Tabla 16 Pág 52

A TRAVÉS DE VIDRIOS PARA 12 HORAS DE OPERACIÓN DEL SISTEMA FACTORES DE ALMACENAMIENTO PARA LA GANANCIA DE CALOR APÉNDICE A.6

				A	AM		Sun Time	a E			Md			
Orient.	Peso	9	7	00	თ	10	11	12	1	2	3	4	22	w
	150	0,28	0,25	0,40	0,53	0,64	0,72	0,77	0,77	0,73	0,67	0,49	0,31	0
Norte	100	0,26	0,22	0,38	0,51	0,64	0,73	0,79	0,79	0,77	0,65	0,51	0,31	0
	30	0,21	0,29	0,48	0,67	0,79	0,88	0,89	0,83	0,56	0,50	0,24	0,15	0
	150	96'0	96'0	96'0	96'0	96'0	96'0	96'0	96'0	96'0	96'0	0,96	96.0	0
Sur o Sombra	100	86'0	0,98	0,98	0,98	0,98	0,98	0,98	0,98	0,98	0,98	0,98	0,98	0
	30	1,00	1,00	1,00	1,00	1,00	1,00	1,00	1,00	1,00	1,00	1,00	1,00	0
	150	0,51	99'0	0,71	19'0	0,57	0,40	0,29	0,26	0,25	0,23	0,21	0,19	0
Este	100	0,52		0,73	0.70	0,58	0,40	0,29	0,26	0,24	0,21	0,19	0,16	0
	30	0,53	0,74	0,82	0,81	0,65	0,43	0,25	0,19	0,16	0,14	0,11	0,09	0
	150	0,63	0,31	0,28	0,27	0,25	0,24	0,22	0,29	0,46	0,61	0,71	0.72	0
Oeste	100	19'0	0,33	0,28	0,26	0,24	0,22	0,20	0,28	0,44	0,61	0,72	0,73	0
	30	0,77	0,34	0,25	0,20	0,17	0,14	0,13	0,22	0,44	29'0	0,82	0,85	0

Fuente : Fundamentos de Climatización , Carrier "Carga de Enfriamiento" Tabla 11 Pág 34

APÉNDICE A.7 FACTORES DE CALOR SOLAR PARA BLOQUES DE VIDRIO

EXPOSICIÓN	FACTORES	FACTORES MULTIPLICATIVOS	VOS	EXPOSICIÓN
LATITUD	Factor	Absc	Absorción	LATITUD
NORTE	de Transmisión	Factor	Horas	SUR
	Bi	Ba	Después	
Noreste	.27	.24	3.0	Sureste
Este	.39	.21	3.0	Este
Sureste	.35	.22	3.0	Noreste
Sureste				Norte
Verano	.27	.24	3.0	Verano
Invierno	.39	.22	3.0	Invierno
Suroeste	.35	.22	3.0	Noroeste
Oeste	.39	.21	3.0	Oeste
Noroeste	.27	.24	3.0	Suroeste

Fuente : Fundamentos de Climatización, Carrier "Carga de Enfriamiento" Tabla 17 Pág 54



APÉNDICE A.8 COEFICIENTES DE TRANSMISIÓN DE CALOR PARA VIDRIOS

Espesor	1/8 in.	3/16 in.	1/4 in.	3/8 in.	1/2 in.
Acrílico Transp	atente o	Cubierto	de Polica	rhonato	1/2 111.
Superficie Simple	1.07	1.01	0.96	0.88	0.81
Reflectivo			0.88		
Doble Superficie Vidriosa con 1/4 de Espacio de Aire	0.54	0.51	0.49		
Doble Superficie Vidriosa con 1/2 de Espacio de Aire	0.47	0.45	0.43		
	Ord	inario	1		
Superficie Simple Sombra Interna					0.83
Superficie Simple sin Sombra					1.10
Doble con Aislamiento	0.52				
	Bloques	de Vidrio		4	
	Descripció	n			U
5 3/4 x 5 3/4 x 3 7/8" E	Espesor- Me	edida Nomina	al 6 x 6 x 4		0.60
7 3/4 x 7 3/4 x 3 7/8" E	Espesor- Me	edida Nomina	al 8 x 8 x 4		0.56
11 3/4 x 11 3/4 x 3 7/8" E	Espesor- Me	edida Nomina	al 12 x 12 x	4	0.52

Fuente : Fundamentos de Climatización, Carrier "Carga de Enfriamiento Tabla 33 Pág 76 Manual de Asrae Cap.27 Tablas 13 y 33

APÉNDICE A.9 FACTOR DE ALMACENAMIENTO PARA LA CONDUCCIÓN A TRAVÉS DE VIDRIOS

		9	12
		2	13
		4	14
	P.M.	က	14
		2	13
		-	12
		12	6
		11	7
		10	4
95°F	Ĩ.	6	2
Tex=	A.M.	8	0
7°87		7	-2
_u=		9	-2

FACTOR DE ALMACENAMIENTO POR CONDUCCION PARA VIDRIOS CORREGIDO (+3)

		9	15
		5	16
		4	17
	P.M.	3	17
		7	16
		-	15
		12	12
		11	10
		10	7
92°F	Л.	6	5
Tex=	A.M.	8	3
75°F		7	1
Tin=		9	-

Fuente: Manual de Asrae Cap. 26 Tabla 10



APÉNDICE A.10 DIFERENCIA DE TEMPERATURA EQUIVALENTE PAREDES EXTERNAS EXPUESTAS AL SOL

			A.P	И.									
1 1-1542	6	7	R	a	40			-		P. M .			
LD/III	-			- 0	10	11	12	1	2	3	4	5	6
20	-3	-3	-4	-3	-2	1	4	8	10	12	14	13	12
60	-3	-3	-4	-3	-2	-1	0	3	6	8	10	11	12
100	1	1	0	0	0	0	0	1	2	3	10	5	5
140	1	1	0	0	0	0	0	0	- 2	1	2	-3	- 4
	60 100	20 -3 60 -3 100 1	20 -3 -3 60 -3 -3 100 1 1	Lb/ft2 6 7 8 20 -3 -3 -4 60 -3 -3 -4 100 1 1 0	20 -3 -3 -4 -3 60 -3 -3 -4 -3 100 1 1 0 0	Lb/ft2 6 7 8 9 10 20 -3 -3 -4 -3 -2 60 -3 -3 -4 -3 -2 100 1 1 0 0 0	Lb/ft2 6 7 8 9 10 11 20 -3 -3 -4 -3 -2 1 60 -3 -3 -4 -3 -2 -1 100 1 1 0 0 0 0	Lb/ft2 6 7 8 9 10 11 12 20 -3 -3 -4 -3 -2 1 4 60 -3 -3 -4 -3 -2 -1 0 100 1 1 0 0 0 0 0	Lb/ft2 6 7 8 9 10 11 12 1 20 -3 -3 -4 -3 -2 1 4 8 60 -3 -3 -4 -3 -2 -1 0 3 100 1 1 0 0 0 0 0 1	Lb/ft2 6 7 8 9 10 11 12 1 2 20 -3 -3 -4 -3 -2 1 4 8 10 60 -3 -3 -4 -3 -2 -1 0 3 6 100 1 1 0 0 0 0 0 1 2	Lb/ft2 6 7 8 9 10 11 12 1 2 3 20 -3 -3 -4 -3 -2 1 4 8 10 12 60 -3 -3 -4 -3 -2 -1 0 3 6 8 100 1 1 0 0 0 0 0 0 1 2 3	Lb/ft2 6 7 8 9 10 11 12 1 2 3 4 20 -3 -3 -4 -3 -2 1 4 8 10 12 14 60 -3 -3 -4 -3 -2 -1 0 3 6 8 10 100 1 1 0 0 0 0 0 0 1 2 3 4	Lb/ft2 6 7 8 9 10 11 12 1 2 3 4 5 20 -3 -3 -4 -3 -2 1 4 8 10 12 14 13 60 -3 -3 -4 -3 -2 -1 0 3 6 8 10 11 100 1 1 0 0 0 0 0 1 2 3 4 5

	20	-1	-2	-4	1	4	14	22	27	30	28	26	20	16
0	60	-1	-3	-4	-3	-2	7	12	20	24	25	26	23	20
Sur	100	4	4	2	2	2	3	4	8	12	15	16	18	18
	140	7	6	6	5	4	4	4	4	4	7	10	13	14

	20	1	17	30	33	36	35	32	20	12	13	14	14	14
F-40	60	-1	-1	0	21	30	31	31	19	14	13	12	13	14
Este	100	5	5	6	8	14	20	24	25	24	20	18	16	14
	140	11	10	10	9	8	9	10	15	18	19	18	17	16

	20	-2	-3	-4	-2	0	3	6	14	20	32	40	45	48
04-	60	2	1	0	0	0	2	4	7	10	19	26	34	40
Oeste -	100	7	7	6	6	6	6	6	7	8	10	12	17	20
	140	12	11	10	9	8	8	8	9	10	10	10	11	12

Fuente: Fundamentos de Climatización, Carrier "Carga de Enfriamiento" Tabla 19 Pág 62

APÉNDICE A.11 DIFERENCIA DE TEMPERATURA EQUIVALENTE PARA AZOTEAS

		1	۱.M.									
- 01	7	8	9	10	11	40			P.M.			
6							1	2	3	4	5	6
					Exp	uesta	al S	ol				
0	-1	-2			9	16			26	41	42	43
4	3	2	3	6	10,	16						
a	8	6	7	8	11							41
_		11	11	12								39
13	12	1						26	28	32	35	37
						ombre	eada					
-5	-5	-4			2	6	9	12	13	14	13	12
-5	-5	-4		-2	0	2						12
	-3	-2	-2	-2	-1	0						10
				C	ubie	rta co	n Aa				3	
FT	2	οI	2	A	401	40						
_								22	20	18	16	14
-3						10	13	15	15	16	15	15
-1	-2	-2	-2			5	7	10	12	14	15	16
				Rec	ubie	rta co	n Pir	ntura				
-4	-2	0	2	4	8				17	16	15	14
-2	-2	-1	-1	0	2		_					14
-1	-2	-2	-2	-2	0	2	_					14
	-5 -5 -3 -1 -4 -2	0 -1 4 3 9 8 13 12 -5 -5 -5 -5 -3 -3 -7 -7 -7 -7 -7 -7 -7 -7 -7 -7 -7 -7 -7	6 7 8 0 -1 -2 4 3 2 9 8 6 13 12 11 -5 -5 -4 -5 -5 -4 -3 -3 -2 -5 -2 0 -3 -2 -1 -1 -2 -2 -4 -2 0 -2 -2 -1	6 7 8 9 0 -1 -2 -1 4 3 2 3 9 8 6 7 13 12 11 11 -5 -5 -4 -2 -5 -5 -4 -3 -3 -3 -2 -2 -3 -2 -1 -1 -1 -2 -2 -2 -4 -2 0 2 -2 -2 -1 -1	6 7 8 9 10 0 -1 -2 -1 2 4 3 2 3 6 9 8 6 7 8 13 12 11 11 12 -5 -5 -4 -2 0 -5 -5 -4 -3 -2 -3 -3 -2 -2 -2 C -5 -2 0 2 4 -3 -2 -1 -1 0 -1 -2 -2 -2 -2 Rec -4 -2 0 2 4 -2 -2 -1 -1 0	6 7 8 9 10 11 Exp 0 -1 -2 -1 2 9 4 3 2 3 6 10 9 8 6 7 8 11 13 12 11 11 12 13 Sc -5 -5 -4 -2 0 2 -5 -5 -4 -3 -2 0 -3 -3 -2 -2 -2 -1 -4 -2 0 2 4 10 -3 -2 -1 -1 0 5 -1 -2 -2 -2 -2 2 Recubie -4 -2 0 2 4 8 -2 -2 -1 -1 0 2	6 7 8 9 10 11 12 Expuesta 0 -1 -2 -1 2 9 16 4 3 2 3 6 10 16 9 8 6 7 8 11 16 13 12 11 11 12 13 16 Sombre -5 -5 -4 -2 0 2 6 -5 -5 -4 -3 -2 0 2 -3 -3 -2 -2 -2 -1 0 Cubierta co Cubierta co Cubierta co Cubierta co Cubierta co Cubierta co -4 -2 -2 -2 -2 2 5 Recubierta co -4 -2 0 2 4 8 12 -2 -2 -1 -1 0	6 7 8 9 10 11 12 1 Expuesta al Set 0 -1 -2 -1 2 9 16 23 4 3 2 3 6 10 16 23 9 8 6 7 8 11 16 22 Sombreada -5 -5 -4 -2 0 2 6 9 -5 -5 -4 -3 -2 0 2 6 9 -5 -5 -4 -3 -2 0 2 5 -3 -3 -2 -2 -2 -1 0 2 Cubierta con Ag -3 -2 -1 -1 0 5 10 13 -1 -2 -2 -2 -2 2 5 7 Recubierta con Pir	6 7 8 9 10 11 12 1 2 Expuesta al Sol 0 -1 -2 -1 2 9 16 23 30 4 3 2 3 6 10 16 23 28 9 8 6 7 8 11 16 22 27 13 12 11 11 12 13 16 22 26 Sombreada -5 -5 -4 -2 0 2 6 9 12 -5 -5 -4 -3 -2 0 2 5 8 -3 -3 -2 -2 -2 -1 0 2 4 Cubierta con Agua -5 -2 0 2 4 10 16 19 22 -3 -2 -1 -1 <	F.M. F.M.	F.M. F.M. Expuesta al Sol	F.M. F.M.

Fuente: Fundamentos de Climatización, Carrier "Carga de Enfriamiento" Tabla 20 Pág 63

VALORES DE CORRECCIÓN DE DIFERENCIA DE TEMPERATURA EQUIVALENTE APÉNDICE A.12

PARA DIFERENTES CONDICIONES INTERIORES Y EXTERIORES DE DISEÑO

				-	-	6		_	_	_								
						40	-55	45	-35	-25	-20	-15	-10	5	0	5	10	15
						38	-54	44	-34	-24	-19	-14	6-	4	1	9	11	16
						36	-53	43	-33	-23	-18	-13	æρ	-3	2	7	12	17
						34	-52	42	-32	-22	-17	-12	-7	-2	3	8	13	18
						32	-51	41	-31	-21	-16	-11	9-	-1	4	6	14	19
						30	-20	40	-30	-20	-15	-10	-5	0	2	10	15	20
		(9°)				28	49	-39	-29	-19	-14	6-	4	1	9	11	16	21
		medic				26	48	-38	-28	18	-13	-8	-3	2	7	12	17	22
		o Pro	-			24	47	-37	-27	-17	-12	-7	-2	3	8	13	18	23
		Diari	5			22	-46	-36	-26	-16	-11	9-	-1	4	6	14	19	24
		Rando Diario Promedio (°E)	S S			20	45	-35	-25	-15	-10	-5	0	5	10	15	20	25
		ш	•			18	44	-34	-24	-14	6-	4	1	9	11	16	21	26
						16	-43	-33	-23	-13	8-	-3	2	7	12	17	22	27
						14	-42	-32	-22	-12	-7	-2	3	8	13	18	23	28
						12	41	-31	-21	-11	9-	<u>-</u>	4	6	14	19	24	29
						10	40	-30	-20	-10	-5	0	2	10	15	20	25	30
						8	-39	-29	-19	ဝှ	4	-	9	11	16	21	26	31
Diferencia	entre	Temperatura	Externa y	Temperatura	Interna	ų.	-30	-20	-10	0	သ	19	15	20	25	30	35	40

Fuente : Fundamentos de Climatización, Carrier "Carga de Enfriamiento" Tabla 20A Pág 63

APÉNDICE A.13 GANANCIA DE CALOR A TRAVÉS DE UN VIDRIO ORDINARIO 40° LATITUD NORTE

	1			A	.M.									
Dia	Orient.	6	7	8	9	10	11	40		-	P.M.		r	
Dia	Norte	32	20	12	13	14	14	12	1	2	3	4	5	6
	Sur	6	10	12	19	35	_	14	14	14	13	12	20	32
Jun-21	Este	126	161	162	142	95	44	54	44	35	19	12	10	6
	Oeste	6	10	12	13	14	44	14	14	14	13	12	10	6
	Horizontal	31	82	134	179	210	14	14	44	95	142	162	161	126
	Horizontal	0 1		, , ,	110	210	232	237	232	210	179	134	82	31
	Norte	24	14	12	13	-14	4.1							
May-21	Sur	5	10	13	26	44	14	14	14	14	13	12	14	24
,,		118	161	164	144		63	69	63	44	26	13	10	5
Jul-23	Este	5	10	12		98	43	14	14	14	13	12	10	5
00.	Oeste	24	73	126	13	14	14	14	43	98	144	164	161	118
0	Horizontal	24	13	120	171	203	225	233	225	203	171	126	73	24
		7		44	10									
Abr-20	Norte	7	8	11	13	14	14	14	14	14	13	11	8	7
ADI-20	Sur	3	8	24	51	89	97	102	97	89	51	24	8	3
Ago-24	Este	84	147	162	145	101	45	14	14	14	13	11	8	3
Ago-24	Oeste	3	8	11	13	14	14	14	45	101	145	162	147	84
	Horizontal	9	47	100	150	185	205	214	205	185	150	100	47	9
Mar-22	Norte	0	5	9	12	13	13	14	13	13	12	9	5	0
Wal-22	Sur	0	12	44	81	110	122	140	122	110	81	44	12	0
0 22	Este	0	116	149	139	99	45	14	13	13	12	9	5	0
Sep-22	Oeste	0	5	9	12	13	13	14	45	99	139	149	116	0
	Horizontal	0	21	67	124	153	176	183	176	153	124	67	21	0
											LOPERUP SO			
0 / 00	Norte	0	2	6	10	11	12	12	12	11	10	6	2	0
Oct-23	Sur	0	21	59	104	137	154	162	154	137	104	59	21	0
	Este	0	85	117	122	88	39	12	12	11	10	6	2	0
Feb-20	Oeste	0	2	6	10	11	12	12	39	88	122	117	85	0
	Horizontal	0	8	29	64	101	123	129	123	101	64	29	8	0
	Norte	0	0	3	7	9	10	11	10	9	7	3	0	0
Nov-21	Sur	0	0	59	104	139	158	166	158	139	104		0	0
	Este	0	0	91	100	74	33	11	10	9	7	3		0
Ene-21	Oeste	0	0	3	7	9	10	11	33	74	100	-	-	0
	Horizontal	0	0	16	43	73	92	103	92	73	43			0
	Lionzontai											1		
	Norte	0	0	2	6	9	10	10	10	9	6	2	0	0
	Sur	0	0	51	99	134	158	165	158	134	99			C
Dec 22	Este	-	-	72	86	68	31	103	10	9	6	-		C
		0	0				10	10	31	68	86		-	0
	Oeste	0	_	2	6	55	76	85		55	32			0
	Horizontal	0	0	8	32	55	10	65	10	1 33	52	1 0	1 0	

Fuente:Fundamentos de Climatización, Carrier "Carga de Enfriamiento" Tabla 15 Pág 48 TBS=95°F, TBH=75°F, PR=67°F

APÉNDICE A.14 DIFERENCIA DE TEMPERATURA EQUIVALENTE CORREGIDA PARA PAREDES EXTERNAS EXPUESTAS AL SOL CONDICIONES DEL PROYECTO

		14	24			82	69			147	164			147	164		
		Rsnorte=	Rmnorte=			Rssur	Rmsur			Rseste=	Rmeste=	•		Rsoeste=	Rmoeste=	,	
	9	15	15	ω	7	19,75	24,51	23,45	18,88	16,79	16,79	16,07	17,76	47,27	40,10 F	21,45	14,17
	3	16	14	∞	9	24,32	28.26	23,45	17,88	16,90	15,79 1	17,86 1	18,55 1	44.68 4	34,62 4	18,76 2	13,17 1
	4	17	13	7	5	31,26	32,01	21,26	14,51	17,00	14,79 1	19,55 1	19,34	40,30 4	27,34 3	14,17 1	12,17
P.™	3	15	11	9	4	34,01	31,20	20,26	11,13	15,90	15,48	21,24	20,13	32,93	20.86	12,27	
	2	13	6	5	3	36,77	30,39	16,88	7,75	14.79	16,17	24.72	19,13	21,96	12,59	10,38	11,96 12,07
	-	11	9	4	3	33,58	26,20	12,32	7,75	21,76	20,34	25,51	16,45	16,38	9,59	9,38	11,07
	12	7	3	3	3	28,39	17,26	7,75	7,75	32,10	30,79	24,51	11,96	8,79	6,59	8,38	10,17
	11	4	2	3	3	19,45	11,51	6,57	7,75	34,48	30,68	20,93	11,07	5,79	4,69	8,38	10,17
	10	1	1	3	3	8,13	1,00	5,38	7,75	35,06	29,68	15,55	10,17	2,79	2,79	8,38	10,17
S	6	0	0	3	3	4,75	0,00	5,38	8,94	32,27	21,51	10,17	11,07	06'0	2,69	8,38	11,07
A.M.	8	-1	-1	3	3	-1,00	-1,00	5,38	10,13	29,48	2,59	8,38	11,96	-1,00	2,59	8,38	11,96
	7	0	0	4	4	1,19	00'0	7,57	9,94	17,93	1,79	7,59	12,07	00'0	3,59	9,38	12,96
	9	0	0	4	4	2,38	2,38	7,57	11,13	3,59	1,79	7,59	12,96	06'0	4,48	9,38	13,86
C#/41	רטווע	20	9	100	140	20	09	100	140	20	09	100	140	20	09	100	140
24:001-0	Orientacion		Sur o Combra	our o sombla			tolk	9101			1	Fale			4000	Oeste	

APÉNDICE A.15
DIFERENCIA DE TEMPERATURA EQUIVALENTE CORREGIDA PARA AZOTEAS
CONDICIONES DEL PROYECTO

			A.M.	A.						P.M.			
Lb/ft2	9	7	80	6	10	11	12	1	2	3	4	2	9
		93	Ą	Azotea Expuesta al Sol	xpuesta		+3 C	Corrección Inicia	n Inicial				
20	က	2	-	2	5	12	19	26	33	39	44	46	46
40	7	9	5	9	6	13	19	26	31	36	41	43	44
09	12	11	6	10	11	14	19	25	30	34	38	41	42
80	16	15	14	14	15	16	19	25	29	31	35	38	40
				Azote	Azotea Sombreada		+3 Cor	+3 Correción Inicia	icial				
20	-2	-2	-1	1	3	9	6	12	15	16	17	16	15
40	-2	-5	-1	0	1	8	5	8	11	13	15	16	15
09	0	0	-	1	1	2	3	5	2 .	6	11	12	13
	Rshorizo	ontal=	لمسا	226		RmJulio40°=	40°=	233					

						Con	Corrección Total	Total					
20	20 2,85	1,88	0,94	1,97	4,94	11,79	18,70	25,58	32,46	38,31	1,88 0,94 1,97 4,94 11,79 18,70 25,58 32,46 38,31 43,19 45,10 45,	,10 45	0.07
40	6,73	40 6,73 5,76	4,82	5,82	8,76	12,70	18,58	25,46	30,40	35,31	5,82 8,76 12,70 18,58 25,46 30,40 35,31 40,22 42,19 43,13	19 43	.13
9	11,64	60 11,64 10,67	8,76	9,73	10,70	13,64	18,52	24,40	29,31	33,25	8,76 9,73 10,70 13,64 18,52 24,40 29,31 33,25 37,19 40,13 41,13	13 41	13



APÉNDICE A.16
Resistencias Térmicas para diferentes materiales

Material	Descripción	Espesor	Peso	Resistencia
	Ladrillo Común		Lb/ft2	°F Btu / hr.ft2
		3	40	0,80
	l	4	19	0,40
Unidades	Bloque de Concreto con	6	23	0,71
Estructurales	Agregado de Piedras	8	32	0,91
			43	1,11
		10	53	1,19
	Enlucido	12	63	1,28
,		1/0		0,20
	Mezcla de Cemento	1/2	4,8	0,10
		3/4	7,2	0,15
Materiales de	Yeso	1/2	1,9	0,32
Albañilería	reso	5/8	2,3	0,39
		3/4	2,8	0,47
	A ====================================	1/2	4,4	0,09
	Agregado de Arena	5/8	5,5	0,11
		3/4	6,6	0,13
	Asfalto	1/8	1,25	0,04
Materiales	Porcelanato	1		0,08
para Piso	Corcho	1/8	0,26	0,28
para	Baldosa-Cerámica	1/8		0,05
	Madera	5/8	1,77	0,78
	Horizontal-Flujo hacia arriba			0,61
Aire en	Con 45°-Flujo hacia arriba			0,62
Reposo	Vertical-Flujo Horizontal			0,68
Перозо	Con 45º-Flujo hacia abajo			0,76
	Horizontal-Flujo hacia abajo			0,92
Aire en	15 Mph			0,17
Movimiento	7,5 M ph			0,25

Fuente : Fundamentos de Climatización, Carrier "Carga de Enfriamiento" Tabla 34 Pag 78

APÉNDICE A.17 CFM PARA VENTILACIÓN

APLICACIÓN	FUMADORES	CFM por P		CFM por Ft ² de Piso
Aparlamentos Normales	Algunos	Recomendado		Mínimo
Apartamentos Normanes	Algunos	20	15	-
Apartamentos de Lujo	Ocasional	30	25	.33
Espacios en Bancos	Considerable	10	7 1/2	-
Barbería		15	10	-
Salón de Belleza	Ocasional	10	7 1/2	-
Cuarto de Hospedaje Inversionistas	Muy Fuerte	50	30	-
Bares	Fuerte	30	25	-
Corredores		-	-	.25
Tiendas Comerciales Grandes	Ninguno	7 1/2	5	.05
Departamento Directores	Extremo	50	30	-
Farmacias	Considerable	10	7 1/2	-
Fábricas	Ninguno	10	7 1/2	.10
Funerales	Ninguno	10	7 1/2	=
Garage	X =	-	-	1.0
Hospital - Cuarto de Operacion	Ninguno	y=	-	2.0
- Cuartos Privados	Ninguno	30	25	.33
- Salas	Ninguno	2	15	-
Cuartos de Hotel	Fuerte	30	25	.33
Cocina - Restaurant	-	•	-	4.0
- Residencia	-	-	_	2.0
Laboratorios	Algunos	20	15	-
Sala de Reuniones	Muy Fuerte	50	30	1.25
Oficinas - General	Algunos	15	10	
- Privada	Ninguno	25	15	.25
- Privada	Considerable	30	25	.25
Restaurant - Cafeteria	Considerable	12	10	
- Comedor	Considerable	15	12	_
Sala de Clases	Ninguno	-		-
Tiendas Pequeña	Ninguno	10	7 1/2	_
Teatro	Ninguno	7 1/2	5	_
Teatro	Algunos	15	10	_
Baños	-	-	-	2.0

Fuente : Fundamentos de Climatización, Carrier "Carga de Enfriamiento" Tabla 45 Pág 97

APÉNDICE A.18 FACTORES DE DIVERSIDAD TÍPICOS

Tino do Anlicación	Ŧ	FACTOR
tipo de Apricación	Personas	Prices
Oficinas	.7590	.7085
Apartamentos, Hoteles	.4060	.3050
Tiendas Comerciales	06 08.	.90 - 1.0
Industria	.8595	06 08.

Fuente : Fundamentos de Climatización, Carrier "Carga de Enfriamiento" Tabla 14 Pág 38

APÉNDICE A.19 GANANCIA DE CALOR POR PERSONAS

				Tempera	atura Bulbo	Temperatura Bulbo Seco del Espacio	Espacio		
proping of open	Tipo de	82	82 °F	80	80 °F	7° 87	40	7° 57	H _o
Glado de Actividad	Aplicación	Btu	Btu/Hr	Btı	Btu/Hr	Btu/Hr	/Hr	Btu/Hr	/Hr
		Sensible	Latente	Sensible	Latente	Sensible	Latente	Sensible	Latente
Sentado en Reposo	Teatro, escuela	175	175	195	155	210	140	230	120
Sentado, trabajo ligero Escuela Secundaria	Escuela Secundaria	180	220	195	205	215	185	240	160
Parado,trabajo lento	Tiendas, almacenes	180	270	200	250	215	235	245	205
Parado,trabajo lento	Farmacia,bancos	180	320	200	300	220	280	255	245
Trabajo Sedentario	Restaurant	190	360	220	330	240	310	280	270
Bailando	Salón de Baile	220	630	245	605	275	575	325	525
Caminando,3 mph	Industria	270	730	300	700	330	670	380	620
Trabajo Pesado	Jugando bolos	450	1000	465	985	485	365	525	925

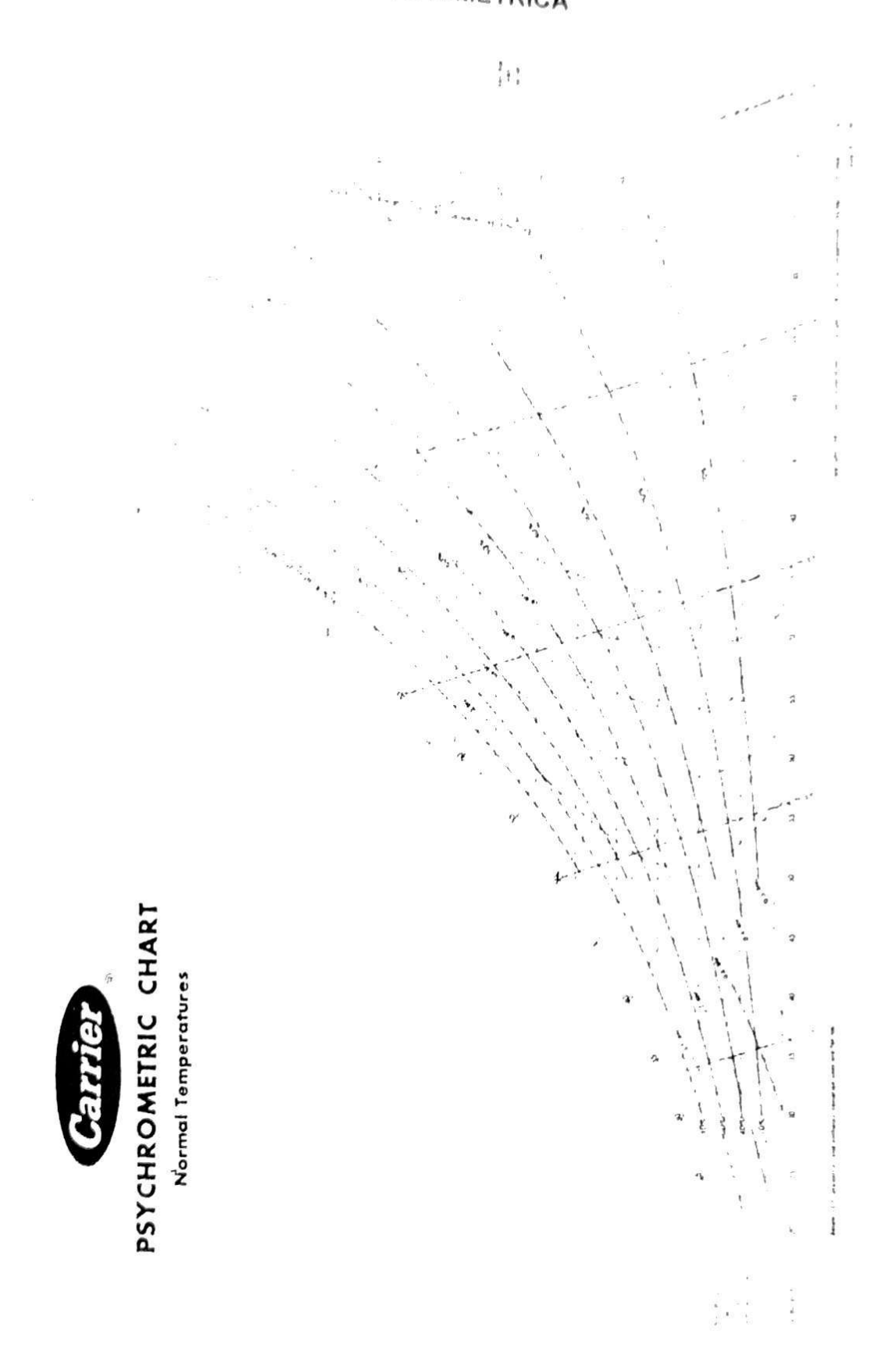
Fuente : Fundamentos de Climatización, Carrier "Carga de Enfriamiento" Tabla 48 Pag 100

APÉNDICE A.20 FACTORES DE ALMACENAMIENTO PARA PERSONAS 8 HORAS DE PERMANENCIA EN EL ESPACIO

Operación .	0000									# hoi	ras de	espue	nb se	e per	sona	# horas despuès que personas entran	an								Γ
Equipo hr.	0897	0	-	2	3	4	5	9	7	8	6	10	1	12	13	14	15	16	17	18	19	20	21	22	23
	150	0,37	0,67 0,71	0,71	0,74 0,76	0,76	0,79	0,81	0,83	0,84	0,29	0,26	0.23	0,20 0,19 0,17	0,19		0,15	0,14	0,12	0,11	0,10	60.0	0,08	0.07	90.0
24	100	0,31	19'0	0,72	0,76	0,79	0,81	0,83	0,85	0,87	0,30	0,26	0,22 0,19 0,16 0,15	0,19	0,16	0,15	0,13	0,12	0,10	0,09	0.08	0.07	90.0	0,05	9.0
	30	0,25	0,25 0,74 0,83	0,83	0,88	0,91	0,94	96'0	96'0	96'0	0,26	0,17	0,12	0,08 0,05	0,05	0,04	0,03	0,02	0,01	0.01 0.01	0,01	00'0	0.00	00'0	0.00
	150	0,51	0,79	0,82	0,84	0,85	0,87	0,88	0,89	06'0	0,29	0,26	0,23	0.20	0,19	0,17	0,15]
16	100	0,43	0,77	0,81	0,84	0,84 0,86	0,87	0,88	0,89	06'0	0,30	0,26	0,22 0,19	0,19	0,16	0,15 (0,13								
	30	0,27	0,75	0,84	0,89	0,91	0,94	96'0	96'0	96'0	0,26	0,17	0,12	80'0	0,05	0,04	0,03								
	150	0,57	0,86	0,88	0,89	06'0	0,91	0,92	0,93	0,93	0,29	0,26	0,23												
12	100	0,50	0,83	0,83 0,87	0,89	0,91	0,91	0,92	0,93	0,94	0,30	0,26	0,22												
	30	0,33	0,79	0,79 0,87	0,91	0,93	0,95	76'0	76'0	86'0	0,26 0,17	0,17	0,12												

Fuente : Fundamentos de Climatización , Carrier "Carga de Enfriamiento" Tabla 12 Pag 35

APENDICE A.21 CARTA PSICROMÉTRICA



APÉNDICE A.22 CICLO DE EVALUACIÓN DEL AIRE

1 110 HROMETRIC CHART

Fuente: Fundamentos de Climatización, Carrier, "Carga de Enfriamiento", Fig. 33 Pág. 116



APÉNDICE A.23 FACTORES DE BYPASS TÍPICOS

FACTORES		
DE BYPASS	TIPOS DE APLICACIÓN	EJEMPLO
0,30 a 0,50	Pequeña Carga Total o Carga de un espacio con un bajo Factor de Calor Sensible (alta carga latente)	Residencias
0,20 a 0,30	Típica Aplicación de confort con una Carga Total relativamente pequeña o con un bajo Factor de Calor Sensible	Residencias, tiendas Pequeñas
0,10 a 0,20	Típicas Aplicaciones de confort	Departamentos, Almacenes Bancos, Industrias
0,05 a 0,10	Aplicaciones con alta Carga Interna Sensible o espacios que requieren una gran cantidad de aire externo por Ventilación	Departamentos Almacenes, Restaurantes Industrias
0 a 0,10	Todas las Aplicaciónes de aire externo	Hospitales, Laboratorios Farmacias, Industrias

Fuente : Fundamentos de Climatización, Carrier "Carga de Enfriamiento" Tabla 62 Pág 127

APÉNDICE A.24 Valores t_{adp} en función de ESHF y Condiciones Interiores de Diseño

		dicione			FACT	OP	ECA	100					
E	spac	io inte	rno	1		OK L	LCA	LUK	SENSI	BLE E	FEC	rivo	
TBS		TBH	W	1	YF	PUNT	O DF	ROCI) DEI	SED	PENT	ÍNI	
(F)	(%)	(F)	(gr/lb)	ļ				11001	O DEL	. SER	PENI	11.4	
	20	53.2	25.7	ESHF		10.000	.96	.94	.92	.90	.89		
				ADP	31.5	30	28	26	24	22	20		
	25	54.8	32.1	ESHF	1.00	.95	.92	.90	.88	.86	.84		
				ADP	36.9	34	32	30	28	25	21		
	30	56.5	38.5	ESHF	1.00	.97	.93	.90	.87	.85	.82	.80	.79
				ADP	41.4	40	38	36	34	32	28	24	20
	35	58.1	45.2	ESHF	1.00	.96	.91	.87	.84	.80	.78	.76	.75
				ADP	45.5	44	42	40	38	34	31	27	22
	40	59.6	51.8	ESHF	1.00	.96	.89	.84	.81	.79	.76	.73	.71
				ADP	49.1	48	46	44	42	40	37	32	24
75	45	61.1	58.2	ESHF	1.00	.94	.87	.81	.77	.75	.72	.69	.67
/5				ADP	52.2	51	49	47	45	43	40	35	21
	50	62.6	65.0	ESHF	1.00	.92	.84	.78	.74	.71	.69	.66	.64
				ADP	55.2	54	52	50	48	46	44	40	34
	55	64.0	71.5	ESHF	1.00	.94	.87	.78	.73	.69	.65	.63	.61
				ADP	57.8	57	56	54	52	50	47	44	39
	60	65.3	77.9	ESHF	1.00	.90	.77	.71	.66	.63	.61	.59	.58
				ADP	60.1	59	57	55	53	51	49	46	43
	65	66.7	84.8	ESHF	1.00	.84	.72	.65	.61	.59	.57	.55	.54
				ADP	62.4	61	59	57	55	53	51	48	44
	70	68.0	91.2	ESHF	1.00	.80	.73	.68	.61	.57	.54	.52	.51
				ADP	64.5	63	62	61	59	57	55	52	49

Fuente : Fundamentos de Climatización, Carrier "Carga de Enfriamiento" Tabla 65 Pág 146

APÉNDICE A.25 VELOCIDADES RECOMENDADAS PARA EL SISTEMA DE AGUA DE ENFRIAMIENTO

SERVICIO	RANGO DE VELOCIDADES FPS
Descarga de Bomba	8 a 12
Succión de Bomba	4a7
Desagüe	4a7
Máximo Cabezal	4 a 15
Máxima Altura	3 a 10
Servicio General	5 a 10
Servicio para la Ciudad	3a7

Fuente: Fundamentos de Climatización, Carrier "Diseño de Tuberías" Tabla 13 Pág 21

APÉNDICE A.26 VELOCIDADES MÁXIMAS DEL AGUA DE ACUERDO A LOS EFECTOS DE LA EROSIÓN

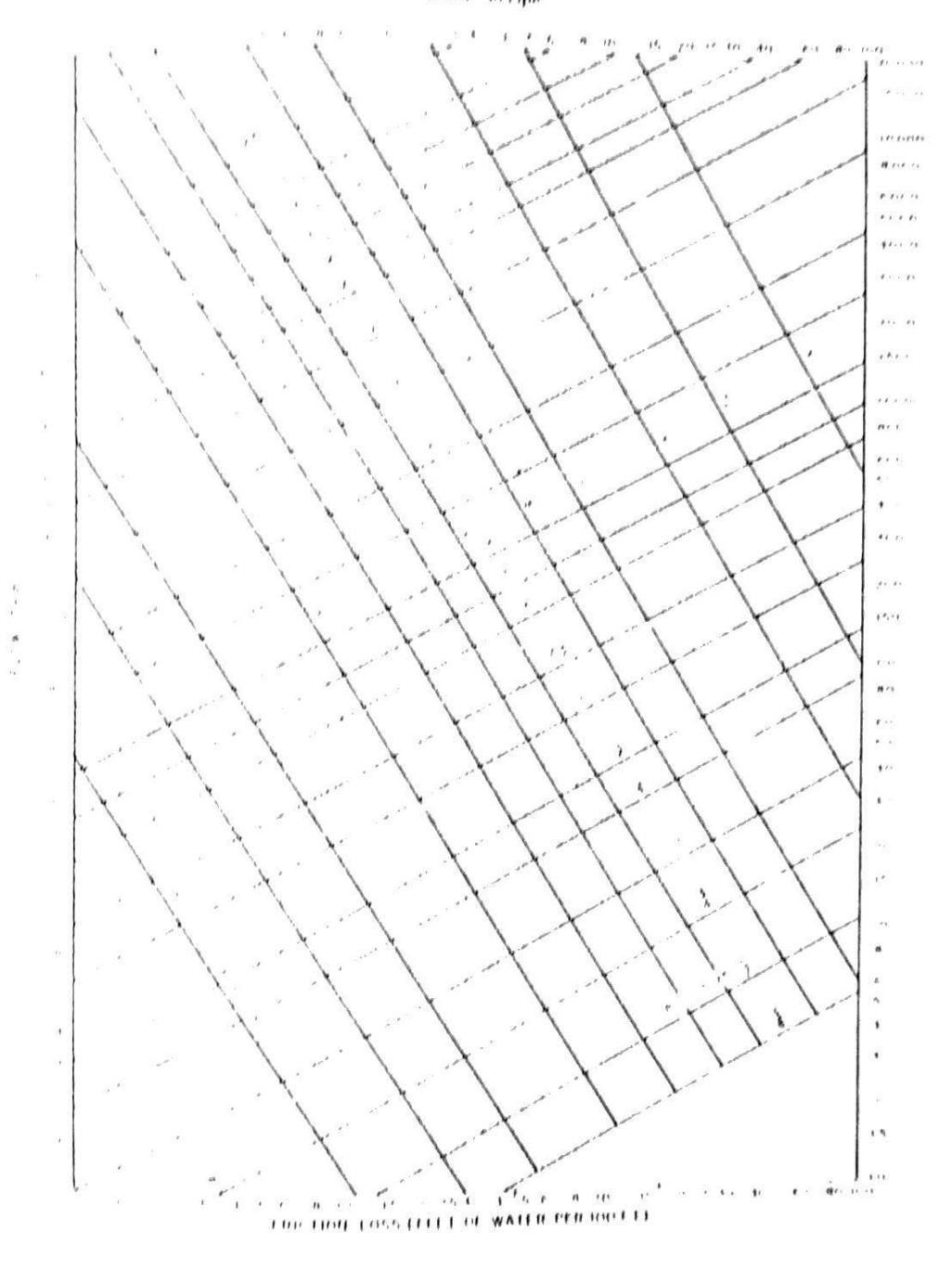
OPERACIÓN NORMAL Horas Por Año	VELOCIDAD DEL AGUA FPS
1500	15
2000	14
3000	13
4000	12
0009	10
8000	8

Fuente: Fundamentos de Climatización, Carrier "Diseño de Tuberías" Tabla 14 Pág 21

APÉNDICE A.27 PÉRDIDA DE FRICCIÓN EN SISTEMAS CERRADOS DE AGUA

PART - FIFE CARE

CHARL 1 TRICTION 1055 FOR CLOSED PIPING SYSTEMS



Fuente Fundamentos de Climatización, Carrier, "Diseño de Tuberlas", Carta 3 Pág.22



訓

APÉNDICE A.28 PÉRDIDAS POR VÁLVULAS EN LONGITUD EQUIVALENTE DE TUBERÍA

TABLE 10-VALVE LOSSES IN EQUIVALENT FEET OF PIPE. Great Welder Honged and

	eint	** *	" •	Angeri	GATELL	CHECK;	7 1798 5	** A THE # ! !	CHECK
expect of control of c					2 1		1=		DE 6
					- i-		Florged Fed	torough Ind	
. 1	- 1		,			1			
* I		1.2		1	~ 7			;	
			,,	17		12	9		Ci ha !
	17	,,		1.7	1 4				1.89
1 1	***				7.0	14			
		,	.,	.24				1-	r. 1.
.	400	**	٠,	22	2.8	25	7.	٠,	1
	* 1	4.2	**	1.	1,		7.		
		**	*1	47		1	12	P.	
	+ 0	1.6			15	15	11		
		100		**	1 1	**	40		
	1900		**	~~			27		
	4.4.6		13	**		42	115		
.)			15.	105	7	•-	153	- 1	
. 1				3.555	12	100	127	1	
	**		12.	130	,,	122			
•	**			1.44		135	750	- 1	1-4-1.0
	100				,-	150	- 1	1	5
. :	4.4	7.6	200	, .	1:		- 1	1	1-9-
			. 14	215	77	145	1	ı	7-6-
	4.1 .	100	285	745	25	701	- 1	- 1	

Fuente: Fundamentos de Climatización, Carrier, "Diseño de Tuberías", Tabla 10 Pág.16



APÉNDICE A.29 PÉRDIDAS POR CODOS, REDUCCIONES Y TEES EN LONGITUD EQUIVALENTE DE TUBERÍA

TABLE IT FITTING LOSSES IN EQUIVALENT FEET OF PIPE

Second, Wolded Hanged, Flured, and Brazed Connections

			1							
	ī	,	MOOTH A	THO FLHOW	15	-	1			
HOLENNAL	614	on long	20.001	44.	45 Street	IAn Sid'	flow thro	Part Disconsission of the	NEND 11FS night.Thru f	low
U.E.	E E	,				314	Branch	No Reduction	Reduced	Reduced Vi
11105		i	1		/					10.4
1177	31	į.		17	8		1 12		et to	
(In)	Y		19.5	1 . 1	1 . 1				9 1 1 19	4 (1) 5
		1 1								
٠.		- 7 · ·	2.1	p .	11	71				
27/00		1.0	, ,	11 9	11	2.5	10	" 7	1 2	1.4
	*	1.1	1.2	0.5	1.4	17	III (25.7%) 1	1.0	1 (1.6
	9		1.1	1.1	1	31135	10	11	1.9	20
1		2.1			21	4.1	10	, .	2.1	1 4
1 .			٨.١	2.1	1.0	* *	• 0	2.1	7.1	1.1
1 2	.00	· X			14	A 1	P.11	14		111
7	9.38	1.1	0.7	7 ^	1.	P 2	10	11		5.00
, .			1	17	12	10	1 12		.,	A
,	1800	\$	1.7	4.0	64-	17	1 15	10	- 0	
- 17 E			1.5		.,					
	2.5		1.	5.2	n s	15	10	12	P 13	3.0
4	1.2	P 7	2.1	4.5	11,	1.2	71	۸.	2.0	10
	3	a		¥		21	25	n 2	1.7	11
	3.0	E-	2.5		13	25	10	19	14	14
	.*	.,		10		11	1 40	. 11	1 6	20
10	2.5	1.6		1.3	1	12	1 50	1.4	21	25
1.7		12		1.6	i !	50	40			20
11		21		18	1	44	AR	17	74	14
14	14	2.6		20	1	47) ?A	23	35	18
	100				1			100	25000	G 50 50
1 *	13	/? \1		24	i î	***	9.5	72	40	4.7
20		. 1		7.4	1 1	A1	Inn	11	41	40
21	***			1		64	115	4.5	50	40

Fuente: Fundamentos de Climatización, Carrier, "Diseño de Tuberías", Tabla 11 Pág.17

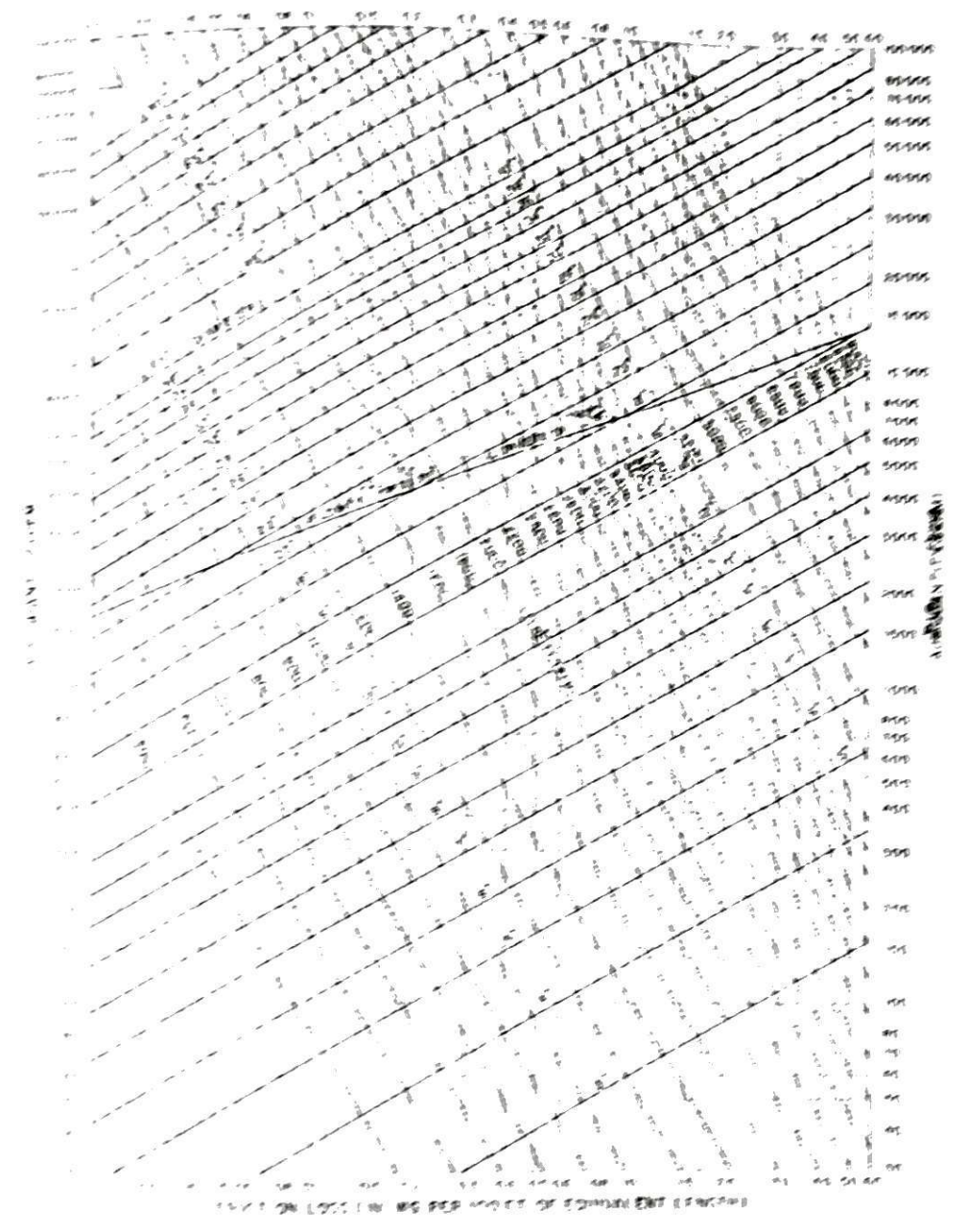
APÉNDICE A.30 MÁXIMAS VELOCIDADES RECOMENDADAS PARA DUCTOS EN SISTEMAS DE BAJA VELOCIDAD

Aplicación	Nivel de		Método o Igual F	Método de Diseño Igual Fricción	
- April Castler	Ruido	Ducto F	Ducto Principal	Ramific	Ramificaciones
		Suministro	Retorno	Suministro	Retorno
Residencias	009	1000	800	900	900
Apartamentos Hoteles Hospital	1000	1500	1300	1200	1000
Oficinas Privadas Librerías	1200	2000	1500	1600	1200
Teatros Auditorios	800	1300	1100	1000	800
Oficinas Generales Sala de Clases Restaurantes Almacenes	1500	2000	1500	1600	1200
Tiendas Cafeterías	1800	2000	1500	1600	1200
Industrial	2500	3000	1800	2200	1500

Fuente : Fundamentos de Climatización, Carrier "Distribución del Aire" Tabla 7 Pág 37

APÉNDICE A.31 CARTA ESTÁNDAP DE FRICCIÓN

CHAPT 7-FEICTION LOSS FOR FOUND DUCT







APENDICE A.32 PÉRDIDA DE PRESIÓN DEBIDO A CODOS

(,	Additional Equi to Inter	volent Lesses I section of Cer	n Excas	of Fric	lion	incide absen
1 4 4 1	II CUSTRATION	CONDITIONS	PH/ 5	Sunr LO	3	
N OLC	10	HICTANGULAR OR ROUND; WITH OR WITH- OUT VANCE	71 TIUE	S VALUE	FOR SIVILAR	
90-016 80-016	010	MITER A/D=0.5 0.75	0.40	05		
	7 1	1.0	0.33 0.24 0.19	17 12 10		
	,,,,,	0.25 0.75 1.0 1.5 (MITER	1.25 125 0.60 0.37 0.19		25 25 12 7	
90-DEG LECTANGULAN SECTION		0.5 0.75 1.0 1.3 (MITER 0.5	1.47 1.10 0.50 0.26 0.13 1.50		49 40 16 9 4 75	
		1.0 {0.75 1.0 1.5 MITER 0.5	1.00 0 41 0 22 0 09 1.36 0.76 0.37		30 21 11 4 3 110 63 43	
90-DEG. SQUARE SECTION WITH SPLITTER VANES		1 5 	0.70 0.13 0.12 0.45 0.12		7 20 19 12 7.2 22 16	
WITER WITH TURNING VANES	THE ATE	D	O 15 FOLO TO EPCHDING	. 014		
MITER TEE WITH VANES FADIUS TEE	八八八八八八八八八八八八八八八八八八八八八八八八八八八八八八八八八八八八八八八	CONSIDER FOUR			CONTRACTOR OF THE PROPERTY OF	

Fuente Manual de ASHRAE, Fig. 8.6, 1965

APENDICE A 33 PERDIDA DE PRESIÓN DEBIDO A ELEMENTOS TRANSFORMADORES DE AREA

TIPE TION TIONS COEFFICIENT TYPE TON TIONS COEFFICIENT TYPE TON TIONS COEFFICIENT TON TIONS COEFFICIENT AI AI/AI C;

OI 081 81 ABRUPT AI AI/AI C;

O2 084 18 CONTRACTION A2 00 034

O3 03 049 5 SQUARE 02 03 032

O4 036 2.25 EDGE 04 025

O6 016

O7 009 048

		1	01	0.01	01	ABRUPT	Α,	A1/A1	C s
		1	0 2	0.04	10	CONTRACTION	A 2	0.0	034
	ANTINT	Ay	0.3	049	5	SQUARE	<u> </u>	0 2	0 32
	1	A.	0 4	0 30	2.25	EDGE		0.4	0.25
			0.5	0 25	100	li .	***************************************	0 6	016
- 1			00	016	0 45	N		0.8	0.06
1			0.7	009	0 18				
		1	0.8	004	000	CRADUL	A,	0.	
			0 9	001	100 000	GRADUAL	0 12	30.	0.02
i		1				N CONTRACTAIN	1-	45*	0.04
		1	0	C.L		H		90.	0 0 7
1		Α,	5.	01	7	EQUAL AREA			-
1	CRACJAL	AI T	7.	0.2	2	The second secon		A, * A2	C
	LITANSION	0	10.	0.2	0000	TRANSFOR-		9 ₹ 14.	0.15
-			50.	04	1000	MATION	A, A		
			30.	0.5	9	FLANGED	1		C
			40.	0.7	3	ENTRANCE	*****	1.00	
1		A ₁ A ₂				1			0 34
1	AURUPT		1 K 200	100	ĺ				
1	EXIT	14			1	DUCT		A .00	c.
!		(A2.00)1				ENTRANCE			0.85
1	;		A. /A,	С.					~
		A1	00	2.5	0	FORMED		1.00	С
Ì	SCUARE	Ui	0.2	2 4	4	ENTRANCE		7.60	0.03
1	EDGE		04	5 2	8				
	CRIFICE	A.	0.8	19	0			A+/ A 2	с.
1	TIX3		0.8	1.5	. 1	SQUARE	1.45	0.0	2 50
1			10	1.0	0	EDGE	15	0 2	1.90
1	810		5.70	С		ORIFICE	T n -	0 4	1.39
	BAR	L	010	0. 7		ENTRANCE	1	0.6	0.98
	DUCT		025	1 4	, j			0.8	0.61
!			0 50	4 0	, 1	ł		1.0	0 34
	PIPE		E/D	С	-				
1	ACROSS	-100	0 10	0.2	0	1	1	A-/A	с.
	DUCT	1 1	0 25	0 5	5	SQUARE	A1 = A2	00	2 50
1			2 50	5 0	!	EDGE	Ul	0.2	1.88
	STR' AM-		[/0]	C		ORIFICE	A.	0 4	1.21
	STRUT	-15.0	010	0 0	7	IN DUCT		0.6	0 84
	ACRESS	1	0 25	0.2	3	000.		08	0.20
L	DUCT		0.50	0 9	0			10	ó o

Note 1: Subscript on C indicates cross-section at which velocity is enfoulate
FIG. 8-7 Produce Losses Due To Area Changes (Reprinted by permission from ASHRAE
50 Contract Cita Book 1965)

Fuente: Manual de Ashrae Fig. 8.7. 1965

APENDICE A.34 TRANSFORMACIÓN DE DUCTO CIRCULAR A DUCTO RECTANGLAR

TABLE 6-CIRCULAR EQUIVALENT DIAMETER, EQUIVALENT AREA AND DUCT CLASS!
OF RECTANGULAR DUCTS FOR EQUAL FRICTION.

	•			<u> </u>	-		-	•	74				71	1	,	• 1	1
श्ची	177	1.	1	~	14		ad gr	Lyane.	4	Den.	time to b	D-4	12	Dan	A	7	-
-		,,	×7		**	v* *		0				-	91		-		
~ 7	54		42			1. 4	- 61	121				i				1	
**	e *		-7	4 - 4	2"	1. r	1 740	78.2	1 78	74.5				1			
					1 72	12-	1.74	07	1 45	24.21	1.67	«	-	- }	ì	h	
- 4	2.4		21		* 48	- # ×	1 47	8.7	1 43	7- 11	1 87		277	×0 -			
• •		X 11 T	141	+ - 4	1.74		7.54	20.0	1 81	707	2.50	78 4	3.34	27 -	2 07	70 *	
7-	-		11.74		1 79	+ 4 *	1 69	77.4	1 00	यह इ	2 27	77.4	150	70.7	2 84	22.6 3.50	24
7.7	94	17.8	1 76	24.4	1 502	74.4	1 \$3	28.7	2 14	lis 4	2.67	70 1	2.78	23 0	3 11	214 143	24
7.6	14		1.75	* * *	3.47	17.7	1 87	he s	2 21	75.6	2 86	22.7	3 24	224	2 25	24 € \ 3.75	7**
			1 77		178	. V .	1200	PER	747	20.7	2 86		774	44	3.62	247 400	-
: 1	1.1		1 41	24.7	1 12	. 6	2 22	י מע	7 64	20 0	2 06	: 1:		24.2	3 24	24.7 4.20	-4
77 77		14 *	1 48	24.5	142.		2.38	20. 8	2 81	2: -	3 25	78.4	3 68	74.0	4.12	5" 4 53	
	1		- 40	1- 1	273	77.1	3 44	21 4	7 %	277	10	29.1	3 84	24.2	437	24.1 4.81	.~
14			¥	7- 8	_ (A)	70.0		20 0	3 11	710	2 83	- ·	479	4	4 53	70 5 . 5 27	*
75	1 7 7 7	-4 4	1 72	7- 0	1275		3.76	779	3 37	74 8	3 827	24.0	4 30	74.1		74 * 5 37	107
	1.71				231	>	7 99	27.7	7 43	24 1	3 47		4 53	74.4	5.07	m () 5 82	1,
•4	1 73		4	+ # 5	7 43	27.1	2 24	23.4	10	2₹ €	2 15		2.71	70 8	4 33	70 7 1 5 88	5.0
41	1 78	+ 4. 1		- 0 1	2 52	74 4	311	200	171	7K. F	4 33	24.2	4 702	44.0	3 55	2011	**
			, ,,	-7	12.41	20.0	1 3 22	24.7	3 99	·** -	4 40	34.7	5 12	77.4	5.76	12 1 4 37	74
44	- 43				1271	22	3 35		4 93	27.2	2	:	5 20	25.2		77 - 2 6 64	
-41			2 14	F. T.	2 81		3 65	24.7	2 15		4.54	. (**	2 40	40.0	F 14	20-14.63	
			7 77	30	7 2 20	24	357	~* 4	4 30	78.7	5 00	. Jan t	3 77	2.		121 714	
51	1		7 78	~~	2 20	20	1	74. 1	443	78.5	5.77	24.6	1	52.5			
58	1		2 39	~	2 3 540	27	3 53	* .	4 55	44.0	5.71	40 4	5 24	11.4	1 8 2.	4	
	1		2 47		. 310	22	7 3 94	24.0	4 58	70 7	5 48	27 7	6 76	200	i.		
5.8	1		2 57			.4	4 26	27.1	4 94	76.8			A	7.8	1		
	1		7.44			~	. 4.24	27.0	3 10	47.4	5.01	22 1	6 8.7	24	ייין		
	1				7.67	*4		74.7	1 27	17.4	A 76		16.		1 113		
••	1		V.		3 83	.74	E 4 71	, re 4	5 69	17.				4-		Commence of the commence of th	
7.6	1		.50		4 50		4 4 91	37.6	2 84	20.0	6 R3	74.1	7 25	74	1 8 00	1	
	1		*		1 4 15	,-	. 1 5 27	300.0	6 15	224	7 77	24	1 2 20	740	12 (1.9%)		
•5	i				1		3 41	1 22 1	8 87	28	2		-		* * 25	*	
**			1		1		5 58	1 2	8 84	754	17 27		3 04	- 2"	e [101		
	į.		1		4		5.79	* *2		44	. 812		-		* 10		
6.2	Î		1				3 %		- 1 Sec	75%			000				
100	1				1				7 40	200	1 30	9 70	4 8 80		1		
	Ì				1			-	7.60	4.							
104	1		1		i		1		7 90	24			1		100		
1.3	1		1				1		8.10	14	E . 2	91	10 1	V			
	ł		1		1				1.		**			1			2
120			1				1				10		No. 10.000		0 13	THE RESERVE TO SERVE THE PARTY OF THE PARTY	
124			1		1		1		1		10	3 %	3		1	1	
*20			1				1	-			10	6 44			1 13	250 march 1971	
131			-				1				1		17				
136			T.		1		9							3 	1		
140			ł		1		1		1		1		13	20	. 4 15		
144	i i										1		13			:L	
807077	1 1		1		1		- 1			-		hla era Gri					

Fuente Fundamentos de Climatización, Carrier, "Distribución de Aire", Tabla 6 Pág. 34

APÉNDICE A.35 TRANSFORMACIÓN DE DUCTO CIRCULAR A DUCTO RECTANGULAR

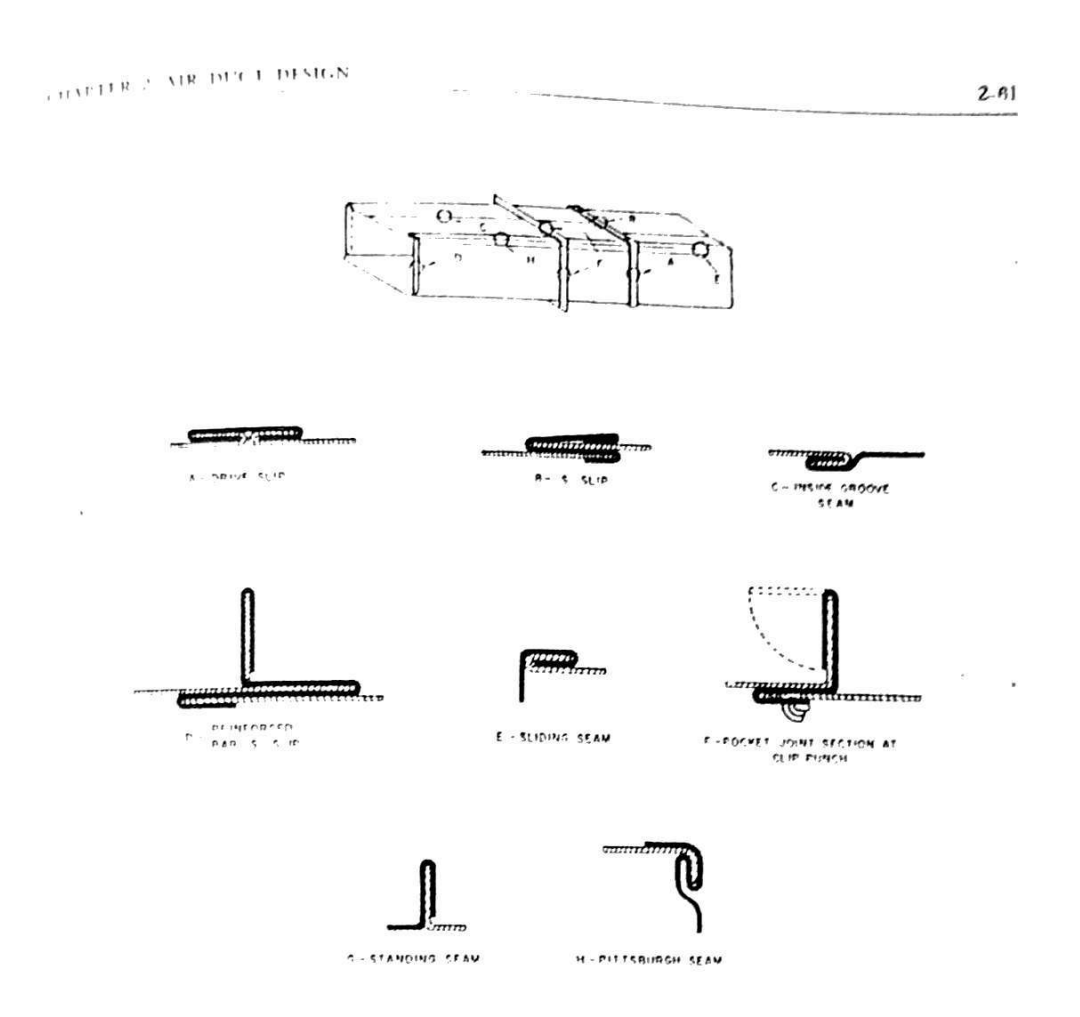
OF RECTANGULAR DUCTS FOR EQUAL FRICTION. (Cont.)

100 101 102 103 104 104 105			74	1	26	1		1	30		32	1-		-					
10 10 10 10 10 10 10 10		. ¢"U				Ang			Diago	Non		-	-		16	T	38	Т.	
14	1	*4		1		1	200	1 "	10. 10	Ph te	'n		Dieg	Ares	Dien	Area	Die	-	
14				3		70		1			100 10			1 19 11	in		7	14,	Diam
				J						1		1				1			-
1	÷			£				1		1				1		1			
10										1				1					
										1		1				1		(0)	
A A A A A A A A A A	- 59					×		1				1		1		1			
4.61 1.72 4.40 1.64 1.65		1 74	43	1								1		1		1			
4.13			27.7	4 40	20.4	T.										[I		
0 4.64		. 11	74.7	4 74	22 4	1 10	111					1		1		1	- 1		
1. 1. 1. 1. 1. 1. 1. 1.								5 86	17.										
\$\begin{array}{c c c c c c c c c c c c c c c c c c c	0.04	. 04	1 1 1	5 37			12 4				gazani		1				1		11.000
C.		74	11 0		12.1	4 15	114	6 60			150								
ALSO												7 54	1: 7	9			- 1		
	,			6 78	147	6 87	14.4						10 7	1 46	12.1				
A 5 1 1 1 1 1 1 1 1 1 1 1 1 1 1 1 1 1 1		15	114	6 71	14 /	7 72	10 4	7 71				37	10 7	. 89		7 43	414		
15	٨	45	(2000)	7 0 1									107	9 14	41.1		-		
Total Tota		75	15.2	7 34	14.	7 91		t			2000 66		411	9 80			S. S. C.	0.00	41,9
710	7	0.1	11.9	7 63	17.4	25	100				- 1	9 61	470	101	414		- Control 201 3		44 8
711 170 180 180 171 172 172 173 180 180 180 180 180 180 180 180 180 180				7 25	14 /	. 59	10:	75	~~~		10 miles 1		410	107	111	11.1	-		
11- 11-	,	5.0	1- 1	75	100	90	101	61				200	1		1	31333			
Fig. 117	, ,	• •	100	5.5	12 4	75	11 2 9	28	1				44 .	116	44.1	12 7			17.1
R.	,	1.6		5	4.1.1	61	420 1	04	1				457 1	7 1	47 1	127	40.1		#1
## ## ## ## ## ## ## ## ## ## ## ## ##	. ***	47	12 1 1	16	110 9	94	427 1	07							7000000				
## 27 10 17 10 11 11 12 12 12 12 12		. 7	10 4 9	41	41 - 1	0 3	111	10				-17	47 1 1	30	44.8	13 7	1	-	51 1
\$\frac{1}{10.9}\$ \$\frac{1}{10.7}\$ \$\frac				75	42 1 1	0.5	14 1 1	1.4	- m		Series I			3 4	49 4	14 2	110 11	•	
10 42 10 46 11 11 46 17 8 48 13 13 40 14 14 15 15 15 14 14 15 15	4	1)	41 4 1	0 3	41.4	17 .	11 2 1	2 1	-			(7)()(5)			50 4		2		
10 4 41 11 5 45 12 4 2 8 135 497 14 47 151 152 164 47 174 456 183 450 175 466 175 175 184 470 174 456 183 470 175 470 170 470			42 1	0 7	11: 1	12 .	1 A A	7 8	4. 1 1.		1		- 1	4 7	520 1	5 5			
115			1			14	7 • 1:	3 5			1				" 1	6 5	450 17	,	
115 46 124 48 137 49 144 57 154 57 158 510 170 558 181 57 182 57 193 595 120 40 137 60 148 57 148 57 154 57 155 550 177 57 189 580 201 407 201 407 123 40 137 60 148 57 148 57 161 541 173 561 185 562 197 60 709 620 701 707 124 45 147 51 155 51 51 51 51 51	10	•	112 1	70	1-0 1:	11 4	00 11	11	co + 15			1 7 .	Service and the service of the servi			74	55 5 18		
170				7 4	490 11	17 1	01 14	7	120 11			\sim		, ,	14.3	. 1	17 9 19	3 (9 5
139 457 147 471 155 474 147 467 173 381 185 472 197 601 209 670 271 617 131 491 148 472 159 440 172 462 186 481 197 402 111 622 127 648 147 481 148 481 188 481 48						01.80	11 15	4			200						(0) 20	3 4	10
120			1 :		1 14		27 16	1	4 1 17		econon 1998				I -				
139 66 150 154 167 167 179					100		14 14	7	cc 4 18	0 -						50000	120 27	1 4	'71
16.6 17.8 15.8 15.9 17.1 16.0 18.6			arrow pre-				1		20 10 10 10 10								1		0
14.6 17.6 17.6 17.6 18.6					-		1 17	• •	1 19				- P. C.						
15.1 67.7 16.8 64.5 18.3 18.7 18.7 60.4 10.5 61.4 27.0 61.6 27.5 67.7 24.8 67.5 26.8 67.6 27.5			S 17 55 5				200	6 (£ 4 19		0 5 21				1.,			*:	•
15.8								517 176							1				
16.7 16.6 17.8 C 1 18.4 C 1 10.4 C 10.6 10.7 22.7 64.6 20.7 64.6 20.7 24.8 67.5 26.7 6.9 40.4 28.2 71.0 16.6 C 2 18.4 C 1 10.8 60.1 71.6 6.10 20.7 64.6 20.7 64.0 20.7 66.5 60.7 28.7 27.0 69.6 71.0 17.1 67.0 18.8 C 1 10.8 60.1 77.1 64.0 20.7 64.0					1		0 10	7 1	7 / 21 1	*	5 5 F 10 5 C		1		0.000		1		
18.6							0.70503		1 / 220	6	16 23	5 4			1		1		
17.1 ***********************************					200	2 1	1		Same and the same of the same							. B			
17.4 17.4 19.3 19.5 19.5 19.5 19.5 19.5 19.5 19.5 19.5			1			Xn.	716		1 23 2		4 75						1000 Billion		
119 419 197 602 314 627 730 650 251 670 269 701 287 726 305 748 310 746 185 (42) 203 640 241 665 250 600 251 670 269 701 287 726 305 748 316 721			10			10.00		44	0 237		0 75								
18.5 (8.7) 20.3 (4.0) 27.3 (4.0) 24.1 (6.5) 25.0 (6.0) 27.1 18.7 (7.6) 20.5 (7.4) 21.6 (7.1)						0.000	200			4.7									
203 240 223 240 241 245 250 200 200	18.5		1 10 0			A. 2	730	44	7 25 1	A.7	26.5		1	1000	10520	70 NA			
1 206 (11 20 20 20 20 20 20 20 20 20 20 20 20 20					1					*0	0 27 9	71	1 29 4						
70.6 41 4 277 A4 5 74.8 A7 4 76.1 A0 4 28.2 77.0 200 74.1 31.0 76.0 31.4 75.1	790 2		and the same				1	A7	1 76 3	10	1 78 7				1		1000		

Carrier Air Conditioning Company

Fuente Fundamentos de Climatización, Carrier, "Distribución de Aire", Tabla 6 Pág.35

APÉNDICE A.36 JUNTAS PARA SISTEMAS DE DUCTOS DE BAJA PRESIÓN

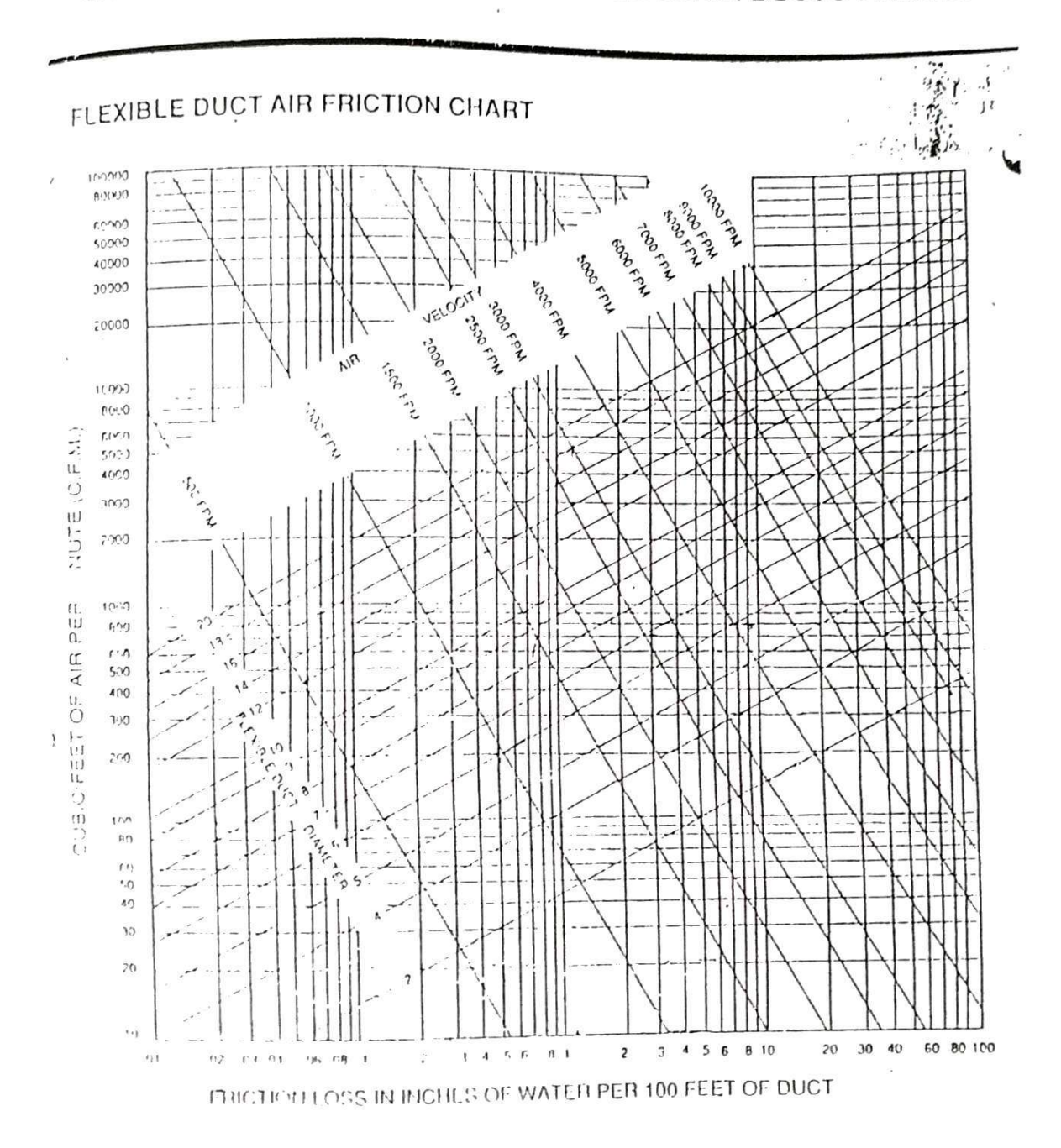


LIG. 58 JOINTS AND STAMS FOR LOW PRESSERS SYSTEM

Fuente: Fundamentos de Climatización, Carrier, "Distribución de Aire", Fig.58 Pág 61

APÉNDICE A.37

CARTA DE FRICCIÓN DEL AIRE A TRAVÉS DE UN DUCTO FLEXIBLE



Fuente: Tesis de Grado del Ing. Germán Sánchez 1.984



APÉNDICE A.38 PÉRDIDA DE PRESIÓN PARA DIFUSORES DE SUMINISTRO

	(171		'		10.4	- 1	0.5	17 . 4	,_	10 . 6			12 + 6			10.3			0 + 10			18			12 + 10
. •	P #15 110 MAI	1 1) (t	, ,	1	1 1	, ,	,	,	, ,	1	, ,			,	, ,		,	, ,	Ι,	,		T	1 1
8	TOTAL POICE TALL VELOCITY THEORY WIN CHINC NCT			:	111 111 1 L		: :					*		180									T. 93	-	
75	AND THINE HET THE THE THE THE THE THE THE THE TH	11 12	•	12	10 1	2 1	, ,		:	545 7	,	:	017 500												
luc.	TOTAL PRESS THEORY THEORY WIN TELLING MCT	179 17 18 1	n	10	11+0 11 15 1 1	: 1	54 90 5 17 1 1	n		725 10		17 1	071 670	5	11	913 545		•	613						
175	TO THE PRICE OF				101 1150 14 12		117	n 10 1	15	041 900 17		1¢	034 840 11 I	,	0.505	077 536 11		17	019 570	,	10	510	, ,	-	
S	THEOR STATES				19 10m 20 17	15 20	15 130 17	o 13 12		010 040 11 11		16	069 1000 14 11 8 3	,	15	019 890 17 10	1	"	027 670			077 570 10		12	017 545
75	M M LINING HEL IMBOM IDINI PALCE								18	1250 18 17 8 8	10	"	04.6 1175 15 17	10	11	253 250 14 17	2.5	15	710 790 17 10			010 700 17 1	0 10	13	073 639
on.	TOTAL PRISS TATE STRUCT THEORY HIS TOTAL HET								73	123 1440 11 15	1)	23	985 1140 17 17	10	20	070 1080 16 14	1	17	049 900 16 12	11		038	7 11	200	031 770 13 10
75	THEOR HGT								77	156 1615 27 16 8 8	14	75	108 1570 19 14 8 8	1)	7)	085 1200 17 15	14	20	051 1020 17 14	13	-	049	1 12	-	079 150 14 17
yn	INTEL POICE LACE STATEMENT THEORY WIN THINK HGS												133 1690 73 17		75 2	105 1350 10 16	15	27 1	075 1130	14	ю	040	10	19	048 900 15 11
15	AM A CHIMA MCL THEOR THEORY THAT ALL UCITA											32 10	161 FR40 77 23					24 ;	090 1240 20 17	16		049 1100	15	0.5	061 940 18 15
0	TOTAL PRISS TAIL VILIDITY THROW W THING MGT				TING		it ¼	set	tini	0				1		25			106 1350 7 19	11	73	087 1700	16	73	070 10=0 11 16
ķ	INTER PRISS LACE VILIDELLY THROW MEN CHINE HET	:	Set 1 Set 2	5 % 5 %	011	ns a	1 %	set set	ting	9								29 7	175 1450 (71	70	77	100 1100	11	75	085 1160 71 18
A	INTAL PRISS LACE VILOCITY ENROW WIN CITEING MGT				ance relow I		a co	mpil	ed	with	fin	5 5	set in	р	atte	rn		x 2	147 1575 5 22	,1	28	170	19	27	694 1250 27 1
5	TOTAL PRISE THE VILLETT CHAPTE WIN CELLING NOT	,	رلس آڏ)) MIL) AR	ί	زرا	س.	U	ال	Ų	J	į,	,!	Ļ	J.		***			yo ;	136 1500 24 21	76	79	116 1750 23 26
,	IDIAL PRISS FACE VILOCITY THROW					2.7	, } B	3/16			(1/2	\2 %		ħe			-			"	' '	- ')1	127 1656 24 - 21 - 2

Page 14

Fuente Manual de Air Guide, Pág.14

APÉNDICE A.39 PÉRDIDA DE PRESIÓN PARA DIFUSORES DE SUMINISTRO

	\$176	T -	16 ± 8 74 ± 6		_	14 + 1		1	16 x 1 70 x 8		_	18 . 1	0	16	1 17	24 y 35 z		24 30 20			16 :				16 24		
	DIBLE TIONAL	1	7 1	•	1	, ,	•	1	,	1	,	7	,	,	,	,		1 7	,	J	1 2		7	1	1		1
	INTAL PRISS	11	110	,													1	i i			-	66	-	-			-
150	TOTAL CHILLS	,	0.70	•							1	100															
175	THEOR	11	11 9	:							1												1	-			8
113	TOTAL PRISE	1	073	•		071			018			٠			14(96)	2	-										
000	INC VILDCITY	1:	17 10		1:	17 10				8 9										1							
	HIN CEILING HET		0.00		1	025		1	610		1=	8.8		-	-	to 20	-		щ.							_	
25	THEOR	16	11 11		15	13 11	11	14						1									1				
	TOTAL PRISS		017			740			630	ě	1	077		-	01		-	+	20		-	-	1		6	-	
50	TACE VILING HET	11	15 12	11	12	14 17		16	13 1	1 10	15	1) 1	0 1		11	•	,			1							
	TOTAL PRESS		049			041			035		1	0/5		1	02	?	'	01				-				_	
75	THEOR MET	70	17 14			16 13				1 17	17	14 1	1 11	15	17	11 1	1 11	500 11	,				1				
	TOTAL PRESS		950			900			040			031			07			- °		1-	014					-	TIES!
ν.	MIN CLILING HCT	10	9 15	14	20 10	17 15	14	19	16 14	11	18	15 1	1 13	16	13	12 1	114	12	1 1	13	17	10	10				
	TATE PRISE		10.30			720			011 011	8	-	037 780			03	0	1	07		ı	011		1				-
75	MIN CLITING HC1	10	9 1	16	10	1 16	15	10	17 19		76 10	17 1	14	18	15	13 1	16	13	2 12	15	17	11	11				
080	TOTAL PRISS		0:5			1050		es:	950			240			03	5	1	07			011		1		015	-	-
50	MIM CLITING HOL	75	9 8	17	11	, ,	16	73	, 1	15	71	18 19		19	16	14 16	17	11,	1 11	16	13 1	7	1]]	5 1	7 11	11	
	TOTAL PRISS		1790	00000		1130			063 1070			900			830		1	027	-	1	077	-	1		017		
15	THROW WIN CEILING HGT	27 11	77 19	•	76 11	, ,	17	11	19 17 9 1	16	11	9 1	15	70	17.	15 14	18	15 1	1 14	17	14 1	,		5 1	, 11		15
m	TOTAL PRISS		1070 73 70		78	085 1200 22 20			1080	.,		950			046		1	031			025				070 360		
in	HIM CEILING HGT	ii	124		ii.	9 8	•	11	21 18 9 8	_'	ii	2 5 =	1 8	11			11	,		11		•	7	1 1	, ,	"	16
0	TOTAL PRESS TATE VILICITY THEOR	17	1450	,,	31	1350	21	79	1270	20	,,	068 1080 73 18	.,	١.,	100	0		210			710	,			630		
	MIN CHILING HOT	12		•	17	132	•	17	9 9		17	9 9		12	077	•	12	9	, ,	12	_ ' -	•	4	2	, ,	17	17
0	TACE VITOCITY				34	1500 28 - 25	73	31	1350 26 23	21	79	1710	20	,,	1100)	1,,	900		,,	040 #00		.].		700 700		
	NIN CHILING HGT				17	10 9	,		10 9		17	10 9	,	17	10	, ,	17	10	, ,	17	10	•	, 1	, 1			17
e l	FACE VILOCITY			- 2				14	1435 28 - 25	23	33	1370	27	79	1210		18	1000		,,	70		, ,	, ,	780	16	21
	TOTAL PRESS							17	10 9	. 9	17	130	,	17		, ,			, ,		10 1			2 1		٠,	12
0	TACE VILOCITY							37	1670 32 28	76	35	1150 30 76	25	32	1320		71	1000		26	970	٠	, ,	, ,	150	17	71
	MIN CEILING HGT			-				14	10 9	,	14	10 9	,	14	10	' '	14	10	٠ '	14	10		9 1	1	067	_'	14
0	THEOR						- 1									76	и	27 7	1 23		1170	3 2	7 7	7 7	1000	19	"
	TOTAL PPESS						1		122	v .	-		- 2	14	10 1	0 9	14	10 1		14	_16 1 _104		1	1	081	•	14
0	THROW			-			1											31 2	7 76	35	79 2	*	1	2 2			30
	TOTAL PRISS															-	"	11 1	0 10	10	11 1		10		102	10	16
n	THEOM THEOM HIM CELLING HEE						1														33 Z	, 1					
o	TATAL PRESS													8				220			1600		1		123	-	
N	MIN CHILL HELL																			13	34 1 12 1	17	11 4	0 3	4 30	29 10	37
n	TOTAL PRISS						1																		153	(SECOLO)	
	N.M. ETHING HOT			1													١.	_					1	1)	4 32 7 11	10	10
00	TACE VILOCITY			1													'	051									
	MIN CHILING HGT			-			- 1			- 1			- 1				1						1				15

Page 15

Fuente: Manual de Air Guide, Pág.15

APÉNDICE A.40 VELOCIDADES RECOMENDADAS A TRAVÉS DE DIFUSORES

APLICACIÓN	VELOCIDAD (FPM)
Sala de Estudios	300-500
Residencias	500-750
Apartamentos	500-750
Iglesias	500-750
Habitaciones Hoteles	500-750
Teatros	500-750
Oficinas Privadas Tratadas Acústicamente	500-750
Oficinas Privadas No Tratadas	500-800
Cine	1000
Oficinas Generales	1000-1250
Tiendas Comerciales	1500

Fuente : Fundamentos de Climatización, Carrier "Distribución de Aire" Tabla 20 Pág 71

APÉNDICE B



T THERMISTOR SENSOR

MODEL ST.D

DESCRIPTION

precon Model ST-D0 Duct Thermistor Sensor the precision remote temperature sensing for provides precision systems and mechanical provides present and mechanical equipment instrumentation. The active sensing of building automentation. The active sensing element is not relable precision thermistor material. noting the precision thermistor material accurate to highly stable precision thermistor material accurate to within ±0.36 F (0.2°C)

the sensing element is sealed with a thermally conducthe sensing and a 9" (22.8 cm) long 304 stainless steel and to a 4" (10 cm) electrical stress. and compound at a 4" (10 cm) electrical strap. The slots a mounting bracket form mounting and a stainless steel the mounting bracket form mounting ears for direct the mounting and standard electrical boxes. The gromnet on the tube fitting seals a 9/16" (1.43 cm) insertion

FEATURES

Five-year warranty

±0.36°F (0.2°C) accuracy

Wide selection of thermistor curves

Tip sensitive for precise temperature response

Adaptable with many options

304 stainless steel probe

Easy to mount to duct or back box

Waterproof probe

OPTIONS

Custom lengths up to 9' (2.74m)

Matched sensor pair

Many mounting options: handibox, greenfield fit-

ting, non-metallic box, weather proof box

Dual sensor probes

NIST traceable

SPECIFICATIONS

Sensing element

Thermistor (thermal resistor)

Accuracy

±0 36"F (0 2"C)

(NIST traceable option)

Sensor types

available 2 252K, 3K, 10K, 20K, 100K

(ref. in ohms @ 77°F/25°C)

Temp range

-30 to 160°F (-34' to 71°C)

Temp response

Negative temperature coefficient

Sensitivity

See "Sensor Resistance Charts" in the "Technical Reference" section



APPLICATION

The Model ST-DO is designed for direct mounting on sheet metal duct systems. Where conduit is required, the duct sensor has a universal nylon mounting connector which adapts to a 1/2" knockout in a standard handibox. The nylon fitting has a 1/2" NPT female conduit fit-

The Duct Temperature Sensor is waterproof and can be used at temperatures ranging from -30" to 160"F (-34° to 71°C). The sensor is point-sensitive and comes standard with 9" (22.8 cm) insertion depth, and the XL option provides custom lengths.

Stability

0.24°F (0.13°C) over five years

Heat dissipation

constant

2.7 mW/°C (power needed to raise the temperature by 1°C)

Connection

8' (2.4m) of 24 AWG pigtails

prestripped ends

Mounting

Directly to duct, wall, or customersupplied back box, no adapters

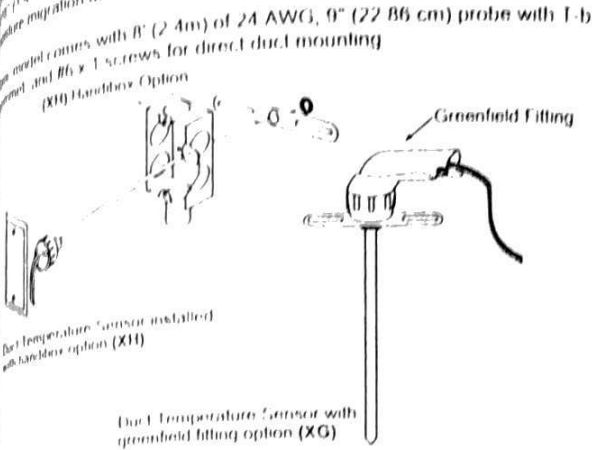
needed for standard boxes

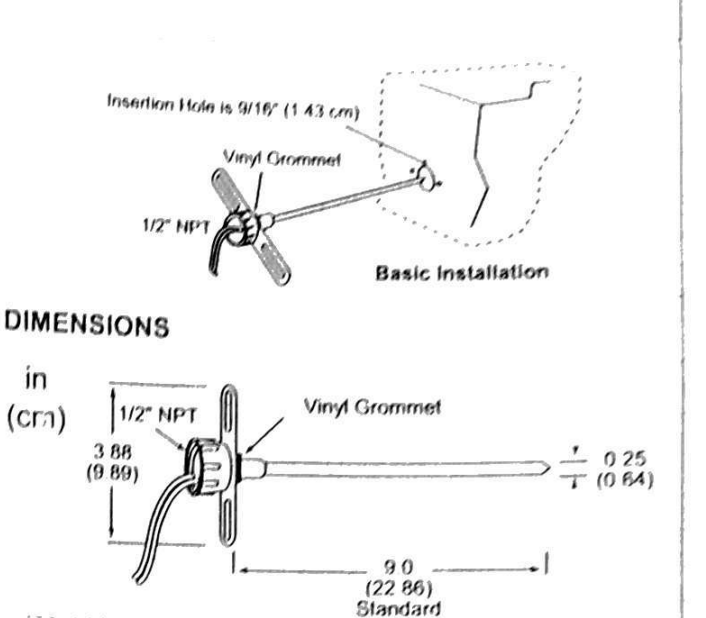
THERMISTOR SENSOR

SIDS

Adapters conduit is not required. Adapters conduit is not required. Adapters described in the conduit is not required. Adapters conduit is not required. Adapters of the conduit is not required. Adapters of the conduit is not required. Adapters of the conduit is not required. OUNTING Adapters remaind screws can be used where conduit is not required. Adapters remaind when mounting directly to outlet boxes. Install grommet in the lead length provided to accomplish the last top to the connection. Property of counter boxes. Install grommel in the provided to avoid the provided the provided the prov (14) mserma con- Use full 6' (15) on the full connection

والمسابقة به المسابقة (2.4m) of 24 AWG, 9" (22.86 cm) probe with 1-bar, المسابقة به المسابقة به المسابقة المسا





ORDERING INFORMATION

MODEL	DESC	RIPTION								
ST-D3	10,000Ω Duct Thermistor @ 77°F (25°C) Type III Material (gray leads)									
ST-D21	2252() Duct Thermistor @ 77 F (25 °C) Type II Material (green leads)									
ST-D22	3000Ω Duct Thermistor @ 77 F (25°C) Type II Material (blue leads)									
ST-D24	10,000	0.000Ω Duct Thermistor @ 77 F (25 C) Type II Material (yellow leads)								
ST-D27	100,00	00,000Ω Duct Thermistor @ 77°F (25 C) Type II Material (gray leads)								
ST-D42	20,000Ω Duct Thermistor @ 77 F (25 C) Type IV Material (green leads)									
	OPTIO	NS (see page 47 for option details)								
	xco	1/2" LB conduit fitting								
	XD	Dual sensors in one probe								
	XG	Greenfield fitting (factory installed)								
1	хн	Handibox housing (factory installed)								
	XHP	Non-metallic handibox housing (factory installed)								
	XL.	Custom length insertion probe, available 2" to 9' (5.08 cm to 2.74m)								
	XL2	Custom length insertion probe, 4-7/8" (12.38 cm)								
	XN1	NIST certificate, 1 reference point 32 F (0°C)								
	XN2	NIST certificate, 2 reference point 32 F/160°F (0°/77°C)								
	XP	- Matched sensor pair matched to ±0.1 °F/0.055°C (shipped in pairs)								
	XW	Weatherproof housing (factory installed)								
	X25	25' (7.62m) lead length								
st.b3]	[xG]	Example: ST-D3-XG 10 kt1 Type III duct temperature sensor with greenfield fitting								

UR KT1

RELATED PRODUCTS Moisture resistant three-wire butt splice Mounting screwdriver 1/16 allen key

ROOM IT MPT RATURE SENSOR, THERMISTOR AND RID

WALL KILL

Medel KIR Room Temperature Sensor is a " CCHILLIUN Medel Kin temperature sensor with an accura-" of the material that offers the reliability and material that offers the reliability and systems. The platinum RTD companies systems. all pic adirections. The platinum BTD comes in and and 10000 and is compatible with most HVAC and linear scome with a three-year warranty.

MATURES . Fconomical Allractive new design Three year warranty 105 F (0.28 C) accuracy

Durable housing White color Thermistor or RTD

Locking cover screws

, Sel point slide adjust Momentary override switch

, RJ11 communication jack

NIST certificate

, 24V LED lamp OEM models available

Custom logos

APPLICATION

the Model KTRO is designed to be wall mounted ndoors where appearance and accuracy are important. he sensor may be mounted directly to the urywall or m standard electrical boxes. It comes in all the most mmon thermistors or RTDs. Options may be mixed indimatched for each application.

lemp range

Sensitivity

Stability

ATO

Sonnection

hermistor

lemp response

SPECIFICATIONS Sensing elements Thermistor (thermal resistor) RTD (platinum) Accuracy ±0.5"F (0.28"C) Sensor types Thermistor @ 77 F 2.252K, 3₭, 10K, 20K, 100KΩ RTD @ 32 F Platinum 100Ω, 1000Ω 385 curve

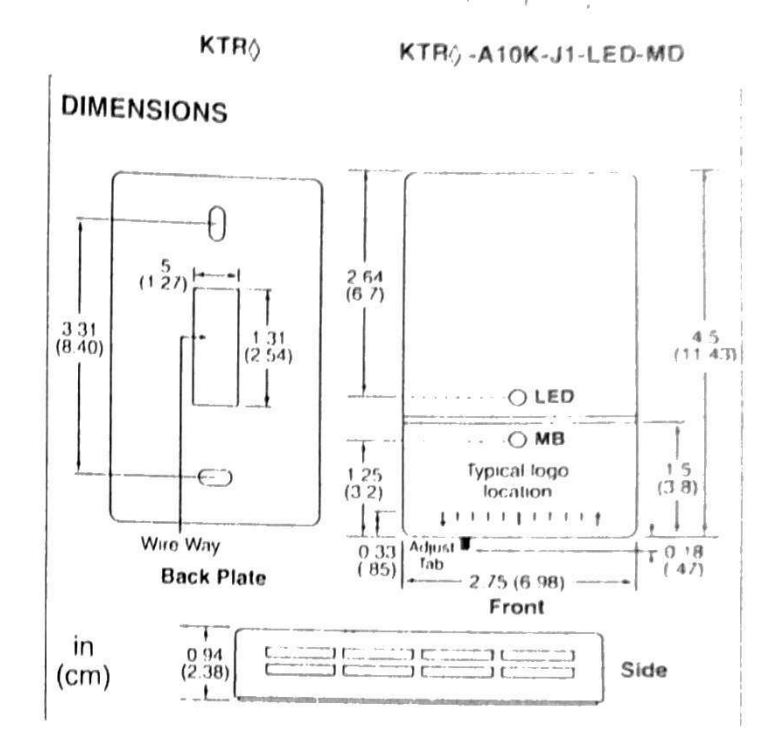
Platinum 1000Ω 375 curve 35" to 140"F (2" to 60"C) NTC - Thermistors, PTC - RTDs See "Sensor Resistance Charls" in the "Technical Reference" section

0.24°F (0.13°C) over five years * 100% (no drift platinum)

Lerminals

11 (4/1

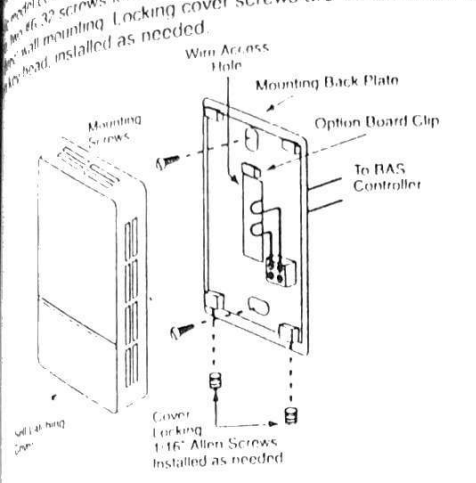
Kele



Mounting Directly to wall or customer-supplied back box, no adapters needed for standard outlet boxes Color White plastic **Options** Override button N.O. form A contact in parallel with pot or sensor with jumper Set point adjust 400, 10K, 20K, or 100K\(\Omega\) slide pot Comm. jack RJ11, four-conductor connection NIST 1 or 2 point accuracy certificate 24V (AC/DC) LED Lamp indicator (externally powered) Custom printing; 1, 2, or 3 color **Custom logo** 1/16" Allen key head Locking cover 0.2 lb (0.09 kg) Weight

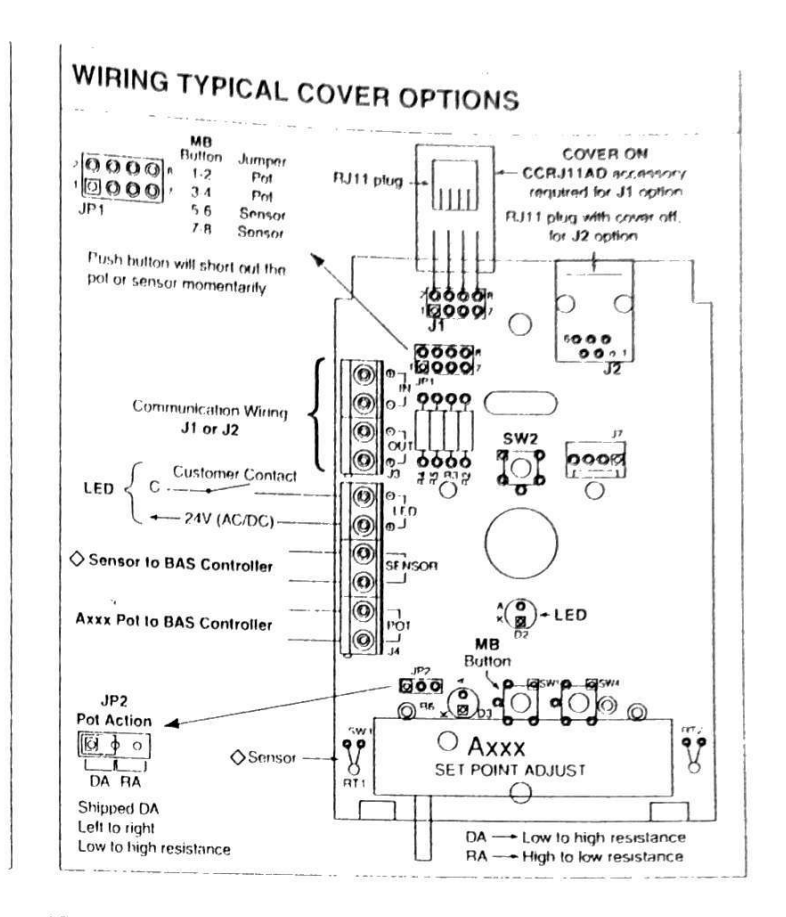
EROOM TEMPERATURE SENSOR, THERMISTOR AND RTD

MEL KTR MING AND SENSOR ONLY WIRING Mark of the classical mount screws can be used where a control with the classical mount screws can be used where when mounts of the control with the control wi of control to the control of the con including with screw terminal block, white decorator face. with screw terminal block, white decorator face-phicennes with screws for handibox mounting, and two #6 x 1" screws are a screws for handibox mounting. The handibox mounting to the screws are #6-32 with a transstiffers screws for narraneous mounting, and two #6 x 1" screw are #6-32 with a 1/16" Locking cover screws are #6-32 with a 1/16" will mounting to a needed.



should be mounted approximately 5' (1.5m) above the floor, print wall, out of the sun, and away from any heating or cooling

klust option requires option board removal to mount back plate.



ORDERING INFORMATION

DESCH	IPTION		Sample Order	
kele Ho	om Sensor F	lousing	KTR3	Kele Room Sensor
SENSO	R SELECTIO			with 10K Type III Thermistor
3	10k ohm 1	nermistor # 77 F (25 C). Type III	KTR85-A400-MB	Kele Room Sensor
21	2252 ohm	Thermistor @ 77° F (25° C), Type II		with 1K ohm 385 RTD
22	3k ohm The	ermistor @ 77 F (25 C) Type II		with 400 ohm adjust pot and momentary switch
24	10k ohm 11	nermistor & 77 F (25 C), Type II	KTR24-N1-LED	Kele Room Sensor
27	100k ohm	Thermistor @ 77°F (25 C), Type II	KIMZ4-NI-LEU	with 10K Type II Thermistor
42	20k ohm 11	nermistor @ 77 F (25°C), Type II		with NIST and LED lamp
81	100 ohm R	TD, 385 platinum curve		
85		RTD, 385 platinum curve	Accessories	
91		BTD 375 platinum curve		G
		NSOR OPTIONS (Options to be listed alphabetically with dashes)	CCRJ11AD	J1 option adaptor
	A400	Selpoint adjust with 400 ohm spari (R5 for offset), Patone 431C	KT-1	Cover mouting screwdriver 1/16" Allen/standard/philips
	A10K	Setpoint adjust with 10k ohm span (R5 for offset). Palone 431C		1/10 Anervstaridard/primps
	A20K	Setpoint adjust with 20k ohm span (H5 for olfset), Patone 431C		
	A100K	Setpoint adjust with 100k ohm span (H5 for offset), Patone 431C		
	CL1	Custom logo option one color. (CL2 = two color, CL3 = three color)	 Logo Color Char 	Ls .
	J1	BJ11 externally accessible communication jack (CCRJ11AD)	Pantone 48	Pantone 356
	J2	RJ11 internal communication jack		
	LED	LED lamp indicator_standard 24V (AC/DC) voltage	Pantone 49	Pantone 124C
	MB	Momentary push button switch, jumpered across sensor or pot (JP1)	Pantone 30	Pantone 431C
	N1 N2	NIST certificate, 1 reference point 32 F (0 C)	Pantone 29	Pantone 6C

LELE DIFFERENTIAL PRESSURE TRANSMITTERS

DPA Series Differential Pressure Kelle or very cost-effective, low-range differenare milter is a very cost-effective, low-range differenare strict transmitter for duct pressure applimanufacture transmitter for duct pressure applications measurement of pressure differentials up a measurement of pressurement pressure applications of pressure differentials up to 10 measured. The DPA Series incorporate The DPA Series incorporates a regulive, silicon micromachined sensing of The requirement service silicon micromachined sensing element services and the service silicon micromachined sensing element services and services incorporates a service silicon micromachined sensing element services and services incorporates and services and services incorporates and services incorporates and services incorporates and services are services and services and services are services and services are services and services and services are services and services and services are services are services and services are services and services are services and services are services and services are servi sensing element sensing elemen of mance and accuracy.

ATURES

LOW COST 4-20 mA output standard or 1-5/2-10 VDC outputs LOW COST 24 VAC or 24 VDC power

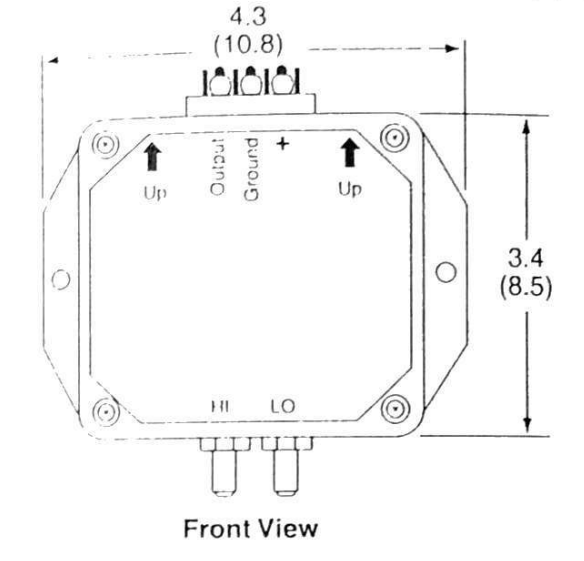
Brass barb fittings for 1/4" tubing

1wo-year warranty



DIMENSIONS

(cm)



1.4 (3.4)1/4" Barbed Fitting Side View

Note: The unit should be mounted on a vertical surface (see "up" arrows). If the surface is not vertical, see the Installation instructions for necessary adjustments.

SPECIFICATIONS

Supply voltage Power

Operating temp Compensated

temp range Full scale shift Compatible media

Output signal

24-36 VDC/24 VAC

0.75 VA

-13° to 185°F (-25° to 85°C)

32°F to 122°F (0°C to 50°C) ±2% full scale output, 0° to 50°C Dry air or inert non-conductive gases

Two-wire 4-20 mA (550Ω max) or three-wire 1-5 or 2-10 VDC (100 ks2 min)

Input range Proof pressure Accuracy

Repeatability

Weight

0-1 "W.C. to 0-10 "W.C.

100 "W.C.

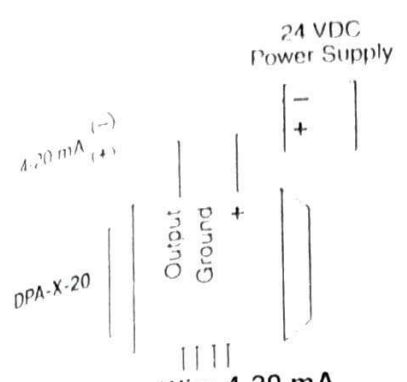
±1.1% full scale output, includes non-linearity, hysteresis, and non-

repeatability

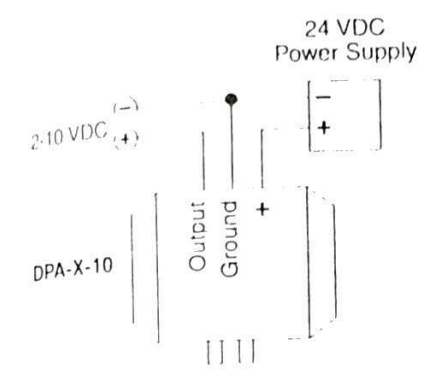
±0.3% full scale output, nominal

5.1 oz (144g)

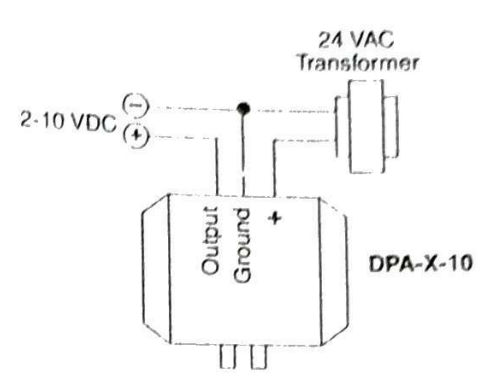
FOIFFERENTIAL PRESSURE TRANSMITTERS



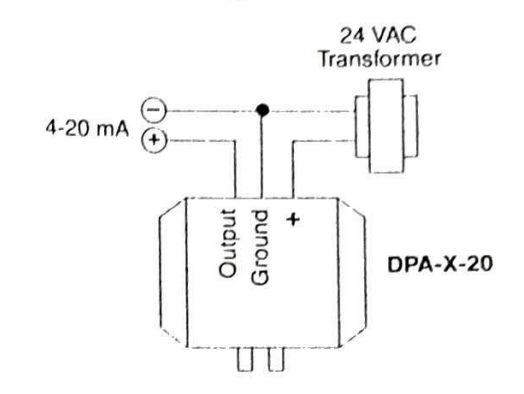
Two-Wire 4-20 mA with 24 VDC Power Supply



Three-Wire 2-10 VDC with 24 VDC Power Supply Note: Same wiring for 1-5 VDC models



Three-Wire 2-10 VDC with 24 VAC Transformer Note: Same wiring for 1-5 VDC models



Three-Wire 4-20 mA with 24 VAC Transformer

ORDERING INFORMATION

MODEL	4		PTION
DPA	Diff	erent	ial Pressure Transmitter
	INP	UT F	RANGE ("W.C.)
	1	0-1	
	2	0-2	
	3	0-3	
	5	0-5	
	10	0-10)
		OU	TPUT SIGNAL
		20	4-20 mA
		10	2-10 VDC
		5	1-5 VDC

Example: DPA-10-5 Differential pressure transmitter with input range of 0-10 "W.C. and 1-5 VDC output significant significant

RENTIAL PRESSURE TRANSMITTER . mintill S

M230 Series Differential Pressure Transmitter is M230 Series differential pressure Transmitter is a capacitive technology to produce signal proportional to the differential pressure. signal pressure.

Signal pressure differential pressure in unidirectional measure as much as 100 psig and bidirectional will measure much as 100 psig and bidirectional appliance much as 50 psig. The stainless of applications as much as 50 psig. The stainless steel wetted allohos as much as seals make this usit allons as most gard elastomer seals make this unit ideal for both and gases. The NEMA 4 (IPSE) parls and gases. The NEMA 4 (IP65) case keeps the electronics protected from the environment.

FEATURES

, 0.25% accuracy

NEMA 4 (IP65) protection , stainless steel wetted parts

Elastomer seals

, High proof pressure

Current or voltage outputs

, Mounting bracket included



CE

SPECIFICATIONS

Supply voltage

Current

Min

Max

Voltage

9 VDC + (0.02 X R);

R = circuit resistance 30 VDC + (0.004 X R);

R = circuit resistance

9-30 VDC (0-5 VDC output)

13-30 VDC (0-10 VDC output)

250 psig (1723.8 kPa)

See Table 1 below

Max line pressure

Max overpressure

PROOF PRESSURE Range Proof roof P anga psid kPa psid kPa psid kPa psid kPa 6.89 20 137.9 124.55 20 137.9 0.5 13 79 40 275.8 275.8 6.89 40 1 34.47 100 689.5 2.5 13.79 100 689.5 0-10 68 95 100 689.5 689.5 5 34 47 100 0.25 1724 250 1723.7 10 1379.2 68.95 200 0.50 344 7 250 1723 7 25 1723.7 0-100 689 5 172.4 250 250 1723.7 1723.7 50 344,7 250 Accuracy

±0.25% FS

Non-linearity **Hysteresis**

Nonrepeatability

Thermal effects

Zero/Span shift Output

Current

Max load

Voltage Input impedance

Temp

Compensated Operating

Storage Wetted parts

NEMA/IP ratings Approvals Connections Weight

±0.20% FS

0.10% FS 0.05% FS

2.0%FS/°F (1.8%FS/°C)

4-20 mA 4-20 mA

1000Ω

0-5 VDC and 0-10 VDC

≥5000Ω

30° to 150°F (-1° to 65°C) 0° to 175°F (-18° to 79°C)

-65° to 250°F (-54° to 121°C) 17-4 PH stainless, 300 Series

stainless steel, viton, silicon rings

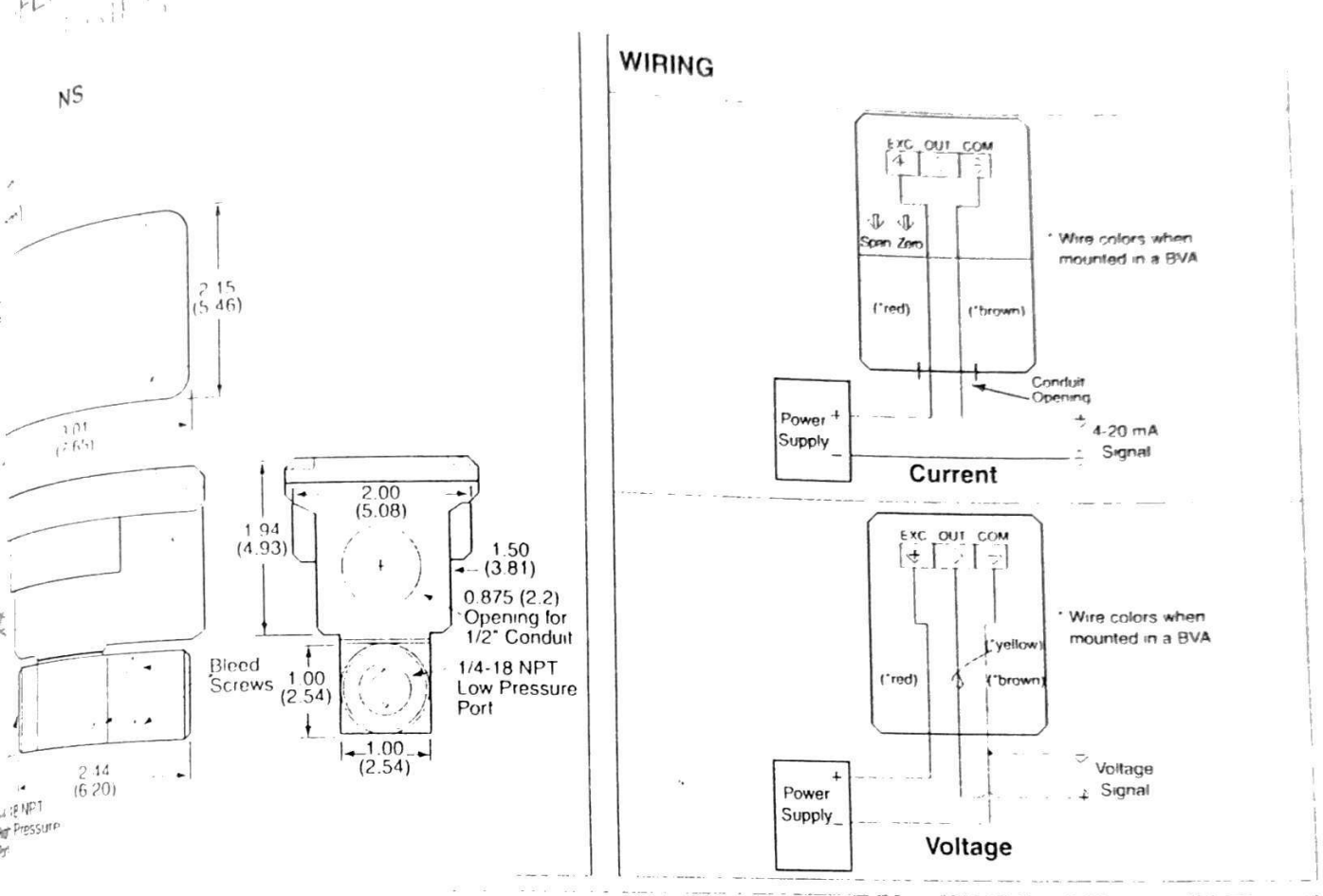
NEMA 4 (IP65)

CE

1/4-18 FNPT

14.4 oz (0.41 kg)

FERENTIAL PRESSURE TRANSMITTER



ORDERING INFORMATION

MODEL		
M230		al Pressure Transmitter
		RE RANGE psid (kPa)
	001PD	0-1.0 (6.90)
	002PD	0-2.0 (13.79)
	005PD	0-5.0 (34.48)
	010PD	0-10.0 (68.95)
	025PD	0-25.0 (172.38)
	050PD	0-50.0 (344.75)
	100PD	0-100.0 (689.50)
	0R5PB	0.5 (3.45)
	001PB	1.0 (6.90)
	2R5PB	2.5 (17.24)
1	005PB	5.0 (34.48)
- 1	010PB	10.0 (68.95)
	025PB	25.0 (172.38)
	050PB	50.0 (344.75)
		OUTPUT
		C 4-20 mA (stocked at Kele)
		V5 0-5 VDC
		V10 0-10 VDC
		BVA Bypass valve assembly
		3VLV Three-valve manifold assembly
1		C Differential property
M230	010PD	transmitter ranging from 0-10 psid with a
		4-20 mA output

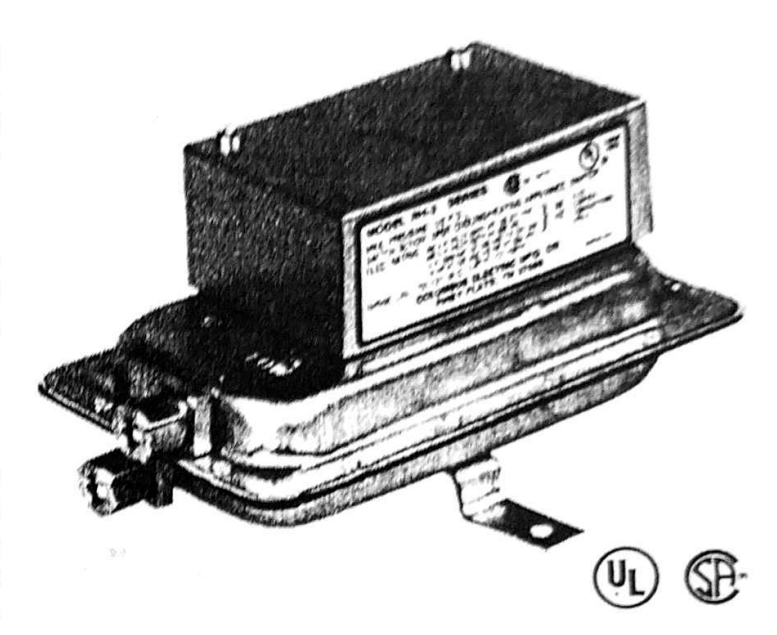
ERENTIAL PRESSURE SWITCH 101 15 RH-3-2

RH-3 and RH-3-2 Differential Pressure monitor low-air pressure, vacuum, or differenof air pressure. These switches are commonly used blower operation, sense dirty filters, and monitor drop across coils.

RH-3 and RH-3-2 are shipped with 1/4" comfillings, suitable for use with 1/4" OD copper or tubing, and a 12" (30.48 cm) length of 1/4" plastic

TION

pressure is applied to the high side of the air flow or vacuum is applied to the low side, an internal moves against and operates the lever of the When the air flow switch is at rest (not the snap-switch N.C. (normally closed) conis made to common. When an increase in differential operates the snap-switch, the N.O. (normally contact is made to the common terminal. The of the diaphragm on the snap-switch is the same pressure or vacuum is being sensed. The wiring the air sensing switch to other devices depends the application.



TIONS

point range

RH-3-2

0.05" to 12.0" W.C.

(12.5 to 2989 Pa) 0.05" to 2.0" W.C.

(12.5 to 498 Pa)

differential 0.02" (5.0 Pa) W.C. @ min

setting, 0.8" (199.5 Pa)

W.C. @ max setting

SPDT

Electrical rating

300 VA pilot duty @ 125-277 VAC

15A resistive @ 125 VAC

1/4 hp @ 125 VAC 1/2 hp @ 250 VAC

2.4A @ 24 VAC

0.5A @ 24-125 VDC

Overpressure

Approval

Weight

Operating temp Mounting position

Pressure connection

0.5 psig (3.5 kPa)

-40° to 180°F (-40° to 82°C)

Any vertical plane

1/4" compression, suitable for

use with 1/4" OD copper or

plastic tubing

UL listed, CSA

2.0 lb (0.91 kg)

is equilibrated faces the enteriors.

FRESSURE

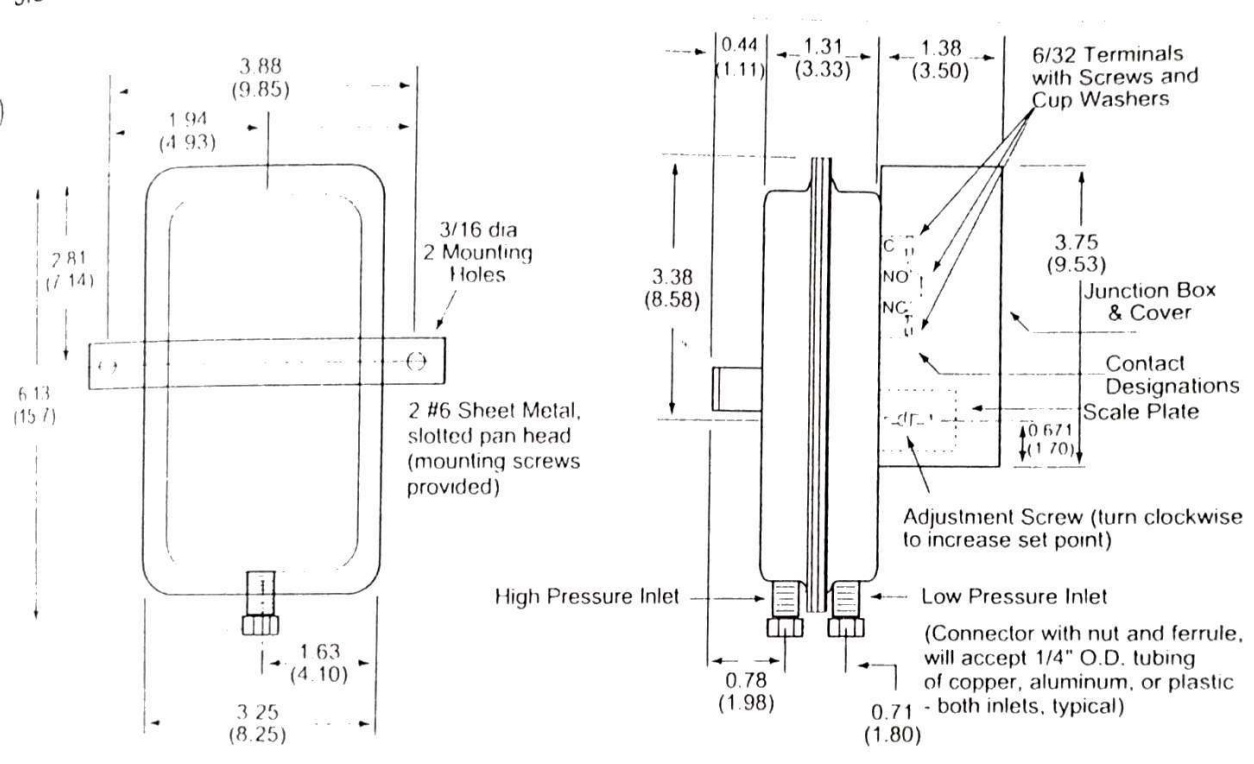
FERENTIAL PRESSURE SWITCH

ALLATION

RH-3 and RH-3-2 may be used to sense pressure, vacuum, or differentials of pressure and vacuum. Using sheet metal mount the control vertically on the duct or equipment. Avoid areas of high vibration. Connect the 1/4" tubing to the air switch using 1/4" compression fittings. Insert the other end of the tubing into area to be sensed. See Ordering Information for pressure tips and duct impact (total pressure) tubes for use with RH-3 and RH-3-2 switches.

adjusting screw located in the junction box may be used to change the operating point. The operating range is 0.05" to 12.0" for the RH-3, and 0.05" to 2.0" W.C. for the RH-3-2. The differential is 0.02" rising to 0.8" at highest setting. The switch will at 0.05" and reset before 0.03" on the low end. It will operate at 12.0" and reset before 11.2" on the high end. Rotate agreem clockwise to increase setting.

SIONS



ORDERING INFORMATION

A SECOND
RANGE
0.05-12.0 "W.C. (12.5-2.99 kPa)
Kele Calibrated for Your Application (specify set point)
0.05-2.0 "W.C. (12.5-4.98 kPa)
Kele Calibrated for Your Application (specify set point)

RELATED PRODUCTS

#21121 A-301, A-302 Duct impact tube Static pressure tip



POLITECNICA CEL LITORAL BIBLIOTECA GONZALO ZEVALLOS

FLOW

NW SWITCH 1011 I S1-6

PESCRIPTION Model FS1-6 Flow Switch is designed to prove Moder to a wide variety of HVAC and industrial The corrosion-resistant flow Industrial The corrosion-resistant flow switch is applications a weather-resistant box for simple and in a weather-resistant box for simple and industrial and industria application a weather-resistant box for simple wiring the polyphenylene sulfide plant. maunicu in the polyphenylene sulfide plastic vane is connections. The polyphenylene sulfide plastic vane is connections. (2.54 cm) and larger pipes, and it is the standard of the second of the s led immined to the SPDT switch to prevent is magnetically coupled to the SPDT switch to prevent from entering the switch housing.

FEATURES

- , Weather-resistant construction
- . Simple installation
- . Leak proof magnetic switch operation
- Field adjustable for 1" (2.54 cm) and larger pipes
- , SPDT snap-acting switch



Kele

SPECIFICATIONS

Piping connection

1" NPT

Operating pressures

150 psig (1034 kPa)

Operating temp

212°F (100°C) max

Wetted materials

Polyphenylene sulfide,

ceramic 8 magnet,

316 SS spring and pin

Vane

Field trimmable for

pipes 1" (2.54 cm) and larger

rical rating

SPDT snap-acting switch

5A, 125/250 VAC

Electrical connection

18-AWG leads,

18" (46 cm) long

Weight

1 lb (0.45 kg)

WIRING

Black

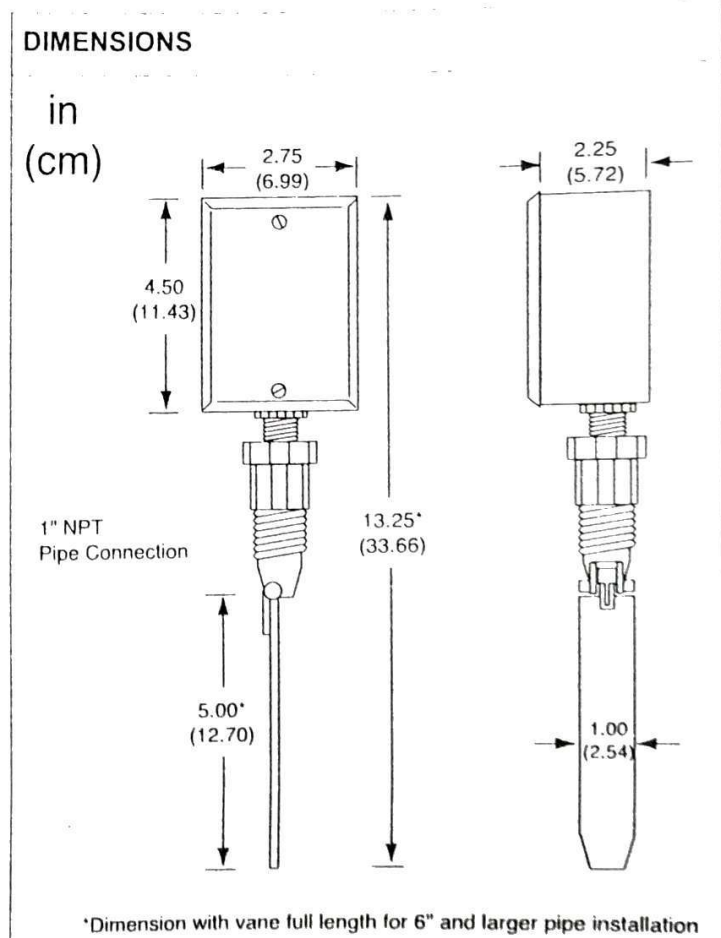
Common

Red

Normally open (no flow)

Blue

Normally closed (no flow)





STALLATION switch, making sure to remove any packing from the lower housing. Adjust the actuation or The tinger point by trimming the vane to the length desired. If using a pipe with a weld-o-let, cond-o-let, or plasfittings, trim the vane 0.125" (0.32 cm) above the marks. It is sleet fittings, trim the vane 0.125" (0.32 cm) above the marking provided. Because of the great variation and process connections, it is recommended the unit be at a second process. Recurse of the great variation and the unit be checked when installed to ensure proper operation that there is no interference between the vane and the recursion and the recursion of the great variation. If and that there is no interference between the vane and the fittings. For pipes larger than 6" (15.24 cm), and that length is the vane full length

switch is intended to be used in clean process media where particles, scale, and debris are not pre-But up of such materials may cause inaccurate signals.

The switch must be indexed during installation in the line with the flow arrow on the side of the switch pointing in The prection of the flow. Pipe sealant is required at the 1" NPT thread connection. It is important to not get the scalant in the vane assembly as it may prevent proper operation and cause misleading signals. When the unit, be certain not to over-torque the housing. Damage may occur if excessive force is used.

Carrect the switch wires in accordance with local electrical codes. The FS1-6 is not intended to be a load carryne conduit connection. Loads may damage the switch and stop operation.

ERFORMANCE

PIPE SIZE	ACTUATION gpm (lpm)	gpm (lpm)
1	10 7 (40.5)	9.3 (35.2)
1 25	9.5 (36.0)	7.7 (29.1)
15	8.1 (30.7)	6.3 (23.9)
2	9.8 (37.1)	8.5 (32.2)
3	12 4 (46.9)	8.9 (33.7)
4	20.2 (76.5)	12.7 (48.1)
6	43.0 (163)	32.8 (124)
8	74.2 (281)	56.6 (214)
10	116.7 (442)	89.0 (337)
12	167.1 (632)	127.4 (482)

When the flow increases to the actuation gpm (lpm) the switch makes.

When the flow decreases to the deactuation gpm (lpm), the switch breaks.

Flow rates are approximate and are based on 60°F water.

ORDERING INFORMATION

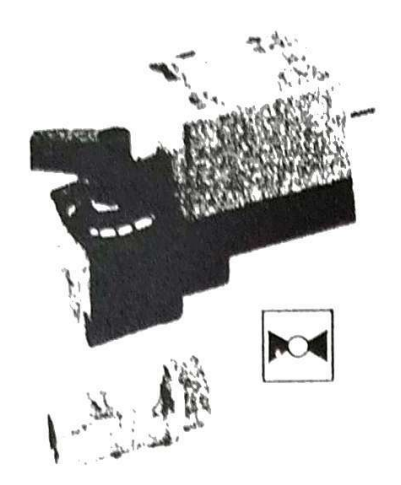
MODEL FS1-6

DESCRIPTION

Weather-Resistant Flow Switch

B Two-way Characterized Control Valve, Chrome Plated Brass Ball and Stem Actuators, Proportional

_{al Data}/Submittal



Specifications

chilled or hot water, 60% glycol

characteristic

A port equal percentage

Max 95° rotation

female, NPT

1/2" to 1-1/4" (B230B)

of end fitting

forged brass, nickel plated

chrome plated brass

brass

fiberglass reinforced teflon[®] PTFE

Characterizing disc

TFFZEL®

2 EPDM O-rings, lubricated

rating

600 psi (1/2" to 1-1/4")

lemp range

(1P)

0°F to 212°F [-18°C to 100°C]

off pressure

200 psi

differential

Full flow version

(no A disc)

Characterized A port modulating: 30 psi

for quiet service,

on/off 150 psi

50 psi maximum

philip

A port-see product chart for values

Application

This valve is typically used in air handling units on heating or cooling coils, and fan coil unit heating or cooling coils. Some other common applications include Unit Ventilators, VAV Box reheat coils and bypass loops. This valve is suitable for use in a hydronic system with variable flow. This valve is designed for modulating control using 2...10VDC or 4...20mA. (for 4...20mA control input a 500 ohm resistor is required).

The valve is designed to fit in compact areas where proportional control is required using 24 VAC/VDC.

Actuator Specifications

(LR24-SR-2.0 US without conduit fitting, ☐ LR24-SR-1-2.0 US

or feedback)

Running time: 95 seconds constant

> Transformer sizing 4 VA (Class 2 power source) Control signal Y: 0 to 10 VDC,

0 to 20 mA

Input impedance: 100 kΩ

 $(0.1 \text{ mA}), 500\Omega$

Operating range: 2 to 10 VDC,

4 to 20 mA

Feedback output U: 2 to 10 VDC,

max. 0.7 mA Direction of rotation:

reversible with switch CW/CCW,

CW = CW with voltage CCW = CCW with voltage

All LR Proportional

Proportional Control

24 VAC ± 20% 50/60 Hz 24 VDC ± 10% Power supply

Power consumption

3 ft, 18 GA, UL CL2P plenum cable Electrical connection

1/2" conduit fitting (not on -1 models)

Overload protection

Torque

Position indication

Manual override

Humidity

Ambient temperature

Storage temperature

Housing type

Housing material rating

Noise level Servicing

Agency listings

Electronic throughout 0 to 95° rotation

min 35 in-lb [4 Nm]

Indicator/handle external push button

5 to 95% RH, non-condensing

-22°F to +122°F [-30°C to +50°C] -40°F to +176°F [-40°C to +80°C]

NEMA type 2

UL94-5V (flammability rating)

less than 35 dB (A) maintenance free

UL873 listed, CSA C22.2

No. 24 certified, CE

Quality standard

ISO 9001

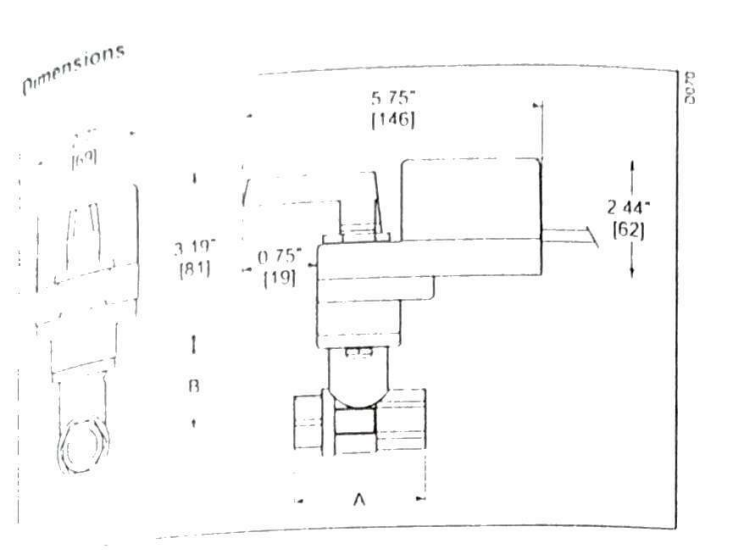


Salegistered trademark of DuPont

BELIMO

B2...B Two-way Characterized Control Valve, Chrome Plated Brass Ball and Ster LR Actuators, Proportion

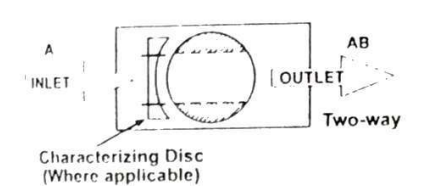
Technical Data/Submit



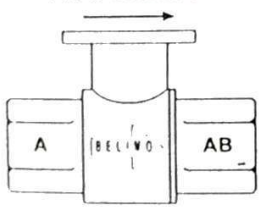
		ninal e Size	Dimer	nsions		
lve ody	in	[mm]	Α	В		
1113	1/2	15	2 06 [52.2]	1.39 [35.3]		
R	1/2	15	2 38 [60.5]	1 63 [41.4]		

- mal 1	alve Size	Dimensions in	n inches [mm]
10000	mm	Α	В
in	20	2 63 [66 8]	1 75 [44.5]
	25	3 50 [88.9]	1.81 [46.0]
	32	4.02 [102]	1 87 [48]

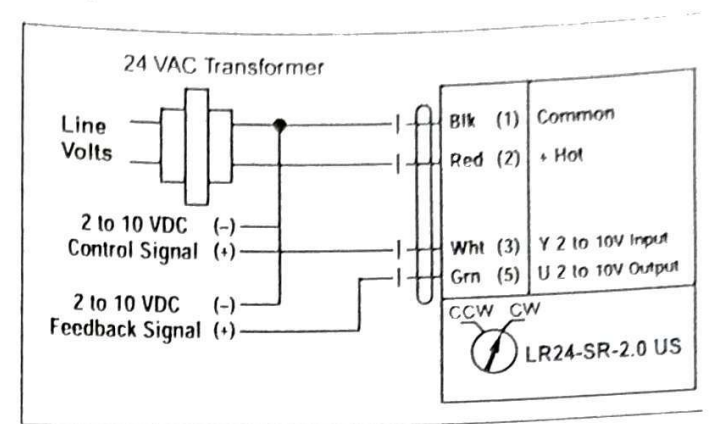
Flow Pattern



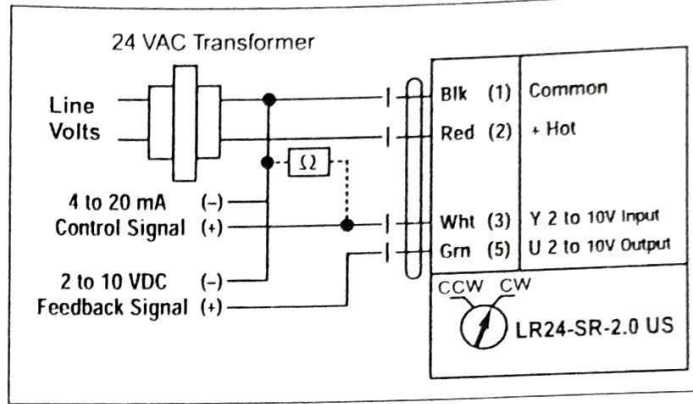
Flow direction



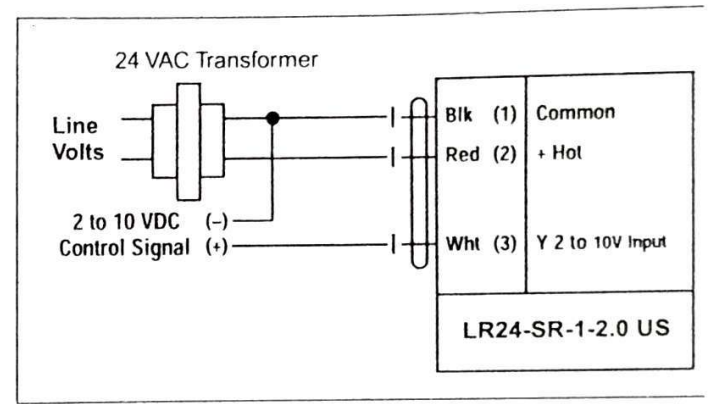
Wiring



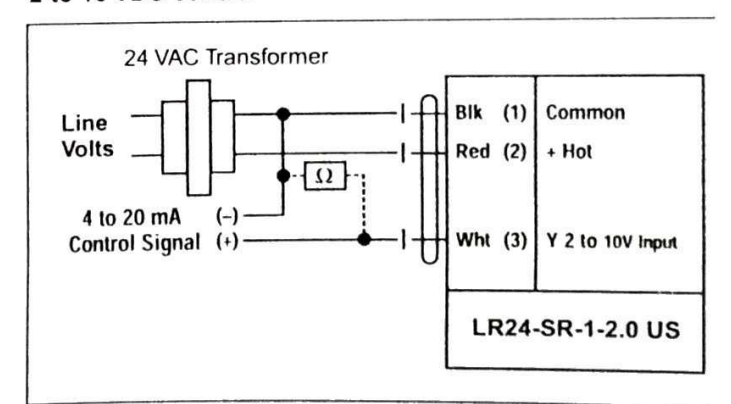
2 to 10 VDC control



4 to 20 mA control



2 to 10 VDC control



4 to 20 mA control

BELIMO

damper actuator, spring return safety, 24 V for 0 to 20 V phasecut control signal. damples 10 VDC for position indication

AF24-PC US Data

supply

consumption

indication

override

malerial

listings

bispuels

646

time

A. IEW

.pc US

24 VAC ± 20% 50/60 Hz

24 VDC ± 10%

running: 6 W; holding: 2.5 W

10 VA (class 2 power source) sizing

3 ft, 18 GA appliance cable connection

1/2" conduit connector

electronic throughout 0 to 95° rotation protection

0 to 10 V phasecut range Y

8 kΩ (0.1 mA), 50mW

2 to 10 VDC (max. 0.5 mA) for 95° output U

rotation mechanically limited to 95°

133 in-lb [15 Nm] constant

of rotation spring return reversible with CW/CCW

> mounting. Control direction selected by switch. CW=CW with decrease in signal

CCW=CCW with a decrease in signal

visual indicator, -5° to 90° (-5° is spring

return position)

3mm hex crank (shipped w/actuator)

150 sec. constant, independent of load,

spring return < 20 sec

5 to 95% RH non-condensing

temperature -22°F to +122°F [-30°C to +50°C]

lemperature -40°F to +176°F [-40°C to +80°C]

NEMA type 2 / IP54

zinc coated metal

UL 873 listed, CSA C22.2 No. 24 certified

max. 45 dB (A)

maintenance free

ISO 9001

60 lbs (2.7 kg)

Torque min. 133 in-lb, for control of air dampers

Application

For proportional modulation of dampers in HVAC systems. Actuator sizing should be done in accordance with the damper manufacturer's specifications.

The actuator is mounted directly to a damper shaft up to 1.05 in diameter by means of its universal clamp. A crankarm and several mounting brackets are available for applications where the actuator cannot be direct coupled to the damper shaft.

The actuator operates in response to a 0-10 V phasecut control input from an electronic controller or positioner. A 2 to 10 VDC feedback signal is provided for position indication or master-slave applications.

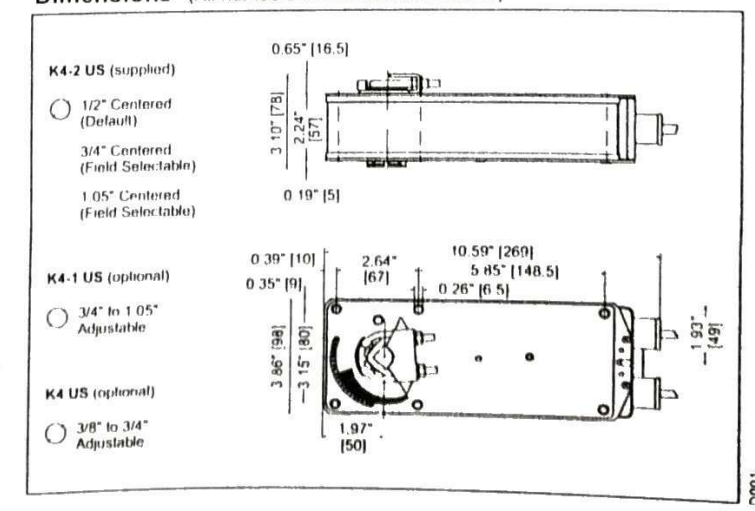
Operation

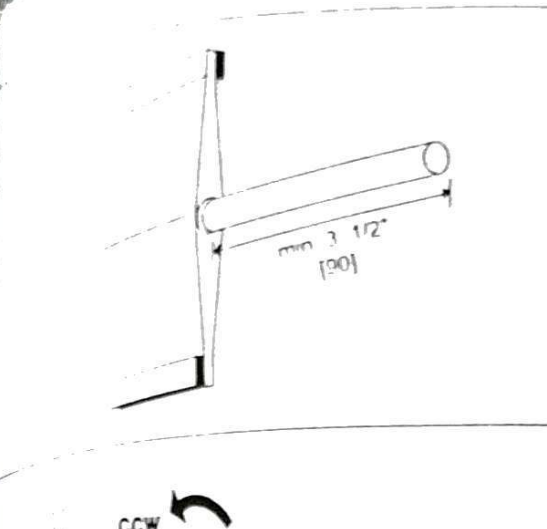
The AF series actuators provide true spring return operation for reliable fail-safe application and positive close-off on air tight dampers. The spring return system provides constant torque to the damper with, and without, power applied to the actuator.

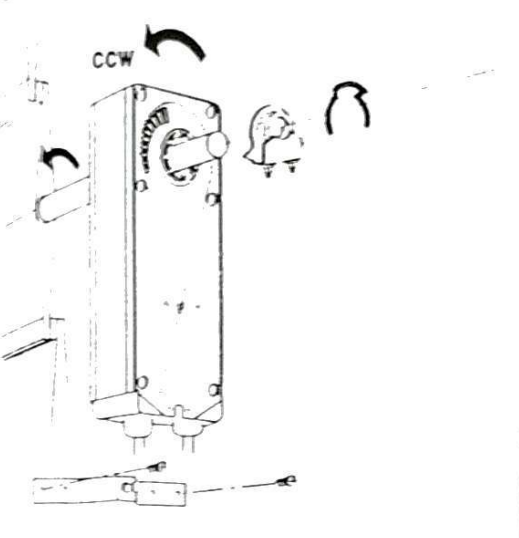
The AF series provides 95° of rotation and is provided with a graduated position indicator showing -5 to 90°. The AF has a unique manual positioning mechanism which allows the setting of any damper position within its 95° of rotation. When power is applied to the AFR series its "one time use" mechanism is released. The actuator is shipped in the zero position (5° from full fail-safe) to provide automatic compression against damper gaskets for tight shut-off. When power is applied, the manual mechanism is released and the actuator drives toward the full fail-safe position. The actuator will memorize the angle where it stops rotating and use this point for its zero position for its normal control operations. The manual override can also be released physically by the use of a crank supplied with the actuator.

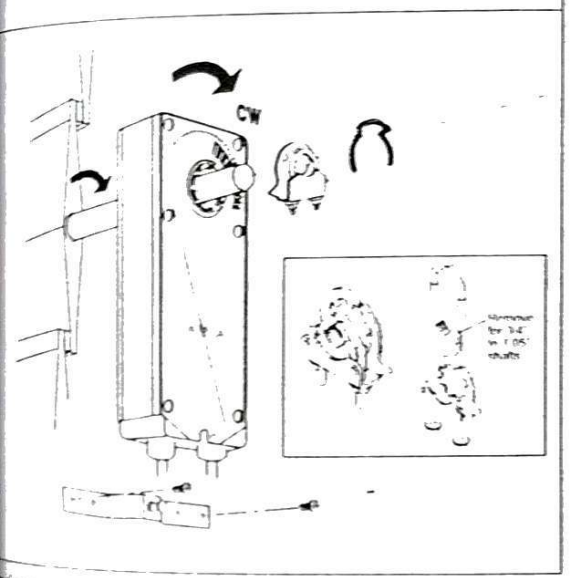
The AF uses a brushless DC motor which is controlled by an Application Specific Integrated Circuit (ASIC) and a microprocessor. The microprocessor provides the intelligence to the ASIC to provide a constant rotation rate and to know the actuator's exact zero position. The ASIC monitors and controls the brushless DC motor's rotation and provides a digital rotation sensing function to prevent damage to the actuator in a stall condition. The actuator may be stalled anywhere in its normal rotation without the need of mechanical end switches.

Dimensions (All numbers in brackets are metric.)





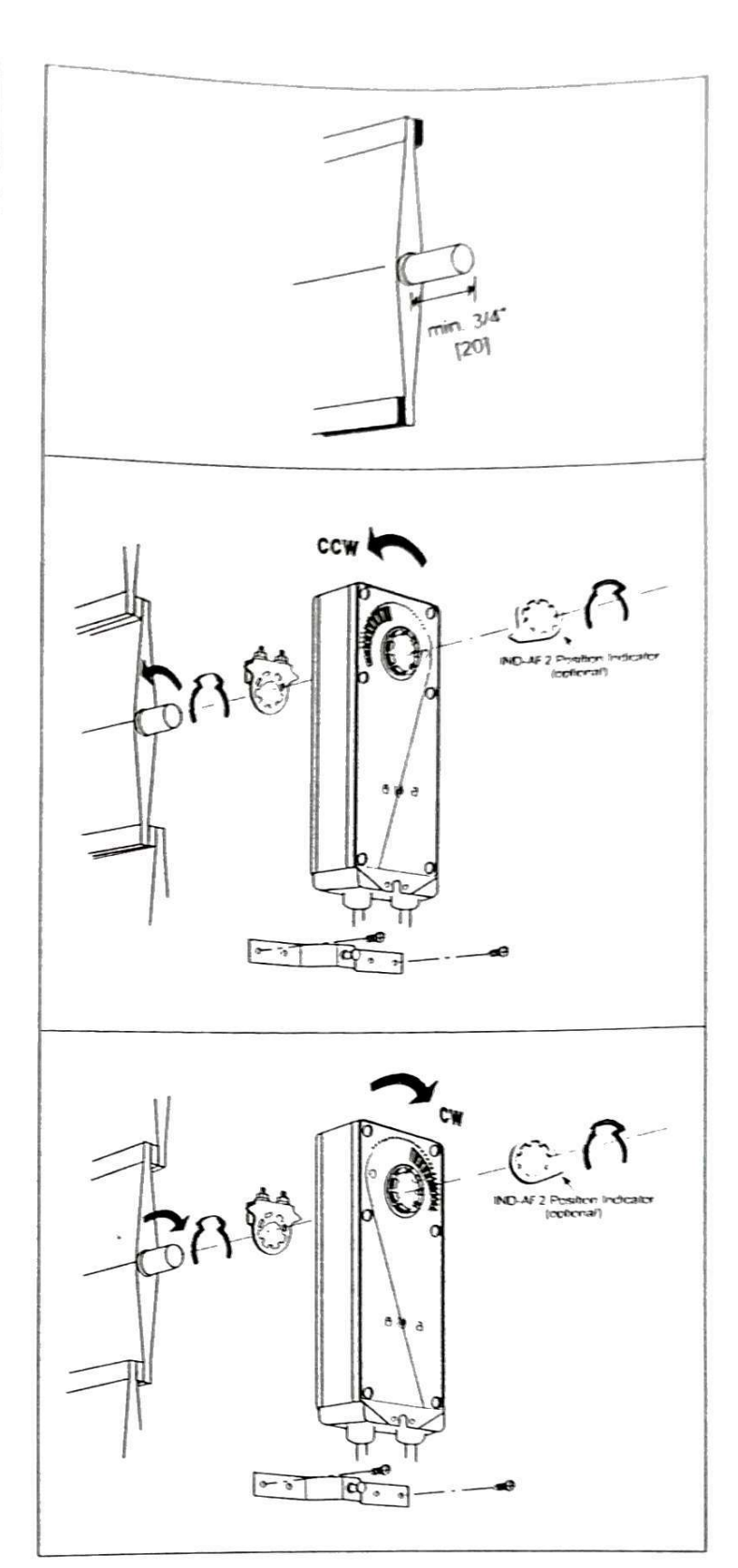




ions All numbers in brackets are metern.

WOUNT VISUAL INSTRUCTIONS

the damper to its fail-safe position. If the shaft is studerclockwise, mount the "CCW" side of the actuator with the south of the south



 Slide the actuator onto the shaft and tighten the nuts on the V-bolt with a 10mm wrench to 6-8 ft-lb of torque.

 Slide the anti-rotation strap under the actuator so that engages the slot at the base of the actuator. Secure the strap to the duct work with #8 self-tapping screws.

NOTE: Read the "Standard Mounting" instructions, on the pext page, for more detailed information.

> BIBLIOTECA GONTALOZE GLE F.I.M. C. D.

F20358 / 5 4 3 2 1 -01/04-10M-IG-Subject to change. G Bellimo Aircontrols (USA), Inc.



Instruction

Drives and Controls



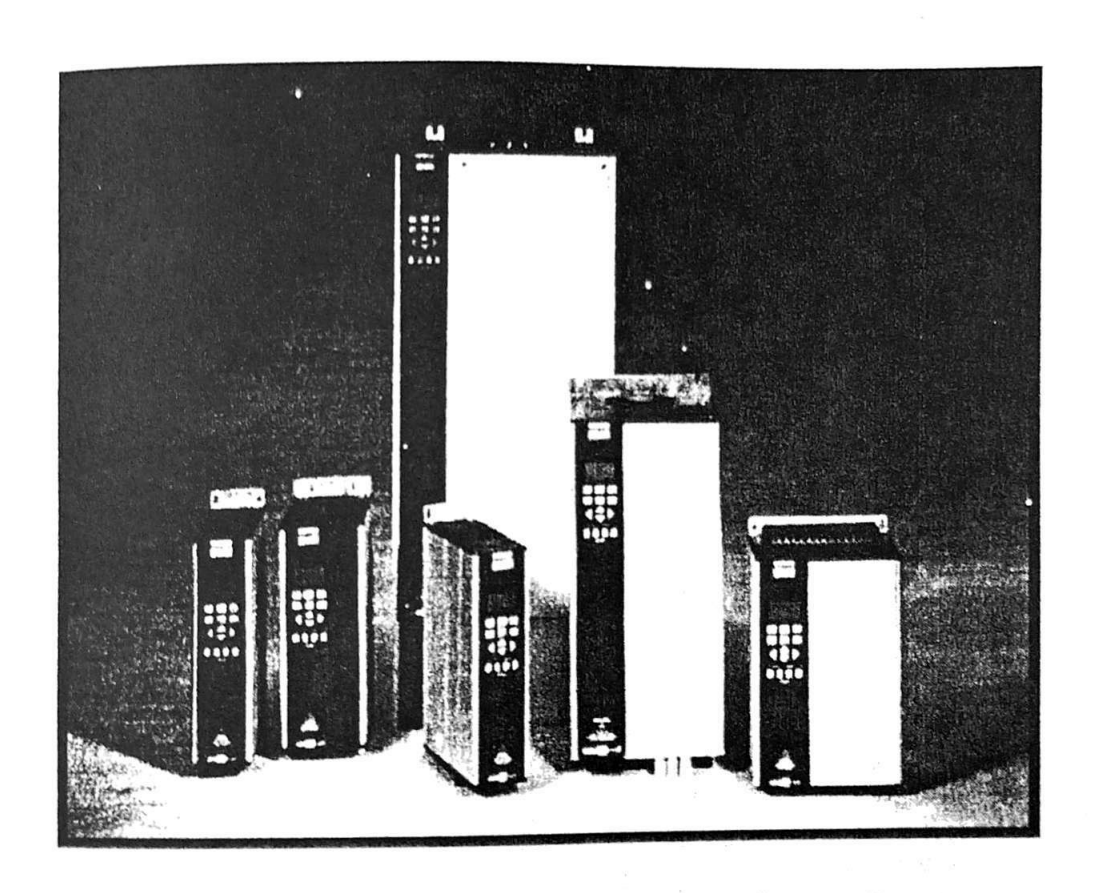
struction for change of a Power Card T® Frequency converters

4002-4032, 200-240 V/4002-4072, 380-460 V, 600 V

5001-5027, 200-240 V/5001-5062, 380-500 V, 600 V

6002-6032, 200-240 V/6002-6072, 380-460 V, 600 V

8002-8032, 200-240 V/8002-8072, 380-460 V, 600 V



■ Instruction

This power card can be used for Standard, Standard with brake chopper. Therefore the following programming is necessary.

After the exchange of the power card the VLT automatically starts in SERVICE MODE after power up

All 11 questions in the display of the SERVICE . MODE must be answered. Please see enclosure.



VLT* 4000/5000/6000 HVAC/8000 AQUA

Sparepart Service Mode data for VLT® 4000/5000/6000 HVAC/8000 AQUA

JP .	Value (Where to find) ²		
Menu Parameter ¹		Note s ³⁻⁴	
Menu Parameto.	1: Danfoss		
NO BRAND	2: Bauer	Possible to change brand, meaning	
	3: Brook Hansen	brand specific texts.	
	4: Neutral brand		
01 VLT SALES NUMBER	Red label on VLT	Possible to change x in 17??xxxx	
01 VLT SALES 02 POWER SECTION	Red label on VLT	Select type:	
02 POW	Only VLT 5000	STANDARD	
		STANDARD WITH BRAKE	
		EXTENDED WITH BRAKE	
03 ENCLOSURE TYPE	Look on VLT	Select type:	
03 21102		BOOKSTYLE	
		COMPACT	
		IP54 (Compact)	
04 ENCAPSULATION IP	Red label on VLT	Select type:	
U4 E11	i	IP00	
		IP20	
		IP54	
05 ENCAPSULAT. NEMA	Red label on VLT	Select type:	
03 21101	1	CHASSIS	
		NEMA 1	
		NEMA 12	
06 RFI FILTER	VLT 5001-11: Then RFI	Select type:	
	CLASS B1	NONE (No built-in RFI filter)	
	VLT 5016-62+VLT6000 with	RFI CLASS A1	
	RFI: Then RFI CLASS B1	RFI CLASS B1	
	else NONE		
07 FAN TYPE	VLT 5000 + VLT 6000:	Select type:	
	Then ON-OFF CONTROL	NO FAN	
		ON-OFF CONTROL	
		PWM CONTROL	
08 BRAKE TYPE	If (VLT 5000) with Brake:	Select type:	
to wife	Then WITH SHORT	NONE (No brake function in drive)	
	PROTECT else NONE	WITH SHORT PROTECT	
09 EXTERNAL 24V	If (VLT 5000) extended:	Select type:	
	Then YES else NO	NO (No external 24V in drive)	
		YES (With 24V external supply)	
10 FAST DISCHARGE	If (VLT 5000) extended:	Select type:	
	Then YES else NO	NO (No fast discharge possible)	
		YES (With fast discharge)	
11 LOAD SHARING TYPE		Select type:	
	Then TYPE 5 else NONE	NONE (No load sharing possible)	
		TYPE 5 (With load sharing between	
	•	rectifier and DC-coils. Inrush after load sharing.	
		2 coils	

Menu parameter after a power-up (only the first time) with a sparepart power card.

Only the most used Select types are shown.



1958

POLITE (N.

To re-start Service Mode push [QUICK MENU] + [CANCEL] + [<] at power-up.

Value as it is loday (POWER UNIT DB ID, par. 627 = 1,31), which may change!

In the Design Guide for VLT 5000, the values for menu parameter 01, 02, 03, 04, 05 and 06 can be former.

Digital General Purpose Controllers

Building Controllers



PRODUCT DATA

Comfort Controller 6400

The Comfort Controller 6400 is a microcontroller-based module that provides general purpose HVAC control and monitoring capability in a standalone or network environment using closed-loop, direct digital control. The 6400 gives the Carrier Comfort Network (CCN) the capability to control and communicate with non-Carrier equipment and Carrier HVAC equipment not equipped with Product Integrated Controls (PIC) controls.

You can connect 16 field points (8 inputs and 8 outputs) to the 6400. To connect additional field points, add optional input/output modules (8 inputs and 8 outputs per I/O module) to the 6400. By using multiple I/O modules, you can connect up to 48 additional points, giving you the capability to control and/or monitor a total of up to 64 field points. The appropriate number of I/O modules are selected for each control situation and simply installed along with the 6400 in your field-selected NEMA-1 enclosure. This modular concept contributes to overall versatility and ease of installation.

FEATURES

- Stand-alone control and monitoring of up to 16 field points, using proven algorithms.
- Support of the UT203 FID family of I/O modules for retrofit and upgrade applications.
- Compatibility with the following interface devices: Local Interface Device (LID), ComfortWORKS, Building Supervisor III, System Access Module (SAM), and Network Service Tool III.
- Three LEDs, conveniently located on the front of the module, indicate processor status (red), CCN Communication Bus status (yellow), and I/O module communication status (green).
- Entire database at your disposal. Based on your application's requirements, you determine how many and which algorithms, inputs/outputs, schedules, alarms, and system functions to include in the database. Therefore, the database will only consist of the items that are necessary for the application—valuable memory space is not wasted.
- Ability to display the amount of available database space.
- · Ability to add items to database as necessary.
- · Local connection for LID and CCN.
- Total facilities management when linked to a CCN.
- Ability to disable all inputs, all outputs, or disable both inputs and outputs by simply flipping a switch.



8 INPUTS		
Numbers	Specifications	
1 to 8	Discrete, analog, or temperature Discrete Dry contact Pulsed dry contact Analog 4-20 mA 0-10 Vdc Temperature 5K & 10K ohm thermistors 1K ohm nickel RTD	
	8 OUTPUTS	
Numbers	Specifications	
1 to 8 Discrete or analog Discrete 24 Vdc@80 mA Analog 4-20 mA 0-10 Vdc		

Specifications subject to change without notice

€ 1995, Carner Corporation

Printed in U.S.A. 808-895 Rev. 5/85

ct Digital General Purpose Controllers

Building Controllers

cont'd



PRODUCT DATA

- Two-day backup of clock and data such as Data Collection and Runtime.
- Simplified field wiring using "plug type" terminals (two-pin connection).
- No need for balleries.
- Optional Comfort Controller 6400-HOA (Hand-Off-Auto) consisting of eight switches that provide you with the capability to manually override each discrete output point.
- Uses any standard, field-supplied 24 Vac, 60VA transformer.

FUNCTIONS

Cooling and Heating Control Space Temperature Comfort Zone Humidification and Dehumidification Mixed Air Damper Optimization **VAV Fan Control** VAV Supply and Return Fan Tracking Indoor Air Quality Generic PID Control Time Scheduing with/without Override Analog Temperature Control Discrete Interlock Staged Thermostal Proportional Thermostat Primary/Secondary Pump Control Staged Discrete Control Permissive Interlock Night Time Free Cooling Morning Warm-up Adaptive Optimal Start/Stop

On-Board Consumable Point

Calculates a usage value (kwh, gal/hr, lbs/hr,etc.) in applications where simple data collection is required.

On-Board Trending

Control Point Reset

Collects up to 48 data samples per point (with an adjustable iteration rate) on a revolving basis, or stops the trending after 48 samples are collected. Use as a means of troubleshooting.

Linkage to Airside and Waterside Systems
Optimizes efficiency by fully integrating all HVAC operations.

Custom Programming (BEST")

Enhances or supplements the industry-proven, preengineered algorithms with BEST" by creating new algorithms to meet any unique control requirements.

CCN FEATURES

When included in a network with other CCN controllers. Option Modules, and user interfaces, the following additional capabilities are possible:

- · Alarm processing, messages, and annunciation
- Runtime, history, and consumable data collection and report generation.
- · Demand limiting/loadshedding.
- Broadcast of data such as outside air temperature, outside air humidity, and time of day.
- · Data transfer between system elements.
- Timed overrides for use with Tenant Billing.
- · Airside and waterside linkage.



Digital General Purpose Controllers

Building Controllers



PRODUCT DATA

Comfort Controller 6400-I/O

The Comfort Controller 6400-I/O is used with the Comfort Controller 6400 to expand the field point capacity from 16 points (8 inputs and 8 outputs) up to a total of 64 points.

Each 6400-I/O can be configured to use all 16 points (8 inputs and 8 outputs) or only 8 outputs or only 8 inputs. This provides the ultimate flexibility in useage of field points to meet the specific needs of each application. Determine the number of 6400-I/O required for your particular application. Then simply install the modules along with the 6400 in your field-selected NEMA-1 enclosure.

To determine the number of 6400-I/O required by the particular application, first decide how many field points are required. Then order and install the 6400-I/O(s) along with the 6400 in your field-selected enclosure. This modularity contributes to overall versatility.

FEATURES

- · Monitors up to 16 field points.
- Two LEDs, conveniently located at the top of the module, indicate processor status (red) and module communication status (green).
- · Local connection for LID.
- Ability to disable all inputs or all outputs by simply flipping a switch.
- Simplified field wiring using "plug type" terminals (two-pin connection).
- Optional Comfort Controller 6400-HOA (Hand-Off-Auto) consisting of eight switches that provide you with the capability to manually override each discrete output point.





8 INPUTS		
Numbers	Specifications	
1 to 8	Discrete, analog, or temperature	
	Discrete	
	Dry contact	
	Pulsed dry contact	
	Analog	
	4-20 mA	
	0-10 Vdc	
	Temperature	
	5K & 10K ohm thermistors	
	1K ohm nickel RTD	
	8 OUTPUTS	
	8 0011-013	
Numbers	Specifications	
1 to 8	Discrete or analog	
1 10 0		
	Discrete 24 Vdc@80 mA	
	Analog	
	4-20 mA	
	4-20 1116	

to 1995, Carner Corporation

0-10 Vdc

Digital General Purpose Controllers

at Building Controllers

cont'd

COMFORT

PRODUCT DATA

SPECIFICATIONS -	-	
Comfort Controller	6400	and
Comfort Controller	6400	-I/O

Comfort Controller 6400-I/O
Power Requirements 60VA@24 Vac + 15% 1.5A@33 Vac ± 15% Dimensions 13 in H x 2.75 in W x 5.5 in D (33 cm x 7 cm x 14 cm) Operating Temperature 70°C to 60°C) Storage Temperature -40°E to 185°E (-40°C to 85°C) Operating Humidity 0 to 90%, non-condensing Discrete Out Specifications Output Signal 24Vdc@80 mA current limited
Analog Out Specifications 4-20 mA Milliamp Type Load Resistance
0-10 Vdc Voltage Type Load Resistance
Discrete In Specifications Dry Contacts Switch Closure Pulsing Dry Contacts Repetition Rate 5 Hz max. Minimum Pulse Width 100 msec
Analog In Specifications 4-20 mA Milliamp Type Wire type Resolution Accuracy 2-wire 0.025 mA +1%
0-10 Vdc Voltage Type Resolution 0.0125 V Accuracy 11%
5K Thermistor Type Nominal reading @ 5,000 ohms

10K Thermistor Type Nominal reading @ 10,000 ohms	77°F (25°C)
Resolution	0.1°F
Nickel RTD Type Nominal reading @ 1,000 ohms	
ResolutionAccuracy	0.1°F

The 6400 and 6400-I/O are UL 916 PAZX, VDE, and ULc listed.

ENCLOSURE AND POWER SUPPLY

The 6400 and 6400-I/O are designed so that they can be easily installed in a field-supplied NEMA-1 enclosure.

The 6400 and 6400-I/O use any standard, Class II, SELV-compatible, field-supplied 24 Vac, 60 VA transformer.

Accuracy ± 1°F

APÉNDICE C

APENDICE C.1

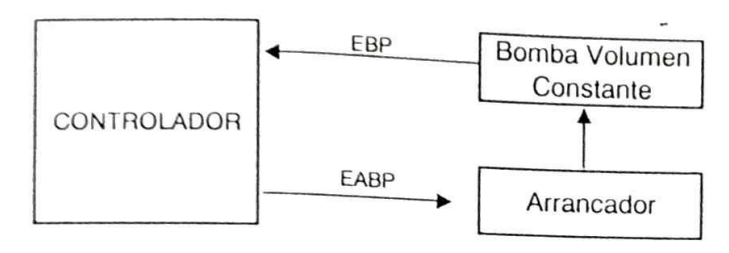


DIAGRAMA ESQUEMÁTICO VARIABLES DE CONTROL BOMBA CIRCUITO PRIMARIO

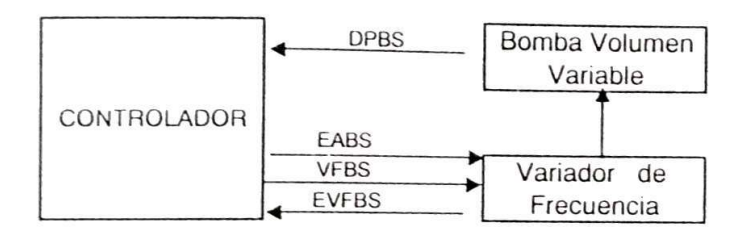


DIAGRAMA ESQUEMÁTICO VARIABLES DE CONTROL BOMBA CIRCUITO SECUNDARIO

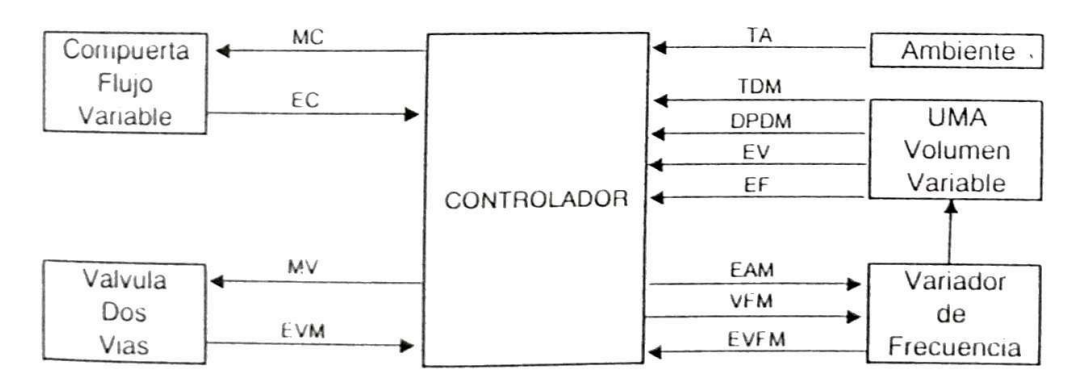


DIAGRAMA ESQUEMÁTICO VARIABLES DE CONTROL SISTEMA DE DISTRIBUCIÓN DE AIRE



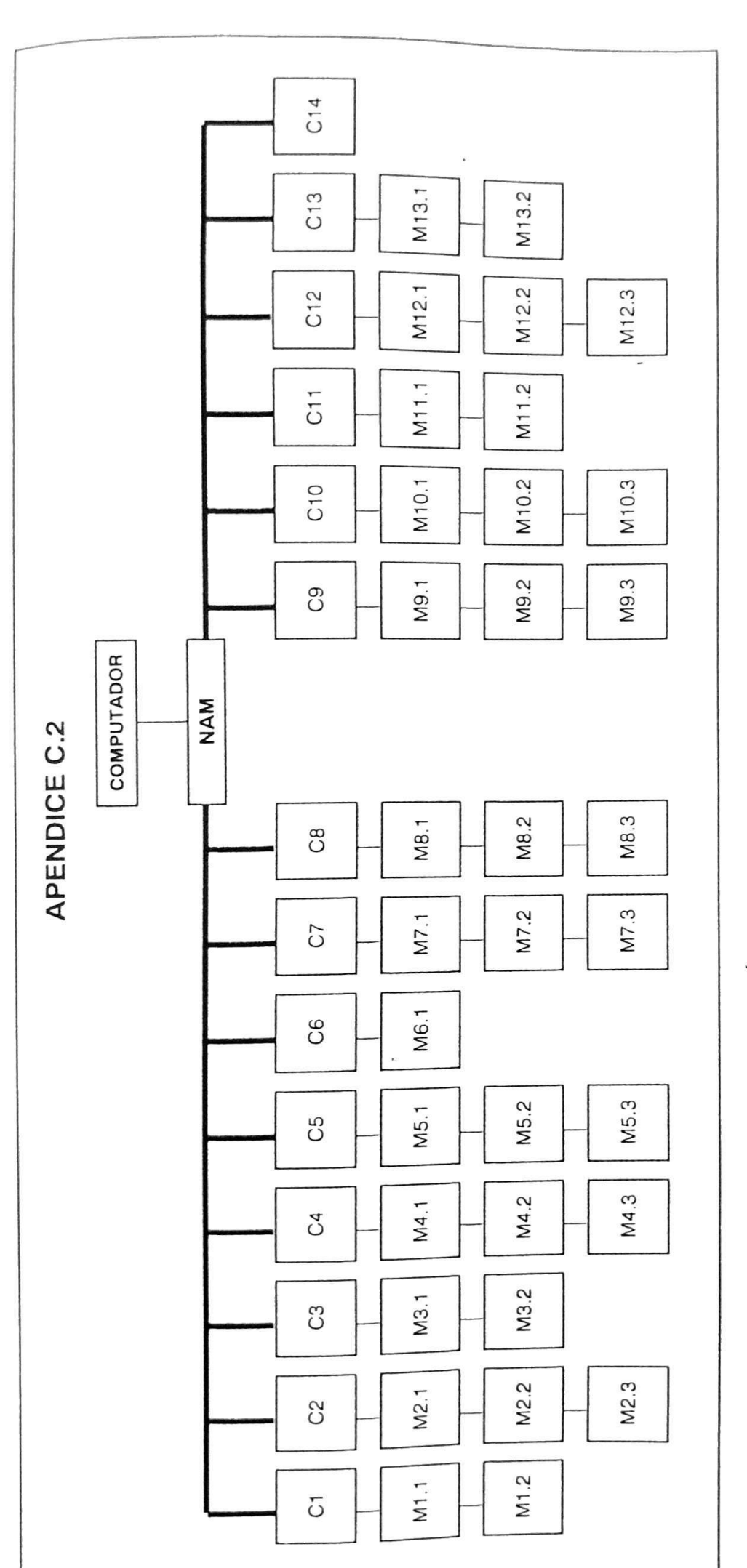


DIAGRAMA ESQUEMÁTICO DEL BUS PRINCIPAL Y BUS SECUNDARIO

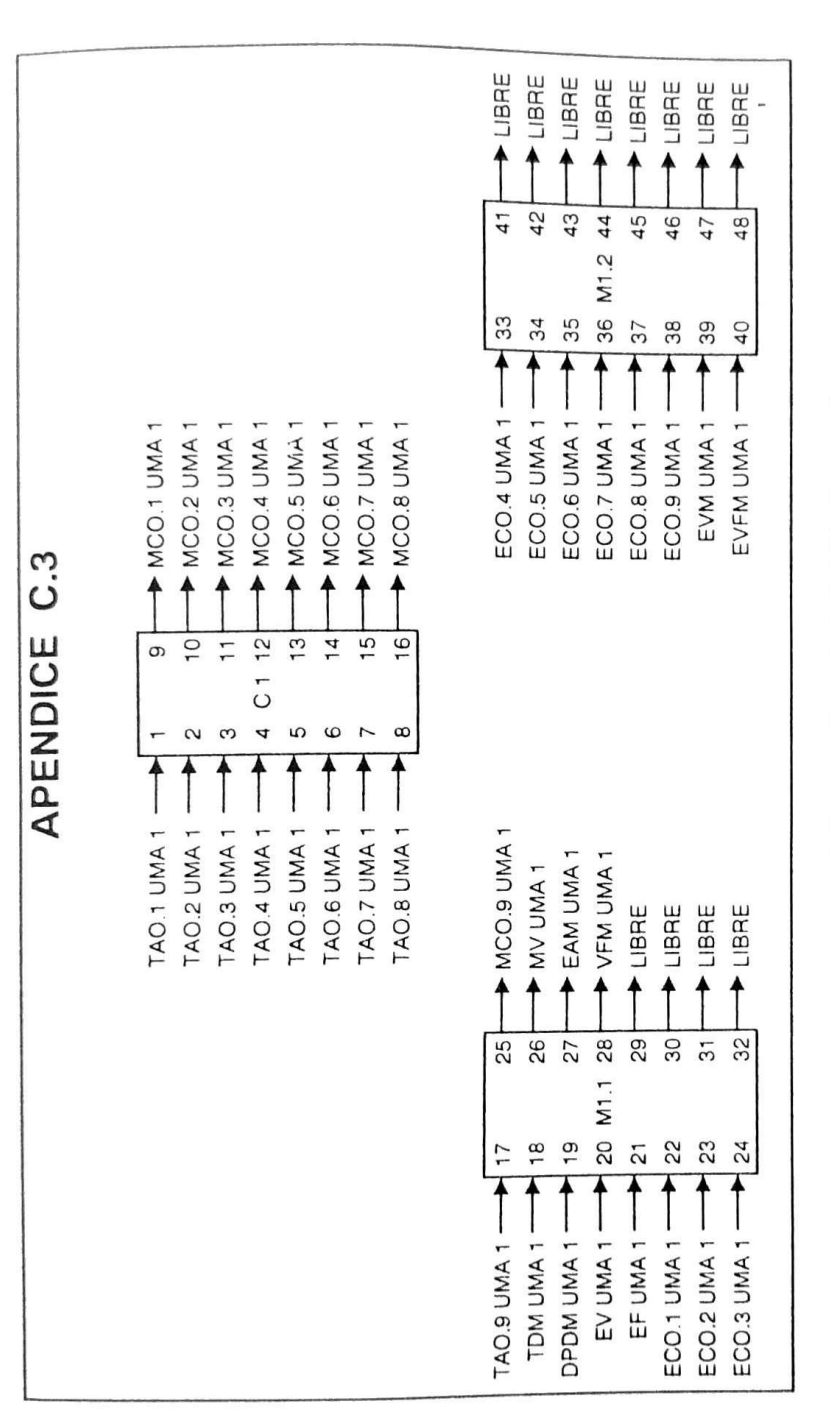


DIAGRAMA DE CONEXIONES CONTROLADOR 1

→ EAM JAMA Z EAM MAS 3 VEW AMAZ VEW JMA 3 100 8 8 98 8 (3 MO 3 3 8 8 5 8 S. 18 18 EV UMA 2 — EV UMA 3 — DPDM UMA 2 DPDM UMA 3 · EC12 UMA 2 EF UMA 2 EF UMA 3 EC1.1 UMA 2 → MC1.17 UMA 3 ▼ MC1.18 UMA 3 → MC1.19 UMA 3 MC1.20 UMA 3 MC1.21 UMA 3 → MC1.22 UMA 3 **→** MC1.2 UMA 2 ▼ MC1.5 UMA 2 **→** MC1.6 UMA 2 **→** MC1.7 UMA 2 → MC1.8 UMA 2 **▼** MC1.3 UMA 2 → MC1 4 UMA 2 **→** MC1.1 UMA 2 → MV UMA 2 **→** MV UMA 3 APENDICE C.4 in 12 4 9 0 -5 42 43 44 50 46 48 Ø 4 17 36 M2.2 C 2 35 37 38 33 9 ∞ 33 32 40 3 4 2 1 TDM UMA 3 -TA1.17 UMA 3 TA1.18 UMA 3 TA1.19 UMA 3 TA1.20 UMA 3 TA1.21 UMA 3 TA1.22 UMA 3 TDM UMA 2 TA1.1 UMA 2 TA1.8 UMA 2 TA1.2 UMA 2 TA1.5 UMA 2 TA1.6 UMA 2 TA1.7 UMA 2 TA1.3 UMA 2 TA1.4 UMA 2 ▼ MC1.11 UMA 2 ▼ MC1.12 UMA 3 ▼ MC1.13 UMA 3 ▼ MC1.14 UMA 3 ▼ MC1.15 UMA 3 ▼ MC1.16 UMA 3 **► MC1.10 UMA 2** → MC1.9 UMA 2 28 8 30 3 32 27 58 33 20 M2.1 222 9 5 18 TA1.14 UMA 3 --TA1.13 UMA 3 -TA1.9 UMA 2 -TA1.12 UMA 3 -TA1.15 UMA 3 -TA1.10 UMA 2 -TA1.11 UMA 2 -TA1.16 UMA 3

DIAGRAMA DE CONEXIONES CONTROLADOR 2



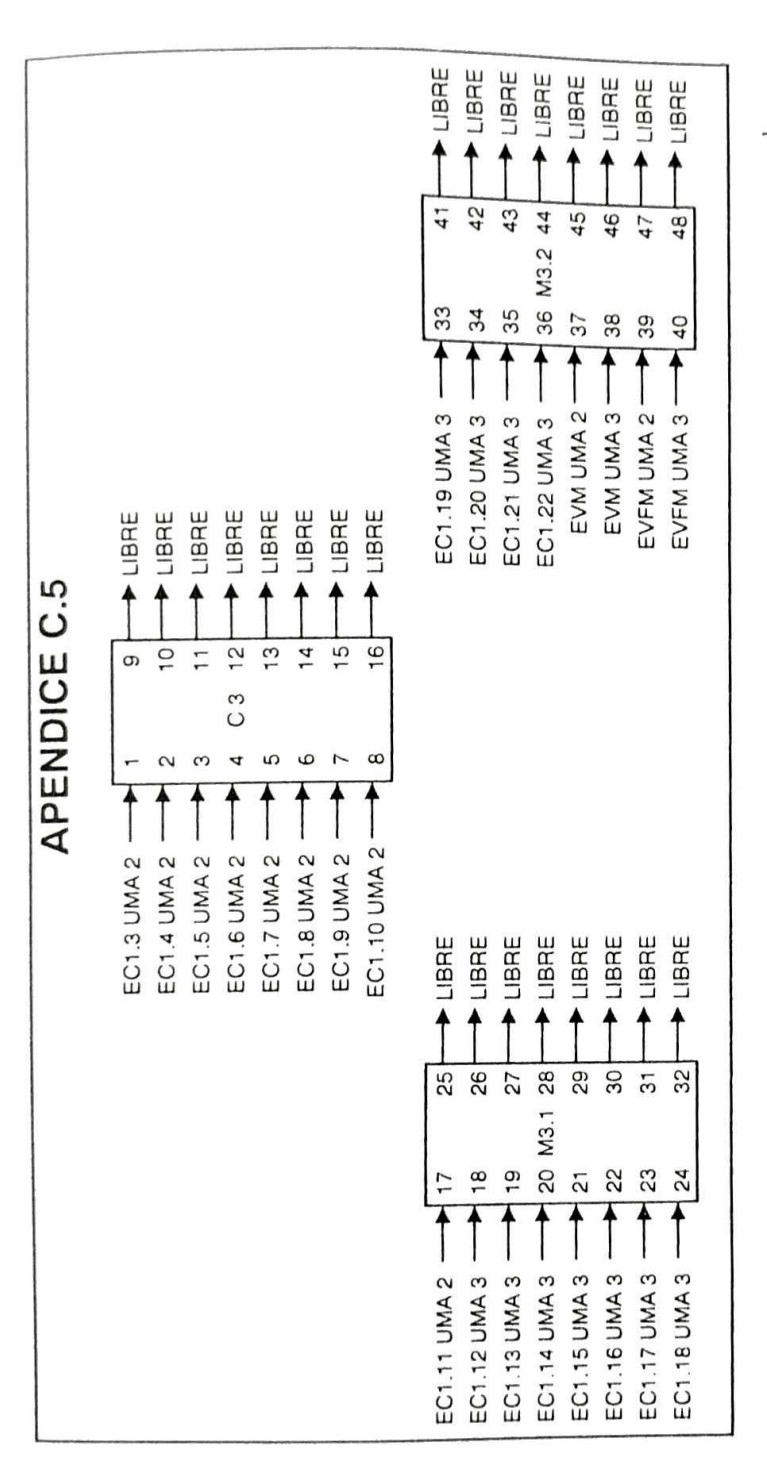


DIAGRAMA DE CONEXIONES CONTROLADOR 3



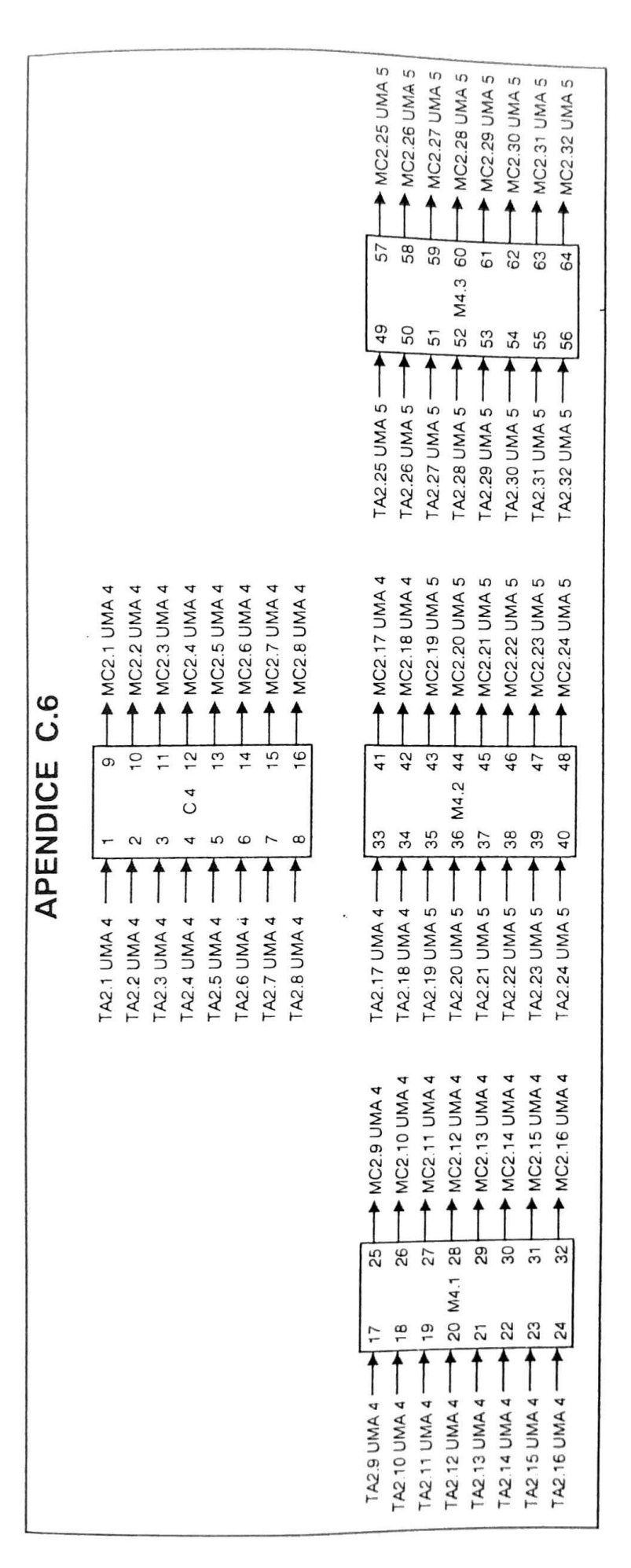


DIAGRAMA DE CONEXIONES CONTROLADOR 4

A Charmodian Common

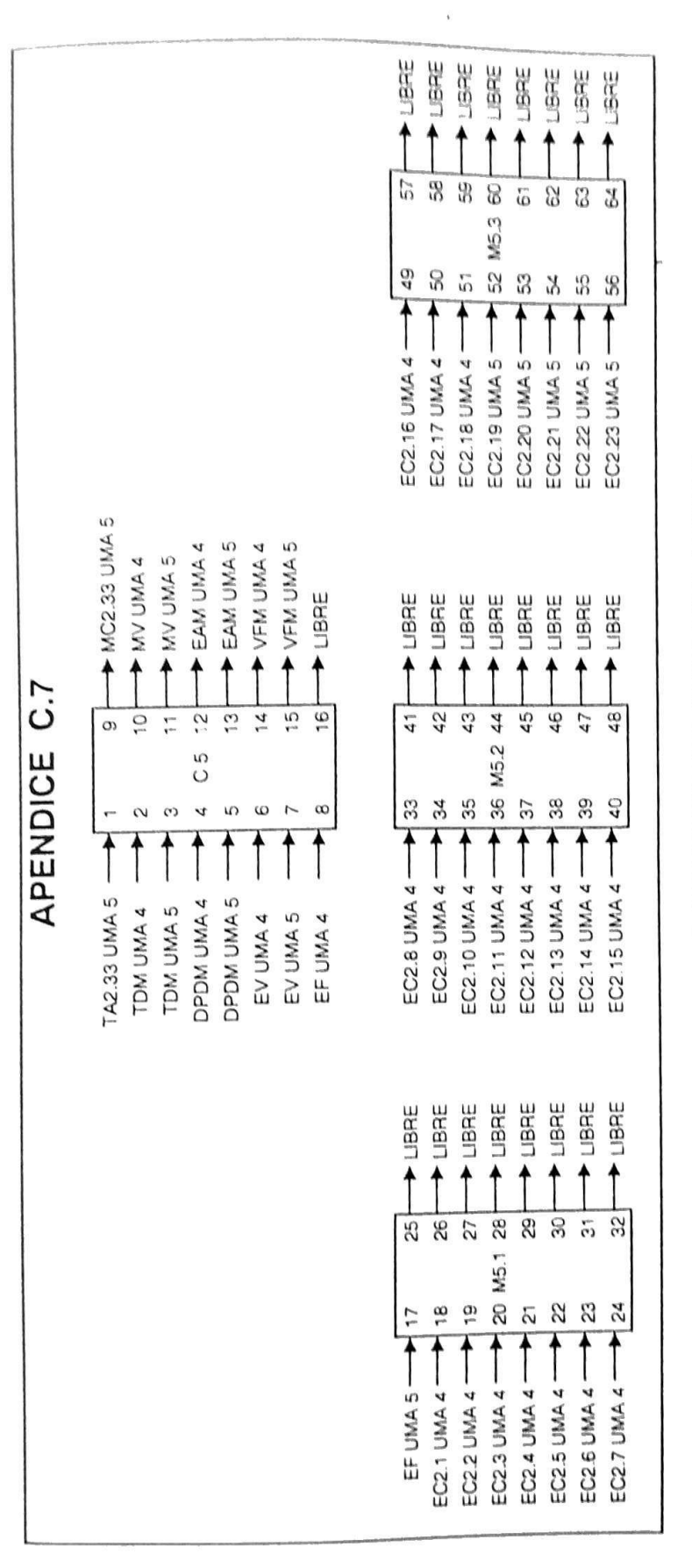


DIAGRAMA DE CONEXIONES CONTROLADOR 5

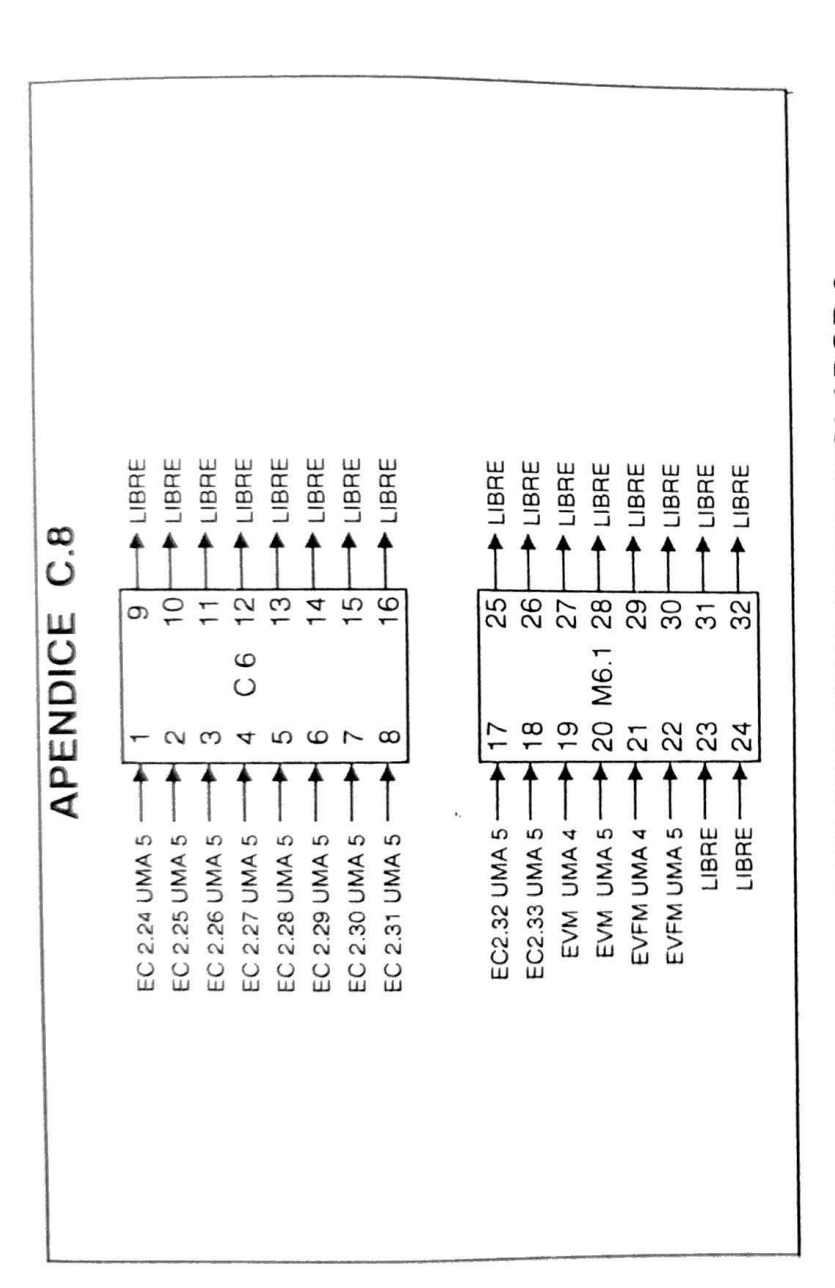


DIAGRAMA DE CONEXIONES CONTROLADOR 6

10

a.

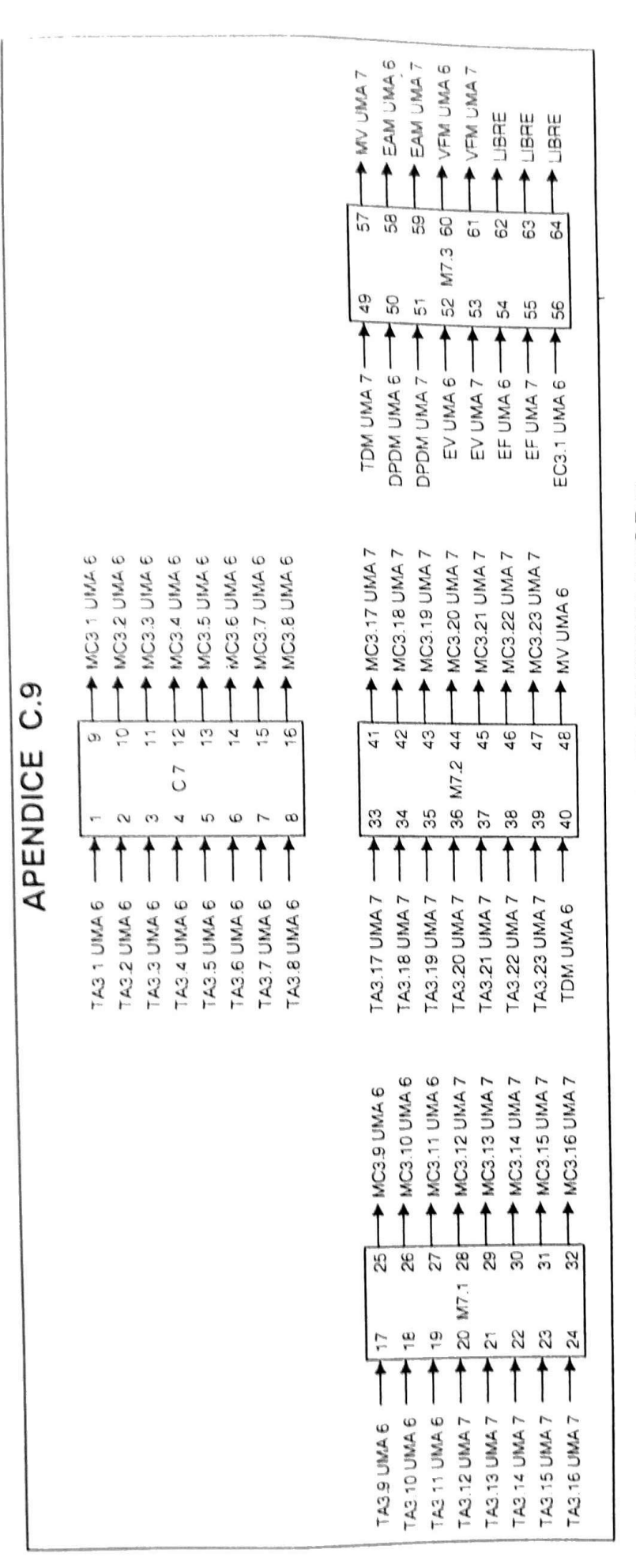


DIAGRAMA DE CONEXIONES CONTROLADOR 7

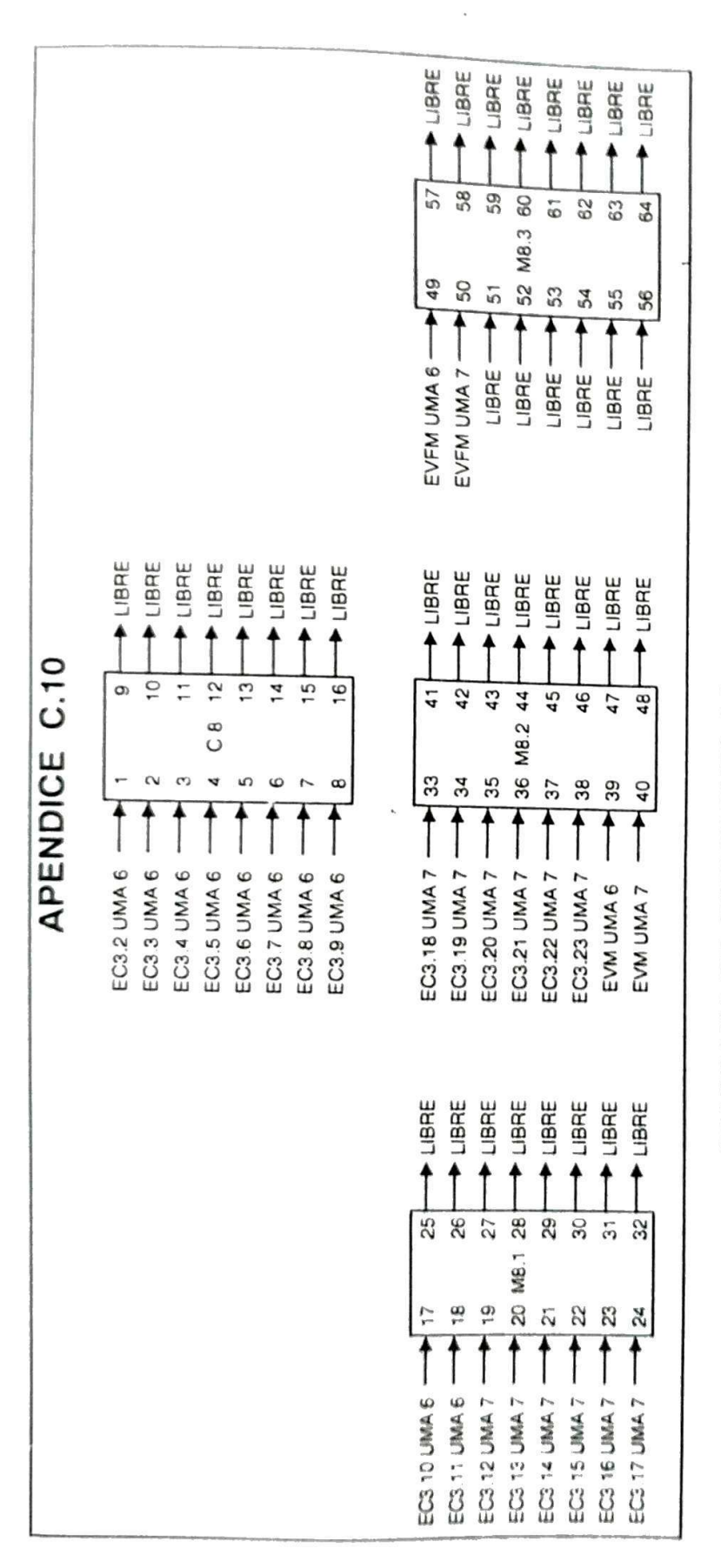


DIAGRAMA DE CONEXIONES CONTROLADOR 8



DIAGRAMA DE CONEXIONES CONTROLADOR 9

316

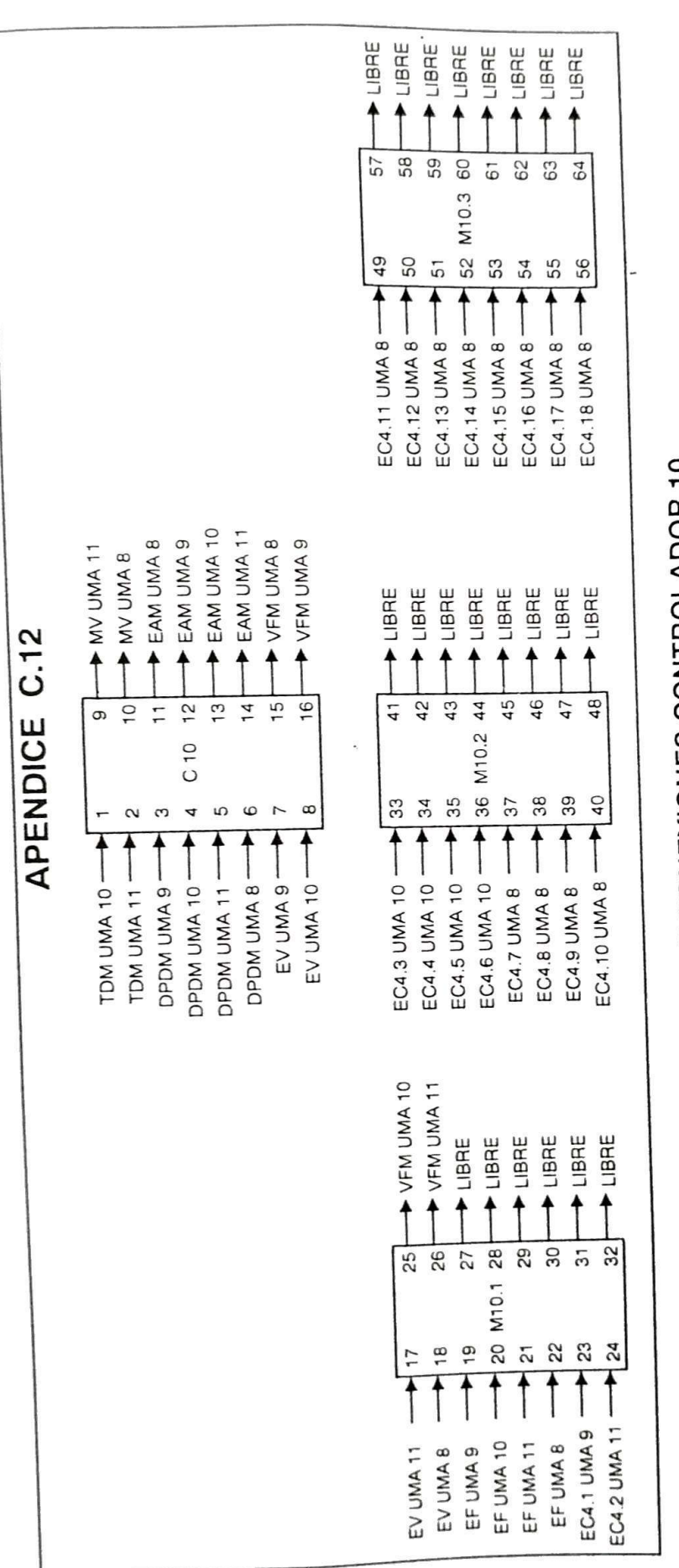


DIAGRAMA DE CONEXIONES CONTROLADOR 10



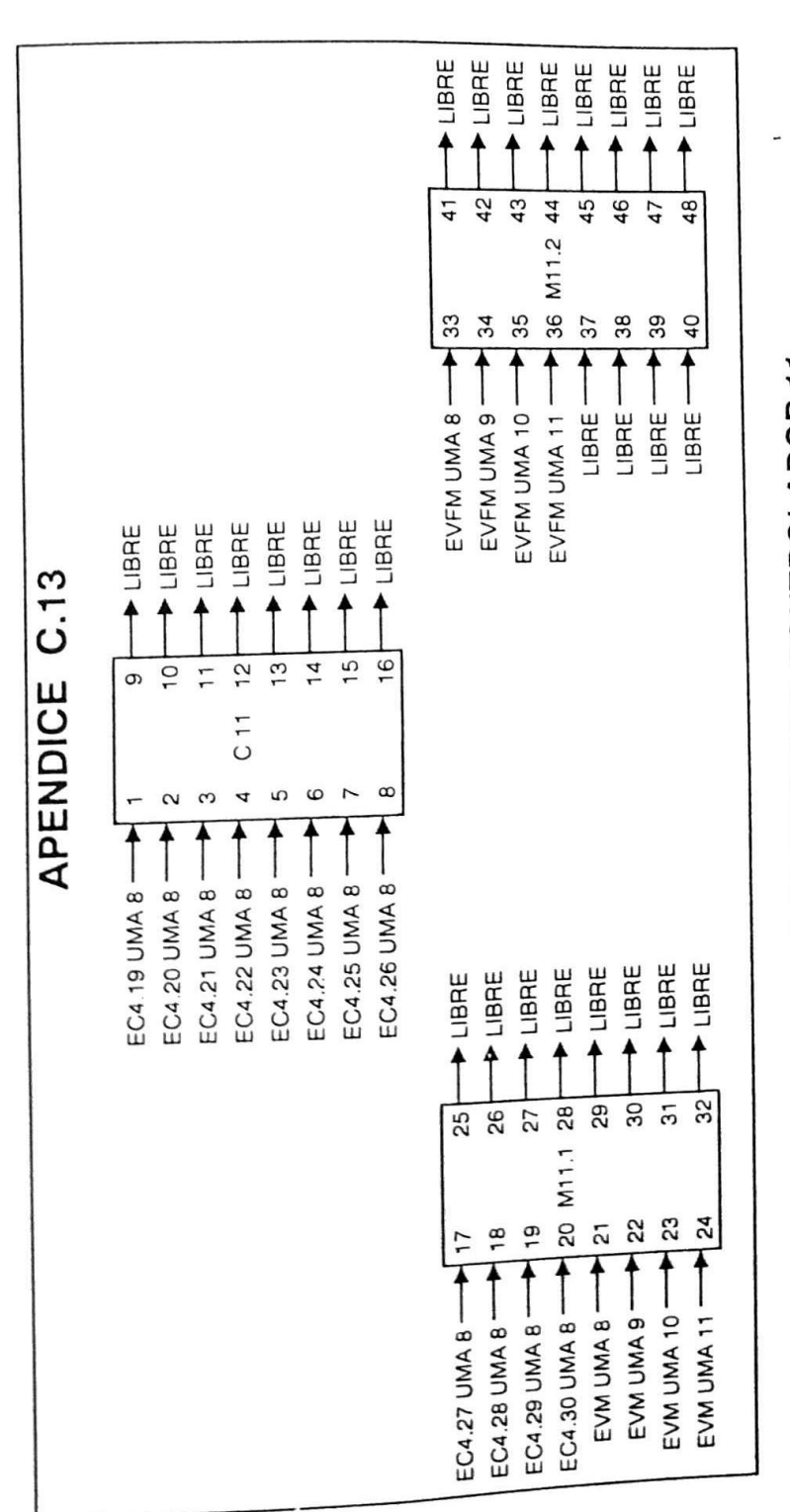


DIAGRAMA DE CONEXIONES CONTROLADOR 11

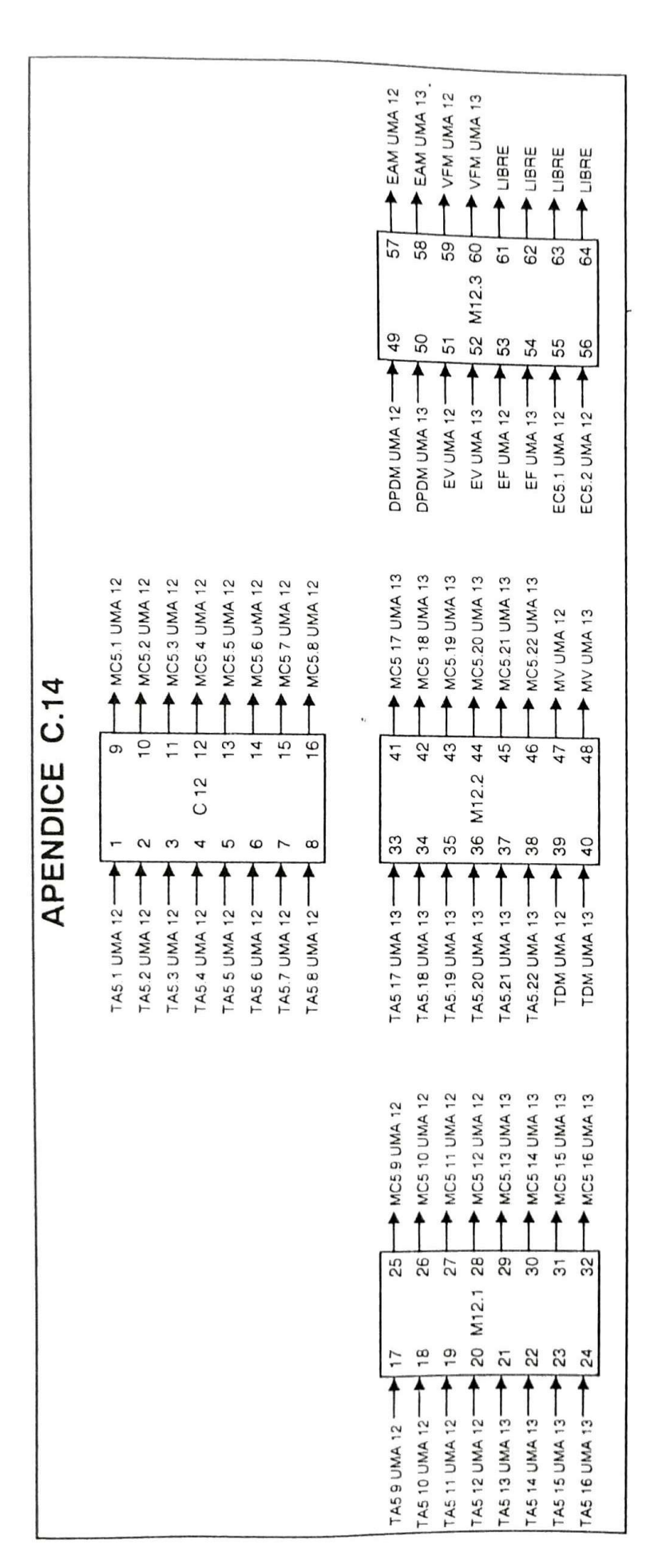


DIAGRAMA DE CONEXIONES CONTROLADOR 12



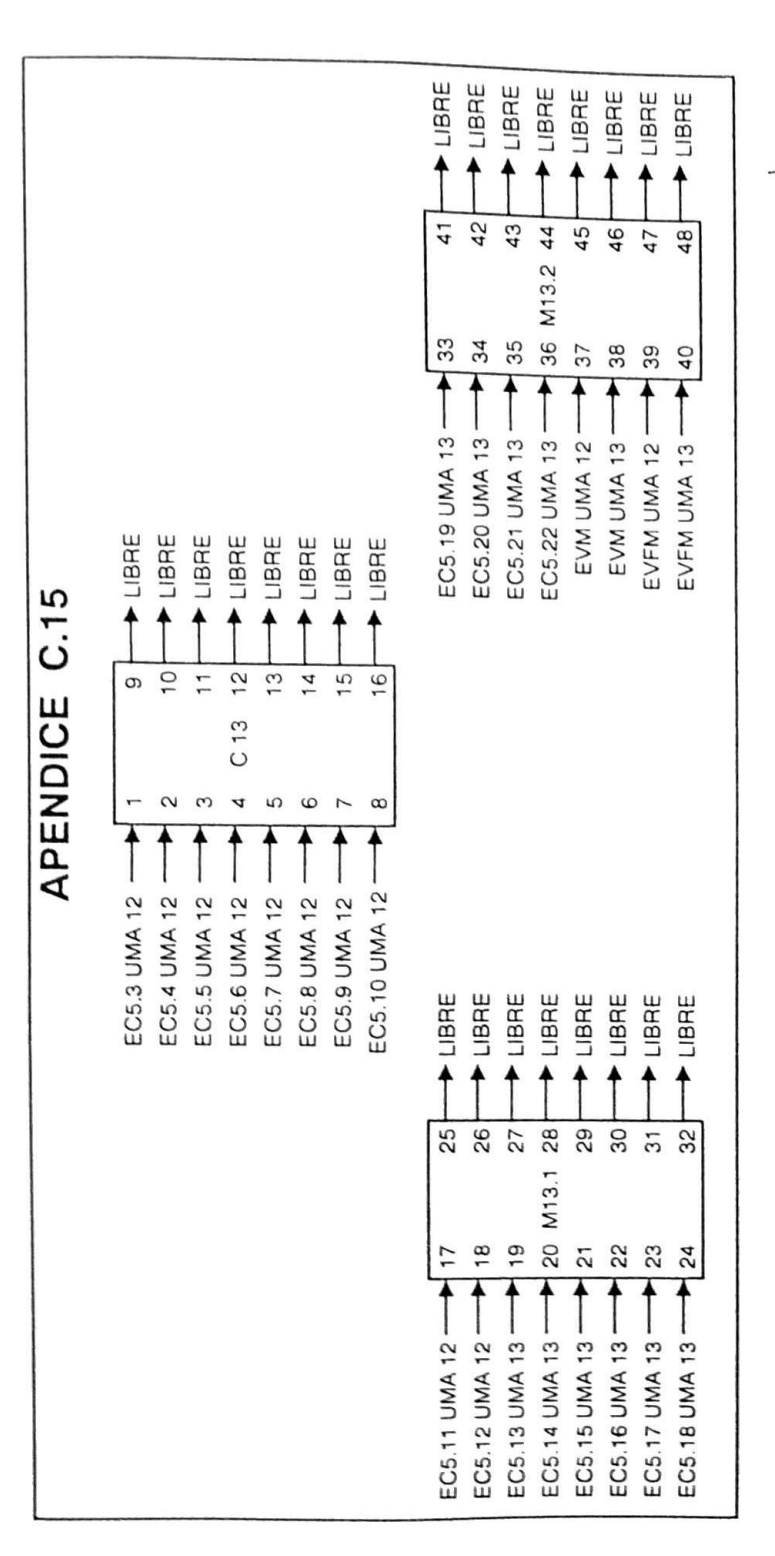


DIAGRAMA DE CONEXIONES CONTROLADOR 13

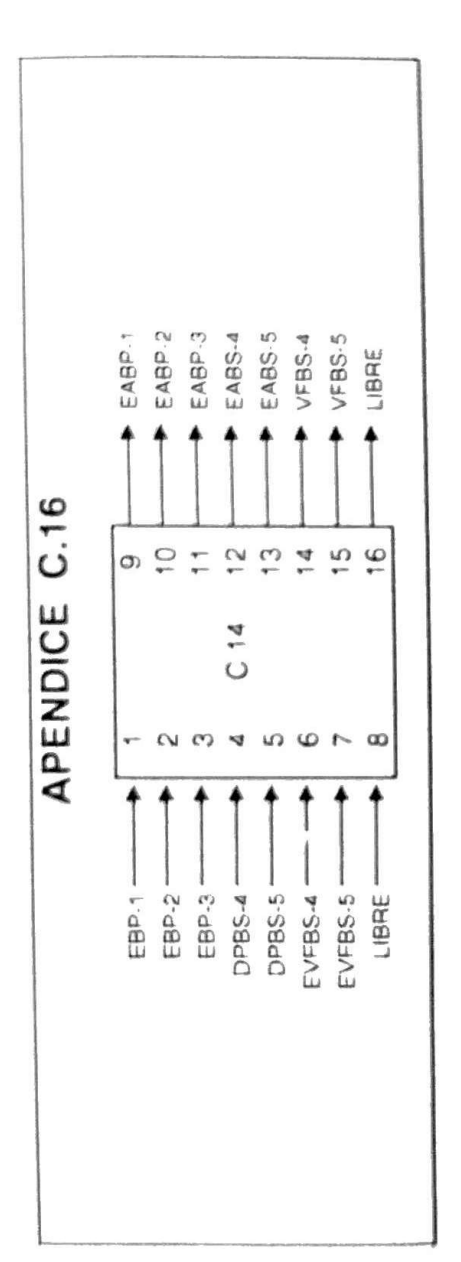
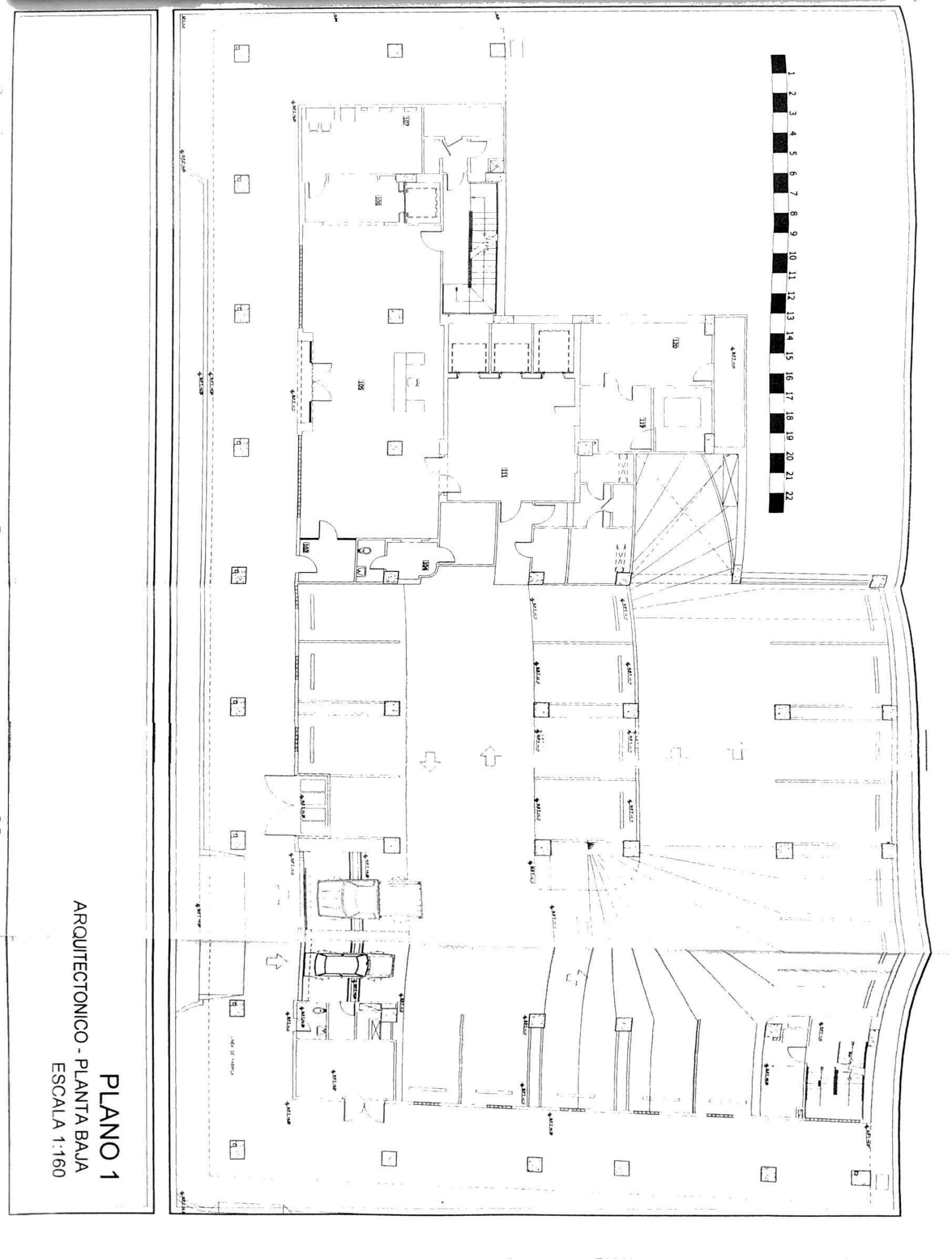
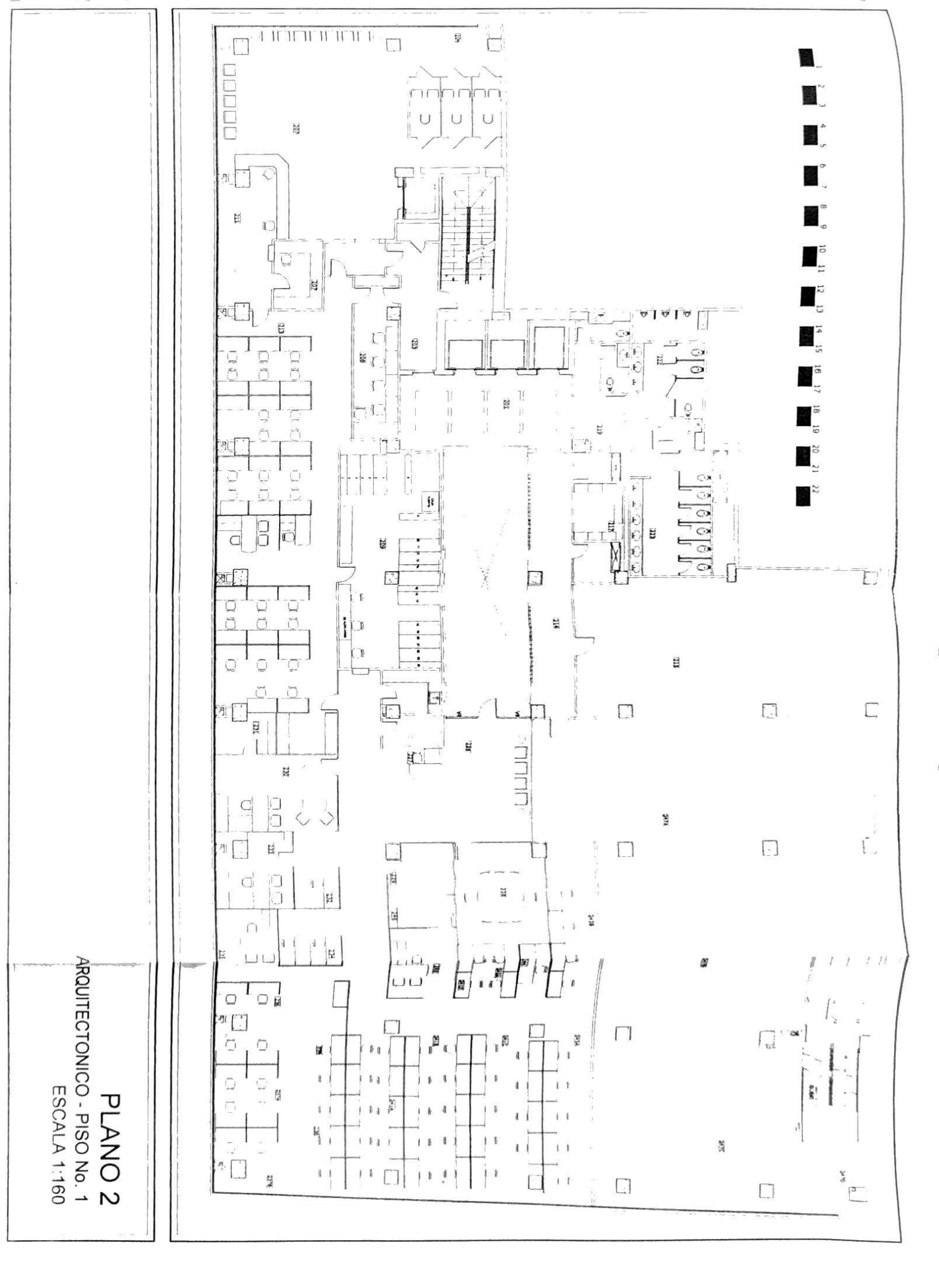
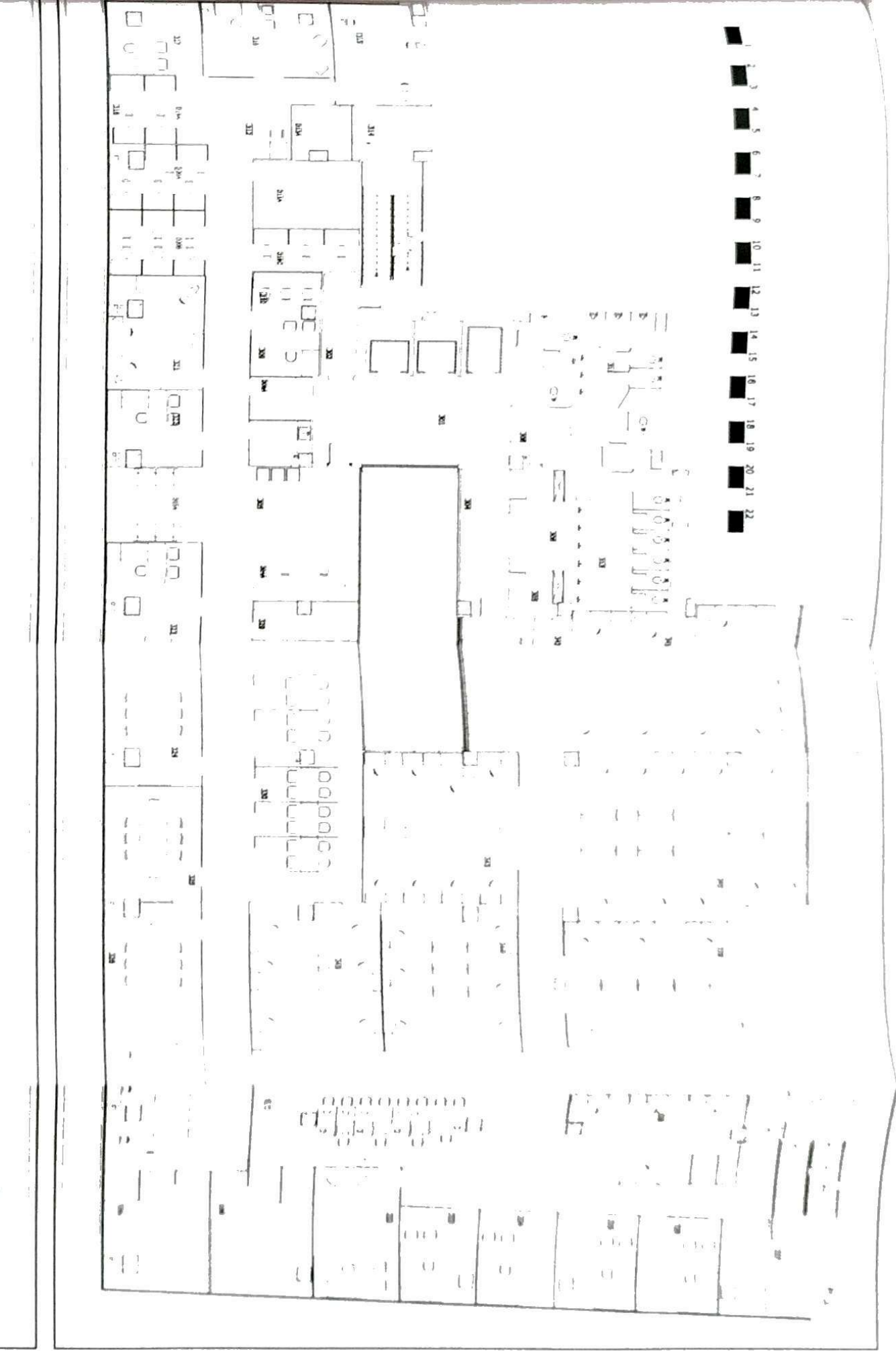


DIAGRAMA DE CONEXIONES CONTROLADOR 14

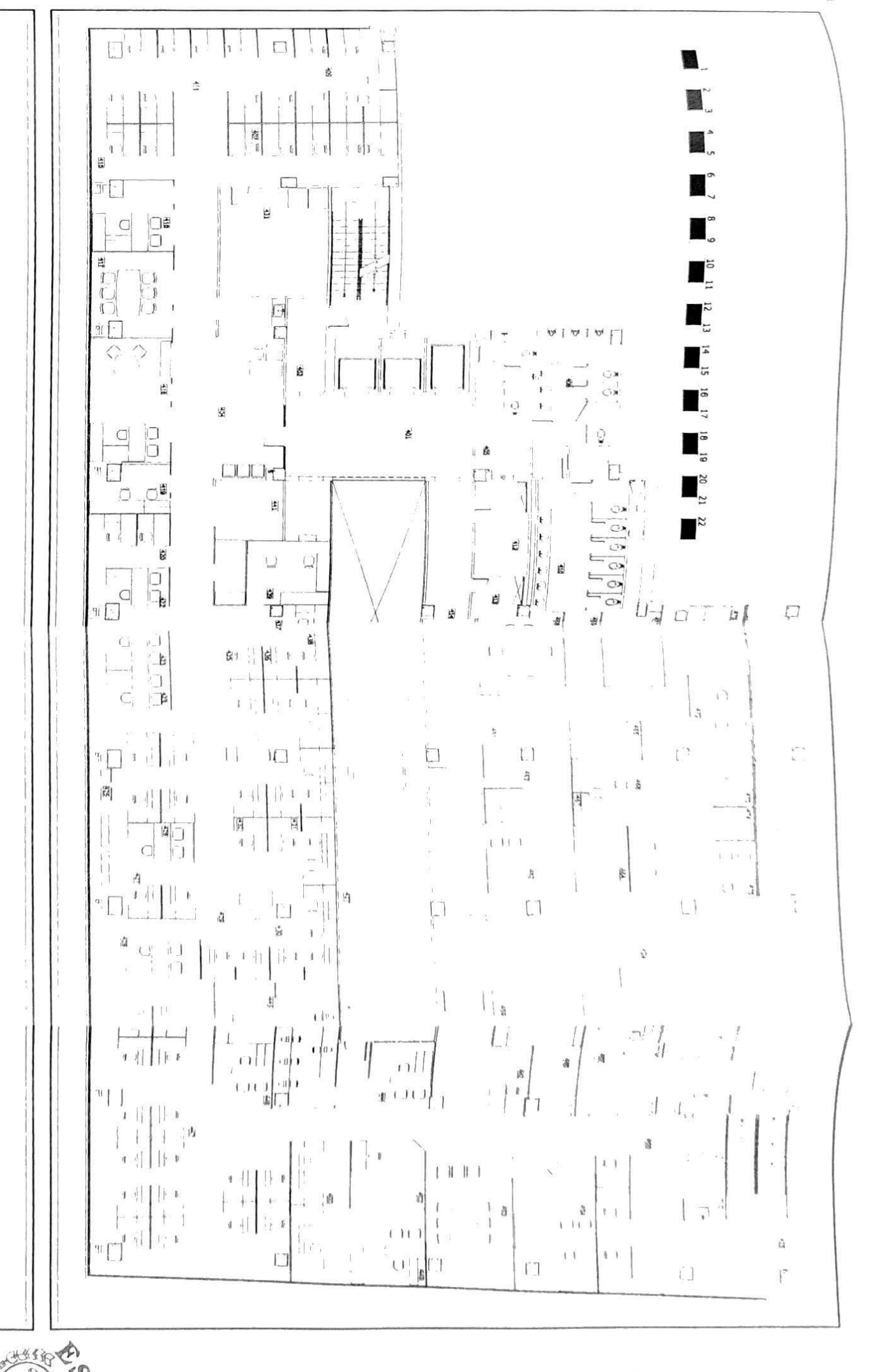




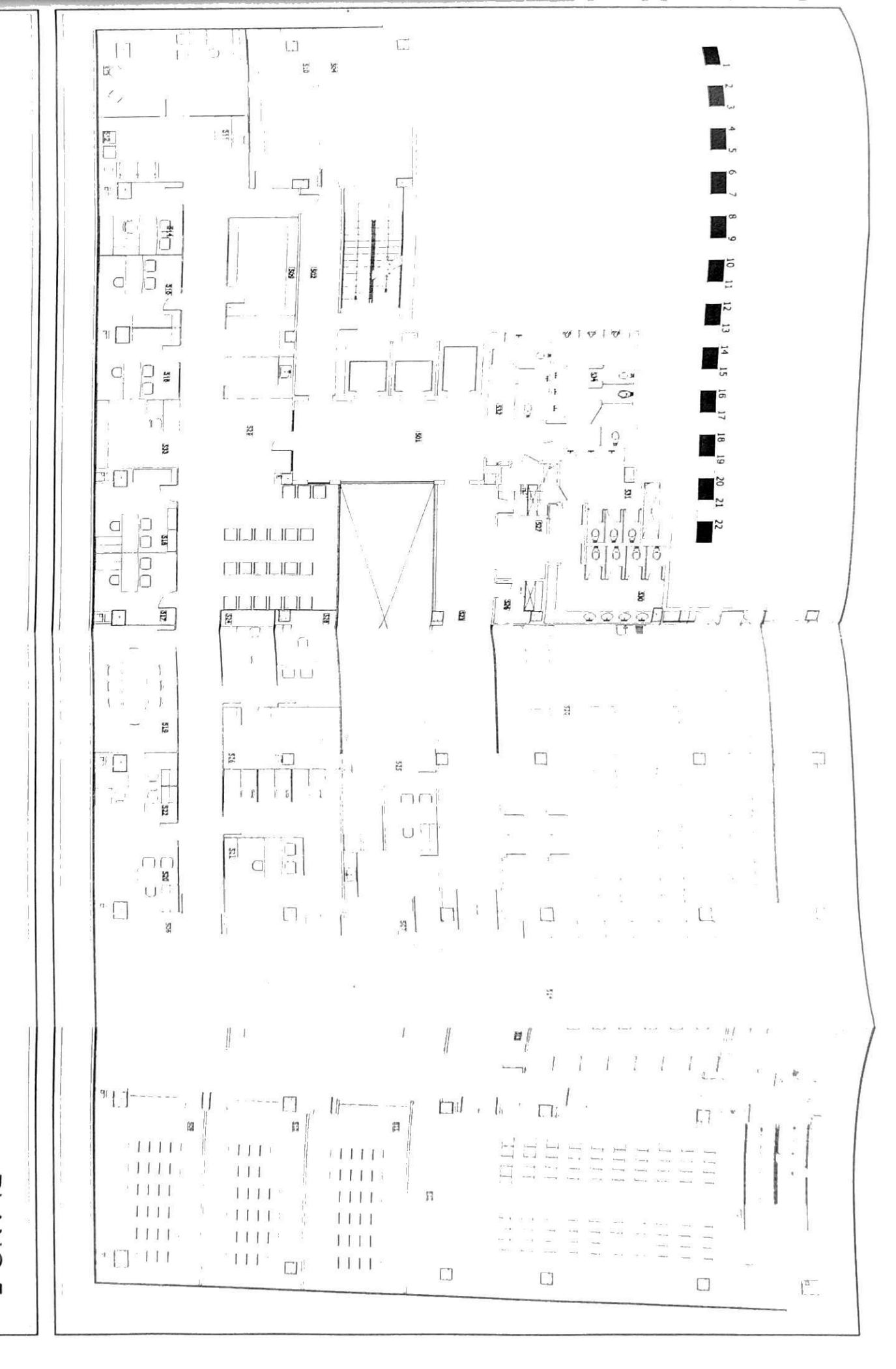


PLANO 3
ARQUITECTONICO - PISO No. 2
ESCALA 1.160

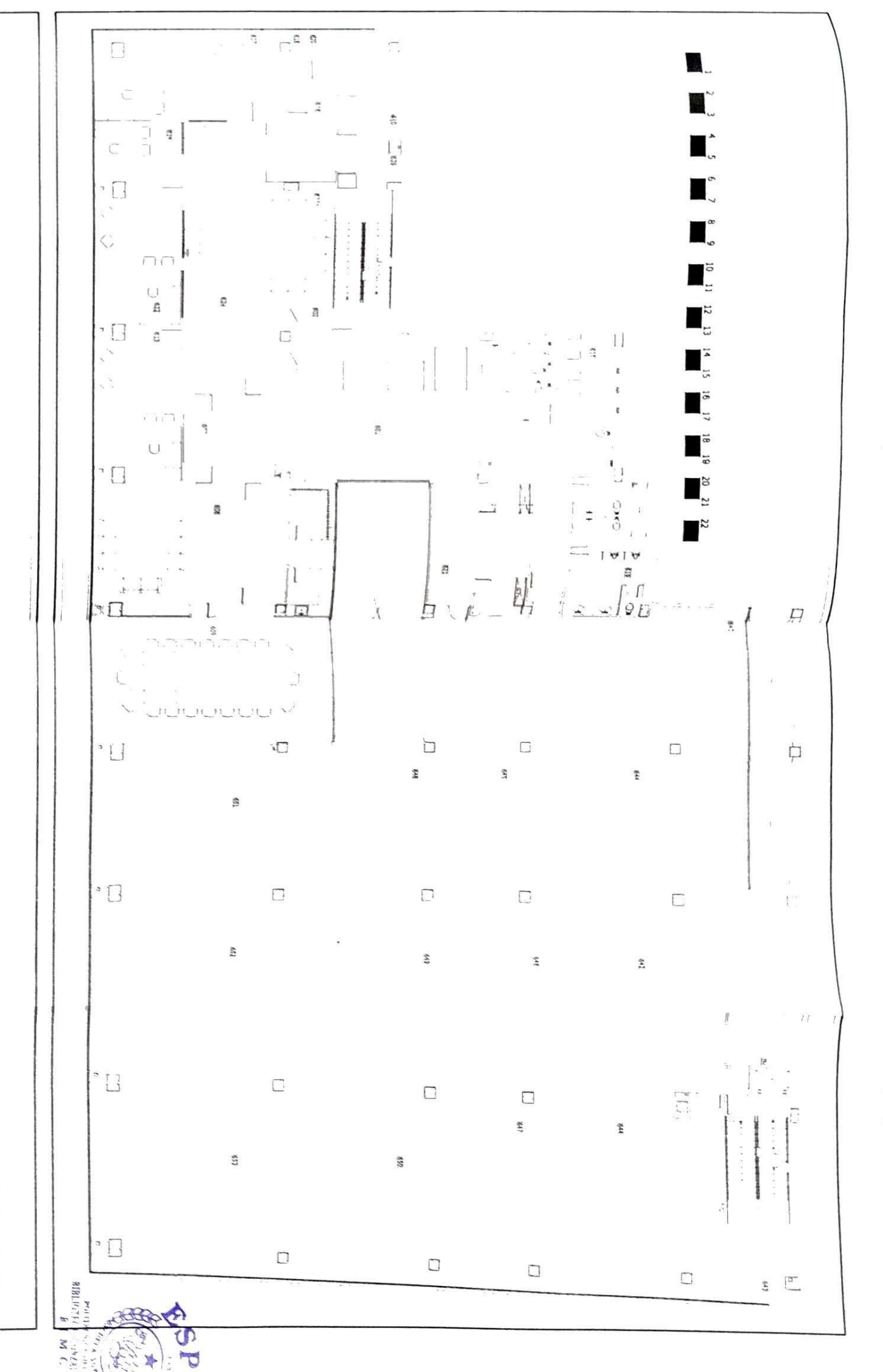
AND MAINTENANCE OF THE PROPERTY OF THE PROPERT



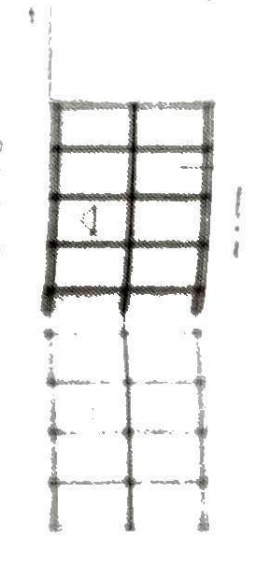
PLANO 4
ARQUITECTONICO - PISO No. 3
ESCALA 1.160



PLANO 5
ARQUITECTONICO - PISO No. 4
ESCALA 1:160

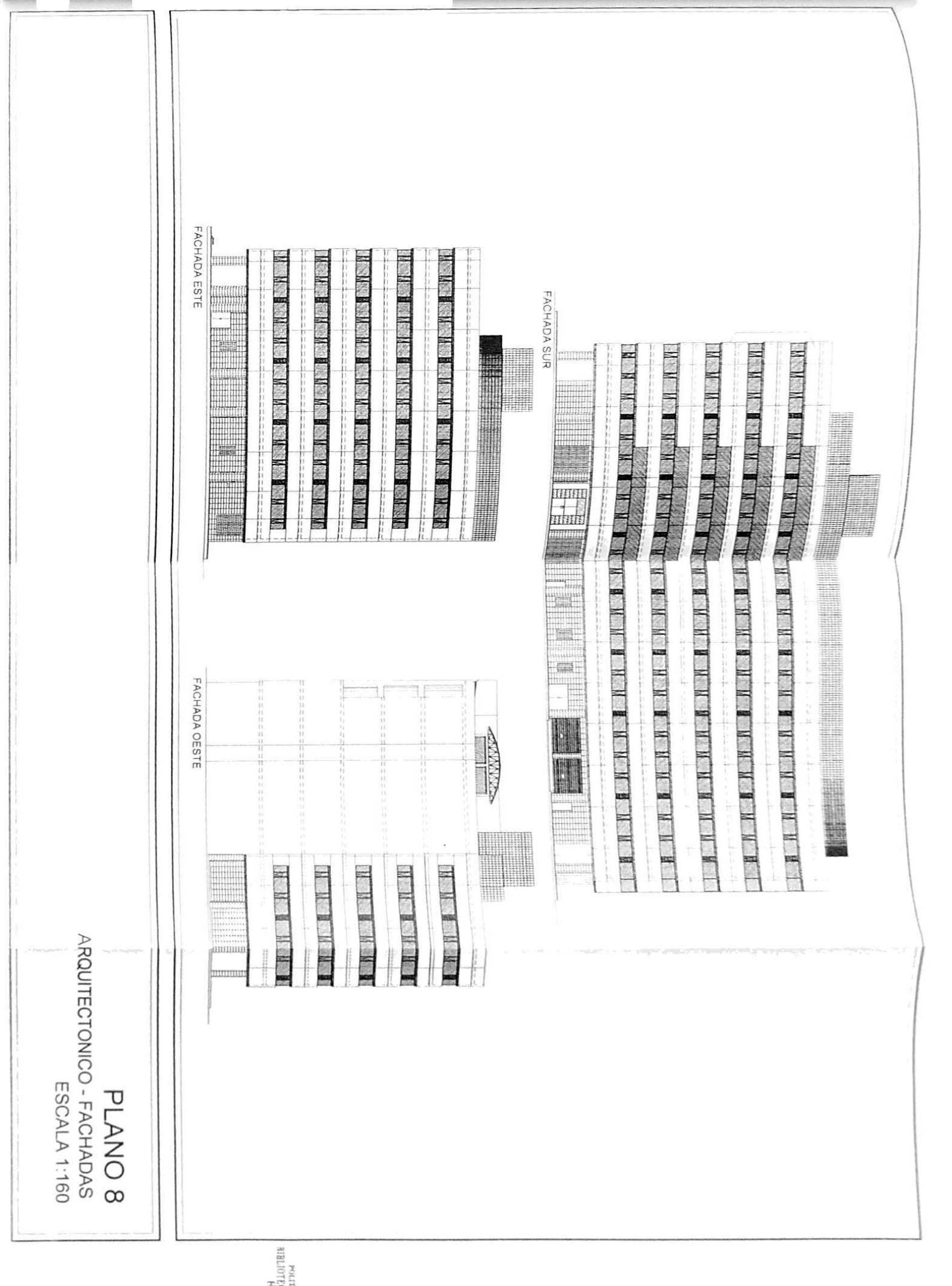


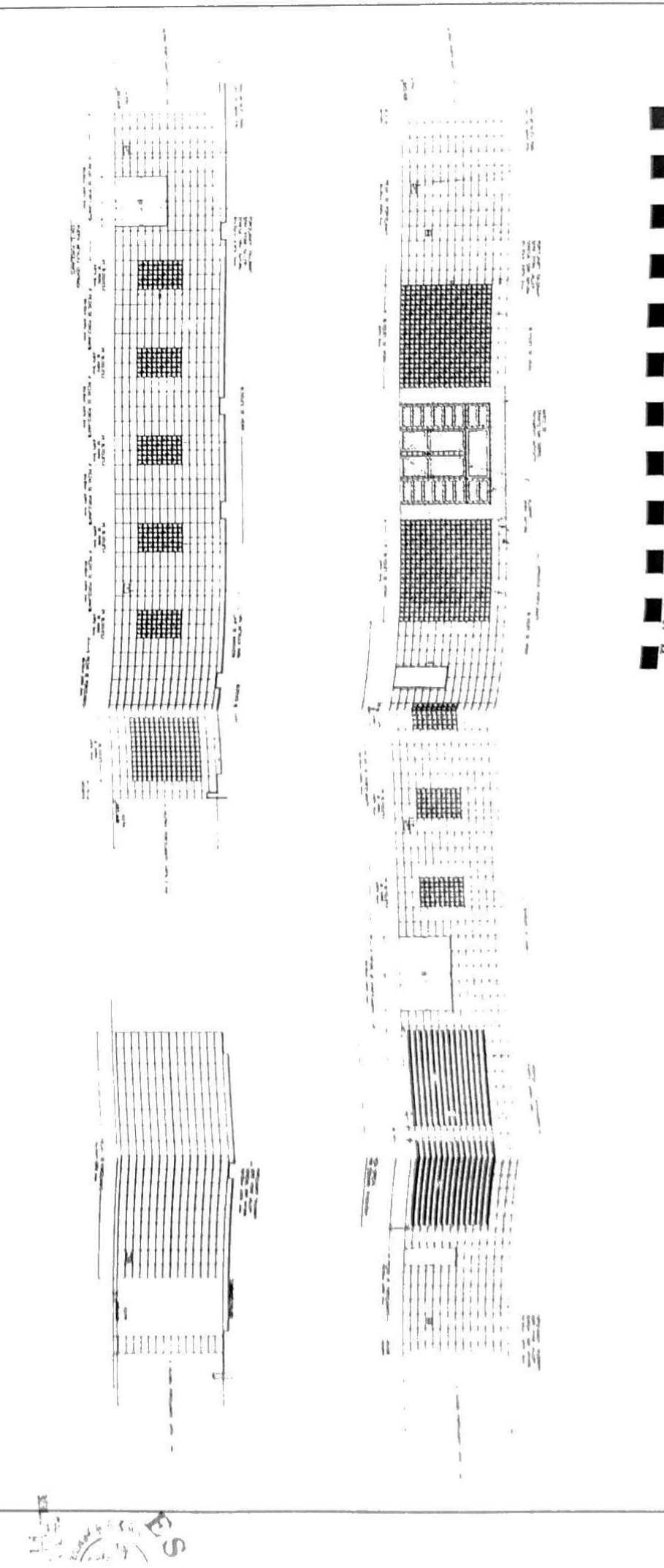
PLANO 6
ARQUITECTONICO - PISO No. 5
ESCALA 1:160



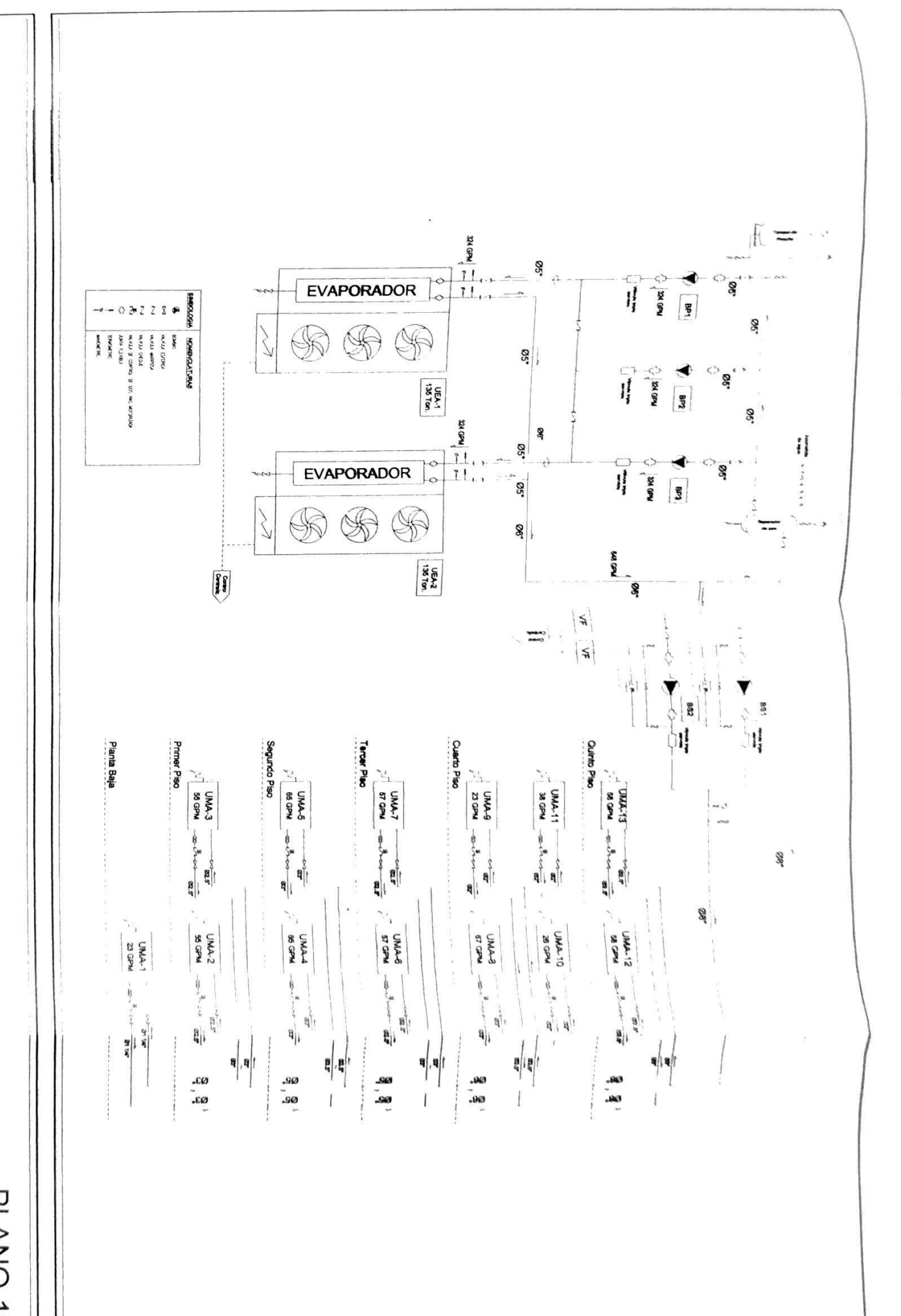
11

PLANO 7
ARQUITECTONICO - TERRAZA
ESCALA 1 160

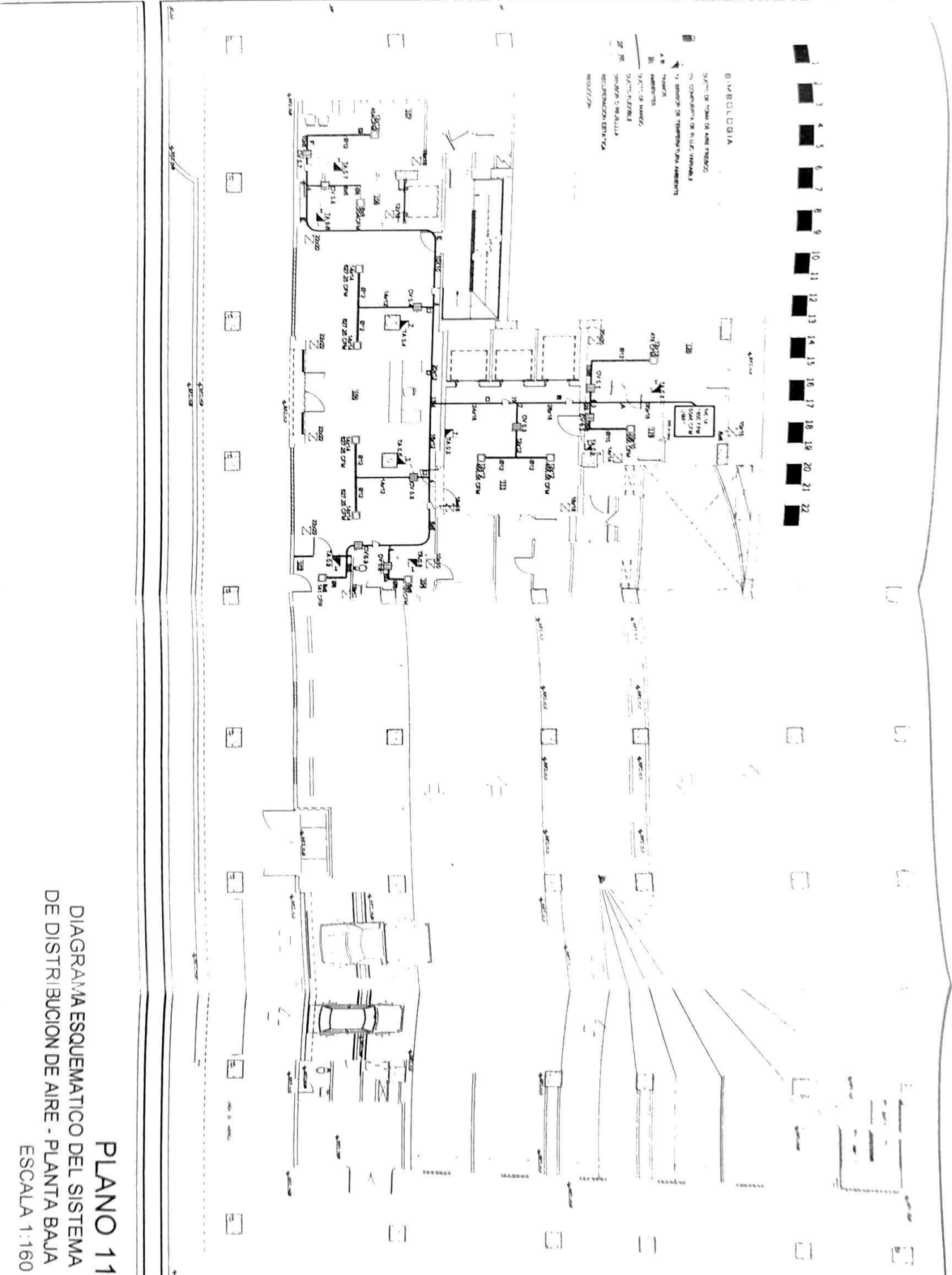




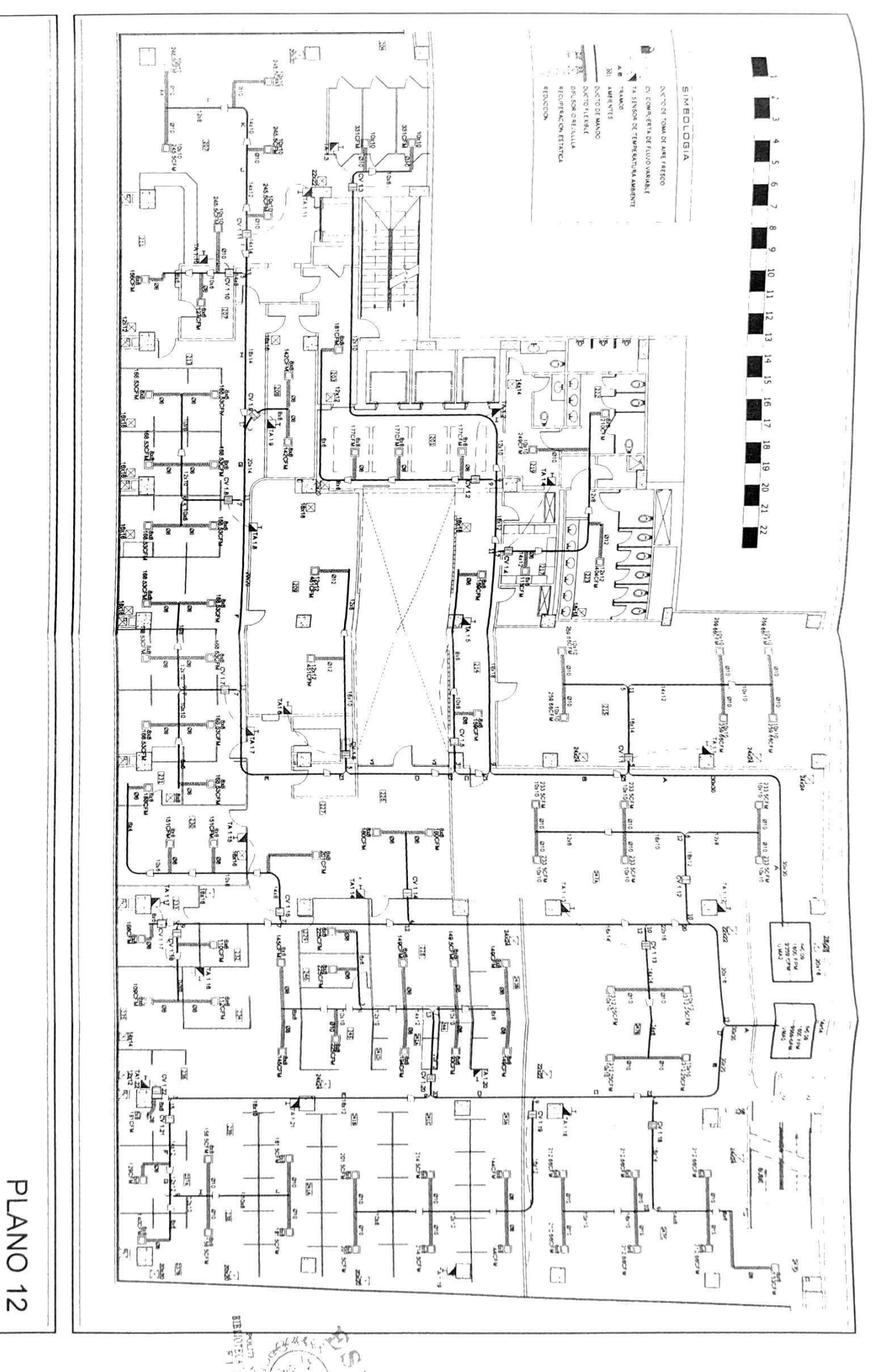
PLANO 9
DETALLE DE FACHADAS PLANTA BAJA
ESCALA 1:160



PLANO 10
DIAGRAMA ESQUEMATICO DEL SISTEMA
DE DISTRIBUCION DE AGUA FRIA
SIN ESCALA



ESCALA 1:160



DUEMATICO DEL SISTEMA

DIAGRAMA ESQUEMATICO DEL SISTEMA
DE DISTRIBUCION DE AIRE - PISO No. 1
ESCALA 1:160

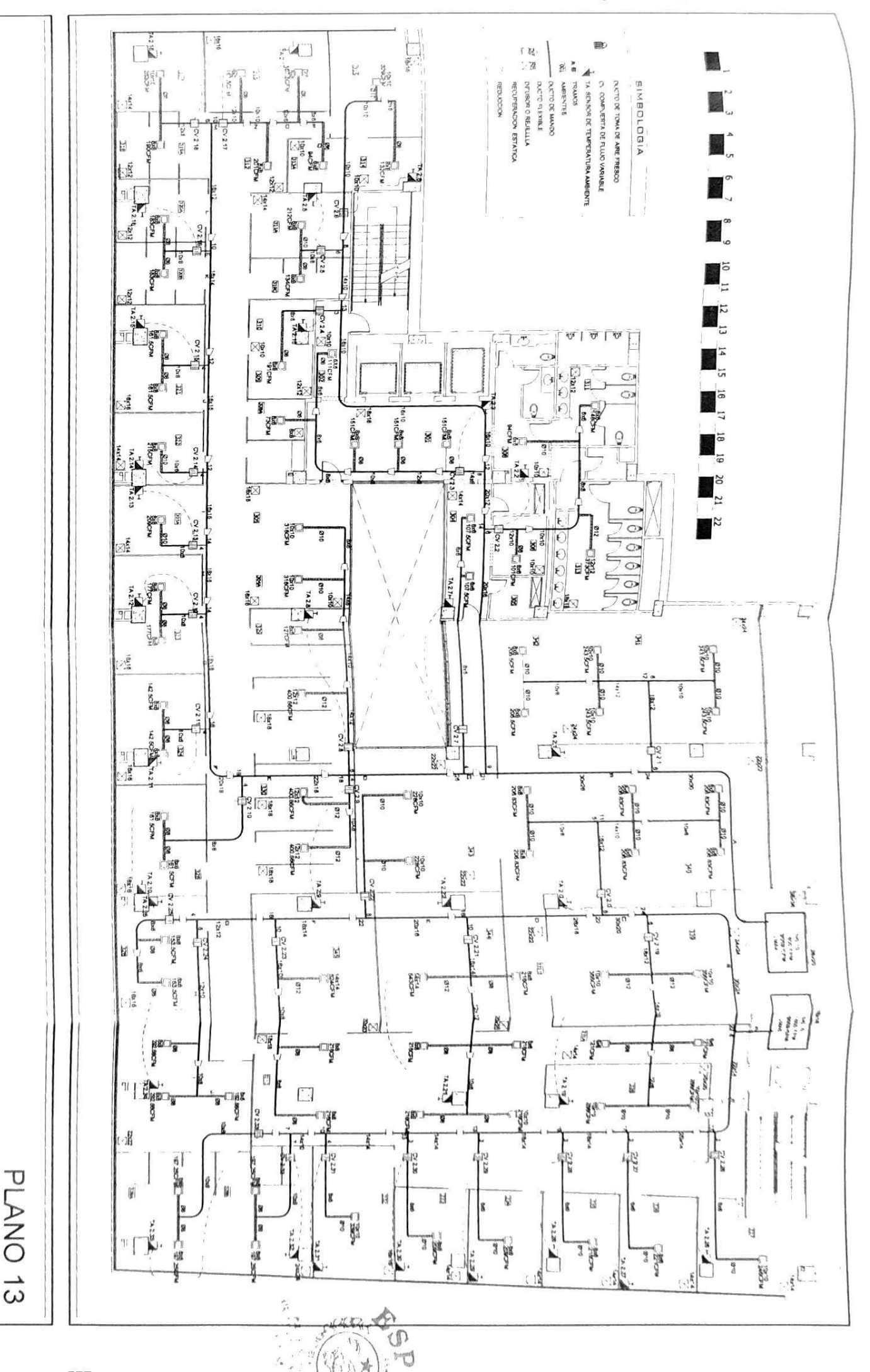


DIAGRAMA ESQUEMATICO DEL SISTEMA

DE DISTRIBUCION DE AIRE - PISO No. 2

ESCALA 1:160

PLANO 14

DIAGRAMA ESQUEMATICO DEL SISTEMA DE DISTRIBUCION DE AIRE - PISO No. 3 ESCALA 1:160

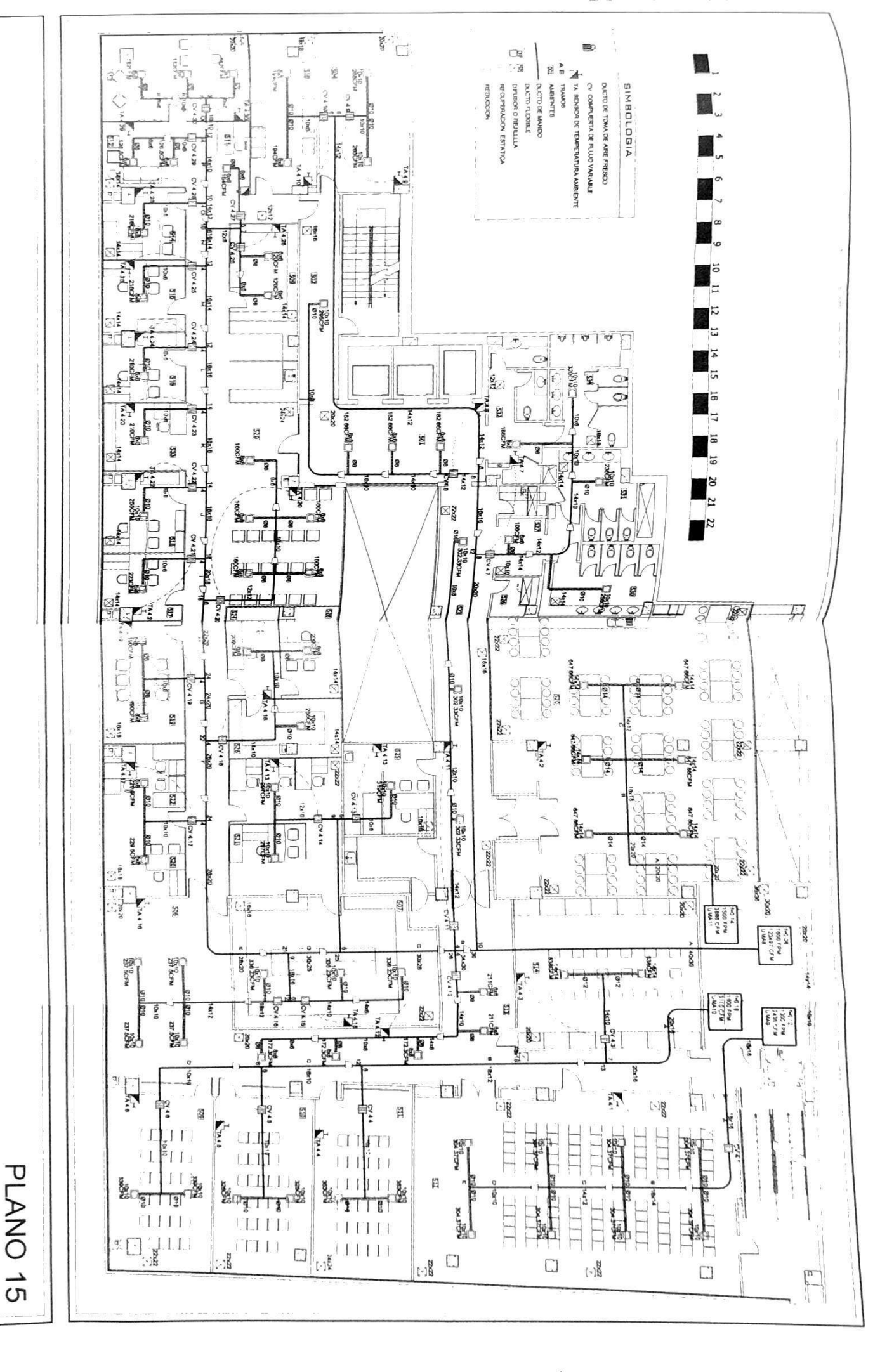


DIAGRAMA ESQUEMATICO DEL SISTEMA DE DISTRIBUCION DE AIRE - PISO No. 4 ESCALA 1:160

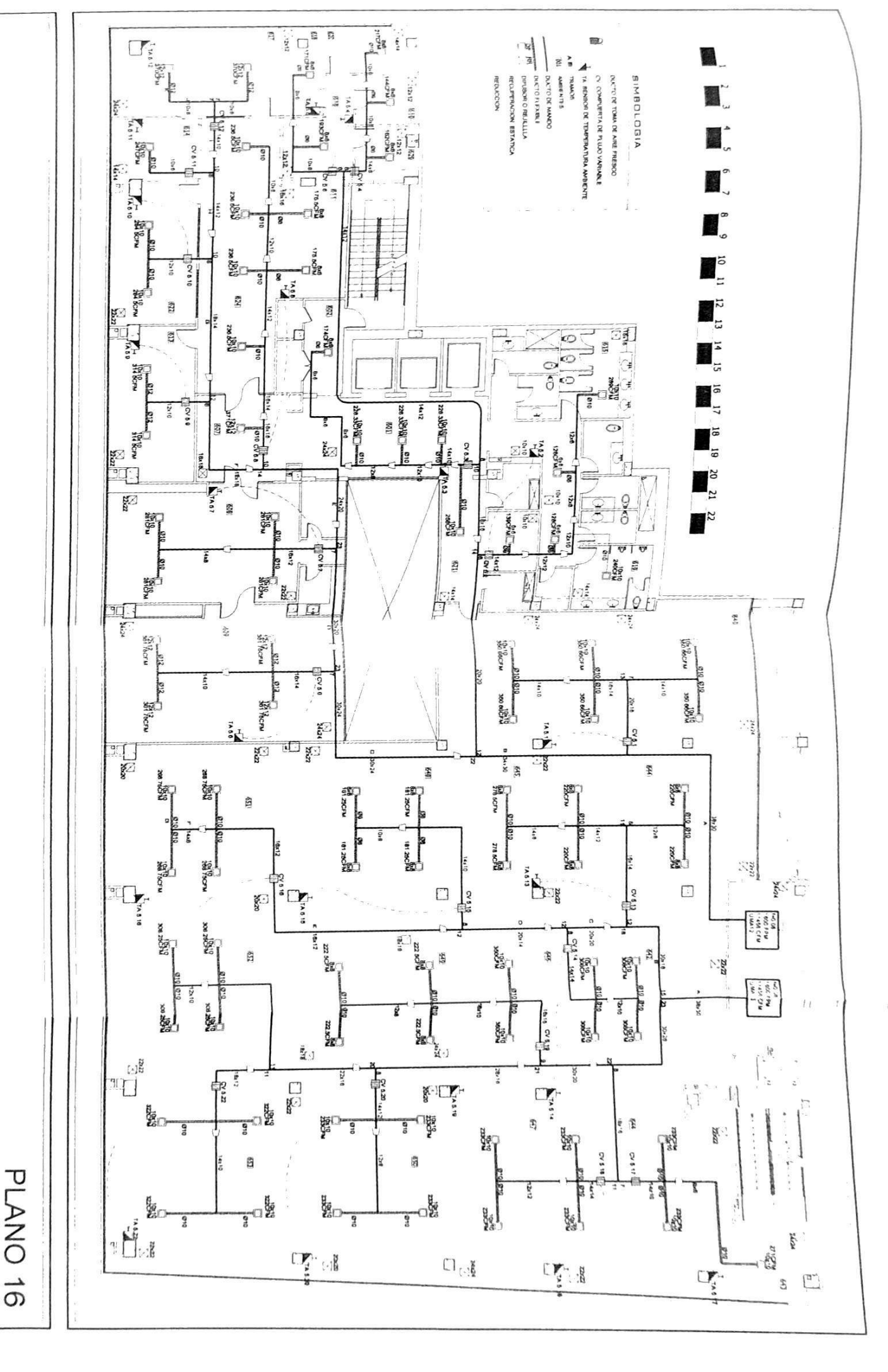


DIAGRAMA ESQUEMATICO DEL SISTEMA
DE DISTRIBUCION DE AIRE - PISO No. 5
ESCALA 17160

BIBLIOGRAFÍA

- AIR GUIDE, Manual de Diseño de Difusores y Rejillas, 1982.
- 2. ASHRAE HANDBOOK FUNDAMENTALS, 1985.
- 3. CARRIER, System Design Manual, Air Distribution, Part 2, 1974.
- 4. CARRIER, System Design Manual, Load Estimating, Part 1, 1972.
- 5. CARRIER, System Design Manual, Piping Design, Part 3, 1973.
- FAIRES VIRGIL M., Termodinámica, Segunda Edición, Unión Tipográfica Editorial Hispano – Americana, México 1973.
- INCROPERA FRANK P., Fundamentos de Transferencia de Calor, Cuarta Edición, Prentice Hall, México 1999.

- 8. SANCHEZ GERMAN, "Diseño y Especificaciones Técnicas del Sistema de Aire Acondicionado para el Pabellón Central del Hospital Luis Vernaza" (Tesis, Facultad de Ingeniería Mecánica y Ciencias de la Producción, Escuela Superior Politécnica del Litoral, 1984).
- SONNTAG VAN WYLEN, Introducción a la Termodinámica Clásica y Estadística, Grupo Noriega Editores, México 1994.